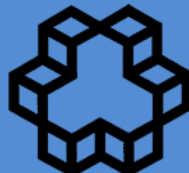


I
S
I
C
E

مجله کنترل

ISSN 2008-8345



قطب علمی کنترل صنعتی

دانشگاه صنعتی خواجه نصیرالدین طوسی

نشریه علمی - پژوهشی

انجمن مهندسان کنترل و ابزار دقیق ایران - قطب کنترل صنعتی دانشگاه صنعتی خواجه نصیرالدین طوسی

جلد ۶، شماره ۳، پاییز ۱۳۹۱

فهرست مقالات

۱

روشی نوین برای یادگیری تقویتی فازی با ناظر برای ناوبری ربات

فاطمه فتحی نژاد، ولی درهمی

۱۱

مدل سازی و تحلیل سیستم ترمز هیدرولیکی ضد قفل خودرو

صاد نصیری، بیژن معاونی، غلامحسن پایگانه، محمد عارفیان

روش طراحی کنترلگر PI برای دسته‌ای از سیستم‌های غیرخطی دارای عدم قطعیت به کمک تجزیه مجموع مربعات

حسن ذاکری، سجاد ازگلی

حل عددی معادلات دیفرانسیلی - جبری به شکل هزنبرگ با استفاده از کنترل مدل لغزشی

علی خالقی کارسالاری، مسعود شفیعی

روشی جدید برای استحصال توان بهینه از توربین‌های بادی: مدل زمانی - مکانی برای مزرعه بادی با استراتژی نروفازی

سید وهاب شجاع الدینی، آرمنی پارسیان نژاد، مجتبی فرزانه

کنترل مود لغزشی سیستم‌های پرش مارکوف همراه با تأخیر متغیر با زمان با ماتریس نرخ احتمال انتقال نیمه معلوم

نسیبه ظهراوی، حمیدرضا مومنی، امیرحسین ابوالمعصومی

مدل‌سازی دینامیکی ترکیبی یک ربات دوپا راه رونده چرخه حدی ناقص عملگر و کنترل آن در برابر اغتشاش خارجی ضربه‌ای

بهنام میری‌بور فرد، احمد باقری، نادر نریمان زاده



نشریه علمی - پژوهشی، انجمن مهندسان کنترل و ابزار دقیق ایران - قطب کنترل صنعتی دانشگاه صنعتی
خواجه نصیرالدین طوسی ، جلد ۶، شماره ۳، پاییز ۱۳۹۱

پست الکترونیک: control@isice.ir

صاحب امتیاز: انجمن مهندسان کنترل و ابزار دقیق ایران

مدیر مسئول: پروفسور ایرج گودرزنا

سردبیر: پروفسور علی خاکی صدیق - تلفن: ۸۴۰۶۲۳۱۷ - پست الکترونیکی: sedigh@kntu.ac.ir

آدرس محل کار: خیابان دکتر شریعتی، پل سید خندان، دانشکده برق دانشگاه صنعتی خواجه نصیرالدین طوسی

سمت: استاد دانشگاه

شورای سردبیری: پروفسور علی خاکی صدیق، پروفسور حمید خالوزاده، دکتر علیرضا فاتحی

دبير اجرایی: پروفسور حمید خالوزاده

هیأت تحریریه:

پروفسور علی خاکی صدیق (استاد) - پروفسور حمید خالوزاده (استاد) - پروفسور پرویز جبه دار مارالانی (استاد) - پروفسور علی غفاری (استاد) - دکتر حمیدرضا مومنی (دانشیار) - پروفسور سید کمال الدین نیکروش (استاد) - پروفسور مسعود شفیعی (استاد) - پروفسور بهزاد مشیری (استاد)

هیأت مشاوران:

دکتر حمیدرضا مومنی، پروفسور بهزاد مشیری، پروفسور مسعود شفیعی، پروفسور علی خاکی صدیق، پروفسور پرویز جبه دار مارالانی، پروفسور علی غفاری، پروفسور حمید خالوزاده، پروفسور حمیدرضا تقی راد، دکتر کیوان مسوروی، دکتر محمد تقی بطحایی، دکتر محمد تقی بهشتی، دکتر فرزاد جعفر کاظمی، دکتر رویا امجدی فرد، پروفسور محمد تشنہ لب، پروفسور محمد حایری، پروفسور سید علی اکبر صفوی، پروفسور حسین سیفی، دکتر احمد کاظمی، دکتر علیرضا فاتحی، دکتر محمد رضا اکبرزاده توتونجی، دکتر مسعود علی اکبر گلکار، دکتر ناصر پریز، دکتر مهرداد جوادی، دکتر جعفر حیرانی نوبری، پروفسور فرامرز حسین بابایی، دکتر بیژن معاونی، دکتر محمد عاروان، پروفسور محمد توکلی بینا.

هیأت مدیره انجمن مهندسان کنترل و ابزار دقیق:

پروفسور مسعود شفیعی، دکتر محمد رضا جاحد مطلق، پروفسور بهزاد مشیری، پروفسور علی اکبر صفوی، دکترا یمان محمد زمان، دکتر علی اشرف مدرس، مهندس علی کیانی.

ایران - تهران، صندوق پستی ۱۵۸۱۵-۳۵۹۵

تلفن : ۸۱۰۳۲۲۲۳۱

فاکس: ۸۱۰۳۲۲۰۰

www.isice.ir

به نام خدا

فهرست مقالات

- ۱ روشی نوین برای یادگیری تقویتی فازی با ناظر برای ناوی برای ربات
فاطمه فتحی نژاد، ولی درهمی
- ۱۱ مدل سازی و تحلیل سیستم ترمز هیدرولیکی ضد قفل خودرو
صیاد نصیری، بیژن معاونی، غلامحسن پایگانه، محمد عارفیان
- ۲۷ روش طراحی کنترلگر PI برای دسته‌ای از سیستم‌های غیرخطی دارای عدم قطعیت به کمک تجزیه مجموع مربعات
حسن ذاکری، سجاد ازگلی
- ۳۷ حل عددی معادلات دیفرانسیلی - جبری به شکل هزنبرگ با استفاده از کنترل مدل لغزشی
علی خالقی کارسالاری، مسعود شفیعی
- ۵۱ روشی جدید برای استحصال توان بهینه از توربین‌های بادی: مدل زمانی - مکانی برای مزرعه بادی با استراتژی نروفازی
سید وهاب شجاع الدینی، آرمنی پارسیان نژاد، مجتبی فرزانه
- ۶۱ کنترل مود لغزشی سیستم‌های پرش مارکوف همراه با تأخیر متغیر با زمان با ماتریس نرخ احتمال انتقال نیمه معلوم
نسیبه ظهراوی، حمیدرضا مومنی، امیرحسین ابوالمعصومی
- ۷۱ مدل سازی دینامیکی ترکیبی یک ربات دوپا راه رونده چرخه حدی ناقص عملگر و کنترل آن در برابر اغتشاش خارجی ضربه‌ای
بهنام میری‌پور فرد، احمد باقری، نادر نریمان زاده

مجله کنترل، مجله‌ای علمی – پژوهشی است که در برگیرنده تازه‌ترین نتایج تحقیقات نظری و کاربردی در علوم مختلف مرتبط با مهندسی کنترل و ابزار دقیق می‌باشد. مقالات ارسالی به مجله کنترل می‌بایست به زبان فارسی و دارای چکیده انگلیسی باشند. از میان مباحث مورد نظر این مجله میتوان به موارد زیر اشاره نمود:

- (۱) مدلسازی، شناسایی، شبیه سازی، پیش‌بینی، بهینه سازی و پایش عملکرد سیستم‌ها.
- (۲) تحلیل و طراحی سیستم‌های کنترل پیشرفته از قبیل سیستم‌های کنترل خطی و غیرخطی، سیستم‌های کنترل تطبیقی، کنترل مقاوم و کنترل بهینه، سیستم‌های کنترل هوشمند، سیستم‌های کنترل تصادفی، سیستم‌های کنترل گسسته پیشامد و ترکیبی، سیستم‌های ابعاد وسیع، سیستم‌های کنترل چندمنغیره.
- (۳) مکاترونیک و رباتیک.
- (۴) ابزار دقیق و سیستم‌های ترکیب داده و اطلاعات سنسوری.
- (۵) اتوماسیون صنعتی از قبیل سیستم‌های کنترل گسترده، رابط انسان – ماشین، سیستم‌های ایمنی و تشخیص خطا، تحلیل و طراحی سیستم‌های کنترل کسری، شناسایی و تشخیص عیب در سیستم‌ها، سیستم‌های کنترل پیچیده، سیستم‌های زمان حقيقی و سیستم‌های کنترل سوپر وایزرو.

کاربردهای مورد علاقه این مجله، وسیع بوده و می‌تواند در برگیرنده موارد زیر باشد:

- (۱) سیستم‌های هدایت و ناوبری.
- (۲) فرآیندهای صنعتی شامل فرآیندهای شیمیایی و بیوتکنولوژی.
- (۳) تولید و توزیع نیروی برق.
- (۴) مهندسی محیط زیست و هواشناسی.
- (۵) سیستمهای اقتصادی و مالی.
- (۶) سیستمهای اطلاعاتی، مخابراتی و شبکه‌های صنعتی.
- (۷) مهندسی پزشکی.

از کلیه پژوهشگران و کارشناسان فعال در زمینه‌های مرتبط با مهندسی کنترل و ابزار دقیق دعوت بعمل می‌آید تا مقالات و نتایج آخرین دستاوردهای علمی و پژوهشی خود را به این مجله ارسال نمایند. خواهشمند است مقالات خود را به صورت الکترونیکی به آدرس control@isice.ir ارسال فرمایید. برای کسب اطلاعات بیشتر و دریافت نحوه تهیه و ارسال مقالات می‌توانید به سایت مجله با آدرس www.isice.ir مراجعه نمایید.

شیوه تدوین

متن مقالات شامل چکیده، بدنه مقاله، مراجع و زیرنویسها باید با فونت ۱۲ Zar B و با فاصله double میان خطوط، در صفحات A4 یک ستونی و تحت نرم افزار Word تهیه گردد.

آدرس نویسنده‌گان

آدرس پستی کامل همه نویسنده‌گان همراه با شماره تلفن و دورنگار(فکس) و نشانی پست الکترونیک(email) نویسنده عهده‌دار مکاتبات در برگه مستقلی چاپ و به همراه مقاله ارسال گردد.

چکیده

هر مقاله باید شامل، عنوان (فارسی و انگلیسی)، چکیده (فارسی و انگلیسی) مقاله در حداکثر ۲۰۰ واژه، کلیدواژه (فارسی و انگلیسی) در حداکثر ۵ واژه باشد.

تصاویر و عکسها

در هنگام ارسال مقاله جهت داوری نیازی به ارسال اصل تصاویر و عکسها نمی‌باشد، ولی رونوشت ارسالی باید واضح باشد. پس از تایید مقاله، ارسال اصل تصاویر و عکسها جهت چاپ مقاله ضروری می‌باشد.

مراجع

به کلیه مراجع باید در متن ارجاع داده شده باشد. مراجع باید با شماره مشخص گردند و جزئیات آنها به شرح زیر در پایان مقاله به ترتیب حروف الفبای نویسنده‌گان ظاهر گردد:

مقالات: [شماره مرجع] نام خانوادگی و علامت اختصاری اول نام، سال انتشار یا تاریخ برگزاری، "عنوان مقاله"، نام کامل نشریه یا کنفرانس، شماره مجله یا شماره جلد، شماره صفحات.

کتابها: [شماره مرجع] نام خانوادگی و نام کامل همه نویسنده‌گان، عنوان کتاب، نام مترجم (در صورت وجود)، نام کامل ناشر، سال انتشار.

واحدها: کلیه مقالات باید از واحد استاندارد SI (متریک) در تمام بخش‌های مقاله استفاده نمایند. در کنار واحد SI می‌توان از واحد انگلیسی در داخل پرانتز نیز استفاده نمود.

طول مقالات

حداکثر حجم مقالات در هنگام چاپ ۱۵ صفحه می‌باشد که معادل حدود ۷۵۰۰ واژه می‌باشد. برای چاپ صفحات بیشتر و یا رنگی لازم است هزینه‌ای معادل ۲۵۰,۰۰۰ ریال (۲۵ دلار آمریکا) برای هر صفحه به حساب مجله واریز گردد.

فرایند ارسال مقاله

مقالات قابل چاپ در مجله شامل مقالات کامل پژوهشی، مقالات کوتاه و یادداشت‌های پژوهشی می‌باشد. مقالات ارسالی نباید در هیچ مجله داخلی و یا خارجی چاپ شده باشد و یا در حال داوری باشد.

- لازم است نسخه الکترونیکی مقاله به شکل pdf و word جهت داوری به نشانی مجله control@isice.ir ارسال شود.
- مقالات جهت داوری به داوران متخصص ارسال می‌گردد. در پایان تایید یا رد هر مقاله توسط هیئت تحریریه مجله انجام خواهد پذیرفت. سردبیر مجله نتیجه داوری را برای نویسنده عهده‌دار مکاتبات ارسال خواهد نمود.
- در صورتی که نیاز به تصحیح مقاله باشد، تصحیحات باید منحصراً محدود به موارد ذکر شده باشد. در سایر موارد نویسنده لازم است سردبیر را در جریان هر گونه تغییر یا تصحیح دیگری قرار دهد. در هر صورت مسئولیت صحت و سقم مطالب بر عهده نویسنده خواهد بود.
- در صورتی که مقاله جهت چاپ پذیرفته شود، یک نسخه از مجله همراه با ۵ نسخه از مقاله به هر یک از نویسنندگان اهدا خواهد گردید.

حق کپی: در صورت تایید مقاله، نویسنندگان لازم است فرم انتقال حق انتشار آن به "انجمن مهندسان کنترل و ابزار دقیق ایران" را تکمیل و به همراه اصل مقاله ارسال نمایند. نویسنندگان لازم است موافقت کتبی دارندگان حق کپی بخشایی از مقاله که از مراجع و منابع دیگر نسخه برداری شده است را دریافت و به دفتر مجله ارسال نمایند.

بدینوسیله از کلیه اساتید، پژوهشگران و کارشناسان مهندسی کنترل و ابزار دقیق جهت ارائه مقالات خود در این نشریه دعوت به عمل می‌آورد. خواهشمند است مقالات خود را به صورت الکترونیکی به آدرس control@isice.ir ارسال فرمایید. برای کسب اطلاعات بیشتر میتوانید به سایت: <http://www.isice.ir> مراجعه نمایید.

روشی نوین برای یادگیری تقویتی فازی با ناظر برای ناوبری ربات

فاطمه فتحی نژاد^۱، ولی درهمی^۲

^۱ فارغ‌التحصیل کارشناسی ارشد مهندسی برق و کامپیوتر، گروه کامپیوتر، دانشگاه یزد fateme.fathinezhad@stu.yazduni.ac.ir

^۲ استادیار، دانشکده مهندسی برق و کامپیوتر، گروه کامپیوتر، دانشگاه یزد vderhami@yazduni.ac.ir

(تاریخ دریافت مقاله ۱۳۹۱/۴/۱۳، تاریخ پذیرش مقاله ۱۳۹۱/۷/۲)

چکیده: استفاده از یادگیری با ناظر در ناوبری ربات‌های متوجه، با چالش‌های جدی از قبیل ناسازگاری و اختلال در داده‌ها، مشکل جمع‌آوری نمودن داده آموزش و خطای زیاد در داده‌های آموزشی مواجه می‌باشد. قابلیت‌های یادگیری تقویتی همچون عدم نیاز به داده آموزشی و آموزش تنها با استفاده از یک معیار اسکالر راندمان باعث کاربرد آن در ناوبری ربات شده است. از طرفی یادگیری تقویتی زمانبر بوده و دارای نرخ شکست‌های بالا در مرحله آموزش می‌باشد. در این مقاله، یک ایده جدید برای استفاده مؤثر از هر دو الگوریتم یادگیری فوق ارائه می‌شود. یک کنترلگر فازی سوگنو مرتبه صفر با تعدادی عمل کاندید برای هر قاعده جهت تولید فرمان‌های کنترل ربات در نظر گرفته شده است. هدف از آموزش تعیین عمل مناسب برای هر قاعده است. روش ترکیبی پیشنهاد شده دو مرحله دارد. در مرحله اول، داده آموزشی با حرکت ربات توسط ناظر در محیط جمع آوری می‌شود. سپس با بهره‌گیری از روش جدید ارائه شده، پارامترهای ارزش‌های عمل کاندید در قواعد فازی با کمک داده‌های آموزشی مقدار دهی اولیه می‌شوند. در مرحله دوم از الگوریتم سارسای فازی برای تنظیم دقیق‌تر پارامترهای تالی کنترلگر بصورت برخط استفاده می‌شود. نتایج شبیه‌سازی در شبیه‌ساز KiKS برای ربات خپرا حاکی از بهبود قابل توجه در زمان یادگیری، تعداد شکست‌های، و کیفیت حرکت ربات می‌باشد.

کلمات کلیدی: ناوبری ربات، یادگیری با ناظر، یادگیری تقویتی، کنترلگر فازی.

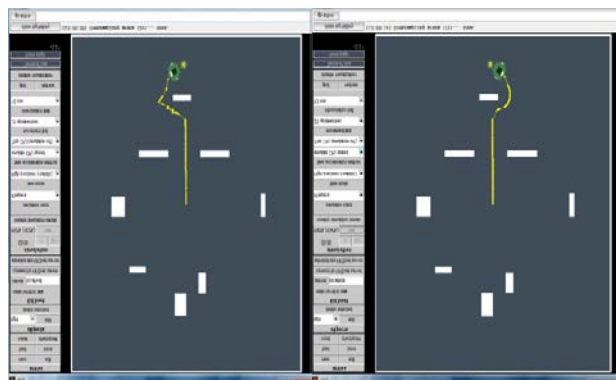
A Novel Supervised Fuzzy Reinforcement Learning for Robot Navigation

Fateme Fathinezhad, Vali Derhami

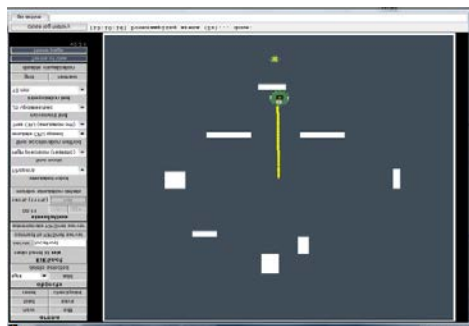
Abstract: Applying supervised learning in robot navigation encounters serious challenges such as inconsistency and noisy data, difficulty to gather training data, and high error in training data. Reinforcement Learning (RL) capabilities such as lack of need to training data, training using only a scalar evaluation of efficiency and high degree of exploration have encourage researcher to use it in robot navigation problem. However, RL algorithms are time consuming also have high failure rate in the training phase. Here, a novel idea for utilizing advantages of both above supervised and reinforcement learning algorithms is proposed. A zero order Takagi-Sugeno (T-S) fuzzy controller with some candidate actions for each rule is considered as robot controller. The aim of training is to find appropriate action for each rule. This structure is compatible with Fuzzy Sarsa Learning (FSL) which is used as a continuous RL algorithm. In the first step, the robot is moved in the environment by a supervisor and the training data is gathered. As a hard tuning, the training data is used for initializing the value of each candidate action in the fuzzy rules. Afterwards, FSL fine-tunes the parameters of conclusion parts of the fuzzy controller online. The simulation results in KiKS simulator show that the proposed approach significantly improves the learning time, the number of failures, and the quality of the robot motion.

Keywords: Robot navigation, Supervised learning, Reinforcement learning, Fuzzy controller.

- ۱- عدم اطلاع ناظر از فرمان کنترلی مناسب در بعضی از وضعیت‌ها:
لذا در وضعیت‌های خاص خروجی تعیین شده توسط ناظر دارای خطای زیاد می‌باشد.
- ۲- ناسازگاری در داده‌ها: بعنوان مثال در نظر بگیرید یک ربات در جلوی مانع قرار دارد و سمت چپ و راست آن خالی می‌باشد. ناظر ممکن است در چنین وضعیتی یکبار با اعمال فرمان چرخش به راست (مثلاً +۴۵ درجه) و یک بار دیگر با چرخش به چپ (مثلاً -۴۵ درجه) ربات را از کنار مانع عبور دهد. این ناسازگاری باعث ایجاد مشکل در آموزش می‌شود. الگوریتم یادگیری بنا‌نظر برای این وضعیت یک عمل را باید تعیین نماید. واضح است که هر کدام را انتخاب کند خطای برای داده دیگر زیاد می‌شود و از آنجا که روش بر اساس کمینه کردن مجموع مربعات خطای می‌باشد، خروجی تعیین شده برای این وضعیت عددی نزدیک به صفر است. این خروجی به معنی حرکت مستقیم ربات به طرف جلو در این وضعیت و در نتیجه برخورد با مانع است. شکل ۱ یانگر مورد مذکور می‌باشد. در دو قسمت "الف" و "ب" ربات توسط ناظر یکبار از سمت راست و یکبار از سمت چپ عبور داده شده است. نتیجه یادگیری با این داده ناسازگار حرکت مستقیم به سمت هدف و برخورد به مانع می‌باشد که در قسمت "ج" از شکل ۱ نشان داده شده است.



الف: چرخش به راست
ب: چرخش به چپ



ج: حرکت مستقیم به طرف جلو و برخورد با مانع

شکل ۱: تاثیر سوء مشکل ناسازگاری در داده‌های آموزشی.

۱- مقدمه

ناوبری برای ربات‌های متجر ک عبارت است از حرکت از یک نقطه معین و رسیدن به یک هدف مشخص در حالی که ربات بتواند از برخورد به موانع اجتناب کند [۱، ۲]. بطور کلی در یک محیط پویا، استفاده از الگوریتم‌های سراسری^۱ برای یافتن مسیر حرکت ربات، غیرممکن و یا بسیار پرهزینه است، زیرا در این روش‌ها مدل ریاضی یا نقشه کاملی از محیط مورد نیاز است. لذا چنانچه مشخصات محیط ناشناخته باشد و یا محیط در حال تغییر باشد، مسیریابی با استفاده از روش‌های طراحی مسیر محلی انجام می‌شود. روش‌های طراحی مسیر محلی از اطلاعات فرامه شده توسط حسگرها مانند حسگرهای سونار و یا حسگرهای مادون قرمز بهره می‌برند [۳، ۴]. در میان روش‌های ارائه شده الگوریتم‌های هندسی فرض می‌کنند که حسگرها سنجش فاصله نصب شده بر روی ربات قادرند، بطور کامل موانع را بصورت پرخط تشخیص دهند. این دو فرض در محیط‌های واقعی غیرقابل قبول و برآوردن آنها وقت‌گیر است [۱]. از دیگر روش‌ها، روش‌های مبتنی بر پتانسیل می‌باشند که مؤثرتر از الگوریتم‌های هندسی به نظر می‌رسند، چرا که به جزئیات کمتری از موقعیت موانع نیاز دارند، لیکن این روش‌ها نیز نقاط ضعف زیر را دارند [۵، ۶]:

- رخداد کمینه محلی منجر می‌گردد که ربات در حلقه ایجاد شده بین موانع به دام بیفتد.
- حرکت ناپایدار ربات در کاربردهای عملی.
- مشکل پیدا کردن ضرایب مؤثر مربوط به سرعت و نیرو در محیط‌هایی با موانع درهم که ارائه مدل ریاضی برای محیط را دشوار می‌کند.
- افت راندمان به خاطر نایقینی و خطای مربوط به حسگرها (که برای هر حسگر متفاوت از بقیه است) به علت عملکرد بر اساس یک استراتژی از پیش تعیین شده و عدم وجود یادگیری.
- مشکلات اشاره شده در بالا، محققین را تشویق به استفاده از الگوریتم‌های یادگیرنده با استفاده از اطلاعات محلی در مسأله ناوبری ربات نموده است. این یادگیری با استفاده از اطلاعات حاصله از حسگرهای قرار گرفته بر روی ربات انجام می‌پذیرد [۶].
- یادگیری بنا‌نظر یکی از روش‌های قدیمی استفاده شده برای تنظیم پارامترهای کنترلگر می‌باشد که برای آموزش کنترلگر ربات نیز از آن استفاده شده است. در این روش ابتدا ربات در محیط توسط ناظر حرکت داده شده و سپس با توجه به داده‌های جمع‌آوری شده، با استفاده از روش‌های مبتنی بر گرادیان [۷] پارامترهای کنترلگر در جهت کاهش مجموع مربعات خطای خروجی تنظیم می‌شوند.
- این الگوریتم در مسأله ناوبری ربات با ضعف‌های جدی مانند موارد زیر مواجه است:

^۱-Global algorithms

ایده های ارائه شده در مراجع فوق برای فضای حالت گستته و یا فضای عمل گستته هستند، در حالیکه توجه ما در این مقاله بر روی فضای حالت - عمل پیوسته است.

در [۱] ایده ای برای فضای حالت و عمل پیوسته آمده است؛ در آن از داده آموزشی تولید شده توسط ناظر برای تنظیم اولیه پارامترهای بخش عملگر در معماری عملگر - نقاد^۳ [۱۵] استفاده شده است. در این مرجع ابتدا توسط یادگیری باناظر مقدار عمل برای هر حالت پیشنهاد می شود و سپس با استفاده از یادگیری تقویتی، مقدار نهایی پیرامون مقدار پیشنهادی تنظیم می شود. روش مذکور دو ضعف عمدۀ دارد:

۱- اثر سوء ناسازگاری داده اشاره شده در بالا، باعث خطای زیاد در خروجی تنظیم شده توسط یادگیری باناظر می گردد.

۲- ضعف عدم کاوش مناسب در معماری عملگر - نقاد [۱۵]، علاوه بر ضعف ذاتی معماری عملگر - نقاد در این خصوص از آنجا که مرحله تنظیم با یادگیری تقویتی تنظیمات پیرامون مقدار تنظیم شده با روش یادگیری باناظر صورت می گیرد، این ضعف تشید شده است.

در کار قبلی، ما در مقاله [۱۶] ایده ای شبیه به روش فوق را در معماری نقاد- تنها بکار گرفتیم. بدین صورت که از داده های آموزشی با ناظر برای تنظیم اولیه توابع عضویت و رودی سیستم فازی استفاده شده است و آنگاه پارامترهای تالی کنترلگر فازی بصورت برخط با استفاده از روش یادگیری سارسا فازی^۴ [۹] که یک روش یادگیری تقویتی فازی^۵ (FRL) با معماری نقاد- تنها^۶ است تنظیم شده است. هرچند مشکل عدم کاوش بخاطر استفاده از معماری نقاد- تنها مرتفع شده است لیکن هیچ آموزشی در خصوص عمل خروجی مناسب برای هر وضعیت صورت نگرفته است و در واقع مقدادر تالی کنترلگر فازی تنها با روش تنظیم می گردد. بهمین دلیل بهبود بدست آمده فاحش نیست.

در اینجا روشی جدید برای ترکیب یادگیری باناظر و یادگیری تقویتی فازی با معماری نقاد- تنها ارائه می شود. لازم به ذکر است دو معماری معروف استفاده شده در FRL، معماری نقاد- تنها و عملگر - نقاد می باشند. از مزایای معماری نقاد- تنها پتانسیل بالا در برقراری تعادل بین کاوش و بهره برداری از تجربیات است. لذا این معماری برای مسائلی که نیاز به کاوش بالا دارند ناوبری ربات مناسب می باشد. دو الگوریتم یادگیری سارسا فازی [۹] و یادگیری کیو فازی^۷ [۴] بر اساس معماری نقاد- تنها ارائه شده اند. برای روش FQL نه تنها هیچ قضیه یا لمی در جهت همگرایی آن وجود ندارد بلکه مثالهای واگرایی [۹] آن نیز موجود می باشد. لیکن در [۹] قضایای مربوط به همگرایی و اثبات نقاط ایستای روش FSL آمده است لذا الگوریتم یادگیری تقویتی پیوسته استفاده شده در این مقاله روش FSL می باشد.

با توجه به ضعف های اشاره شده در یادگیری باناظر، استفاده از روش های هوشمند برای یادگیری ربات ها گسترش یافت. یادگیری تقویتی^۱ یک الگوریتم مدرن هوشمند است که به جهت دارا بودن قابلیت هایی همچون عدم نیاز به خروجی مطلوب، آموزش تنها با استفاده از یک معیار اسکالر راندمان، امکان آموزش برخط، و درجه کاوش بالا گزینه مناسبی جهت تنظیم پارامترهای کنترلگر ربات می باشد. در واقع در یادگیری تقویتی به عامل گفته نمی شود که عمل صحیح در هر وضعیت چیست، و فقط با استفاده از یک معیار اسکالر که سینگال تقویتی نامیده می شود خوب یا بد بودن عمل به عامل نشان داده می شود. عامل موظف است با در دست داشتن این اطلاعات، یاد بگیرد که بهترین عمل کدام است. این ویژگی یکی از نقطه قوت‌های خاص الگوریتم یادگیری تقویتی است. اما از جنبه دیگر، دو چالش پیش روی یادگیری تقویتی زمانبر بودن و کند بودن آموزش در آن است. این مشکل در مسائل ناوبری ربات هم که معمولاً فضای حالت بزرگ است بطور جایی مشهود است. مسئله دیگر این است که امکان تنظیم همه پارامترهای کنترلگر (پارامترهای توابع عضویت مقدم در کنترلگرهای فازی یا پارامترهای وزن در لایه های ابتدایی کنترلگرهای عصبی) در الگوریتم های یادگیری تقویتی پیوسته که از آنها برای کنترلگر ربات استفاده شده است، وجود ندارد.

یک ایده سودمند برای بهره گیری از مزایا و کاهش ضعف های دو روش یادگیری تقویتی و یادگیری باناظر، استفاده از ترکیب این دو روش یادگیری می باشد. در [۱۱] از یادگیری باناظر برای تخمین اولیه احتمال انتخاب عمل استفاده شده است. نویسنده به دنبال روش ترکیبی از یادگیری تقویتی و یادگیری باناظر خطی است که از یادگیری باناظر خطی برای تولید سیاست انتخاب عمل در یادگیری تقویتی استفاده شده است. لذا انتخاب عمل در روش یادگیری کیو^۸ با توجه به احتمال انتخاب عمل هایی که از داده آموزشی بدست آمده است انجام می شود. روش مذکور در مسئله سیستم مکالمه بکار گرفته شده است. در [۱۲] یادگیری تقویتی باناظر برای مسئله دنبال کردن خط در ربات متحرک استفاده شده است و از دانش ناظر بعنوان دانشی که می تواند برای روش تصمیم در خصوص کاوش در مرحله انتخاب عمل استفاده شود، بهره برده شده است. در [۱۳] ناظر با استفاده از کنترلگر PID عملی را برای هر حالت انتخاب می نماید. سپس در هنگام انتخاب عمل، در روش یادگیری تقویتی عمل انتخاب شده توسط کنترلگر PID شناسنای بالاتری برای انتخاب خواهد داشت. تابع ارزش عمل هم بر اساس روش یادگیری کیو به روز رسانی می شود. در [۱۴] نیز از ترکیب یادگیری باناظر و یادگیری تقویتی برای مسئله حرکت ربات انسان نما به سمت شارژر و اتصال به آن استفاده شده است. در اینجا سعی شده ارزش اولیه عملها از یادگیری تقویتی استفاده شود. البته فضای عملها گستته است و کلا چهار عمل برای ربات در نظر گرفته شده است.

^۳-Actor-Critic^۴-Fuzzy Sarsa Learning^۵-Fuzzy Reinforcement Learning^۶-Critic-only^۷-Fuzzy Q- Learning^۱-Reinforcement Learning^۲-Q-learning

\tilde{Q}_t - عمل تقریب زده شده برای عمل a در حالت s که با (s, a) نشان داده می‌شود، بصورت ذیل محاسبه می‌شوند [۹]:

$$a_i(s_i) = \sum_{i=1}^R \mu_i(s_i) o_{ii} \quad (1)$$

$$\tilde{Q}_t(s_i, a_i) = \sum_{i=1}^R \mu_i(s_i) w_i^{ji} \quad (2)$$

پس از محاسبه عمل نهایی a و اعمال آن، محیط به حالت جدید s_{t+1} رفته و عمل جدید a_{t+1} با توجه به مقادیر وزن فعلی w انتخاب می‌شود. ضمناً سیگنال تقویتی r_{t+1} از محیط دریافت می‌گردد. آنگاه مقادیر پارامترهای وزن هر قاعده بصورت زیر به روز رسانی می‌شوند [۹]:

$$\Delta w_{t+1}^{ij} = \begin{cases} \alpha_i \times \Delta \tilde{Q}_t(s_i, a_i) \times \mu_i(s_i) & \text{if } j = i^+ \\ 0 & \text{otherwise} \end{cases} \quad (3)$$

که α نرخ آموزش و γ فاکتور نزول و $\Delta \tilde{Q}$ خطای تقابل موقی ارزش-عمل است و بصورت ذیل محاسبه می‌گردد:

$$\Delta \hat{Q}_t(s_i, a_i) = r_{t+1} + \gamma \hat{Q}_t(s_{t+1}, a_{t+1}) - \hat{Q}_t(s_i, a_i) \quad (4)$$

قدمهای الگوریتم FSL بصورت خلاصه در زیر آمده است [۹]:

- ۱- مشاهده حالت S_{t+1} و دریافت سیگنال تقویتی r_{t+1} .
- ۲- انتخاب یک عمل مناسب در هر قاعده با استفاده از روش انتخاب عمل بیشینه نرم.
- ۳- محاسبه عمل نهایی a_{t+1} و مقدار تقریبی تابع ارزش-عمل $(\hat{Q}_t(s_{t+1}, a_{t+1}))$ با استفاده از (۱) و (۲).
- ۴- محاسبه $\Delta \hat{Q}$ و بروزرسانی w با استفاده از (۳) و (۴).
- ۵- محاسبه مقدار تقریبی جدید $(\hat{Q}_{t+1}(s_{t+1}, a_{t+1}))$ با استفاده از (۴).
- ۶- اجرای عمل نهایی.
- ۷- $t \leftarrow t + 1$ و بازگشت به مرحله اول.

۳- طراحی کنترلگر برای ناوبری ربات

برای بررسی ایده مورد بحث از ربات خپرا^۱ که یک ربات مینیاتوری برای فعالیت‌های آزمایشگاهی و تحقیقاتی ساخته شده توسط شرکت سویسی K-Team [۱۷] است، استفاده می‌کنیم. قابلیت فراوان این ربات و اندازه مناسب آن جهت فعالیت‌های آزمایشگاهی، منجر به استقبال گسترده محققین در استفاده از این ربات در ارزیابی روش‌های خود شده است [۱۸].

پیرامون ربات خپرا هشت حسگر مادون قرمز که هر یک دارای یک فرستنده و گیرنده هستند، وجود دارد. هر دو حسگر در یک وجه ربات نصب شده است (شکل ۲). محدوده عملکرد مؤثر حسگرهای این ربات

ایده آن است که با کمک دانش ناظر بجای تعیین یک عمل برای هر حالت، ارزش اولیه برای اعمال ممکن کنترلگر تعیین می‌شود. سپس با کمک یادگیری تقویتی، بصورت برخط تنظیم نهایی درجهت بهبود کارایی صورت می‌گیرد. این ترکیب باعث ایجاد تسريع در فرایند یادگیری، بهبود کیفیت آموزش، و کاهش تعداد برخوردهای ربات به موانع و همگرایی سریعتر در حین آموزش می‌شود. براساس بررسی‌های ما، این کار اولین روش ارائه شده برای ترکیب یادگیری باناظر و یادگیری تقویتی فازی پیوسته با معماری نقاد-تنهایی باشد.

ساختار مقاله به شرح زیر است. دربخش دوم الگوریتم FSL شرح داده می‌شود. بخش سوم نحوه طراحی ساختار کنترلگر فازی را شرح می‌دهد. در بخش چهارم ایده مقاله برای ترکیب یادگیری تقویتی و یادگیری باناظر را شرح می‌دهیم. بخش پنجم به پیاده‌سازی و شبیه‌سازی کار پرداخته است. در بخش آخر بحث و نتیجه‌گیری آمده است.

۲- یادگیری سارسای فازی (FSL)

از آنجا که FSL از لحاظ تحلیل ریاضی و عملکرد نسبت به FQL ارجحیت دارد، عنوان الگوریتم پایه در فرآیند یادگیری در کار ما انتخاب شده است. این الگوریتم برخلاف FQL که مستقل از سیاست می‌باشد، یک روش وایسته به سیاست است که تالی قاعده سیستم فازی را بصورت برخط تنظیم می‌نماید.

الگوریتم FSL از ترکیب سیستم‌های فازی بعنوان یک تقریب زننده تابعی خطی با روش سارسا [۱۰] حاصل شده است. یک سیستم فازی سوگنو مرتبه صفر با n ورودی و یک خروجی و R قاعده به فرم زیر را در نظر بگیرید:

$R_i : \text{If } x_1 \text{ is } L_{i1} \text{ and } \dots \text{ and } x_n \text{ is } L_{in} \text{ then}$

$$\begin{array}{ll} o_{i1} \text{ with value } & w^{i1} \\ \text{or } o_{i2} \text{ with value } & w^{i2} \\ \vdots & \vdots \\ \text{or } o_{im} \text{ with value } & w^{im} \end{array}$$

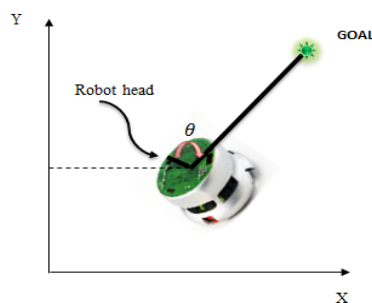
که در آن $x_1 \times \dots \times x_n = s$ بردار بعدی متغیرهای حالت ورودی، $L_i = L_{i1} \times \dots \times L_{in}$ شامل n مجموعه فازی مധب نرمال با مرکزهای یکتا برای ۱ امین قاعده، m تعداد عملهای گستته ممکن برای هر قاعده، o_{ij} j امین عمل کاندید در قاعده ۱ ام و w^{ij} مقدار ارزش تقریب زده شده برای عمل j ام در قاعده ۱ ام است. در هر قدم زمانی برای هر قاعده، یک عمل از میان m عمل کاندید شده برای تالی قاعده بر مبنای مقدار وزن آن عمل انتخاب می‌شود و آنگاه عمل نهایی از ترکیب وزن دار این عمل‌ها حاصل می‌گردد. هدف آموزش به روز رسانی برخط مقدادر وزن w^{ij} با توجه به سیگنال تقویت دریافت شده است، بگونه‌ای است که بهترین انتخاب عمل بر مبنای آن‌ها حاصل گردد [۹].

شدت آتش هر قاعده از حاصل ضرب درجههای تطابق مقدم قاعده برای ورودی‌های مختلف بدست می‌آید و خروجی سیستم a و مقدار

¹-Khepera robot

به اندازه زوایه مذکور چرخیده و پس از همراستا شدن بطور مستقیم به سمت هدف می‌رود. همان طور که در شکل ۳ نیز مشخص می‌باشد، زمانی که ربات نزدیک مانع می‌شود رفتار "پیگیری هدف" غیرفعال می‌شود و خروجی حاصل از مازول "اجتناب از مانع" به ربات اعمال می‌شود. وظیفه این مازول تعیین زاویه حرکت ربات در هر قدم زمانی به گونه‌ای است که ضمن پرهیز از برخورد به مانع در جهت نزدیک شدن به هدف، ربات حرکت کند. توجه شود از آنجا که در این مازول خروجی تولید شده با در نظر گرفتن دو مورد اجتناب از مانع و نزدیک شدن به هدف تولید می‌شود. لذا دیگر مانند دیگر کارهای مرتبط در این زمینه^[۲۰] نیازی به یک مازول برای ترکیب خروجی‌های رفتارها نیست.

از این رو هزینه محاسبات و پیچیدگی سیستم کاهش یافته است. پیشنهاد ما برای طراحی ساختار این کنترلگر، یک کنترلگر فازی سوگنو مرتبه صفر می‌باشد. ساختار این کنترلگر بصورتی در نظر گرفته می‌شود که با ساختار استفاده شده در FSL همواری داشته باشد.



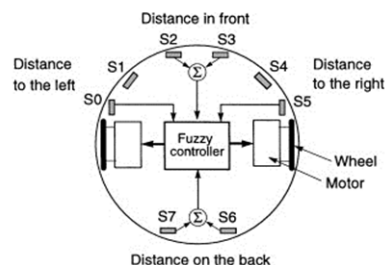
شکل ۴: محاسبه زاویه چرخش ربات برای رفتار پیگیری هدف.

کنترلگر مورد نظر دارای چهار ورودی (سه ورودی اول بعنوان معیار فاصله ربات با مانع در یکی از سه جهت راست، جلو، و عقب هستند، و ورودی چهارم زاویه پیشانی ربات با هدف) و یک خروجی (مقدار زاویه چرخشی پیشانی ربات در هنگام نزدیکی به مانع) می‌باشد. توابع عضویت ورودی این کنترلگر بشكل گوسی در نظر گرفته شده‌اند. در هر بعد ورودی بترتیب ۲، ۳، ۲ و ۲ مجموعه فازی تعریف شده است. با توجه به تقسیم بندی انجام شده در هر بعد ورودی، کنترلگر دارای ۲۴ قاعده می‌باشد. مقدار خروجی هر قاعده یک مقدار ثابت است که باید از مجموعه عملهای کاندید در نظر گرفته شده برای هر قاعده^{} انتخاب شود. عمل مناسب برای هر قاعده از این مجموعه عمل کاندید تعیین می‌گردد. لذا هدف از آموزش تعیین عمل مناسب از میان مجموعه عمل کاندید برای تالی هر قاعده است.

۴- یادگیری سارسای فازی باناظر

در این بخش روش جدیدی برای تعیین عمل مناسب از میان مجموعه عملهای کاندید ممکن برای تالی هر قاعده، در ساختار کنترلگر فازی سوگنو مرتبه صفر ارائه می‌گردد. روش ارائه شده که ترکیبی از یادگیری باناظر و یادگیری تقویتی است شامل دو مرحله می‌باشد:

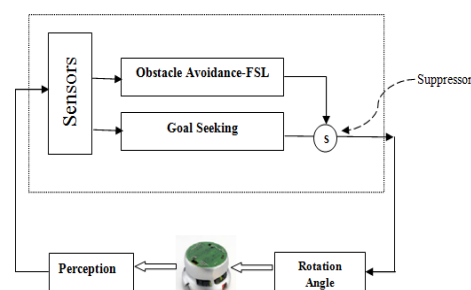
بین ۱ تا ۵ سانتیمتر است و مقدار خروجی آنها با فاصله ربات تا مانع رابطه عکس دارد. هر چه ربات به مانع نزدیک‌تر گردد، مقدار خروجی حسگر بیشتر و هر چه دورتر گردد، مقدار کمتری خواهد داشت.



شکل ۲: موقعیت سنسورها در ربات میانیتوری خپرا.

بر روی هر چرخ ربات یک رمزگذار ۱ نصب شده است که با شمارش پالس‌های حاصل از رمزگذارها می‌توان مسافت طی شده توسط هر چرخ را محاسبه نمود. همچنین بسته به کاربرد می‌توان تجهیزات جانبی دیگری همچون دوربین، چنگک و غیره بر روی ربات نصب نمود [۱۷].

در اینجا هدف آن است که اگر ربات در مجاورت مانع قرار دارد، بدون برخورد به مانع با توجه به موقعیت هدف از مانع عبور کند، و زمانی که پیامون ربات مانع وجود ندارد، ربات بطور حریصانه، به سمت هدف چرخیده به سمت آن حرکت کند. برای عملکرد بهتر ربات هنگام حرکت و نیز کاهش پیچیدگی سیستم، از عماری رده‌بندی ۲ که بروکس در [۱۹] ارائه نموده است، استفاده می‌نماییم. با استفاده از این عماری برای ربات دو رفتار در نظر گرفته می‌شود. یک رفتار بنام "اجتناب از مانع" برای زمان‌هایی که ربات نزدیک مانع است و رفتار دیگر "پیگیری هدف" برای زمانی که پیامون ربات مانع وجود ندارد.



شکل ۳: عماری مبتنی بر رفتار.

شکل ۳ طراحی انجام شده در این مقاله بر مبنای عماری مذکور را نشان میدهد. خروجی رفتار "پیگیری هدف" همان‌طور که در شکل ۴ آمده است به سادگی با محاسبه زاویه پیشانی ربات با هدف بدست می‌آید. بدین معنی که ابتدا مقدار اختلاف زاویه بدست آمده و سپس ربات

¹-Encoder

²-Subsumption

- ۷ مراحل بالا را بطور کامل برای μ_{l_2} و سپس برای μ_{l_3} (مانند) قبل با جایگزینی مقدار μ_{l_3} بجای μ_{l_2}) و μ_{l_4} (با جایگزینی مقدار μ_{l_4} بجای μ_{l_3}) تکرار می کنیم.

- ۸ در نهایت وقتی که مراحل بالا برای همه نمونه داده های جمع آوری شده انجام شد، ارزش عمل ز امین از قاعده \mathcal{A}_{min} بصورت زیر مقدار دهنی اولیه می کنیم.

$$w^{ij} = \frac{c_{ij}}{\left(\sum_j c_{ij}\right)^2} \quad (6)$$

شبه کد روش پیشنهاد شده در شکل ۵ آمده است.

```
Initialize counter ( $C_{ij}$ ) for  $j$ -th candidate action in  $i$ -th rule with zero, assign set  $A_{\text{set}}$ 
Foreach  $(x_p, y_p), x_p$  is input of the controller and  $y_p$  is suggested output by supervisor do
  Select four rules that have highest firing strength ( $l_1, l_2, l_3, l_4$ )
  output= $y_p, i=1$ 
  repeat for each rule  $L_i$ 
    Calculate firing strength ( $\mu_{li}$ )
     $a = \left[ \frac{\text{output}}{\mu_{li}} \right]$ 
    closest action to the division result is selected and indexed by  $k_i$ 
     $c_{ij} = c_{ij} + 1$ 
     $y'_p = \text{output} - \mu_{li} \times a_{ik_i}$ 
    output =  $y'_p$ 
  until  $i=4$ 
end
foreach rule i
  foreach candidate action j
     $w^{ij} = \frac{c_{ij}}{\left(\sum_j c_{ij}\right)^2}$ 
  end
end
```

شکل ۵: شبه کد روش پیشنهاد شده برای یافتن ارزش اولیه عمل های کاندید. پس از تعیین مقدار اولیه w^{ij} ها در مرحله دوم از الگوریتم FSL برای تنظیم برخط تالی قواعد کنترلگر فازی که مقدار ارزش عمل های آن (w^{ij}) بصورت بالا مقدار دهنی اولیه شده است، استفاده می کنیم. روش ترکیبی مذکور را یادگیری سارسای فازی باناظر¹ (SFSL) می نامیم. بلوک دیاگرام SFSL در شکل ۶ آمده است. بطور خلاصه روش شامل مراحل زیر می شود:

- ۱ حرکت ربات در محیط و جمع آوری داده های آموزشی.
- ۲ مقدار دهنی اولیه ارزش عمل های کاندید با روش ارائه شده (شکل ۵).
- ۳ تنظیم نهایی مقدار تالی قواعد با استفاده از FSL.

در مرحله اول ابتدا با حرکت ربات در محیط توسط ناظر، داده آموزشی جمع آوری می شود. در اینجا برخلاف روش های موجود که از داده آموزشی برای تعیین عمل مشخص برای هر حالت استفاده می شود، یک روش جدید جهت استفاده از داده آموزش برای ارزش گذاری عمل های ممکن در هر حالت ارائه می شود. بدین صورت که این داده آموزشی برای مقدار دهنی اولیه ارزش هر عمل کاندید w^{ij} (معرفی شده در بخش دوم) در تالی هر قاعده کنترلگر فازی استفاده می شود. از این رو هدفی که ما بدنبال آن هستیم تعیین ارزش برای هر خروجی انتخاب شده در هر حالت توسط ناظر است.

بدین مفهوم که مثلاً اگر ناظر عمل های متفاوتی را در یک وضعیت خاص در دفعات مجزا انتخاب کند، مناسب با تعداد انتخاب هر عمل در آن وضعیت خاص، به آن عمل ارزش داده شود. از آنجا که خروجی نهایی سیستم فازی از ترکیب وزن دار تالی انتخاب شده در هر قاعده بدست می آید. لازم است برای هر خروجی یک ترکیب ممکن از عمل های کاندید هر قاعده به گونه ای که ترکیب این اعمال بتواند منجر به مقداری نزدیک به آن خروجی شود، پیدا نموده و آنگاه ارزش آن عمل -ها افزایش یابد.

هر نمونه P از داده های جمع آوری شده شامل جفت داده ورودی - خروجی (x_p, y_p) را در نظر بگیرید که x_p ورودی کنترلگر و y_p خروجی پیشنهاد شده توسط ناظر می باشد. قدمهای زیر برای تعیین ارزش اولیه عمل های کاندید در هر قاعده (w^{ij} ، برای هر نمونه P از داده های (x_p, y_p) دنبال می شود.

- ۱ برای ورودی x_p ، چهار قاعده غالب (قاعده هایی که بیشترین میزان شدت آتش (I) را دارند) را انتخاب می نماییم. این قواعد با سمبلهای I_1 و I_2 و I_3 و I_4 نشان داده می شوند، طوری که: $\mu_{l_4} < \mu_{l_3} < \mu_{l_2} < \mu_{l_1}$

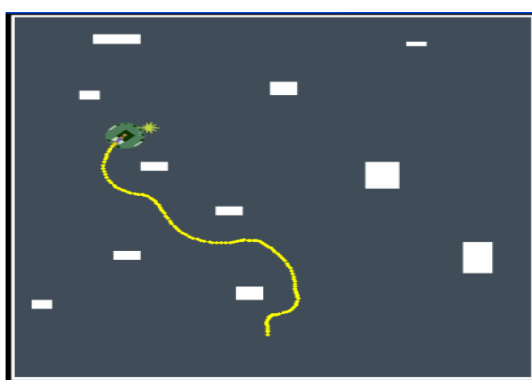
- ۲ y_p بر μ_{l_1} (بیشترین شدت آتش) تقسیم می شود.
- ۳ نتیجه تقسیم با هر یک از عمل های کاندید ($O_{l_1 l_j}$) مقایسه می شود. سپس نزدیک ترین عمل به نتیجه تقسیم انتخاب شده و k_1 بعنوان اندیس آن عمل در نظر گرفته می شود.
- ۴ شمارنده c_{ij} را برای نشان دادن دفعات انتخاب ز امین عمل کاندید، در آ امین قاعده بکار می برمیم. در این مرحله مقدار شمارنده عمل k_1 ام در قاعده I_1 ، ($C_{l_1 k_1}$) یک واحد افزایش می یابد.

- ۵ عمل k_1 ام از مجموعه عمل های کاندید قاعده I_1 در شدت آتش این قاعده (μ_{l_1}) ضرب شده و این حاصل ضرب را از y_p کم می کنیم.

$$(y'_p = y_p - \mu_{l_1} \times a_{l_1 k_1}) \quad (5)$$

- ۶ مقدار y'_p را با مقدار y_p اولیه و مقدار شدت آتش قاعده I_1 (μ_{l_1}) (جایگزین I_2) را با مقدار شدت آتش قاعده I_1 (μ_{l_2}) می کنیم.

¹-Supervised Fuzzy Sarsa Learning



شکل ۷: نمونه ای از محیط آموزش در شبیه ساز .KiKS.

با توجه به مطالب ذکر شده در بخش سوم، معماری رده‌بندی برای حرکت ربات در این مقاله پیشنهاد شد و هدف اصلی آموزش، تنظیم پارامترهای کنترلگر فازی برای مأذول "اجتناب از موانع" در معماری طراحی شده شکل ۳، می‌باشد. سه ورودی اول تعریف شده در بخش سوم برای کنترلگر ربات با ترکیب خروجی‌های حسگرهای مادون قرمز هر کدام از وجوه راست، جلو و چپ بصورت زیر حاصل می‌شوند:

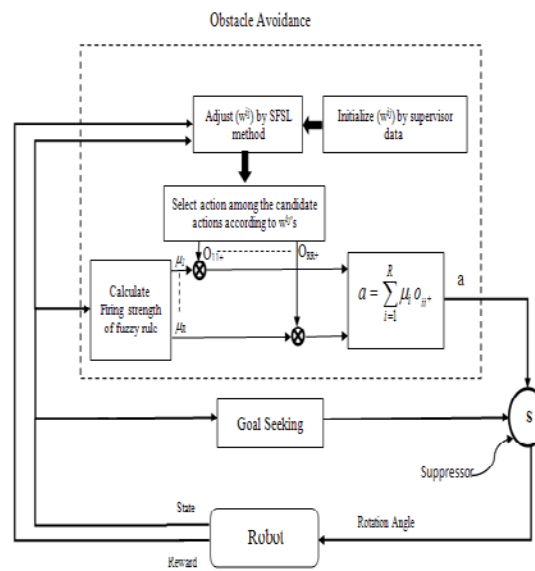
$$d_{face}(t) = 1 - \frac{\max(s_{face,1}, s_{face,2})}{1024} \quad (7)$$

$face \in \{Left, Front, Right\}$

که $s_{face,1}$ و $s_{face,2}$ مقدار خروجی حسگرهای یک و دو برای وجه مشخص شده در اندیس آن (چپ، جلو، و یا راست) می‌باشند. لازم به ذکر است خروجی حسگرهای که در شبیه ساز عددی بین 0 تا 10^{23} است بصورت پیش فرض همراه با مقداری نویز جمع شده است. مقدار صفر برای وقتی است که حسگر هیچ مانعی را در محدوده خود حس نکد و مقدار 10^{23} برای هنگامی است که حسگر تقریباً به مانع چسبیده است. ورودی چهارم زاویه پیشانی ربات با هدف است، که آن را با $\theta(t)$ نشان می‌دهیم و مقدار آن عددی بین 180 و -180 درجه می‌باشد.

چهار ورودی مذکور نرم‌الیز شده و سپس به کنترلگر وارد می‌گردند. خروجی کنترلگر زاویه‌ی چرخش پیشانی ربات است که عددی بین -45 درجه تا $+45$ درجه در نظر گرفته شده است.

مرحله اول شامل حرکت ربات توسط ناظر در محیط آموزش شکل ۷ با کمک جوی استیک^۳ می‌باشد. ۱۲۰۰ جفت داده ورودی - خروجی در این مرحله جمع آوری شد. از این داده‌ها با استفاده از روش ارائه شده در بخش چهارم، مقدار اولیه ارزش عمل‌های کاندید (w^{ij}) در هر قاعده کنترلگر فازی مشخص گردید.



شکل ۸: نمودار بلوكی روش SFSL.

۵- شبیه سازی

شبیه‌سازهای متعددی برای ربات خپرا موجود است. در این میان، شبیه‌ساز KiKS که یک شبیه‌ساز ربات خپرا در محیط برنامه نویسی MATLAB است، برای مسأله ناوبری ربات استفاده می‌شود که این شبیه‌ساز مورد توجه بسیاری از محققین قرار گرفته است [۲۱]. در این پژوهش نیز از این شبیه‌ساز استفاده شده است. در ابتدای کار لازم است محیط‌های لازم برای شبیه سازی آماده گردد. برای هر محیط ابعاد آن، موقعیت و شکل موانع، موقعیت شروع حرکت ربات، و موقعیت هدف تعیین می‌گردد. برای این کار از واسطه گرافیکی شبیه‌ساز و دستورات مرتبط با آن در شبیه‌ساز استفاده شده است.

ابعاد محیط آموزشی 820×820 میلی متر مربع است که موانع مختلفی با شکل‌های متفاوت در آن قرار گرفته‌اند. شکل ۷ محیط آموزش ربات را با موقعیت‌های مختلف شروع حرکت ربات و هدف نشان می‌دهد. در این محیط، مستطیل‌های سفید رنگ موانع و ستاره زرد رنگ، هدف می‌باشد.

هر رویداد^۱ در بخش آموزش شامل شروع از مبدأ و حرکت ربات تا رسیدن به هدف است. موقعیت هدف و شروع حرکت ربات در هر رویداد متفاوت می‌باشد. بخش آموزش در صورتیکه ربات به کران بالای تعداد حرکت‌ها که ۵۰۰ است و یا اینکه ۱۰ بار بطورمتوالی بدون شکست به هدف برسد، به پایان می‌رسد. شماره رویدادها در پایان بخش آموزش بعنوان معیار زمان آموزش^۲ LDI در نظر گرفته می‌شود.

³-Joystick

¹-Episode

²-Learning Duration Index

جهت مقابله روش ارائه شده با یک روش ترکیبی مشابه، الگوریتم CSLAFLS [۱۶] انتخاب شد. برای روش CSLAFLS از داده آموزشی بدست آمده توسط حرکت ربات توسط ناظر برای تنظیم درجه عضویت توابع عضویت ورودی فواعد فازی طبق روش بیان شده در مقاله [۱] استفاده شد و آنگاه در معماری رده بندی ارائه شده (شرح داده شده در بخش سوم) بکار گرفته شد. همچنین دو روش FSL [۹]، و FQL [۴] نیز در معماری رده بندی ارائه شده بکار رفته و نتایج شبیه سازی آورده شده است. توجه شود که در این دو روش ارزش اولیه عملهای تالی w^{ij} صفر می باشند (مقدار دهی اولیه نشده‌اند).

نتایج شبیه سازی در جدول ۱ آورده شده است. ستون اول این جدول چهار الگوریتم یادگیری را نشان می‌دهد. ستون دوم این جدول متوسط LDI ها را در بخش آموزش نشان می‌دهد که مقدار آن از متوسط گیری بر روی ۱۰ اجرای مستقل بدست آمده است. ستون سوم و چهارم نشان دهنده متوسط تعداد برخوردهای ربات با موانع، بترتیب در بخش آموزش و تست می‌باشد. نهایتاً در ستون پنجم متوسط مسافت پیموده شده توسط ربات در بخش تست آورده شده است.

جدول ۱: نتایج شبیه سازی در مسئله ناوبری ربات.

Methods	Ave. LDI	Failure Rate 1	Failure Rate 2	Ave. Distance
SFSL	40	30.4	8.7	78.00
CSLAFLS	88	49.3	9.1	78.04
FSL	107	62.6	9.3	78.12
FQL	124	66.5	9.8	77.08

همانطور که از نتایج مشهود است عملکرد روش SFSL بطور قابل توجهی از سه روش دیگر بهتر است. این روش برای معیار Ave. LDI نشانگر سرعت آموزش است، ۵۰ درصد بهتر از CSLAFLS، ۶۲ درصد سریعتر از FSL و ۶۸ درصد سریعتر از FQL، کنترلگر فازی را تنظیم می‌کند. بعارتی این روش سرعت زمان آموزش را حداقل ۶۰ درصد افزایش داده است. همچنین تعداد شکست ها در بخش آموزش در روش SFSL از سه روش بطور قابل توجهی (قریباً ۵۰ درصد) کمتر شده است. تعداد شکست ها در بخش تست نیز در روش SFSL، ۴ درصد کمتر از ۱۱ درصد کمتر از FQL و ۶ درصد کمتر از CSLAFLS است. آنجا که هر چهار روش در همه تکرارها در مرحله تست به هدف رسیده اند مسافت طی شده تا هدف در آنها تقریباً یکسان است. جهت نمایش نحوه تغییرات مقادیر وزن عملهای کاندید، نمودار تغییرات مقدار ارزش w^{ij} عملهای کاندید در قاعده ۲۳ ام کنترلگر فازی در شکل ۹ آمده است. همانطور که دیده می‌شود ارزش مربوط به اولین عمل کاندید (مربوط به 45°) بیشترین مقدار را دارد که پس از گذشت زمان کوتاهی از آموزش مقدار ارزش آن از بقیه عملها پیشی گرفته است. همچنین

در مرحله دوم آموزش از الگوریتم FSL، برای تنظیم برخط پارامترهای کنترلگر استفاده می‌شود. در الگوریتم FSL معیار فاصله ربات با موانع که d نامیده می‌شود، بصورت زیر تعریف گردید:

$$d = \min(d_{face}) \quad face \in \{Left, Front, Right\} \quad (8)$$

هر گاه d صفر شود یک شکست^۱ به حساب می‌آید. هر گاه فاصله مرکز ربات تا هدف به ۵۰ میلی متر برسد، به معنی رسیدن ربات به هدف است. سیگنال تقویتی را با توجه به نزدیکی به موانع و زاویه سر ربات با هدف بصورت زیر تعریف می‌نماییم:

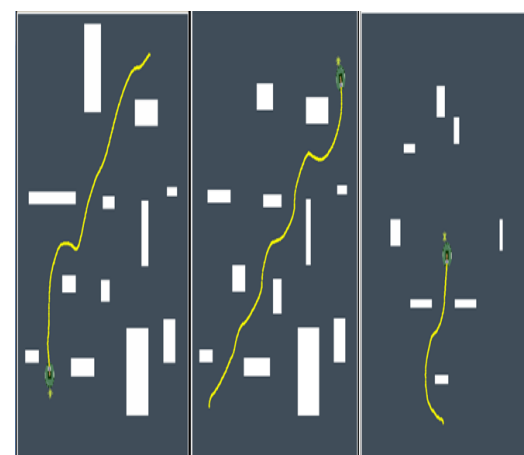
$$r(t) = \begin{cases} -1 & failure \\ -0.5 & d < 0.075 \\ \Delta/150 & \Delta > 0 \ \& \ d \geq 0.075 \\ -0.01 + \Delta/150 & \Delta \leq 0 \ \& \ d \geq 0.075 \\ 1 & goal \end{cases}, \quad \Delta = |\theta(t-1)| - |\theta(t)| \quad (9)$$

برای تالی هر قاعده ۱۳ عمل کاندید بصورت زیر در نظر گرفته شده است.

$$A = \{-45, -30, -20, -15, -10, -5, 0, 10, 20, 30, 45\}$$

برای آموزش در این مرحله، پانصد جفت موقعیت تصادفی برای نقطه شروع حرکت ربات و هدف در محیط آموزشی شکل ۷ تولید شدند. ده اجرای مستقل انجام پذیرفت. هر اجرا از دو بخش آموزش و تست تشکیل می‌گردد.

پس از پایان آموزش، برای ارزیابی عملکرد ربات، بخش تست انجام می‌پذیرد. در این بخش ۱۰ محیط جدید ایجاد شده که در ۸ محیط اول تنها موقعیت شروع حرکت ربات و هدف متفاوت است. شکل ۸ این محیطها را نشان می‌دهد. کیفیت عملکرد در محیط تست با معیارهای تعداد برخورد به موانع، و مسافت طی شده تا رسیدن به هدف ارزیابی می‌شود.



شکل ۸: محیطهای تست مختلف برای رویدادهای ۱ تا ۱۰ در بخش تست

^۱-Failure

ماژول برای ترکیب رفتارها ندارد و در هر لحظه تنها خروجی یک رفتار به ربات اعمال می شود، لذا هزینه محاسباتی و طراحی کاهش یافته است. در خصوص تحلیل ریاضی روش ارائه شده باید گفته شود که از آنجا که روش مذکور در واقع از داده با ناظر برای مقدار دهی اولیه پارامترهای روش FSL استفاده کرده است. لذا تمام شرایط بیان شده در قضایای ارائه شده برای FSL در مقاله [۹] را دارد و تحلیل ها و قضایای ریاضی بیان شده در آن مرجع برای SFSL نیز برقرار است.

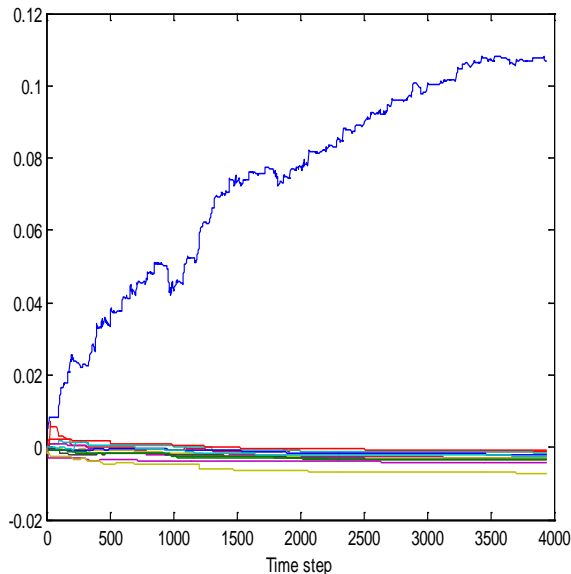
سپاسگزاری

این تحقیق با حمایت "صندوق حمایت از پژوهشگران کشور INSF" انجام شده است که بدینوسیله از آن مرکز محترم تشکر و قدردانی می گردد.

مراجع

- [1] C. Ye, N. H. C. Yung, and D. Wang, "A fuzzy controller with supervised learning assisted reinforcement learning algorithm for obstacle avoidance," *IEEE Transaction Systems, Man, Cybernetics*, vol. 33, no. 1, pp.17-27, Feb. 2003.
- [2] T. Belker, M. Beetz, and A. Cremers, "Learning action models for the improved execution of navigation plans," *Robotics and Autonomous Systems*, vol. 38, pp. 137-148, Mar. 2002.
- [3] T. Fong, I. Nourbakhsh, and K. Dautenhahn, "A survey of socially interactive robots," *Robotics and Autonomous Systems*, vol. 42, pp. 143-166, Mar. 2003.
- [4] L. Jouffe, "Fuzzy inference system learning by reinforcement methods," *IEEE Trans. Syst., Man, Cybern. C*, vol. 28, no.3, pp. 338-355, Aug. 1998.
- [5] H. R. Beom, and H. S. Cho, "A sensor-based navigation for a mobile robot using fuzzy logic and reinforcement learning," *IEEE Trans. Syst., Man, Cybern.,* vol. 25, no. 3, pp. 464-477, Mar. 1995.
- [6] K. Macek, I. Petrovic, and N. Peric, "A reinforcement learning approach to obstacle avoidance of mobile robots," *Proc. IEEE Int. Conf. Advanced Motion Control*, vol.1, pp. 462-466, 2002.
- [7] J. S. R. Jang, C. T. Sun, and E. Mizutani, "Neuro-Fuzzy and soft computing," Prentice-Hall, 1997.
- [۸] م. کلامی هریس، ن. پریز، م. ب. نقیبی سیستانی "بررسی یادگیری تقویتی و خواص سیاست بهینه در مسائل جدولی با استفاده از روش های کنترل دیجیتال" ، مجله کنترل، جلد ۳، شماره ۱، بهار ۱۳۸۸
- [9] V. Derhami, V. Majd, and M. Nili Ahamadabaadi "Fuzzy Sarsa learning and the proof of its

ترتیب مقدار ارزش عملهای دیگر نیز پس از گذشت زمان کوتاهی از آموخت دیگر تغییر نمی کند.



شکل ۹: نمودار تغییرات مقدار ارزش عملهای در تالی قاعده ۲۳ ام کنترلگر

۶- بحث و نتیجه گیری

در این مقاله یک روش جدید برای ترکیب یادگیری با ناظر و یادگیری تقویتی پیوسته پیشنهاد شد. جهت بررسی عملکرد روش مذکور از مسئله ناوبری ربات استفاده شد. در این روش فرمانهای کنترلی هدایت ربات، براساس معماری ردبهندی بروکس طراحی شد و فرمان نهایی از ترکیب دو رفتار "اجتناب از موانع" و "پیگیری هدف" بدست آمد. برای رفتار "اجتناب از موانع" یک کنترلگر فازی سوگنو مرتبه صفر طراحی شد. هدف یادگیری یافتن مقدار تالی مناسب برای هر قاعده این کنترلگر بود. روش ارائه شده از داده های آموختی تولید شده که با کمک ناظر و از طریق حرکت دادن ربات در محیط بدست آمده بود، برای تقریب مقدار ارزش هر عمل کاندید استفاده نمود. در مرحله دوم آموخت، از الگوریتم FSL به عنوان الگوریتم یادگیری تقویتی پیوسته برای تنظیم نهایی مقدار تالی قواعد کنترلگر فازی بهره برده شد. نتایج شبیه سازی برای روش ارائه شده نشان داد که زمان آموخت و تعداد برخورد به موانع، کاهش قابل توجهی نسبت به سه روش CSLAFSL، FQL و FSL هنگامی که پارامترهای آنها مقدار دهی اولیه نشده اند، دارد. لازم به توجه است که در اینجا برخلاف روش های مرسوم که از یادگیری با ناظر برای تعیین مقدار خروجی کنترلگر برای هر حالت استفاده می کنند، از داده های آموختی بدست آمده، برای ارزش دهی به عمل های کاندید در هر حالت استفاده شد. بدین طریق نه تنها از اثر مخرب داده های ناسازگار جلوگیری بعمل آمد، بلکه از دانش موجود در این داده ها نیز سود برده شد. نکته قابل توجه دیگر استفاده از معماری ردبهندی جهت ناوبری ربات بود. ساختار ارائه شده دیگر نیازی به یک

- [10] R. S. Sutton, and A. G. Barto, “Reinforcement learning: An introduction,” Cambridge, MIT Press, 1998.
- [۱۶] ف.فتحی نژاد، و.درهمی ”ترکیب یادگیری با ناظر با یادگیری تقویتی برای ناوبری ربات“، هفدهمین کنفرانس ملی سالانه انجمن کامپیوتر ایران، صفحه: ۱۱۹۵-۱۱۹۰، اسفند ۱۳۹۰
- [17] H. Maaref, and C. Barret “Sensor-based navigation of a mobile robot in an indoor environment” Robotics and Automation systems, vol. 38, pp. 1-18, Jan. 2002.
- [18] E. O. Ari, I. Erkmen, and A. M. Erkmen, “A FACL controller architecture for a grasping snake robot,” Proc. IEEE Int. Conf. Intelligent Robots and Systems, pp. 1748-1753, 2005.
- [19] R. A. Brooks, “A robust layered control system for a mobile robot, “Journal of Robotics and Automation, vol. 2, pp. 14-23, Mar.1986.
- [20] K.Anam, Prihastono, H. Wicaksono, R.Effendi, S. Kuswadi5, “Hybridization of Fuzzy Q-learning and Behavior-Based Control for Autonomous Mobile Robot Navigation in Cluttered Environment” International Joint ICROS- Conf SICE, pp. 1023 - 1028, Aug. 2009.
- [21] T. Nilsson, “KIKS: KIKS Is a Khepera Simulator”
<http://www.kiks.f2s.com>.
- stationary points” Asian Journal of Control, vol. 10, No. 5, pp. 535-549, September 2008.
- [11] J. Henderson, O.Lemon, K. Georgila, “Hybrid Reinforcement/Supervised Learning for Dialogue Policies from communicator data,” In IJCAI workshop on Knowledge and Reasoning in Practical Dialogue Systems, 2005.
- [12] R. Iglesias, C. V. Regueiro, J. Correa, S. Barro, “supervised reinforcement learning: application to a wall following behaviour in a mobile robot,” Lecture Notes in Computer Science, vol. 1416, pp. 300-309, 1998.
- [13] L.Lin, H.Xie, D.Zhang, L.Shen, “Supervised Neural Q_learning based Motion Control for Bionic Underwater Robots,” Journal of Bionic Engineering, vol.7, pp. 177-184, Sept.2010.
- [14] N.Navarro-Guerrero, C.Weber, P.Schroeter, S.Wermter, “Real-world reinforcement learning for autonomous humanoid robot docking”, Robotics and Autonomous Systems, vol. 60, pp.1400-1407.Nov.2012.
- [15] Su.Shun-Feng, H.Sheng-Hsiung, “Embedding Fuzzy Mechanisms and Knowledge in Box-Type Reinforcement Learning Controllers,” IEEE Transaction System, Man, Cybernetic. vol. 32, pp. 645-653, Oct. 2002.

مدل سازی و تحلیل سیستم ترمز هیدرولیکی ضد قفل خودرو

صیاد نصیری^۱، بیژن معاوی^۲، غلامحسن پایگانه^۳، محمد عارفیان^۴

^۱مریبی، مرکز کارگاههای آموزشی، دانشگاه صنعتی شریف، nasiri@sharif.edu

^۲استادیار، دانشکده مهندسی راه آهن، دانشگاه علم و صنعت ایران، b_moaveni@iust.ac.ir

^۳استادیار، دانشکده مهندسی مکانیک، دانشگاه تربیت دبیر شهید رجایی، ghp157@yahoo.com

^۴فارغ التحصیل کارشناسی ارشد، دانشکده مهندسی مکانیک، دانشگاه تربیت دبیر شهید رجایی، arefiyan_mohammad@yahoo.com

(تاریخ دریافت مقاله ۱۳۹۱/۶/۱، تاریخ پذیرش مقاله ۱۰/۸/۱۳۹۱)

چکیده: سیستم ترمز ضد قفل یکی از سیستم‌های ایمنی فعال می‌باشد، که به منظور دستیابی به شتاب منفی حداکثری در شرایط اضطراری ترمز گیری و همچنین افزایش پایداری و کاهش مسافت ترمزی طراحی شده است. هدف از این مقاله، مدل سازی تئوری-تجربی سیستم ترمز هیدرولیکی ضد قفل خودرو می‌باشد. از آنجایی که این سیستم بنیان و زیر بنای سایر سیستم‌های کنترلی خودرو همچون ESP، EBD و غیره است، لذا دستیابی به معادلات حاکم بر این سیستم، حائز اهمیت فراوان است. در این مقاله ابتدا روابط دینامیکی حاکم بر سیستم ترمز هیدرولیکی ضد قفل از پدال ترمز تا چرخ و زمین ارائه شده و سپس شبیه سازی‌های لازم بر اساس مدل ارائه شده در نرم افزار MATLAB انجام گرفته است. در پایان با انجام آزمایش‌های تجربی بر روی خودروی مجهز به ادوات و تجهیزات اندازه گیری و ثبت اطلاعات، صحه گذاری مدل سازی و شبیه سازی ارائه شده، انجام پذیرفته است.

کلمات کلیدی: سیستم ترمز خودرو، سیستم ترمز ضد قفل، مدل سازی، شبیه سازی و صحه گذاری

Modeling and Analysis of the Hydraulic Antilock Brake System of Vehicle

Sayad Nasiri, Bijan Moaveni, Golamhassan Payganeh, Mohammad Arefiyan

Abstract: Antilock brake system (ABS) is an active automobile safety system to achieve the maximum negative acceleration during the braking process. Also, ABS increases the automobile stability and reduces the stopping distance. Modeling the brake system and particularly ABS are very important, due to that ABS is the foundation of other advanced automobile control systems like EBD, ESP and ACC. In this paper, we introduce a detailed model of hydraulic ABS. Also, in this paper, we evaluate and validate the presented modeling, by comparing the results of simulations to experimental tests.

Keywords: Automobile Brake System, Antilock Brake System, Modeling, Simulation and Validation.

- ۱ مقدمه

حداکثری ضریب اصطکاک طولی و عرضی تایر داشته و به موجب آن، به دنبال دست یافتن به کمترین مسافت ترمزی و افزایش مانورپذیری خودرو است [1]. سیستم ترمز ضد قفل بنیان و اساس سایر سیستم‌های

کاهش مسافت ترمزی و افزایش پایداری از مهمترین عوامل کاهش تصادفات می‌باشد. این دو عامل وابسته به مقدار ضریب اصطکاک بین تایر خودرو و زمین می‌باشند. سیستم ترمز ضد قفل، سعی در حفظ مقدار

اشاره کرد. از طرفی اختلاف بار عمودی روی چرخ‌های عقب و جلو در فرایند ترمز گیری قابل توجه می‌باشد که باعث افزایش عدم قطعیت بیش از پیش در مدل سیستم می‌گردد که در [4] از این موضوع صرفنظر شده است. مهمترین بخش مقاله [4]، طراحی کنترل کننده مد لغزشی PWM و ارزیابی کنترل کننده طراحی شده در آزمون تجربی است. نتایج حاصل از این مقاله به موقوفیت استفاده از کنترل کننده مد لغزشی PWM برای کنترل کردن سیستم ترمز ضد قفل و آزمایش موفق آن در یک سیستم آزمایشگاهی منجر شده است و بحث صحه گذاری مدل سازی انجام شده مد نظر قرار نگرفته است و صرفاً به نتایج بعد از مدولاتور که ناشی از تغییر فشار کنترل کننده مورد نظر می‌باشد، اکتفا شده است که البته اختلاف قابل توجهی نیز در فشار هیدرولیک شیوه سازی و تست تجربی دیده می‌شود.

از تحقیقات مهم در حوزه مدل سازی سیستم ترمز به مقاله Khan و همکاران در سال ۱۹۹۲ که به مدل سازی بوستر پرداخته‌اند می‌توان اشاره کرد [5]. روش مورد استفاده برای مدل سازی و شبیه سازی بوستر، روش باندگراف^۵ بوده است، ولیکن در مقاله مذکور روابط حاکم بر سیستم موجود نمی‌باشد و مدل سازی بخش هیدرولیک سیستم ترمز ضد قفل نیز انجام نشده است. در مقاله مذکور به بررسی و کارآبی روش باندگراف و نحوه استفاده از آن در مدل سازی سیستم‌های دینامیک پرداخته شده است.

در [6] Ho و همکاران به مدل سازی و شبیه سازی خصوصیات سیلندر اصلی سیستم ترمز در حالت استاتیکی پرداخته‌اند. در این مقاله تمرکز بر روی سیلندر اصلی سیستم ترمز بوده است. در این مدل، ابتدا مدل استاتیکی اجزاء سیلندر اصلی استخراج گردیده و تلاش شده است که نیروی اصطکاک بین پیستون و سیلندر اصلی نیز در محاسبات لحظه گردد و در خاتمه بوسیله آزمون تجربی مدل مورد نظر موردن سنجش قرار گرفته است. در این مقاله شبیه سازی پدال ترمز و سیلندر اصلی بدون در نظر گرفتن سایر اجزاء سیستم ترمز از جمله بوستر در نرم افزار AMESim انجام شده است.

در [7]، حریفی^۶ و همکاران تنها مدل دینامیکی بدنه و تایر خودرو را ارایه کرده اند و از آن برای کنترل سیستم ترمز ضد قفل با استفاده از کنترل کننده مد لغزشی استفاده نموده اند. در این مقاله از مدل سازی تمامی اجزاء سیستم ترمز ضد قفل صرفنظر شده است و گشتاورهای ترمز اعمال شده به چرخ‌های جلو و عقب به صورت پارامتری خالص با صرفنظر از تاثیر اجزاء سیستم ترمز بر آن در نظر گرفته شده است.

کوانگ^۷ و همکاران نیز در [8] به مدل سازی دینامیکی بخش هیدرولیک سیستم ترمز برای سیستم‌های کنترل کننده فعال خودرو پرداخته‌اند. روش مورد استفاده در این مقاله، روش باندگراف می‌باشد.

پیشرفت‌هه در حوزه ایمنی فعال خودرو بوده و سیستم‌های نظیر^۱ ESP، EBD^۲ و ACC^۳ از ویژگی‌های آن بهره می‌برند. بنابراین می‌توان دریافت که تحلیل سیستم ترمز ضد قفل نیز پایه و بنیان ارزیابی و طراحی سایر سیستم‌های ایمنی در خودرو به شمار می‌رود. مدل سازی سیستم ترمز ضد قفل علاوه بر اینکه ویژگی‌های آن سیستم را مشخص می‌کند، از نقطه نظر طراحی کنترل کننده برای سیستم نیز از اهمیت ویژه‌ای برخوردار است.

اولین بار ایده سیستم ترمز ضد قفل در سال ۱۹۰۵ در کشور آلمان مطرح گردید. در سال ۱۹۴۷ اولین ترمز ضد قفل برای قطار طراحی و در سال ۱۹۶۰ ترمز ضد قفل با کنترل کننده الکترونیکی بصورت گسترش در هواپیماها مورد استفاده قرار گرفت. در سال ۱۹۶۹ اولین ترمز ضد قفل برای خودروهای سواری که تنها بر روی چرخ‌های عقب نصب می‌شد در شرکت فورد و کلسی هیس تولید گردید. اما ترمزهای ضد قفل مدرن که دارای واحد کنترل الکترونیک می‌باشد در سال ۱۹۷۶ توسط شرکت دایملر-بنز و شرکت بوش طراحی و ساخته شد [2].

در سراسر دنیا، محققان بسیاری به مسائل مختلف موجود در طراحی سیستم ترمز ضد قفل پرداخته‌اند و به نتایج گوناگونی نیز دست یافته‌اند. از مهمترین افرادی که بر روی مدل سازی سیستم ترمز ضد قفل مطالعه و تحقیق کرده است، جردس^۴ و همکارانش بوده‌اند که به بررسی و مدل سازی سیستم ترمز خودرو پرداخته‌اند [3]. تمرکز آنها بر روی مدل سازی بوستر خلایی خودرو بوده و مدل سازی استاتیکی شیر کنترلی بوستر به همراه دینامیک هوای ورودی از مهمترین خصوصیت این مدل سازی به شمار می‌رود. همچنین در [3] به وجود خاصیت هیسترزیس بوستر اشاره گردیده است. این در حالی است که مدل سیستم هیدرولیک بسیار ساده و به صورت استاتیکی و بدون لحاظ کردن اجزاء مدولاتور ABS در نظر گرفته شده است.

از جمله دیگر تحقیقات قابل توجه در مدل سازی سیستم ترمز می‌توان به مقاله Wu و همکاران در [4] اشاره نمود که در آن به مدل سازی سیستم ترمز با جزئیات بیشتر نسبت به تحقیقات پیشین پرداخته شده است. در این مدل پیشنهادی، که با آزمایش‌های تجربی نیز همراه است، متساقانه بوستر تنها با یک ضربه ثابت مدل شده است در حالیکه خصوصیات عملکردی شیر کنترل بوستر و دیسک عکس العملی از مهمترین بخش‌های موثر در احساس ترمی مناسب می‌باشد و مدل سازی صحیح و دقیق این موارد در مدل سازی واقعی سیستم ترمز یک چهارم ناپذیر است. در بخش مدل سازی، مدل هیدرولیکی ترمز یک چهارم خودرو در نظر گرفته شده است و از ساده سازی‌های بسیاری استفاده شده است که از آن جمله می‌توان به ساده سازی معادلات مربوط به بخش هیدرولیک سیستم ترمز، در نظر نگرفتن نیروی اصطکاک اجزاء و غیره

^۵ Bond Graph

^۶ Harifi

^۷ Kuang

^۱ Electronically Stability Programming

^۲ Electronic Brake Distribution

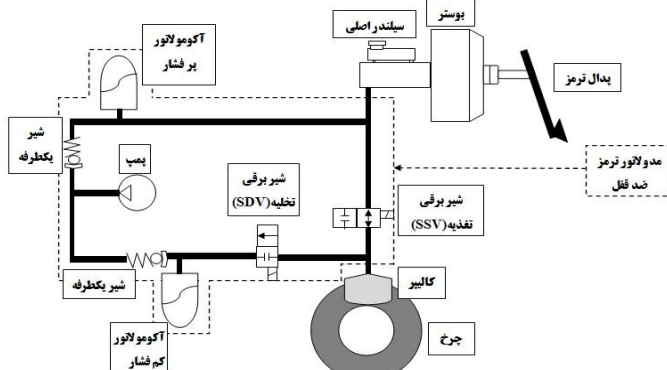
^۳ Adaptive Cruise Control or Stop and Go

⁴ Gerdes

- فاز ثبیت فشار^۱
- فاز کاهش فشار^۲

مطابق شکل ۱ که نشان دهنده اجزای مختلف سیستم ترمز ضد قفل می باشد، نیروی پای راننده وارد بر پدال ترمز توسط بوستر تقویت می گردد. نیروی خروجی بوستر به پیستون اول سیلندر اصلی و از طریق فنر و مایع هیدرولیک ترمز به پیستون دوم سیلندر اصلی نیز وارد و مایع هیدرولیک ترمز را تحت فشار قرار می دهد. پس از رسیدن فشار به حد معینی، مایع هیدرولیک پس از گذشتن از شیر برقی تغذیه (SSV^۴) به سیلندر ترمز درون چرخ می رسد. شیر برقی تغذیه در حالت عادی باز می باشد و تا رسیدن لغزش به حد معینی باز می ماند. این مرحله از عملکرد سیستم ترمز ضد قفل، مرحله افزایش فشار نامیده می شود.

علاوه بر شیر برقی تغذیه که بر سر راه ورودی مایع هیدرولیک ترمز به کالپیر چرخ قرار گرفته است، شیر برقی تخلیه (SDV^۵) نیز بر سر راه خروجی مایع هیدرولیک ترمز از کالپیر چرخ قرار گرفته است. این شیر در حالت عادی بسته بوده و تا لغزش معینی همچنان بسته می ماند. در حالتی که شیرهای برقی برقی تخلیه و تخلیه هر دو بسته باشند، حالت ثبیت فشار بوجود می آید. اگر مقدار لغزش بیش از مقدار معینی باشد حالت کاهش فشار باز شدن شیر برقی تخلیه و بسته نگه داشتن شیر برقی تغذیه رخ می دهد و مقدار لغزش به محدوده مجاز باز می گردد.



شکل ۱: بلوك دیاگرام سیستم ترمز ضد قفل

۳- مدل سازی سیستم ترمز ضد قفل

همانطور که در بخش پیشین ذکر شد، سیستم ترمز از قسمت های مختلفی تشکیل شده است. ورودی های تاثیرگذار بر سیستم ترمز معمولی عبارتند از:

۱. نیروی پای راننده وارد بر پدال ترمز

همچنین یک کنترل کننده PD با بهره های تطبیق شونده نیز طراحی گردیده است. در پایان نیز شبیه سازی و صحه گذاری تجربی بر روی مدل ارایه شده است.

مدل سازی سیستم ترمز یکی از جذاب ترین و در عین حال پیچیده ترین مباحث مرتبط با طراحی کنترل کننده برای سیستم ترمز ضد قفل و دیگر سیستم های پیشرفته مرتبط با ترمز خودرو می باشد. سیستم ترمز متشكل از زیر سیستم های مختلفی است که هریک دارای عملکرد دینامیکی خاص، متأثر از پارامترهای گوناگونی بوده که در ارتباطی پیوسته عمل ترمز گیری را انجام می دهد. پارامترهای بسیاری بر فرآیند ترمز گیری تاثیر می گذارند، که از جمله آنها می توان به نیروی پای راننده وارد به پدال در هنگام ترمز گیری، مقدار خلاء موتور و فشار هوای محیط بعنوان پارامترهای تاثیرگذار از بیرون سیستم اشاره کرد. دیگر پارامترهای از جمله ضرائب تخلیه اورفیس ها، نیروی خارجی وارد بر بدنه خودرو، چگونگی توزیع وزن خودرو بر روی چرخ ها، نوع لنت، شرایط جاده و تایر، پارامترهای درون سیستم ترمز و گشتاور ترمی وارد به چرخ به عنوان پارامترهای خروجی سیستم ترمز می باشند. بنابراین هر چقدر تعداد پارامترهای تاثیرگذار بیشتری در مدل سازی لحظه گردد، مدل سازی انجام شده کاملتر و دقیق تر بوده و رفتار واقعی سیستم در شرایط مختلف را بهتر نشان می دهد. در نتیجه طراحی کنترل کننده برای سیستم ترمز با توجه به این مدل سازی کاملتر و موثر تر خواهد بود. در مقاله حاضر، برخلاف پژوهش های پیشین که عمدتاً بر قسمتی خاص از سیستم ترمز تمرکز کرده اند، تلاش شده است تا مدل سازی ریاضی تمامی زیر بخش های سیستم ترمز از پدال ترمز تا چرخ ها و زمین و همچنین دینامیک ترمز گیری ارائه شود. پس از آن، مدل ارائه شده با استفاده از پارامترهای یک خودوری واقعی شبیه سازی شده و نتایج تحلیل و ارزیابی شده است. در پایان نتایج شبیه سازی ها با نتایج آزمون های تجربی مقایسه شده و مدل ارائه شده صحة گذاری شده است. در خاتمه، معادلات حالت سیستم ترمز هیدرولیکی ضد قفل خودرو استخراج گردیده است تا بتوان در پژوهش های آتی به طراحی و پیاده سازی کنترل کننده های مختلفی برای این سیستم پرداخت.

۲- معرفی سیستم ترمز ضد قفل

سیستم ترمز ضد قفل دارای فازهای عملکردی مختلفی است که بر اساس مقدار لغزش چرخ ها تعیین می گردد. لغزش عبارت است از [۴]:

$$\lambda = \frac{v - R_w \omega}{v} \quad (1)$$

که λ مقدار لغزش بین تایر و زمین، v سرعت خودرو، ω سرعت دورانی تایر و R_w شعاع چرخ می باشد.

بر این اساس، فازهای عملکردی سیستم ترمز ضد قفل عبارتند از:

- فاز افزایش فشار^۱

¹ Apply

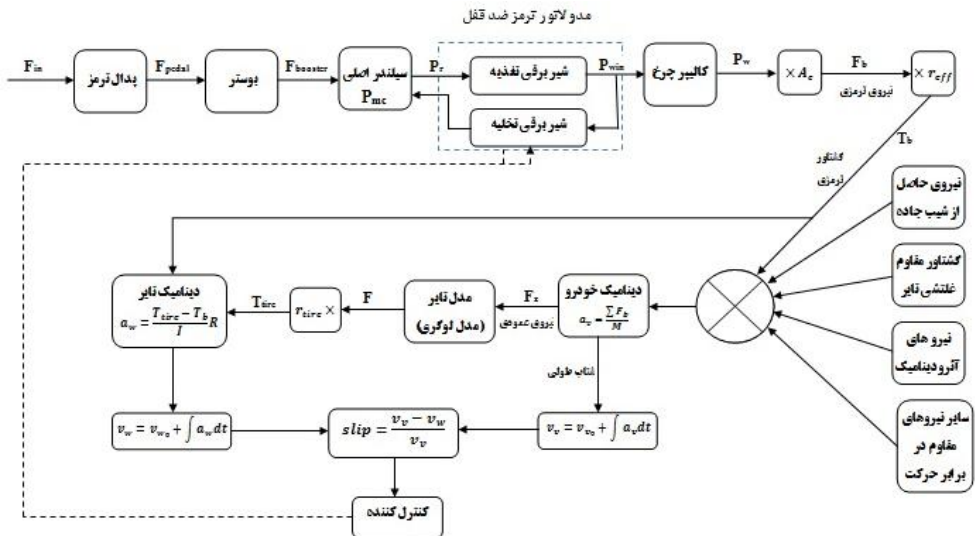
² Hold

³ Release

⁴ Solenoid Charge Valve

⁵ Solenoid Discharge Valve

۲. فشار هوای محیط و همچنین خلاء تولید شده حاصل از کار کرد موتور خودرو



شکل ۲: مدل کامل سیستم ترمز ضد قفل و دینامیک ترمز گیری

$$F_{pedal} = \frac{b}{a} F_{in} \quad (2)$$

ماکریم نیروی پای راست که به پدال ترمز اعمال می شود، برای زنان در حدود ۴۴۵ نیوتن و برای مردان ۸۲۳ نیوتن می باشد. هر دو پارامتر نیروی اعمالی به پدال و جابجایی آن برای بهبود عملکرد راننده ضروری و مهم می باشد [۹]. پر واضح است که سیستم ترمز با جابجایی نامناسب پدال به خصوص در جاده های لغزنده دچار قفل شدن غیر عمدی چرخ ها شده و افزایش لغزش و کاهش راندمان سیستم ترمز را به دنبال خواهد داشت.

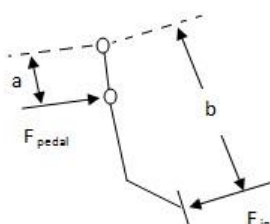
۲-۳- بوستر

بوستر وظیفه افزایش ۶ تا ۴ برابری نیروی پای راننده را بر عهده دارد [۹]. نیروی پای راننده به بوستر وارد شده و سپس با اختلاف فشار ایجاد شده در دو طرف دیافراگم آن، نیروی پای راننده تقویت می گردد. در زمان فعل شدن بوستر، پشت دیافراگم به هوای آزاد و جلوی آن به خلاء موتور متصل می گردد. شکل ۴ شماتیک بوستر در حالت غیر فعل را نشان می دهد. همانگونه که ملاحظه می گردد، در این حالت دو طرف دیافراگم به خلاء موتور متصل بوده و بنابراین بوستر در وضعیت غیر فعل می باشد.

در سیستم ترمز ضد قفل، علاوه بر ورودی های فوق، عوامل تاثیر گذار دیگر عبارت است از نحوه باز و بسته شدن شیرهای برقی تغذیه و تخلیه مایع هیدرولیک سیستم ترمز که به وسیله آنها فشار مایع هیدرولیک در پشت پیستون کالیپرهای کنترل و در نتیجه با تغییر در گشتاور ترمزی اعمال به چرخ، لغزش کنترل می گردد. در حقیقت با استفاده از این شیرهای تخلیه و تغذیه است که گشتاور ترمزی و به عبارت دیگر عملکرد سیستم ترمز را می توان کنترل نموده و بهبود بخشید. شکل ۲ نشان دهنده مدل کلی و اجزای تشکیل دهنده سیستم ترمز است. با دقت در این نمودار می توان نحوه ارتباط و طریقه عملکرد سیستم ترمز ضد قفل و تعامل اجزای سیستم ترمز برای مدل سازی را مشاهده نمود. همانگونه که در شکل ۱ نیز نشان داده شده است، ورودی سیستم ترمز نیروی پای راننده بوده که به پدال ترمز اعمال می شود. لذا در ادامه این مقاله مدل سازی سیستم ترمز نیز، با مدل سازی پدال آغاز می گردد.

۳-۱- مدل سازی پدال

پدال ترمز اولین جز سیستم ترمز محاسبه می شود که نیروی پای راننده را با توجه به شکل ۳ و بر اساس رابطه (۲) تقویت می کند.



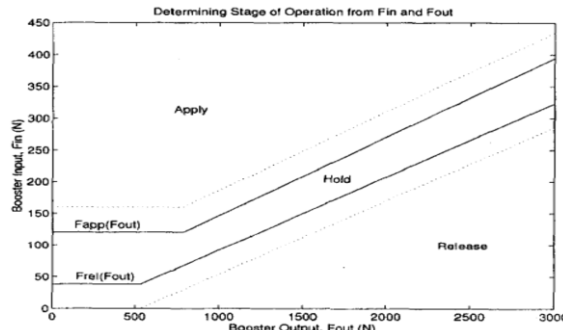
شکل ۳: مدل پدال ترمز و نیروهای واردہ به آن

$$\begin{aligned} F_{pedal} < F_{rel} &\Rightarrow release \\ F_{rel} \leq F_{pedal} \leq F_{app} &\Rightarrow hold \\ F_{app} \leq F_{pedal} &\Rightarrow apply \end{aligned} \quad (5)$$

بر این اساس حالت‌های مختلف عملکرد بوستر را می‌توان بصورت زیر مدل نمود:

• حالت اعمال نیرو

$$\begin{aligned} F_{pedal} < 130 &\quad F_{out} = 0 \\ F_{pedal} = 130 &\quad 0 < F_{out} < 750 \\ F_{pedal} > 130 &\quad F_{out} = 750 + 0.03738F_{pedal} \end{aligned} \quad (6)$$



شکل ۶: حالت‌های عملکردی بوستر [2]

F_{out} ، نیروی خروجی بوستر می‌باشد.

• حالت خلاص کردن نیرو

$$\begin{aligned} F_{pedal} < 40 &\quad F_{out} = 0 \\ F_{pedal} = 40 &\quad 0 < F_{out} < 550 \\ F_{pedal} > 40 &\quad F_{out} = 550 + 0.1066F_{pedal} \end{aligned} \quad (7)$$

• حالت حفظ نیرو

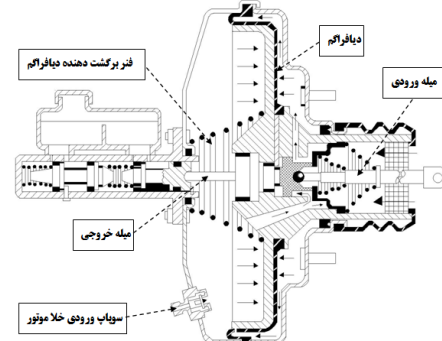
حالات ما بین اعمال نیرو و خلاص کردن نیرو حالت حفظ نیرو است. بنابراین در هریک از این حالات عملکرد بوستر مقدار P_a و P_v نیز باید تعریف گردد. مقادیر فوق توسط روابط (۸) و (۹) بیان می‌گردد.

$$P_a = \frac{m_a RT}{V_{a0} + A_d x_2} \quad (8)$$

$$P_v = \frac{m_v RT}{V_{v0} - A_d x_2} \quad (9)$$

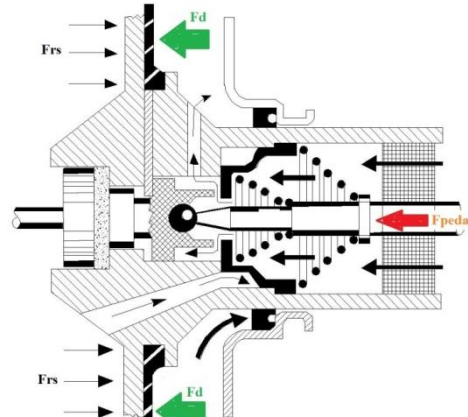
در این روابط m_a جرم هوای محفظه فشاری بوستر، m_v جرم هوای محفظه خلایی بوستر، R ثابت عمومی گازها، T دما بر حسب درجه کلوین، V_{a0} حجم اولیه محفظه فشار، V_{v0} حجم اولیه محفظه خلاء می‌باشد. مقادیر m_a و m_v را می‌توان با استفاده از روابط (۱۰) تا (۱۲) بدست آورد [3].

$$\dot{m}_a = \begin{cases} C_{aa}(P_{atm} - P_a) & apply \\ C_{leak}(P_v - P_a) & hold \\ C_{av}(P_v - P_a) & release \end{cases} \quad (10)$$



شکل ۴: بوستر ترمز در حالت غیر فعال

حالات فعال شدن بوستر در شکل ۵ نشان داده شده است. با دقت در این شکل می‌توان دریافت که با کم کردن نیروی فنر (F_{rs}) از مجموع نیروی پای راننده (F_d) و نیروی دیافراگم (F_d) مقدار نیروی خروجی بوستر حاصل می‌گردد.



شکل ۵: شیر کنترلی بوستر ترمز در حالت فعال

بنابراین می‌توان مدل ساده بوستر را با توجه به شکل ۵ به صورت رابطه (۳) در نظر گرفت.

$$F_{booster} = \begin{cases} F_d + F_{pedal} - F_{rs} & F_d + F_{pedal} > F_{rs} \\ 0 & otherwise \end{cases} \quad (3)$$

در این رابطه $F_{booster}$ نیروی خروجی بوستر، F_d نیروی حاصل از اختلاف فشار دو طرف دیافراگم و F_{rs} نیروی فنر برگرداننده بوستر می‌باشد. لذا مقدار نیروی F_d را می‌توان بصورت رابطه (۴) محاسبه نمود:

$$F_d = (P_a - P_v)A_d \quad (4)$$

که در این رابطه P_v نشان دهنده فشار در جلوی دیافراگم (منطقه خلایی) بوده و P_a نشان‌گر فشار در پشت دیافراگم (منطقه فشاری) است. همچنین A_d سطح موثر دیافراگم است.

بوستر دارای سه حالت اعمال، حفظ و خلاص کردن نیرو است و مقدار نیروی F_d در هریک از این حالات نیز متفاوت می‌باشد. با توجه به دو مقدار نیروهای مرزی F_{rel} و F_{app} که در شکل ۶ نشان داده شده‌اند، می‌توان سه حالت فوق را به صورت رابطه (۵) تعریف کرد [3].

$$C_{av} = \begin{cases} \bar{C}_{av} + \bar{C}_{leak} & F_{pedal} < F_{rel} - \bar{F}_{rel} \\ \bar{C}_{av} \left(\frac{F_{rel} - F_{pedal}}{F_{rel}} \right) + \bar{C}_{leak} & \text{otherwise} \end{cases} \quad (14)$$

مقادیر عددی پارامترهای فوق با توجه به ناحیه نقطه چین در شکل ۶ قابل استحصال می‌باشد. برای نشست جریان، ضربی جریان مختلفی در نظر گرفته می‌شود. زیرا مقدار نشتی وابسته به مقاومتی است که فنر در اثر افزایش نیرو در برابر نشتی ایجاد می‌کند. مدل ارایه شده بر اساس تغییرات

خطی دیسک عکس العملی بصورت رابطه (۱۵) می‌باشد [۳].

$$C_{leak} = \bar{C}_{leak} \left(\frac{F_{app} - F_{pedal}}{F_{app} - F_{rel}} \right) \quad (15)$$

حال برای بدست آوردن مقدار نیروی خروجی از بوستر با استفاده از رابطه (۳)، نیاز به مقدار F_{rs} می‌باشد که در رابطه (۱۶) بیان شده است.

$$F_{rs} = F_{rs0} + K_{rs}x_d \quad (16)$$

در این رابطه F_{rs0} نیروی پیش فشار واردہ برق فنر برگردان بوده، K_{rs} ضربی فریت فنر برگردان و x_d جابجایی دیافراگم می‌باشد که با توجه به رابطه (۱۷) بدست می‌آید.

$$m_d \ddot{x}_d = F_{pedal} + F_d - F_{rs} \quad (17)$$

۴-۳- مدل سازی بخش هیدرولیک

اساسی ترین بخش در سیستم ترمز ضد قفل، کنترل مقدار فشار مایع هیدرولیک ترمز پشت پیستون کالیپر یا سیلندر چرخ‌ها است. بنابراین تصویری درست از دینامیک هیدرولیک ترمز و مدل سازی دقیق آن در مدل سازی سیستم ترمز ضد قفل، امری ضروری در طراحی کنترل کننده برای سیستم ترمز ضد قفل به شمار می‌آید. قسمت هیدرولیک سیستم ترمز ضد قفل از سیلندر اصلی آغاز و تا سیلندر چرخ‌ها ادامه می‌یابد.

۱-۴-۳- مدل سازی سیلندر اصلی

اولین قسمت سیستم ترمز پس از بوستر، سیلندر اصلی می‌باشد که در شکل ۷ اجزای آن نشان داده شده است. با استفاده از قانون دوم نیوتون می‌توان معادله دینامیکی حاکم بر پیستون را بصورت معادله (۱۸) ارائه نمود.

\dot{m}_a نرخ جرم هوای ورودی به بوستر، C_{aa} ضربی تخلیه جریان هوای خطي شده برای جریان هوای اتمسفر در حالت C_{leak} apply محفوظه فشاری و خلایی بوستر، C_{av} ضربی تخلیه جریان هوای خطي شده برای جریان هوای اتمسفر بین محفظه‌ها و P_{atm} فشار هوای اتمسفر است [۳].

$$\dot{m}_v = \begin{cases} \dot{m}_{vm} & \text{apply} \\ \dot{m}_{vm} + C_{leak}(P_v - P_a) & \text{hold} \\ \dot{m}_{vm} + C_{av}(P_v - P_a) & \text{release} \end{cases} \quad (11)$$

در این رابطه \dot{m}_v نرخ جرم هوای محفظه خلایی بوستر و نرخ جرم هوای عبوری از شیر یک طرفه می‌باشد. وظیفه این شیر یک طرفه تنها عبور دادن جریان هوای درون محفظه خلایی به سمت مانیفولد می‌باشد. بنابراین یک مدل ساده از جریان عبوری از شیر یک طرفه عبارت است از [۳]:

$$\dot{m}_{vm} = \begin{cases} -C_{vm}(P_v - P_{man} - P_0) & P_v > P_{man} + P_0 \\ 0 & \text{otherwise} \end{cases} \quad (12)$$

C_{vm} ضربی تخلیه جریان خطي شده، P_0 فشار لازم برای باز شدن شیر یک طرفه و P_{man} فشار مانی فولد است [۳]. یکی از عوامل مهم در عملکرد بوستر خودرو مقدار خلاء موتور می‌باشد که باعث تغییر مقدار نیروی خروجی از بوستر شده و در معادلات نیز لحاظ شده است. این موضوع سبب تغییر احساس ترمزی در حالتی که میزان خلاء موتور تغییر می‌کند شده و بعض راننده را دچار خطا ترمز گیری می‌نماید. این وضعیت در حالت فعل بودن کولر خودرو که خلاء کمتری نسبت به حالت عادی کار موتور ایجاد می‌کند برای راننده کاملاً مشهود می‌باشد.

۳-۳- مدل سازی اورفیس شیر کنترلی

فاصله بین میله فشاری و دیافراگم بوستر یکی از فاکتورهای مشخص کننده حالت عملکرد بوستر بوده و از طرفی این فاصله بیان کننده اندازه اورفیس شیر کنترلی نیز می‌باشد. با توجه به شکل ۴ می‌توان دریافت که، سطح موثر اورفیس بصورت خطی با جابجایی بین میله فشاری و دیافراگم بوستر تا زمان باز شدن کامل آن افزایش یابد. از دیدگاه تجربی، انجام این کار نیاز به مشخص کردن ضربی جریان برای حالت کاملاً باز اورفیس دارد. با پیدا کردن ضربی جریان در حالت فوق، دیگر مقدار ضرایب جریان را مناسب با اندازه اورفیس می‌توان تخمین زد [۳].

اگر \bar{F}_{rel} و \bar{F}_{app} را به عنوان نیروی مورد نیاز برای باز شدن کامل اورفیس در حالت افزایش فشار و کاهش فشار و C_{aa} و \bar{C}_{aa} به عنوان ضرایب تطبیق جریان در نظر گرفته شوند، آنگاه C_{av} و C_{aa} عبارتند از [۳]

$$C_{aa} = \begin{cases} \bar{C}_{aa} & F_{pedal} > F_{app} + \bar{F}_{app} \\ \bar{C}_{aa} \left(\frac{F_{pedal} - F_{app}}{F_{app}} \right) & \text{otherwise} \end{cases} \quad (13)$$



شکل ۸: بلوک الکتروهیدرولیک یا مدولاتور ترمز ضد قفل

مدولاتور الکتروهیدرولیک ترمز ضد قفل از پمپ، مجموعه شیرهای برقی و ECU تشکیل شده است. با توجه به شکل ۱ مدولاتور ترمز ضد قفل و مدارهای هیدرولیک، برای مدل یک چهارم خودرو به شرح زیر مدل سازی می‌شود.

۱-۲-۴-۳ فاز اول - افزایش فشار • مدل سازی مدار ترمز تا شیر برقی تغذیه

تغییر فشار بین خروجی سیلندر اصلی و لوله‌هایی که سیال را به شیر تغذیه چرخ منتقل می‌کنند، عبارت است از:

$$\dot{P}_r = \beta_r \frac{\dot{V}_r}{V_r} = \beta_r \frac{Q_{rmc} - Q_{win}}{V_r} \quad (21)$$

β_r مدول بالک لوله بین سیلندر اصلی مدار ترمز و بلوک هیدرولیک، Q_{win} دبی روغن ارسالی به چرخ بعد از شیر تغذیه و V_r حجم لوله بین خروجی سیلندر اصلی تا تغذیه است. مقدار دبی روغن بعد از شیر برقی تغذیه و قبل از کالیپر چرخ را می‌توان با استفاده از رابطه (۲۲) بدست آورد.

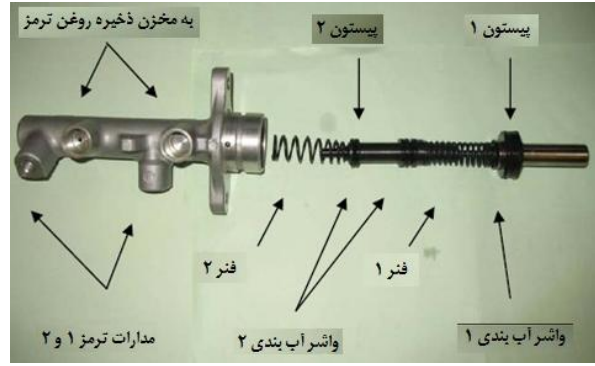
$$Q_{win} = C_{win} C_d A_0 \sqrt{\frac{2}{\rho} |P_r - P_{win}| sign(P_r - P_{win})} \quad (22)$$

P_{win} فشار سیال بعد از شیر برقی تغذیه و قبل از رسیدن به کالیپر چرخ، $C_{win} C_d$ ضریب تخلیه اورفیس شیر برقی تغذیه و A_0 سطح اورفیس شیر برقی تغذیه می‌باشد.

• تغییر فشار در مدار ترمز بعد از شیر برقی تغذیه و قبل از کالیپر چرخ

با استفاده از رابطه (۲۳) می‌توان فشار در مدار ترمز بعد از شیر برقی تغذیه و قبل از کالیپر چرخ را می‌توان بدست آورد.

$$\dot{P}_{win} = \beta_{Lwin} \frac{\dot{V}_{Lwin}}{V_{Lwin}} = \beta_{Lwin} \frac{Q_w}{V_{Lwin}} \quad (23)$$



شکل ۷: اجزا داخلی سیلندر اصلی [۶]

$$\begin{aligned} M_{mc} \ddot{x}_{mc} &= F_{booster} - P_{mc} A_{mc} \\ &- K_{mc} (x_{mc} + x_{mc0} -) - \mu_s N \\ &- \mu_d N sign x_{mc} - C_{mc} (\dot{x}_{mc}) \end{aligned} \quad (18)$$

در رابطه (۱۸)، M_{mc} جرم پیستون، P_{mc} فشار و سطح مقطع سیلندر اصلی، K_{mc} سختی فنر سیلندر اصلی، $C_{mc}(\dot{x}_{mc})$ جابجایی فنر مدار عقب و پیش بار فنر سیلندر اصلی، $\mu_s N + \mu_d N sign x_{mc}$ نیروی دمپنگ سیلندر اصلی و N نیروی اصطکاک ایستایی و دینامیکی است. در معادله فوق، تغییرات فشار در سیلندر اصلی از رابطه (۱۹) استخراج می‌گردد [۱۰].

$$\dot{P}_{mc} = \beta_{mc} \frac{\dot{V}_{mc}}{V_{mc}} = \beta_{mc} \frac{A_{mc} \dot{x}_{mc} - Q_{mc}}{V_{mc}} \quad (19)$$

پارامترهای این رابطه عبارتند از: β_{mc} مدول بالک مایع و سیلندر اصلی برای حجم V_{mc} ، Q_{mc} دبی روغن ارسالی به مدار ترمز و حجم اولیه سیلندر اصلی.

دبی روغن ارسالی به مدار از رابطه (۲۰) بدست می‌آید [۱۰]:

$$Q_{mc} = C_{mc} C_d A_0 \sqrt{\frac{2}{\rho} |P_{mc} - P_r| sign(P_{mc} - P_r)} \quad (20)$$

که در این رابطه، $C_{mc} C_d$ ضریب تخلیه اورفیس سیلندر اصلی مدار ترمز، A_0 سطح مقطع خروجی سیلندر اصلی به مدار ترمز، ρ جرم حجمی روغن، P_{mc} فشار در سیلندر اصلی و P_r فشار در مدار ترمز است.

۱-۲-۴-۳ بلوک الکتروهیدرولیک سیستم ترمز ضد قفل

شکل ۸ بلوک الکتروهیدرولیک یا مدولاتور ترمز ضد قفل را نشان می‌دهد.

نرخ فشار و دبی خروجی از کالیپر تا شیر تخلیه

$$\dot{P}_{l_{out}} = \beta_{l_{out}} \frac{V_{l_{out}}}{V_{l_{out}}} = \beta_{l_{ij}} \frac{Q_{SDV} - Q_{SDV}}{V_{l_{out}}} \quad (31)$$

$$Q_{SDV} = C_{SDV} C_d A_0 \sqrt{\frac{2}{\rho} |P_{L_{out}} - P_{L_{PA}}|} \quad (32)$$

حال باید به اندازه زمان $t_{o_{SDV}}$ ، شیر برقی تخلیه را باز نگه داشت، تا ایجاد گردد و فشار ثانویه حاصل شود و چرخ دوباره در محدوده مناسب لغزش قرار گیرد. مقدار دبی سیال عبوری از شیرهای برقی تخلیه بسته به زمان باز بودن آنها می‌باشد. بنابراین مقدار دبی عبوری واقعی از شیرهای برقی تخلیه از رابطه (۳۳) بدست می‌آید.

$$Q_{SDV_A} = Q_{SDV} \times t_{o_{SDV}} \quad (33)$$

• معادله دینامیکی حاکم بر آکومولاتور فشار ضعیف

شکل ۹ نشان دهنده بخش هیدرولیک ترمز ضد قفل می‌باشد که در آن آکومولاتورهای فشار ضعیف نشان داده شده است.



شکل ۹: بخش هیدرولیک بلوك ترمز ضد قفل

این آکومولاتورها دارای یک فر و پیستون بوده که ضمن تامین دبی مورد نیاز مایع هیدرولیک در موقع ضروری در هنگام عملکرد شیرهای برقی تغذیه و تخلیه، مقداری از ضربات ناشی از کارکرد پمپ و همچنین باز و بسته شدن شیرهای برقی را جذب می‌کنند. معادله دینامیکی حاکم بر آکومولاتور فشار ضعیف عبارت است از:

$$M_{LPA} \ddot{x}_{LPA} = P_{LPA} A_{LPA} - C_{LPA} \dot{x}_{LPA} - K_{LPA} (x_{LPA} + x_{0_{LPA}}) - \mu_s N_{LPA} - \mu_d N_{LPA} sign(x_{LPA}) \quad (34)$$

$$\dot{P}_{LPA} = \beta_{LPA} \frac{\dot{V}_{LPA}}{V_{LPA}} \quad (35)$$

$$= \beta_{LPA} \frac{Q_{SDV_A} - x_{LPA} A_{LPA} - Q_{OWDV}}{V_{LPA}} \quad (36)$$

$$Q_{OWDV} = C_d A_0 \sqrt{\frac{2}{\rho} |P_{LPA} - P_{PI}|} \quad (36)$$

β_{Lwin} مدول بالک مدار ترمز بعد از شیر برقی تغذیه و قبل از کالیپر، V_{Lwin} حجم اولیه مدار ترمز بعد از شیر برقی تغذیه و قبل از کالیپر و Q_w دبی روغن از لوله مدار ترمز به داخل کالیپر می‌باشد.

• کالیپر چرخ

با کمک رابطه (۲۴) می‌توان دبی و با استفاده از رابطه (۲۵) فشار ورودی به کالیپر چرخ را بدست آورد.

$$Q_w = C_w C_d A_0 \sqrt{\frac{2}{\rho} |P_{win} - P_w|} sign(P_{win} - P_w) \quad (24)$$

در این رابطه، C_w ضریب سطح، A_0 سطح اورفیس سیلندر چرخ و P_w فشار درون کالیپر چرخ می‌باشد.

$$\dot{P}_w = \beta_w \frac{\dot{V}_w}{V_w} = \beta_w \frac{Q_w - A_w \dot{x}_w}{V_w} \quad (25)$$

معادله حرکت حاکم بر پیستون کالیپر چرخ عبارت است از:

$$M_w \ddot{x}_w = P_w A_w - C_w \dot{x}_w - K_w x_w - F_{L_w} - \mu_s N_w - \mu_d N_w sign(x_w) \quad (26)$$

در این رابطه F_{L_w} نیروی واردہ بر لنت چرخ است. بنابراین مرحله افزایش فشار به پایان می‌رسد.

-۲-۲-۴-۳ فاز دوم- ثبیت فشار

مرحله دوم ثبیت فشار می‌باشد که بوسیله بستن شیر برقی تغذیه و همچنین بسته نگه داشتن شیر برقی تخلیه انجام می‌گیرد. در این حالت فشار درون کالیپر برای چرخ ثابت مانده و برابر P_w می‌باشد.

$$Q_w = 0 \Rightarrow P_w = constant \quad (27)$$

-۳-۲-۴-۳ فاز سوم- کاهش فشار

مرحله سوم کاهش فشار مایع هیدرولیک سیستم ترمز می‌باشد. میزان کاهش فشار (ΔP) می‌تواند بر اساس مقدار کاهش نیرو جهت رسیدن به حد ماکریم اصطکاکی بین تایر و زمین اعمال گردد که با بسته نگه داشتن شیر برقی تغذیه و باز کردن شیر برقی تخلیه انجام می‌گیرد. معادله دینامیکی حاکم بر پیستون کالیپرهای، فشار و دبی خروجی از کالیپر چرخ عبارتند از:

$$M_w \ddot{x}_w = P_{wout} A_w - C_w \dot{x}_w - K_w x_w - F_{L_w} - \mu_s N_w - \mu_d N_w sign x_w \quad (28)$$

$$\dot{P}_{wout} = \beta_{wout} \frac{\dot{V}_{wout}}{V_{wout}} = \beta_{wout} \frac{\dot{x}_w A_w - Q_{wout}}{V_{wout}} \quad (29)$$

$$Q_{wout} = C_w C_d A_0 \sqrt{\frac{2}{\rho} |P_{wout} - P_{L_{out}}|} \quad (30)$$

در روابط فوق $P_{L_{out}}$ فشار خروجی از کالیپر تا شیر تخلیه و Q_{wout} دبی خروجی از کالیپر می‌باشد.

۳-۵-۳- مدل سازی دینامیک خودرو

شکل ۱۰ دیاگرام آزاد خودروی در حال ترمز گیری رانشان می‌دهد. با استفاده از قانون دوم نیوتون می‌توان رابطه (۴۶) را به شرح ذیل نوشت.

$$a_x = \frac{\sum F_b}{M} \quad (46)$$

$$= \frac{F_{bf} + F_{br} + D_a + R_{xf} + R_{xr} - W \sin \theta}{M}$$

در این رابطه F_b برآیند نیروی ترمزی خودروی در حال ترمز گیری، M جرم خودرو، F_{bf} نیروی ترمزی چرخ‌های جلو، F_{br} نیروی ترمزی چرخ‌های عقب، D_a نیروی مقاومت هوای چرخ‌های عقب و $W \sin \theta$ نیروی شیب جاده می‌باشد. نیروی مقاوم غلتشی تایر را می‌توان از رابطه (۴۷) محاسبه کرد [۱۴]:

$$R_x = R_{xf} + R_{xr} = (W_f + W_r)f_r \quad (47)$$

که در آن به ترتیب W_f نیروی عمودی اعمالی به تایرهای جلو، W_r نیروی عمودی اعمالی به تایرهای عقب، R_w شعاع چرخ و f_r ضریب نیروی مقاومت غلتشی تایر می‌باشد. نیروی عمودی وارد بر چرخ‌های جلو و عقب نیز از رابطه (۴۸) بدست می‌آید.

$$W_f = \frac{WH \sin \theta}{2(L_f + L_r)} + \frac{Ma_x H}{2(L_f + L_r)} + \frac{WL_r \cos \theta}{2(L_f + L_r)}$$

$$- \frac{D_a H_a}{2(L_f + L_r)} \quad (48)$$

$$W_r = -\frac{WH \sin \theta}{2(L_f + L_r)} - \frac{Ma_x H}{2(L_f + L_r)}$$

$$+ \frac{WL_f \cos \theta}{2(L_f + L_r)} + \frac{D_a H_a}{2(L_f + L_r)}$$

که در آن H ، L_r ، L_f ، M ، a_x ، H_a ، L_r ، L_f ، D_a به ترتیب ارتفاع مرکز ثقل خودرو از سطح جاده، شتاب طولی خودرو، جرم خودرو، فاصله مرکز چرخ جلو تا مرکز ثقل، فاصله مرکز چرخ عقب تا مرکز ثقل، ارتفاع موثر تأثیر نیروی مقاومت هوای نیروی مقاومت هوای می‌باشند.

۳-۶- دینامیک چرخ

معادله دینامیکی حاکم بر چرخ خودرو که در شکل ۱۱ نشان داده شده است، با در نظر گرفتن $T_b = P_w A_C \mu r_{eff}$ عبارت است از:

$$\dot{\omega} = \frac{R_w F_x - P_w A_C \mu r_{eff}}{J_w} \quad (49)$$

$$Q_{OWDV} + Q_{relief} + Q_{PI} = 0 \quad (37)$$

$$Q_{relief} = C_d A_0 \sqrt{\frac{2}{\rho} |P_{HPA} - P_{relief}|} \quad (38)$$

در روابط بالا M_{LPA} جرم پیستون آکومولاتور، P_{LPA} فشار و سطح مقطع آکومولاتور فشار ضعیف، C_{LPA} ضریب دمپ و K_{LPA} ضریب سختی فتر آکومولاتور، Q_{OWDV} دبی شیر یکطرفة، Q_{relief} دبی شیر کاهنده فشار و P_{PI} فشار ورودی پمپ هیدرولیک می‌باشد.

۴-۲-۴-۳- مرحله چهارم افزایش فشار توسط سیستم ترمز ضد قفل

تغییر فشار بعد از پمپ و قبل از شیر یکطرفة عبارت است از:

$$\dot{P}_{P_o} = \beta_{P_o} \frac{\dot{V}_{P_o}}{V_{P_o}} = \beta_{P_o} \frac{Q_{P_o} - Q_{OWCV}}{V_{P_o}} \quad (39)$$

$$Q_{OWCV} = C_d A_0 \sqrt{\frac{2}{\rho} |P_{P_o} - P_{HPA}|} \quad (40)$$

$$\dot{P}_{HPA} = \beta_{HPA} \frac{\dot{V}_{HPA}}{V_{HPA}} \quad (41)$$

$$= \beta_{HPA} \frac{Q_{OWDV} - Q_{relief} - \dot{x}_{HPA} A_{HPA} - \sum_{i,j}^i \dot{Q}_{i,j}}{V_{HPA}} \quad (42)$$

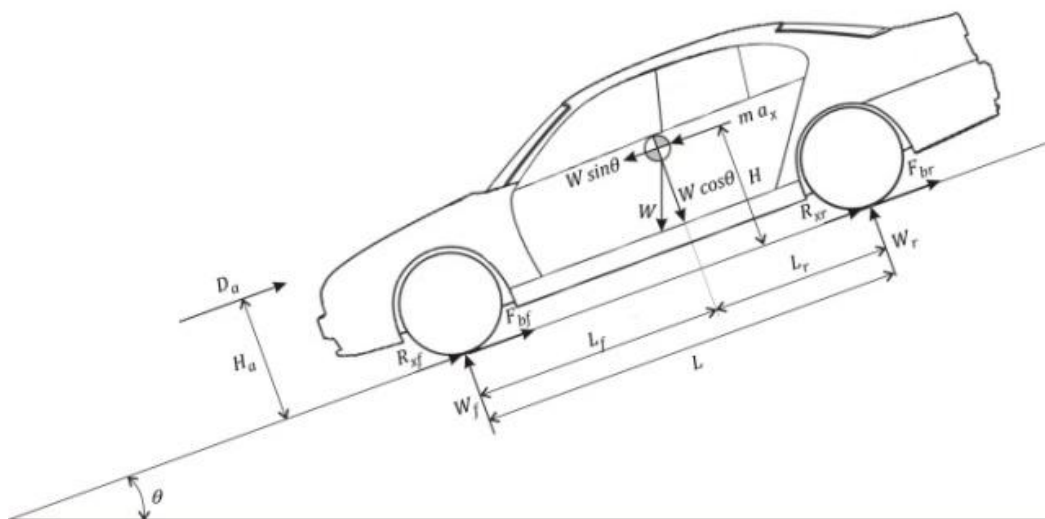
$$M_{HPA} \ddot{x}_{HPA} = P_{HPA} A_{HPA} - C_{HPA} \dot{x}_{HPA} - K_{HPA} (x_{HPA} + x_{0_{HPA}}) - \mu_s N_{HPA} - \mu_d N_{HPA} sign x_{HPA} \quad (43)$$

$$Q_{relief} = C_d A_0 \sqrt{\frac{2}{\rho} |P_{HPA} - P_{relief}|} \quad (44)$$

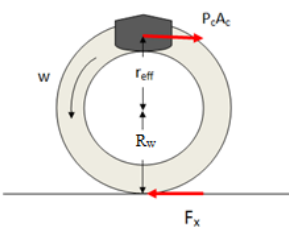
در این حالت باید شیرهای برقی تغذیه به اندازه $t_{o_{SSV}}$ باز باشند تا مقدار $\dot{Q}_{i,j}$ مایع هیدرولیک وارد کالیپر ترمز گردد و فشار به اندازه مورد نیاز افزایش یابد و چرخ در محدوده مجاز لغزش فرار بگیرد. مقدار دبی واقعی (Q) را می‌توان با استفاده از رابطه (۴۵) بدست آورد.

$$Q_{SSV_A} = Q_{SSV} \times t_{o_{SSV}} \quad (45)$$

در رابطه (۴۵)، $t_{o_{SSV}}$ زمان باز بودن شیر تغذیه می‌باشد. در این حالت دوباره روابط افزایش فشار درون کالیپر صادق خواهد بود.

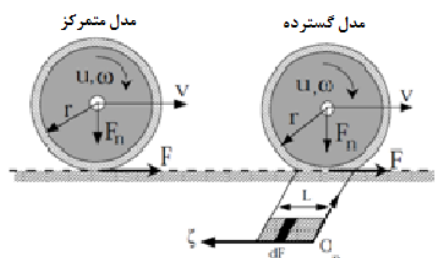


شکل ۱۰: دیاگرام آزاد خودرو در حال ترمز گیری



شکل ۱۱: شماتیک چرخ و نیروهای واردہ بر آن

زاویه‌ای را می‌دهند، بدست می‌آیند. از مشهورترین این مدل‌ها، می‌توان به مدل پسیجکا اشاره کرد. در مقابل مدل‌های استاتیکی، مدل‌های دینامیکی ارایه شده‌اند. این مدل‌ها بیان کننده رفتار واقعی تایر در زمان تغییر سرعت می‌باشند و به دو دسته کلی متمنکر و گسترده تقسیم می‌شوند [12].



شکل ۱۲: مدل دینامیکی متمنکر و گسترده تایر [12]

مدل متمنکر که در شکل ۱۲ سمت چپ نشان داده شده است، یک نقطه را به عنوان نقطه تماس تایر و جاده در نظر می‌گیرد و در نتیجه معادله بدست آمده با انتگرال گیری از معادله نسبت به زمان قابل حل می‌گردد. در مقابل، مدل گسترده، سطح گسترده‌ای را برای تماس تایر با جاده در نظر می‌گیرد و توزیع بار را بصورت یکنواخت فرض می‌کند و برای حل کردن معادله نسبت به زمان و فضا باید از آن انتگرال گرفت.

که F_x نیروی اصطکاک بین تایر و زمین که از رابطه لوگر بدست می‌آید، P_w فشار مایع هیدرولیک ترمز درون کالیبر، A_c سطح مقطع پیستون کالیبر، r_{eff} شعاع دیسک ترمز، R_w شعاع تایر، J_w ممان اینرسی چرخ، μ ضریب اصطکاک بین لنت و دیسک چرخ و \dot{w} نرخ تغییر سرعت زاویه‌ای چرخ می‌باشد. معادله دینامیکی حاکم بر مدل یک چهارم خودرو عبارت است از:

$$\dot{v} = \frac{-F_x - D_a}{M} = \frac{-F_x - \frac{1}{2} \rho C_d A_f V_r}{M} \quad (50)$$

ρ چگالی هوای C_d ضریب درگ بدن خودرو، A_f سطح تصویر شده خودرو، V_r سرعت نسبی خودرو نسبت به هوای محیط و \dot{v} نرخ تغییرات سرعت خودرو است.

۷-۳-مدل سازی تایر

مدل‌های تایر مختلفی توسط پژوهشگران پیشنهاد گردیده است که هر کدام دارای ویژگی‌هایی می‌باشد. بصورت کلی مدل‌های تایر را می‌توان به دو دسته مدل‌های دینامیکی و مدل‌های استاتیکی تقسیم نمود. مدل‌های اصطکاکی استاتیکی در فضای حالت در شرایط خطي و سرعت‌های زاویه‌ای مورد استفاده قرار می‌گیرند و در حقیقت از داده‌های تجربی حاصل از تجهیزات آزمایشگاهی که امکان تغییر سرعت خطی و

(۵۵) مجموعه ۲۰ معادله حالت سیستم ترمز جمع بندی شده است. در این

معادلات متغیر های حالت عبارتند از:

$$\begin{array}{llll} x_1 = x_{mc} & x_6 = P_w & x_{11} = x_{LPA} & x_{16} = x_{HPA} \\ x_2 = \dot{x}_{mc} & x_7 = x_w & x_{12} = \dot{x}_{LPA} & x_{17} = \dot{x}_{HPA} \\ x_3 = P_{mc} & x_8 = \dot{x}_w & x_{13} = P_{LPA} & x_{18} = \omega \\ x_4 = P_r & x_9 = P_{wout} & x_{14} = P_{P0} & x_{19} = v \\ x_5 = P_{win} & x_{10} = P_{Lout} & x_{15} = P_{HPA} & x_{20} = z \end{array}$$

$$\begin{aligned}\dot{x}_1 &= x_2 \\ \dot{x}_2 &= -\frac{k_{mc}}{M_{mc}}x_1 - \frac{\mu_d N}{M_{mc}}sign(x_1) - \left(\frac{C_{mc}}{M_{mc}}\right)x_2 \\ &\quad + \left(\frac{A_{mc}}{M_{mc}}\right)x_3 - (-Fbooster \\ &\quad + \mu_s N)\end{aligned}$$

$$\begin{aligned}\dot{x}_3 \\ = & \left(\frac{\beta_{mc} * A_{mc}}{V_{mc}} \right) x_2 \\ - & \frac{\beta_{mc}}{V_{mc}} C_{mc} C_d A_0 \sqrt{\frac{2}{\rho}} |x_3 - x_4| sign(x_3 - x_4)\end{aligned}$$

$$\begin{aligned}\dot{x}_4 \\ = \frac{\beta_r}{V_r} C_{mc} C_d A_0 \sqrt{\frac{2}{\rho}} |x_3 - x_4| sign(x_3 - x_4) \\ - \frac{\beta_r}{V_r} C_{win} C_d A_0 \sqrt{\frac{2}{\rho}} |x_4 - x_5| sign(x_4 - x_5)\end{aligned}$$

$$\dot{x}_5 = \frac{\beta_{Lwin}}{V_{Lwin}} C_w C_d A_0 \sqrt{\frac{2}{\rho} |x_5 - x_6| sign(x_5 - x_6)}$$

$$\dot{x}_6 = \frac{\beta_w}{V_w} C_w C_d A_0 \sqrt{\frac{2}{\rho} |x_5 - x_6| sign(x_5 - x_6)} - \left(\frac{\beta_w * A_w}{V_w} \right) x_7$$

$$\dot{x}_7 = \dot{x}_8$$

$$\dot{x}_8 = -\frac{k_w}{M_w}x_7 - \frac{\mu_d N_w}{M_w} sign(x_7) - \left(\frac{C_w}{M_w} \right) x_8 + \left(\frac{A_w}{M_w} \right) x_6 - (F_{lw} + \mu_s N)$$

$$\dot{x}_9 = \left(\frac{\beta_{wout} * A_w}{V_{wout}} \right) x_8 - \frac{\beta_{wout}}{V_{wout}} C_w C_d A_0 \sqrt{\frac{2}{\rho} |x_9 - x_{10}|}$$

$$\dot{x}_{10} = \frac{\beta_{Lout}}{V_{Lout}} C_w C_d A_0 \sqrt{\frac{2}{\rho} |x_9 - x_{10}|} - \frac{\beta_{Lout}}{V_{Lout}} C_{SDV} C_d A_0 \sqrt{\frac{2}{\rho} |x_9 - x_{10}|}$$

$$\dot{x}_{11} = x_{12}$$

مدل لوگر بصورت روابط (۵۱) تا (۵۳) پیش می‌شود. در این مدل

نیز وها و سطح تاییر به طور متغیر کز در نظر گرفته می‌شوند [13].

$$\dot{z} = v_r - \frac{\sigma_0 |v_r|}{g(v_r)} \quad (51)$$

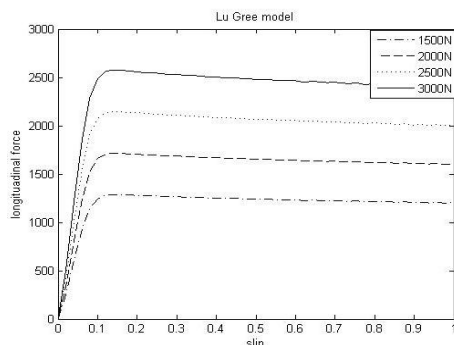
$$F = (\sigma_0 z + \sigma_1 \dot{z} + \sigma_2 v_r) F_z \quad (52)$$

$$g(v_r) \equiv \mu_c + (\mu_s - \mu_c) e^{-|\vartheta r / \vartheta s|^{1/2}} \quad (53)$$

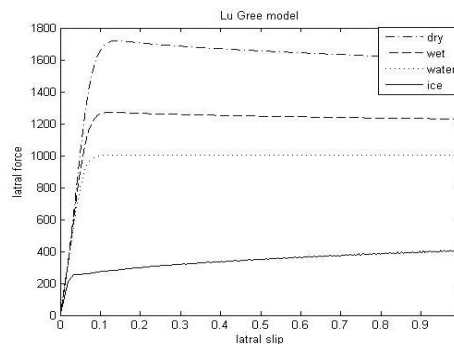
که، 5_0 ضریب سختی متمن کز طولی نرماییزه شده لاستیک، 5_1 ضریب میرایی متمن کز طولی نرماییزه شده لاستیک، 5_2 ضریب میرایی ویسکوز نرماییزه شده، 5_3 ضریب اصطکاک کلمب نرماییزه شده، 5_4 ضریب اصطکاک ایستایی نرمال شده، F_z نیروی عمودی، ζ وضعیت اصطکاک داخلی بوده و v سرعت نسبی استریک^۱ می باشد.

$$v_r \equiv (r\omega - v) \quad (54)$$

که ۷ سرعت طولی خودرو می‌باشد. شکل‌های ۱۳ و ۱۴ به ترتیب نشان دهنده نیروی طولی حاصل از مدل لوگر تحت تأثیر بارهای عمودی مختلف و نیروی طولی وارد بر تابیر تحت شرایط مختلف جاده می‌باشد.



شکل ۱۳: نیروی طولی واردہ بر تایر تحت بارهای عمودی مختلف



شكل ١٤: نیروی طولی وارد بر تایر تحت تاثیر شرایط مختلف جاده

۳-۸- معادلات فضای حالت سیستم ترمز ضد قفل

پس از انجام مدل سازی سیستم ترمز ضد قفل، در این بخش معادلات حالت سیستم استخراج شده تا مدل مورد نظر آماده شده و بتوان الگوریتم های مخفف کنترلی را ارائه، شیوه سازی و پیاده سازی کرد. در

¹ Stribeck relative velocity

جدول ۱: مقادیر پارامترهای مورد استفاده در شبیه سازی

$K_{rs}=241$ $1 N/m$	$A_{mc}=4.91$ $*10^{-4} m^2$	$A_d=5.33$ $*10^{-2} m^2$	$V_{p0}=2.4*1$ $0^3 m^3$
$V_{ao}=4.3*$ $10^{-4} m^3$	$R=0.287$	$T=300$ oK	$\bar{C}_{leak}=1.4$ $*10^{-7} m.s$
$\bar{C}_{aa}=5.8$ $*10^{-5} m.s$	$C_{vm}=1.26$ $*10^{-4} m.s$	$\bar{C}_{vm}=2.2$ $*10^{-4} m.s$	$P_0=10.67$ $0 KPa$
$\bar{F}_{rel}=50$ N	$\bar{F}_{app}=50$ N	$m_d=0.0$ $5 Kg$	$M_{mc}=0.00$ $5 Kg$
$K_{mc}=10$ $0 N/m$	$\mu_s N=70$ سینلندر اصلی N	$\mu_d N=65$ سینلندر اصلی N	$C_{mc}=100$ $0Nm/s$
$V_{mc}=1.1$ $47*10^{-5} m^3$	$\beta_{mc}=6.9*$ $10^5 Kpa$	$A_w=1.96$ $*10^{-4} m^2$	$\rho=1.027 kg/lit$
$V_r=2.12*$ $10^{-5} m^3$	$C_d=0.6$	$\mu_s=0.7$	$M=1200$ kg
$\vartheta s=12.5$ m/s	$M_{LPA}=0.0$ $1 Kg$	$A_{LPA}=0.0002 m^2$	$K_{LPA}=100$ N/m
$\mu_c=0.4$	$R_w=0.33$ m	$r=0.2 m$	$J_w=2.11 k$ gm^2
$\sigma_0=40$ $1/m$	$\sigma_1=4.948$ 7	$\sigma_2=0.00$ $18 s/m$	$f_r=0.015$



شکل ۱۵: خودروی پراید دارای ترمز ضد قفل تحت تست جاده

جدول ۲: سنسورها و تجهیزات داده برداری نصب شده بر روی خودروی

تحت آزمون

ردیف	قطعه، دستگاه	تعداد
۱	سنسور فشار سنج مایع هیدرولیک	۷
۲	سنسور فشار سنج پنوماتیک	۲
۳	سنسور دما سنج	۲
۴	سنسور نیرو سنج	۱
۵	سنسور شتاب سنج	۳
۶	دیتا لاگر شتاب سنج	۱
۷	کارت واسط داده برداری	۱
۸	جعبه تقسیم	۱
۹	ترمینال باکس	۱
۱۰	اینورتر	۲
۱۱	کامپیووتر	۱

$$\dot{x}_{12} = -\frac{k_{LPA}}{M_{LPA}}x_{11} - \frac{\mu_d N_{LPA}}{M_{LPA}} sign(x_{11}) - \left(\frac{C_{LPA}}{M_{LPA}}\right)x_{12} + \left(\frac{A_{LPA}}{M_{LPA}}\right)x_{13}$$

$$\dot{x}_{13} = \frac{\beta_{LPA}}{V_{LPA}} C_{SDV} C_d A_0 \sqrt{\frac{2}{\rho} |x_{10} - x_{13}|} - \left(\frac{\beta_{LPA} * A_{LPA}}{V_{LPA}}\right)x_{11} - \frac{\beta_{LPA}}{V_{Lout}} C_d A_0 \sqrt{\frac{2}{\rho} |x_{13} - P_{PI}|}$$

$$\dot{x}_{14} = \frac{\beta_{P0}}{V_{P0}} Q_{P0} - \frac{\beta_{P0}}{V_{P0}} C_d A_0 \sqrt{\frac{2}{\rho} |x_{14} - x_{15}|}$$

$$\dot{x}_{15} = \frac{\beta_{HPA}}{V_{HPA}} C_d A_0 \sqrt{\frac{2}{\rho} |x_{14} - x_{15}|} |x_{11} - \frac{\beta_{HPA}}{V_{HPA}} C_d A_0 \sqrt{\frac{2}{\rho} |x_{15} - P_{relief}|} - \left(\frac{\beta_{HPA} * A_{HPA}}{V_{HPA}}\right)x_{16} - \frac{\beta_{HPA}}{V_{HPA}} C_d A_0 \sqrt{\frac{2}{\rho} |x_{15} - P_L|}$$

$$\dot{x}_{16} = x_{17}$$

$$\dot{x}_{17} = \left(\frac{A_{HPA}}{M_{HPA}}\right)x_{15} - \frac{k_{LPA}}{M_{LPA}}x_{16} + \frac{\mu_d N_{LPA}}{M_{LPA}} sign(x_{16}) - \left(\frac{C_{HPA}}{M_{HPA}}\right)x_{17} - \mu_s N_{HPA}$$

$$\dot{x}_{18} = \frac{R_w F_x - P_w A_C \mu r_{eff}}{J_w}$$

$$\dot{x}_{19} = \frac{-F_x - \frac{1}{2} \rho C_d A_f V_r}{M}$$

$$\dot{x}_{20} = v_r - \frac{\sigma_0 |v_r|}{g(v_r)}$$

۴- شبیه سازی و صحه گذاری

شبیه سازی انجام شده بر روی سیستم ترمز ضد قفل بر اساس مدل ذکر شده در این مقاله و در بسته نرم افزاری MATLAB/Simulink انجام پذیرفته است. پارامترها و ضرایب مورد استفاده در شبیه سازی بر اساس مقادیر ذکر شده در جدول ۱ بوده که از آزمایش های مختلف بر روی خودروی پراید بدست آمده است. در این شبیه سازی ها، سناریوهای مختلفی تنظیم و نتایج شبیه سازی با نتایج آزمون تجربی که بر روی خودروی پراید در شرایط واقعی انجام شد، مقایسه گردیده است.

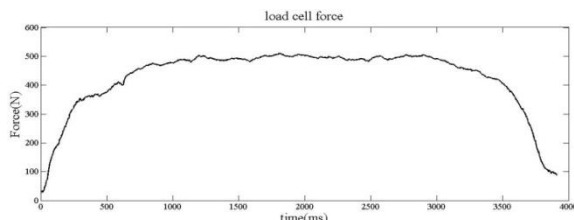
شکل ۱۵ نشان دهنده خودروی پراید مورد آزمون می باشد که در شرایط بارانی، سیستم ترمز ضد قفل نصب شده بر روی این خودرو مورد آزمون قرار گرفت. سیستم ترمز خودروی مذکور به سنسورها و تجهیزات جمع آوری داده به شرح جدول ۲ مجهز شد.

بر روی پدال خودرو یک عدد نیرو سنج^۱ که در شکل ۱۹ قابل مشاهده است، نصب و اطلاعات مربوط به نیروی پای راننده را به کارت داده بردار انتقال می‌دهد.

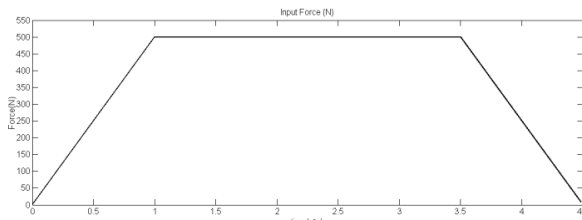


شکل ۱۹: نیروسنج نصب شده بر روی پدال ترمز

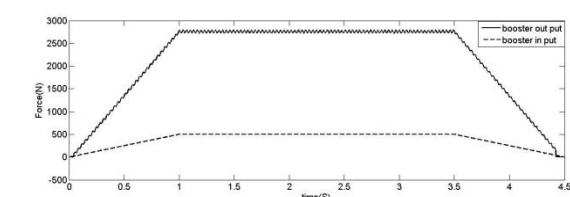
شکل ۲۰ نشان دهنده نیروی اندازه گیری شده توسط نیروسنج می‌باشد. به منظور ایجاد شرایط یکسان در شبیه سازی سیستم ترمز، ورودی مشابه شکل ۲۰ برای شبیه سازی مهیا گردید که در شکل ۲۱ دیده می‌شود.



شکل ۲۰: نیروی پای راننده وارد بر پدال آزمایش تجربی



شکل ۲۱: نیروی شبیه سازی شده پای راننده وارد به پدال



شکل ۲۲: نیروی ورودی و خروجی بوستر خودرو می‌باشد که به برخی ادوات اندازه گیری از قبیل خلاء سنجها و موقعیت سنجها مجهز گردیده است.

شکل ۲۲ نشان دهنده نیروی ورودی به بوستر و نیروی خروجی از بوستر در برنامه شبیه سازی می‌باشد. همانگونه که ملاحظه می‌گردد، بوستر نیروی ورودی را حدود ۵ تا ۶ برابر بصورت خطی افزایش داده است.



شکل ۱۶: سنسور فشارسنج هیدرولیک

شکل ۱۶ یکی از سنسورهای فشار نصب شده بر روی مدار هیدرولیک سیستم ترمز می‌باشد که اطلاعات تغییر فشار سیستم را به کارت واسطه داده بردار و مجموعه مرتبط با آن منتقل می‌کنند. همچنین سیگنال‌های سرعت چرخ، زمان باز و بسته شدن شیرهای کنترلی و زمان شروع و اتمام کار کرد پمپ هیدرولیک سیستم ترمز ضد قفل و غیره به کارت داده بردار منتقل گردید. این اطلاعات از طریق کابل‌های نصب شده روی بلوک سیستم ترمز ضد قفل که در شکل ۱۷ نشان داده شده است، دریافت می‌شوند.



شکل ۱۷: بلوک سیستم ترمز ضد قفل مجهز به سیم‌های دریافت سیگنال

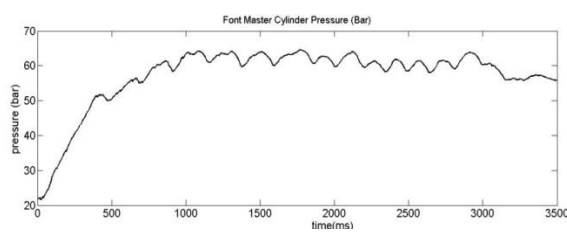
شکل ۱۸ نشان دهنده بوستر خودرو می‌باشد که به برخی ادوات اندازه گیری از قبیل خلاء سنجها و موقعیت سنجها مجهز گردیده است.



شکل ۱۸: بوستر ترمز مجهز به ادوات اندازه گیری

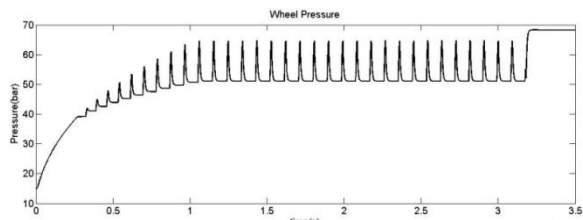
^۱ Load Cell

در مرجع [6] نیز آمده است خطی بودن رفتار ورودی و خروجی سیلندر اصلی به اثبات رسید. شایان ذکر است که در مرجع [6]، فقط سیلندر اصلی مد نظر بوده است و ارتباط این مجموعه با دیگر مجموعه‌های سیستم ترمز در نظر گرفته نشده است به همین خاطر تحلیل استاتیکی در نظر گرفته شده و بنابراین اختلاف فشار قبل ملاحظه ای بین محفظه اول و دوم سیلندر اصلی به چشم نمی‌خورد. در حالیکه در پژوهش حاضر و با مقایسه شکل‌های ۲۶ و ۲۹ اختلاف فشار مورد نظر قابل توجه می‌باشد. از طرفی در مبنیع [3] به لحاظ در نظر نگرفتن دینامیک ترمزگیری و همچنین جزئیات سیستم ترمز از جمله مدولاتور ABS، فشار سیلندر اصلی و فشار سیلندر چرخ با هم برابر می‌کند.



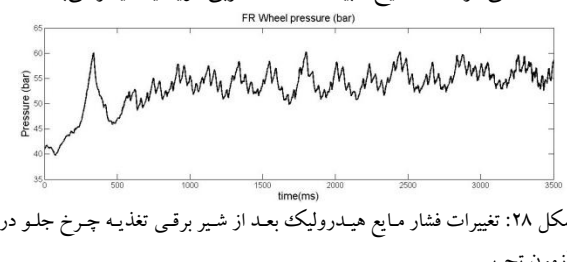
شکل ۲۶: تغییرات فشار مایع هیدرولیک ترمز سیلندر اصلی در آزمون تجربی (واحد محور افقی میلی ثانیه و واحد محور عمودی بار است)

شکل ۲۷ نشان دهنده تغییرات فشار مایع هیدرولیک ترمز بعد از شیر برقی تغذیه در برنامه شبیه سازی می‌باشد، که در رابطه (۲۲) با P_{win} نشان داده شده است.



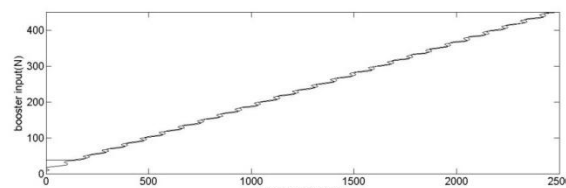
شکل ۲۷: تغییرات فشار مایع هیدرولیک ترمز بعد از شیر برقی تغذیه در شبیه سازی

شکل ۲۸ نشان دهنده تغییرات فشار مایع هیدرولیک ترمز بعد از شیر برقی تغذیه در آزمون تجربی می‌باشد. با مقایسه شکل‌های ۲۷ و ۲۸ ملاحظه می‌گردد که نتایج شبیه سازی و تجربی موبد یکدیگر می‌باشند.



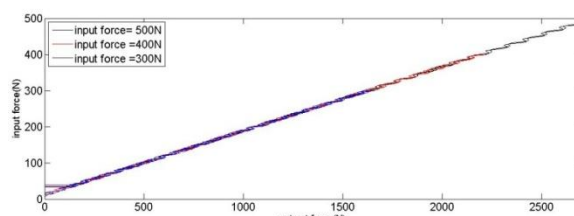
شکل ۲۸: تغییرات فشار مایع هیدرولیک شکل ۲۶ و ۲۹ می‌توان دریافت که فشار مایع هیدرولیک درون کالیپر چرخ عقب کمتر از فشار مایع هیدرولیک چرخ جلو در آزمون تجربی

با مقایسه نمودارهای شکل ۲۶ و ۲۹ می‌توان دریافت که فشار مایع هیدرولیک درون کالیپر چرخ عقب کمتر از فشار مایع هیدرولیک چرخ جلو می‌باشد که این موضوع به دلیل دینامیک ترمزگیری و انتقال بار عمودی از چرخهای عقب به چرخهای جلو خودرو می‌باشد. همانگونه



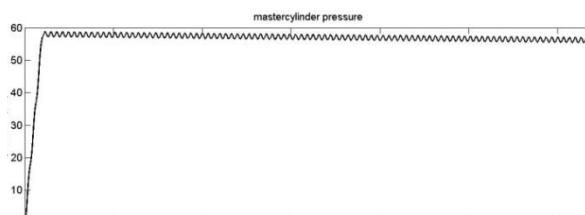
شکل ۲۳: نیروی خروجی بوستر نسبت به نیروی ورودی به آن در شبیه سازی

شکل ۲۳ نشان دهنده نسبت نیروی خروجی بوستر به ورودی بوستر می‌باشد. میزان اختلاف بین مسیر افزایش نیرو و کاهش نیروی خروجی بوستر نشان دهنده خاصیت هیسترزیس بوستر است که پارامتری بسیار مهم در احساس ترمز راننده می‌باشد. در شکل ۲۴ نیروی خروجی بوستر نسبت به مقادیر مختلف نیروی ورودی از نظر ماکریم مقدار در برنامه شبیه سازی نشان داده شده است.



شکل ۲۴: نیروی خروجی بوستر نسبت به مقادیر مختلف نیروی ورودی کسب شده از شبیه سازی

شکل ۲۵ نشان دهنده تغییرات فشار مایع هیدرولیک ترمز درون سیلندر اصلی در برنامه شبیه سازی می‌باشد. همانطور که در این شکل ملاحظه می‌گردد محور افقی نشان دهنده زمان بر حسب ثانیه بوده و محور عمودی فشار درون سیلندر اصلی بر حسب بار را نشان می‌هد. این شکل نشان دهنده افزایش و ثابت فشار مایع هیدرولیک درون سیلندر اصلی می‌باشد.



شکل ۲۵: تغییرات فشار مایع هیدرولیک در سیلندر اصلی دریافت شده از شبیه سازی (واحد محور افقی میلی ثانیه و واحد محور عمودی بار است)

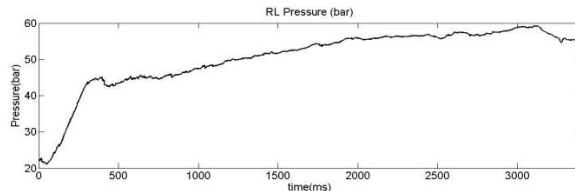
شکل ۲۶ نشان دهنده تغییرات فشار مایع هیدرولیک ترمز درون سیلندر اصلی در آزمون تجربی می‌باشد. با مقایسه شکل‌های ۲۵ و ۲۶ می‌توان دریافت که تغییرات فشار درون سیلندر اصلی مشابه هم بوده و از نظر دامنه تغییرات اندک متفاوت می‌باشند. با توجه به ۵۰۰ میلی ثانیه ابتدایی نمودار شکل ۲۶ و مقایسه با ورودی سیلندر اصلی که در واقع خروجی بوستر می‌باشد که در شکل ۲۲ نمایش داده شده است، و چنانچه

مناسی بین نتایج وجود دارد که حاکی از صحبت روند مدل سازی سیستم ترمز هیدرولیکی ضد قفل می‌باشد.

با توجه به نتایج کسب شده از روند تئوری و تجربی، نیروی پای رانده، هندسه پدال، میزان خلاء موتور، خصوصیات دیسک عکس العملی بوستر، ضریب تخلیه اوریفیس‌ها، خصوصیات باز و بسته شدن شیرهای برقی تغذیه و تخلیه، شعاع موثر تایر، شعاع دیسک ترمز، نوع لنت، نوع تایر، میزان آچ تایر، نوع جاده، میزان بار عمودی روی چرخ، مشخصات مایع هیدرولیک ترمز و میزان هوای موجود در مایع هیدرولیک ترمز از مهمترین پارامترهای تاثیرگذار بر فرآیند ترمز گیری می‌باشند که باعث تغییر در تاخیر زمانی ترمز گیری شده و بنابراین مسافت ترمزی دستخوش تغییر می‌شود.

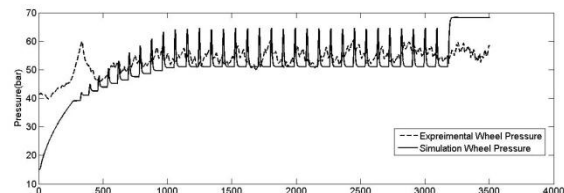
سیستم ترمز هیدرولیکی ضد قفل دارای تاخیر زمانی متداولی در حدود ۰/۵ ثانیه از لحظه فشردن پدال تا شروع کاهش سرعت خودرو می‌باشد که عوامل فوق در تغییر این مقدار بسیار موثر هستند. در هنگام ترمز گیری فشار مایع هیدرولیک به حدود ۶۰ بار رسیده و با توجه به انتقال بار از چرخ‌های عقب به چرخ‌های جلو، فشار مایع هیدرولیک در چرخ‌های جلو بیشتر از فشار مایع هیدرولیک در چرخ‌های عقب می‌باشد. نتایج خروجی این پژوهش، معالات حالتی بوده است که بیان کننده رفتار کامل سیستم ترمز ضد قفل هیدرولیکی از پدال ترمز تا چرخ می‌باشد. با استفاده از این معادلات حالت می‌توان در گام‌های آتی اقدام به طراحی و پیاده سازی کنترل کننده‌هایی کرد که با لحاظ کردن شرایط واقعی و دینامیک کامل سیستم، ارماگان بخش کاهش مسافت ترمزی و افزایش پایداری خودرو باشد.

که ملاحظه می‌شود با گذشت زمان و کاهش تدریجی سرعت خودرو، انتقال بار از چرخ‌های عقب به جلو نیز کاهش یافته و میزان فشار هیدرولیک درون چرخ‌های عقب نیز افزایش یافته است.



شکل ۲۹: تغییرات فشار مایع هیدرولیک درون سیلندر چرخ عقب در آزمون تجربی

شکل ۳۰: تغییرات فشار مایع هیدرولیک ترمز در آزمون تجربی برنامه شبیه سازی را با هم نشان می‌دهد. با توجه به این شکل، درصد خطای نمودار شبیه سازی شده نسبت به نمودار آزمون تجربی مقدار ۴/۵۶ درصد می‌باشد. با حذف ۵۰۰ میلی ثانیه ابتدای نمودار و محاسبه مجدد مقدار خطای، درصد خطای بدست آمده ۱/۵۸ درصد حاصل می‌گردد. این درصد نشان دهنده تطابق مناسب شبیه سازی انجام شده با آزمون تجربی می‌باشد. قسمت عده‌های خطای حاصله، ناشی از فراجهش اعمال نیروی اولیه ابتدای نمودار در آزمون تجربی است.



شکل ۳۰: تغییرات فشار مایع هیدرولیک چرخ در آزمون تجربی و شبیه سازی

در اینجا لازم به ذکر است که به علت عدم مدل‌سازی کامل سیستم ترمز در مراجع و مقالات از جمله مرجع [4]، در این مقاله به مقایسه نتایج حاصل از شبیه سازی مدل پیشنهادی با سایر مدل‌های پرداخته شده و همانگونه که مشاهده گردید صحة گذاری‌های لازم از طریق تعریف و انجام تست‌های تجربی و مقایسه نتایج آن با نتایج حاصل از شبیه سازی صورت گرفته است.

۵- نتیجه گیری

در این مقاله مدل سازی کامل سیستم ترمز هیدرولیکی ضد قفل شامل پدال، بوستر، سیلندر اصلی، لوله‌های انتقال، مدولاتور، سیلندر چرخ و تایر انجام گردید. سپس شبیه سازی مدل مورد نظر در نرم افزار MATLAB انجام شد. به منظور صحه گذاری بر نتایج اخذ شده، خودروی مورد نظر به ادوات و تجهیزات داده برداری مجهیز گردید و با تعریف سناریوهای مختلف، داده برداری در شرایط واقعی انجام شد. با مقایسه نتایج تجربی با نتایج شبیه سازی، ملاحظه می‌گردد که انتباط

- [1] ص. نصیری، برق خودرو، ویرایش دوم چاپ پارسیان، ۱۳۹۰.
- [2] C.Ortwein, “Clutches and Brakes Design and Selection”, Marcl Dekker Inc. 2004, chapter 12.
- [3] J. Christian Gerdes, J. Karl Hedrick, “Brake System Modeling for Simulation and Control”, Trans. ASME J. Dynamic Systems, Measurement and Control, Vol. 121, No. 9, 1999, pp. 496-503.
- [4] M. Wu, M. Shih, “Simulated and Experimental Study of Hydraulic Anti-lock Braking System using Sliding-mode PWM Control”, Mechatronics, Vol.13, No.4, 2001, pp. 331–351.
- [5] Y. Khan and P. Kulkarni, “Modelling Experimentation and Simulation of a brake apply system” in Proceedings of American Control Conference, 24-26 June, 1992, pp. 226-230.
- [6] H. Ho, J. Day, K. Hussain, A. Johnstone, “Modeling and Simulation of the Characteristics of a Hydraulic

- [11] ح. ابراهیمی راد، "کنترل مد لغزشی بهینه سیستم ترمز ضد قفل خودرو"، پایان نامه کارشناسی ارشد مهندسی برق گرایش کنترل، دانشگاه تهران، ۱۳۸۳.
- [12] C. Canudas de Wit , P. Tsiotras, "Dynamic Tire Friction Models for Vehicle Traction Control", in Proceedings of the 38th IEEE Conference on Decision and Control, 1999.
- [13] C. Canudas de Wit, R. Horowitz, and P. Tsiotras, "Model-based Observers for Tire/Road Contact Friction Prediction," in New Directions in Nonlinear Observer Design, ser. Lecture Notes in Control and Information Science, Springer-Verlag, Vol. 244, 1999, pp. 23–42.
- [14] Thomas D. Gillespie, Fundamentals of Vehicle Dynamics, Society of Automotive Engineers Inc; First Edition, 1992.
- [7] A. Harifi, A. Aghagolzadeh, G. Alizadeh, M. Sadeghi, "Designing a Sliding Mode Controller for Slip Control of Antilock Brake Systems", Transportation Research Part C, Vol. 16, 2008, pp. 731–741.
- [8] M. L. Kuang, M. Fodor, D. Hrovat, M. Tran, "Hydraulic Brake System Modeling and Control For Active Control of Vehicle Dynamics", in Proceedings of the American Control Conference, San Diego, California, 1999.
- [9] R. Limpert, Brake Design and Safety, Second Edition, Society of Automotive Engineers Inc, 1999.
- [10] H. E. Merritt, "Hydraulic Control Systems", John Wiley and Sons, Inc, 1991.

روش طراحی کنترلگر PI برای دسته‌ای از سیستم‌های غیرخطی دارای عدم قطعیت به کمک تجزیه مجموع مربعات

حسن ذاکری^۱، سجاد ازگلی^۲

^۱ فارغ‌التحصیل کارشناسی ارشد مهندسی برق، گروه کنترل، دانشگاه تربیت مدرس، hasan.zakeri@ieee.org

^۲ استادیار، دانشکده مهندسی برق و کامپیوتر، گروه کنترل، دانشگاه تربیت مدرس، ozgoli@modares.ac.ir

(تاریخ دریافت مقاله ۱۳۹۱/۵/۱۷، تاریخ پذیرش مقاله ۱۴/۸/۱۳۹۱)

چکیده: در این مقاله به ارائه یک روش الگوریتمی برای طراحی رگولاتور تناسبی-انتگرالی برای دسته‌ای از سیستم‌های غیرخطی که نمایش فضایی حالت آن‌ها در قالب توابع چندجمله‌ای می‌باشد، می‌پردازیم. طراحی بر اساس مدل غیرخطی از سیستم، معین و یا نامعین، و به کمک بهینه‌سازی مجموع مربعات انجام می‌گیرد. روش طراحی برمنای تابعی به نام تابع چگالی تبدیل به یک مسئله بهینه‌سازی محدب و به فرم برنامه‌ریزی مجموع مربعات ارائه شده و مقاومت طراحی با در نظر گرفتن عدم قطعیت پارامتری در سیستم به روشهای مشابه S-Procedure تعمیم یافته، تضمین گردیده است. سپس کارایی روش ذکر شده به کمک شبیه‌سازی بررسی می‌شود. در این مقاله، علاوه بر ارائه روش جدیدی در طراحی کنترل‌گر تناسبی-انتگرالی که مبتنی بر روش‌های خطی‌سازی محلی نبوده و به طور فراگیر عمل می‌کند، فرمول‌بندی جدیدی نیز برای بیان عدم قطعیت پارامتری در سیستم‌های غیرخطی ارائه گردیده است. شرایط پایداری به دست آمده، هیچ‌کدام از محدودیت‌های روش‌های قبلی از جمله نیاز به خطی‌سازی تقریبی و یا سیستم پایدار را نداشته و بر اغلب دشواری‌های طراحی کنترل غلبه می‌کند. همچنین استفاده از روش تجزیه مجموع مربعات، باعث حذف محافظه کاری در به دست آوردن شرایط پایداری شده و به طور مستقیم پایداری سیستم غیرخطی را نتیجه می‌دهد.

کلمات کلیدی: کنترلگر PI مقاوم، تجزیه مجموع مربعات، تابع چگالی، طراحی کنترل غیرخطی، عدم قطعیت پارامتری.

A Robust PI Control Design for a Class of Nonlinear Systems with Uncertainty Using Sum of Squares Decomposition

Hasan Zakeri, Sadjaad Ozgoli

Abstract: This paper presents a new algorithmic method to design PI controller for a class of nonlinear systems whose state space description is in the form of polynomial functions. Design procedure is taken place based on certain or uncertain nonlinear model of system and sum of squares optimization. A so called density function is employed to formulate the design problem into a convex optimization program of sum of squares optimization form. Robustness of the design is guaranteed by taking parametric uncertainty into account with an approach similar to that of generalized S-Procedure. Validity and applicability of the proposed method is certified with numerical simulation. This paper, besides presenting an innovated PI control design which is not based on local linearization and works globally, announces a new approach in formulating parametric uncertainty in nonlinear systems. Derived stability conditions do not suffer from any drawbacks seen in previous results, such as depending on a linearized model or a stable model and it can overcome most control difficulties. Furthermore, employing sum of squares techniques makes it possible to drive stability conditions with least conservatism and directly derive stability of nonlinear system.

Keywords: Robust PI Control, Sum of Squares Decomposition, Density Function, Nonlinear Control Synthesis, Parametric Uncertainty.

۱- مقدمه

مجموع مربعات، روش‌های الگوریتمی برای ساخت تابع لیپانوف ارائه شده است [۱۵]. پژوهشگران زیادی از تجزیه مجموع مربعات در طراحی کنترلگر برای سیستم‌های غیرخطی استفاده کرده‌اند؛ به طور مثال، در [۱۶] از تجزیه مجموع مربعات به طراحی کنترلگر غیرخطی استاتیک به روش لیپانوف استفاده شده است. قانون کنترل به دست آمده به صورت یک چندجمله‌ای از حالات سیستم می‌باشد. از جمله معایب طراحی ذکر شده، وابستگی قانون کنترل به حالت سیستم (که ممکن است در دسترس نباشد) و استاتیک بودن آن است. روش ارائه شده در [۱۷] طراحی کنترلگر غیرخطی استاتیک فیدبک خروجی است، با این حال درجه بالای تابع چندجمله‌ای به دست آمده برای قانون کنترل، پیاده سازی و اجرای آن در کاربردهای عملی را مشکل، و حتی در بعضی موارد غیرممکن می‌کند. این مشکل در [۱۸] حل شده است، که یک قانون فیدبک حالت خطی برای سیستم‌های غیرخطی ارائه داده است، اما همچنان ضعف‌هایی همچون در نظر نگرفتن معیارهای کارایی را دارد. همچنین در [۱۹] روشی برای طراحی کنترلگر فیدبک خروجی با L_{∞} محدودیت ارائه شده است. کنترلگر ارائه شده قابلیت ضمانت بهره L_{∞} خروجی به ورودی نویز در یک حد از قبل تعیین شده را دارد. با این حال، انتخاب یک حد بالا برای بهره تضییف نویز از معایب طراحی این مقاله می‌باشد. همچنین روش ارائه شده برای حل مسئله برنامه ریزی مجموع مربعات، به روش تکراری^۱ است که وابستگی کامل به نقطه شروع دارد.

هم‌چنین پس از ارائه یک دوگان برای قضیه لیپانوف بر مبنای تابع چگالی در سال ۲۰۰۱ [۲۰]، روش‌های طراحی برمنای بهینه‌سازی محدود که از روش مجموع مربعات استفاده می‌کردند، ارائه شد [۲۱]. ویژگی اصلی این روش، تحبد ذاتی مجموعه جواب مسئله است که باعث استقبال از این روش در طراحی و تحلیل سیستم‌های غیرخطی شده است. این نکته در ادامه مقاله به تفصیل شرح داده خواهد شد.

در مقاله حاضر با استفاده از قضیه دوگان لیپانوف یک مسئله مجموع مربعات ارائه شده است که اگر جواب داشته باشد می‌توان از روی جواب آن بهره‌های یک کنترلگر PI را برای تضمین پایداری مقاوم به دست آورد. این نتیجه در قالب قضیه ۱ در قسمت ۳ برای سیستم نامی ارائه شده است. تعمیمی از قضیه ۱ به سیستم‌های دارای عدم قطعیت با عنوان قضیه ۲ در قسمت ۴ ارائه شده است.

در ادامه این نوشتار، ابتدا در قسمت ۲، به ارائه مبانی ریاضی مورد استفاده می‌پردازیم. مخصوصی از روش مجموع مربعات در این قسمت بحث خواهد شد. قسمت ۳ به طراحی کنترل کننده برای سیستم نامی و بدون در نظر گرفتن عدم قطعیت‌ها می‌پردازد. قسمت ۴ به روش مدل‌سازی و فرمول‌بندی عدم قطعیت پارامتری و سپس طراحی کنترل

کنترلگرهای PI و PID معمول ترین نوع کنترلگر در کنترل سیستم‌ها هستند. بیش از ۹۰٪ حلقه‌های کنترل صنعتی را کنترل کننده‌های PI و PID تشکیل می‌دهند. این نوع کنترل کننده‌های، با وجود قیمت پایین، علاوه بر سادگی طراحی و نگهداری، از مقاومت و کارایی خوبی نیز برخوردار هستند.

کاربردهای کنترل PID و PI شامل فرایندهای صنعتی، کنترل موتور، حافظه‌های مغناطیسی و نوری، خودرو، کنترل پرواز، ابزار دقیق و غیره می‌شود. تاریخچه PID به سال ۱۸۹۰ و ناوی بری خودکار کشتی‌ها بر می‌گردد [۱] با این همه اولین بررسی نظری کنترل کننده‌های PID در سال ۱۹۲۲ توسط مهندس روسی-امریکایی، نیکولاوس مینورسکی چاپ شد [۲]. در حال حاضر، با گذشت چندین دهه، هنوز کنترل‌گرهای PI و PID حرف اول را در کاربردهای صنعتی و نظامی می‌زنند [۳، ۴].

اما با این که کنترل PID همیشه کاربرد فراوانی داشته است، هنوز نکات مهمی در زمینه عدم قطعیت و تضمین پایداری با وجود عدم قطعیت در کنترلگرهای PID ناگفته مانده است. عدم قطعیت‌های مدل به طور صریح در روش‌های همچون H_{∞} QFT و L_{∞} وارد می‌شوند که پاره‌ای از تأثیرات آن بر کنترل PID در [۵-۷] آمده است. یکی از روش‌های غنی برخورد با عدم قطعیت در سیستم‌ها، عدم قطعیت پارامتری است. این نوع مدل‌سازی، اطلاعات ماز ساختار دینامیک سیستم را بدون نیاز به دانستن مقدار دقیق پارامترها، در مدل لحاظ می‌کند. در خصوص پایداری و کنترل سیستم‌های خطی با عدم قطعیت پارامتری تحقیقات وسیعی انجام شده است [۸-۱۰]، اما عدم قطعیت پارامتری در سیستم‌های غیرخطی، به علت پیچیدگی طراحی و محاسباتی، کمتر مورد استقبال محققان قرار گرفته و هنوز از زمینه‌های مطالعاتی باز محسوب می‌شود.

در این مقاله، با استفاده از تجزیه مجموع مربعات و S-Procedure تعیین یافته روشی برای مواجهه با عدم قطعیت پارامتری در سیستم‌های غیرخطی و در نهایت طراحی کنترل کننده PI ارائه شده است. وجود تجزیه مجموع مربعات، در ابتدا در سال ۱۹۰۰ توسط هیلبرت مطرح شد، اما در سال ۲۰۰۰ به عنوان تعمیمی از روش شناخته شده ناتساوی‌های ماتریسی خطی معرفی شد [۱۱] و تاکنون کاربردهای فراوانی در تحلیل و طراحی سیستم‌ها داشته است [۱۲-۱۴]. الگوریتم مجموع مربعات از روشی مشابه ناتساوی‌های ماتریسی خطی استفاده می‌کند، با این تفاوت که کلیه فرمول‌بندی‌های مسائل در سطح چندجمله‌ای انجام می‌شوند. الگوریتم مجموع مربعات به بسیاری از مسائل دشوار در کنترل غیرخطی پاسخ گفته است. به طور نمونه، مسئله بررسی پایداری نقطه تعادل یک سیستم غیرخطی به کمک جستجو برای تابع لیپانوف را در نظر بگیرید. ساخت تابع لیپانوف به روش دستی بسیار سخت و کاملاً وابسته به مهارت‌های تحلیلی طراحی پژوهشگر است؛ اما با استفاده از روش

^۱ Iterative

وجود یک نمایش (تجزیه) به صورت مجموع مربعات برای یک چندجمله‌ای را بیان می‌کند.

لم ۱ [۱۱]- چندجمله‌ای $p(x)$ مجموع مربعات است، اگر و فقط اگر ماتریس $Q \geq 0$ و برداری از تک جمله‌ای‌های $Z(x)$ یافت شوند که

$$p(x) = Z^T(x) Q Z(x) \quad (4)$$

تعریف ۴ [۱۴]- به مسئله بهینه‌سازی محدب به شرح زیر یک مسئله برنامه‌ریزی مجموع مربعات^۳ گفته می‌شود:

$$\begin{aligned} & \text{چندجمله‌ای‌های } \{a_{i,j}(x)\}_{i=1}^n \in \mathcal{R}_n \text{ داده شده‌اند. چندجمله‌ای-} \\ & \text{های } \{p_i(x)\}_{i=\hat{N}+1}^N \in \Sigma_n \text{ و } \{p_i(x)\}_{i=1}^{\hat{N}} \in \mathcal{R}_n \text{ را چنان باید} \\ & \text{که } W^T C \text{ کمینه شود، طوری که} \\ & a_{0,j} + \sum_{i=1}^N p_i(x) a_{i,j}(x) = 0, \quad j = 1, 2, \dots, \hat{J} \quad (5) \end{aligned}$$

و

$$a_{0,j} + \sum_{i=1}^N p_i(x) a_{i,j}(x) \in \Sigma_n \quad (6)$$

برای $j = \hat{J} + 1, \dots, J$ ؛ که در آن C بردار متشکل از ضرایب چندجمله‌ای‌های نامعلوم $(p(x))$ و W بردار وزن‌دهی است.

یک چنین مسئله برنامه‌ریزی، به راحتی قابل حل توسط نرم‌افزارهای همچون YALMIP [۲۳] و SOSTOOLS [۲۵، ۲۶] می‌باشد.

لم ۲ S-Procedure [۲۲]- فرض کنید $\{p_i\}_{i=0}^m \in \mathcal{R}_n$ تعیین یافته‌است. در صورتی که $\{s_k\}_{i=1}^m \in \Sigma_n$ یافت شود به طوری که

$$p_0 - \sum_{i=0}^m s_i p_i \in \Sigma_n$$

$$\begin{aligned} & \bigcap_{i=1}^m \{x \in \mathbb{R}^n \mid p_i(x) \geq 0\} \\ & \subseteq \{x \in \mathbb{R}^n \mid p_0(x) \geq 0\} \end{aligned} \quad (7)$$

لم ذکر شده، تعیینی از قضیه شناخته شده S-Procedure است که در بخش طراحی مقاوم از آن استفاده خواهد شد.

در پایان این بخش به بیان قضیه پایداری زیر موسوم به دوگان قضیه لیپانوف می‌پردازیم.

لم ۳- سیستمی با معادله حالت به شکل زیر را درنظر بگیرید

$$\dot{x}(t) = f(x(t)) \quad (8)$$

که در آن $f(0) = 0$ و $f \in C^1(\mathbb{R}^n, \mathbb{R}^n)$ است و $f'(0) \in C^1(\mathbb{R}^n, \mathbb{R}^n)$ معرف مجموعه تمام توابع پیوسته و یکبار مشتق‌پذیر از \mathbb{R}^n به \mathbb{R}^n است. حال اگر تابع غیرمنفی

مقاوم می‌پردازد. ارائه مثال‌های عددی و نتایج شبیه‌سازی در قسمت ۵ آورده شده است و نتیجه‌گیری، قسمت نهایی مقاله را تشکیل می‌دهد.

۲- مبانی ریاضی

این بخش به ارائه تعاریف مورد استفاده در این مقاله و سپس چند لم می‌پردازد. در اولین گام، تک جمله‌ای^۱ و چندجمله‌ای^۲ به صورت زیر تعریف می‌شوند:

تعریف ۱- تک جمله‌ای m_α از متغیر x تابعی است از n متغیر $x = (x_1, x_2, \dots, x_n)$

$$m_\alpha(x) = x^\alpha \triangleq x_1^{\alpha_1} x_2^{\alpha_2} \cdots x_n^{\alpha_n} \quad (1)$$

تعریف می‌شود. درجه این تک جمله‌ای به صورت $\deg m_\alpha = \sum_{i=1}^n \alpha_i$ [۲۲].

تعریف ۲- چندجمله‌ای p از n متغیر، ترکیب خطی تعداد متناهی از تک جمله‌ای‌ها است:

$$p \triangleq \sum_{\alpha} c_\alpha m_\alpha = \sum_{\alpha} c_\alpha x^\alpha \quad (2)$$

درجه چندجمله‌ای p برابر $\max_{\alpha} \deg m_\alpha$ تعریف می‌شود. همچنین \mathcal{R}_n به عنوان مجموعه چندجمله‌ای‌های از n متغیر تعریف می‌شود [۲۲].

در بسیاری از مسائل نظریه سیستم‌ها و کنترل به چندجمله‌ای‌ها برخورده‌ایم. با وجود خواص جالب توابع چندجمله‌ای که منجر به کاربردهای فراوانی در زمینه نظریه کنترل شده است، تعیین علامت چندجمله‌ای‌ها در حالت کلی کار مشکلی است. از طرف دیگر خلبی از خواص کنترلی با تعیین علامت چندجمله‌ای‌ها گره خورده است. یکی از راه‌هایی که برای غلبه بر این مشکل ارائه شده است، مفهوم مجموع مربعات^۳ می‌باشد.

تعریف ۳ [۱۱]- چندجمله‌ای $p(x)$ مجموع مربعات (SOS) نامیده می‌شود، اگر بتوان آن را به صورت زیر نمایش داد

$$p(x) = \sum_i p_i^2(x) \quad (3)$$

بدینهی است اگر چندجمله‌ای $p(x)$ مجموع مربعات باشد، آنگاه $p(x) \geq 0$ است (هر چند خلاف آن صادق نیست). مجموعه کلیه چندجمله‌ای‌های از n متغیر و به شکل مجموع مربعات را Σ_n نام می‌گذاریم. واضح است که $\Sigma_n \subset \mathcal{R}_n$. لم زیر شرط لازم و کافی برای

¹ Monomial

² Polynomial

³ Sum of squares

⁴ Sum of Squares program

$$k_p = \frac{c_1}{a}, \quad k_i = \frac{c_2}{a} \quad (11)$$

که در آن a ، c_1 و c_2 پاسخ‌های به دست آمده از برنامه مجموع مربعات زیر هستند

اسکالارهای $0 > a$ ، c_1 و c_2 را چنان بیابید که چندجمله‌ای

$$\begin{aligned} b(\hat{x})\nabla \cdot (\hat{f}(\hat{x})a + \hat{g}(\hat{x})c) \\ - \alpha \nabla b(\hat{x}) \cdot (\hat{f}(\hat{x})a + \hat{g}(\hat{x})c) \end{aligned} \quad (12)$$

مجموع مربعات گردد؛ که در آن

$$\begin{aligned} c = c_1 \frac{\partial h}{\partial x}(x) + c_2 h(x), \\ \hat{f}(\hat{x}) = \begin{bmatrix} f(x) + g(x)u \\ 0 \end{bmatrix}, \\ \hat{x} = \begin{bmatrix} x \\ u \end{bmatrix}, \quad \hat{g}(\hat{x}) = \begin{bmatrix} 0 \\ I \end{bmatrix} \end{aligned} \quad (13)$$

و $b(\hat{x})$ یک چندجمله‌ای مثبت دلخواه است.

برهان. با تعریف ورودی جدیدی به نام v به صورت زیر

$$v = \frac{du}{dt} \quad (14)$$

سیستم افزوده به فرم زیر را خواهیم داشت

$$\begin{bmatrix} \dot{x} \\ \dot{u} \end{bmatrix} = \begin{bmatrix} f(x) + g(x)u \\ 0 \end{bmatrix} + \begin{bmatrix} 0_{n \times m} \\ I \end{bmatrix} v \quad (15)$$

با مشتق‌گیری از u داریم

$$\begin{aligned} \dot{u}(t) &= k_p \dot{y}(t) + k_i y(t) \\ &= k_p \frac{dh}{dx}(x) + k_i h(x) \end{aligned} \quad (16)$$

با علم بر این که $\dot{u} = v$ ، با استفاده از لم λ و برقراری شرایط پایداری برای سیستم افزوده، قرار می‌دهیم

$$\rho(\hat{x}) = \frac{a}{b(\hat{x})^\alpha}, \quad u(x)\rho(\hat{x}) = \frac{c(x)}{b(\hat{x})^\alpha} \quad (17)$$

که در آن $b(\hat{x})$ یک چندجمله‌ای از پیش تعیین شده مثبت بوده و

$$c(x) = c_1 \frac{\partial h}{\partial x}(x) + c_2 h(x) \quad (18)$$

همچنین، ثابت برای اطمینان از برقرار بودن شرط انتگرال‌پذیری مورد استفاده قرار گرفته و به دلخواه بزرگ در نظر گرفته می‌شود [۲۱]. بنابراین، طبق لم λ ، با توجه به اینکه

$\rho \in C^1(\mathbb{R}^n - \{0\}, \mathbb{R})$ وجود داشته باشد به طوری که $\frac{\rho(x)f(x)}{|x|}$ برروی $\{x \in \mathbb{R}^n : |x| \geq 1\}$ انتگرال‌پذیر باشد و برای تقریباً هر x ، $\nabla \cdot (\rho f)(x) > 0$ باشد، آنگاه برای هر حالت اولیه $x(0)$ ، مسیر حالت (t) برای $t \in [0, \infty)$ موجود بوده و با فرصل $t \rightarrow \infty$ به سمت صفر می‌کند [۲۰].

این قضیه برای اولین بار در سال ۲۰۰۰ مطرح شد. به تابع ρ در این قضیه تابع چگالی گفته می‌شود. این تابع تفسیری مشابه چگالی ماده‌ای که در تمام فضای حالت تولید می‌شود و از طریق مسیرهای حالت به نقطه تعادل سیستم می‌رسید دارد و به علت خواص تحدب منحصر به فردی که از خود نشان می‌دهد، کاربردهای جالبی در طراحی کنترل کننده برای سیستم‌های غیرخطی دارد. این قضیه به نوعی دوگان تابع لیاپانوف است، به این معنی که به جای یافتن تابع لیاپانوف، از تابع چگالی برای بررسی پایداری استفاده می‌شود. یکی از مشکلات پیش رو در روش‌های طراحی مبتنی بر لیاپانوف، غیرمحدب بودن مجموعه جواب در جستجوی توأم قانون کنترل و تابع لیاپانوف است؛ اما با به کارگیری تابع چگالی و استفاده از این قضیه، به یک مسئله محدب در طراحی کنترل کننده خواهیم رسید. در بخش بعد، با استفاده از قضیه ذکر شده و مفاهیم ارائه شده در این بخش، به ارائه روش طراحی کنترلگر PI خواهیم پرداخت.

۳- روش طراحی کنترل - حالت نامی

نوآوری اصلی این مقاله را می‌توان قضیه ۱ در این بخش و قضیه ۲ که در بخش بعدی ارائه خواهد شد، دانست. قضیه ۱ مربوط به حالت نامی (بدون حضور عدم قطعیت) و قضیه ۲ تعمیم همین قضیه به سیستم‌های دارای عدم قطعیت است.

سیستم غیرخطی را به شکل زیر در نظر بگیرید

$$\begin{aligned} \dot{x} &= f(x) + g(x)u \\ y &= h(x) \end{aligned} \quad (9)$$

که در آن $x \in \mathbb{R}^n$ بردار حالت سیستم، $u \in \mathbb{R}$ بردار ورودی کنترلی و y خروجی سیستم هستند. توابع $f(x) \in \mathcal{R}_n^n$ و $h(x) \in \mathcal{R}_n$ توابعی چندجمله‌ای از x هستند. چنانچه ذکر شد، به دنبال یافتن قانون کنترلی پایدارساز PI با بازخور خروجی به شکل زیر هستیم

$$u(t) = k_p y(t) + k_i \int_0^t y(s) ds \quad (10)$$

قضیه زیر به بیان روش عددی برای به دست آوردن قانون کنترلی مدنظر می‌پردازد.

قضیه ۱- سیستم داده شده با معادلات (۹) با اعمال کنترل کننده (۱۰)، پایدار خواهد شد، به شرطی که مسئله بین‌محدوده‌ای مجموع مربعات زیر جواب داشته و ضرایب k_p و k_i به صورت زیر از انتخاب شوند:

که p_i ها چندجمله‌ای‌هایی از \mathbf{q} می‌باشند. با این فرضیات، در قضیه زیر به بیان روش طراحی کنترل مقاوم برای سیستم نامعین غیرخطی می‌پردازیم:

قضیه ۲. سیستم نامعین (۲۰) با بردار عدم قطعیت \mathbf{q} که در مجموعه (۲۳) قرار دارد، با قانون کنترل (۱۰) پایدار است، در صورتی که برنامه مجموع مربعات زیر جواب داشته باشد و ضرایب قانون کنترل از روابط (۱۱) به دست می‌آیند

اسکالرهای $0 < a < C_1$ و C_2 و چندجمله‌ای‌های مجموع مربعات

$$\left\{ s_k \right\}_{i=1}^l \text{ را چنان باید که چندجمله‌ای$$

$$\begin{aligned} b(\hat{x})\nabla_x \cdot (\hat{f}(\hat{x}, \mathbf{q})a + \hat{g}c) \\ -\alpha\nabla b(\hat{x}) \cdot (\hat{f}(\hat{x}, \mathbf{q})a + \hat{g}(\hat{x})c) \\ + \sum_{i=1}^l s_i p_i \end{aligned} \quad (۲۴)$$

مجموع مربعات گردد؛ که در آن

$$\begin{aligned} c = c_1 \frac{dh}{dx}(x, \mathbf{q}) + c_2 h(x, \mathbf{q}), \\ \hat{f}(\hat{x}, \mathbf{q}) = \begin{bmatrix} f(x, \mathbf{q}) + g(x, \mathbf{q})u \\ 0 \end{bmatrix}, \\ \hat{x} = \begin{bmatrix} x \\ u \end{bmatrix}, \quad g(\hat{x}) = \begin{bmatrix} 0 \\ I \end{bmatrix} \end{aligned} \quad (۲۵)$$

برهان. قرار دهید

$$\begin{aligned} p_0 = b(\hat{x})\nabla_x \cdot (\hat{f}(\hat{x}, \mathbf{q})a + \hat{g}c) \\ -\alpha\nabla b(\hat{x}) \cdot (\hat{f}(\hat{x}, \mathbf{q})a + \hat{g}(\hat{x})c) \end{aligned} \quad (۲۶)$$

از آنجا که $p_0 \geq -\sum_{i=1}^l s_i p_i$ برای

هر x و \mathbf{q} . بنابراین برای هر \mathbf{q} به شرطی که در رابطه زیر صدق کند

$$\bar{\mathbf{q}} \in \bigcap_{i=1}^l \{ \mathbf{q} \in \mathbb{R}^I \mid p_i(\mathbf{q}) < 0 \} \quad (۲۷)$$

داریم $p_0(x, \mathbf{q}) > 0$ ، بنابراین $\sum_{i=1}^l s_i p_i \geq 0$ خواهد بود. بنابراین

خواهیم داشت

$$\begin{aligned} b(\hat{x})\nabla_x \cdot (\hat{f}(\hat{x}, \mathbf{q})a + \hat{g}c) \\ -\alpha\nabla b(\hat{x}) \cdot (\hat{f}(\hat{x}, \mathbf{q})a + \hat{g}(\hat{x})c) > 0 \end{aligned} \quad (۲۸)$$

برای هر $\mathbf{q} \in Q$

$$\begin{aligned} b(\hat{x})\nabla \cdot (\hat{f}(\hat{x})a + \hat{g}(\hat{x})c) \\ -\alpha\nabla b(\hat{x}) \cdot (\hat{f}(\hat{x})a + \hat{g}(\hat{x})c) > 0 \end{aligned} \quad (۱۹)$$

است، آنگاه سیستم افزوده پایدار خواهد بود.

با استفاده از قضیه فوق با حل یک مسئله مجموع مربعات می‌توان کنترلگر PI پایدارساز را برای یک سیستم غیرخطی پیدا کرد. در بخش بعد به تکمیل قضیه فوق برای رسیدن به پایداری مقاوم پرداخته شده است.

۴- روش طراحی کنترل - حالت مقاوم

اگون به طراحی کنترل کننده تابعی-انتگرالی برای سیستم غیرخطی همراه با عدم قطعیت پارامتری می‌پردازیم. ابتدا، لازم است چگونگی مدل‌سازی عدم قطعیت را برای روش خود ارائه دهیم. بخش پیرو به این بحث می‌پردازد.

۱-۵ مدل‌سازی عدم قطعیت

سیستمی با معادلات حالت زیر را در نظر می‌گیریم

$$\begin{aligned} \dot{x} &= f(x, \mathbf{q}) + g(x, \mathbf{q})u \\ y &= h(x, \mathbf{q}) \end{aligned} \quad (۲۰)$$

که در آن $x \in \mathbb{R}^n$ بردار حالت سیستم و $\mathbf{q} \in \mathbb{R}^l$ بردار پارامترهای نامعلوم سیستم است. توابع $f(\cdot) : \mathbb{R}^{n+l} \rightarrow \mathbb{R}^n$ و $g(\cdot) : \mathbb{R}^{n+l} \rightarrow \mathbb{R}^{n \times m}$ چندجمله‌ای‌هایی از x و \mathbf{q} می‌باشد. سیستم بالا را سیستم نامعین^۱ می‌نامیم. فرض می‌کنیم بردار پارامتر نامعلوم \mathbf{q} محدود به یک مجموعه محدوده نامعینی^۲ به نام Q باشد که یک گوی متناظر با نرم $\|\cdot\|_{p,W}$ و شاعر ۱ و مرکز \mathbf{q}^* (که \mathbf{q}^* یک بردار ثابت و معلوم است) در نظر گرفته می‌شود:

$$Q = \left\{ \mathbf{q} \in \mathbb{R}^l \mid W \cdot (\mathbf{q} - \mathbf{q}^*)_p < 1 \right\} \quad (۲۱)$$

که در آن

$$W = \text{diag}(w_1, w_2, \dots, w_l), \quad (۲۲)$$

$$w_1, w_2, \dots, w_l \in \mathbb{R}^{>0}$$

ماتریس وزن‌دهی است. به سادگی می‌توان دید که برای $p \in \mathbb{N}$

$$Q = \left\{ \mathbf{q} \in \mathbb{R}^l \mid p_i(\mathbf{q}) < 0, i = 1, \dots, I \right\} \quad (۲۳)$$

¹ Uncertain system

² Uncertainty bounding set

سیستم واقعی خود به خود به شکل چندجمله‌ای بیان شده است و لذا روش ارائه شده در این مقاله برای آن قابل استفاده است.

کنترل و مدل‌سازی دو مخزن آب متوالی با یک مسیر بازیافت در [۲۶] ارائه شده است. بردار پارامتر نامی نتیجه شده از شناسایی برابر است با

$$\mathbf{q}^* = [0.0038 \quad 0.0028 \quad 0.2087 \quad -1.1871]^T \quad (۳۳)$$

مجموعه محدوده نامعینی بیضوی به طور مستقیم از روش شناسایی کوچکترین مربعات^۳ به دست می‌آید [۲۷]. بنابراین، با توجه به (۲۱)، مجموعه Q با ضرب مستقیم، معادل زیر می‌باشد

$$\begin{aligned} Q = \{ \mathbf{q} | & 241790q_1^2 + 11360q_1q_2 + 1380q_1q_3 \\ & - 2157.4q_1 + 241210q_2^2 + 900q_2q_3 \\ & + 1240q_2q_4 09.77q_2 + 150q_3^2 + 280q_3q_4 \\ & + 262.0140q_3 + 150q_4^2 + 294.2220q_4 \\ & + 151.5471 - 1 \leq 0 \} \end{aligned} \quad (۳۴)$$

که در قالب چندجمله‌ای مطلوب ما می‌باشد.

۳-۵ مثال ۳ (طراحی نامی).

سیستم داده شده با معادلات زیر را در نظر بگیرید

$$\begin{bmatrix} x \\ y \\ z \end{bmatrix} = \begin{bmatrix} -x + 3yz \\ y^3 - z - x^2 \\ -3z^2y - y - z \end{bmatrix} + \begin{bmatrix} 0 \\ 0 \\ 1 \end{bmatrix} u \quad (۳۵)$$

$h = z$

ماتریس ژاکوبی سیستم حلقه باز و مقادیر ویژه آن چنین است:

$$A = \begin{bmatrix} -1 & 0 & 0 \\ 0 & 0 & -1 \\ 0 & -1 & -1 \end{bmatrix} \quad (۳۶)$$

$$\text{eig}(A) = \begin{cases} -1.6180 \\ -1 \\ +0.6180 \end{cases} \quad (۳۷)$$

بنابراین سیستم حلقه باز ناپایدار است و امکان استفاده از بسیاری از روش‌های طراحی کلاسیک مانند زیگلر-نیکولز ممکن نیست.

استفاده از روش طراحی نامی گفته شده و حل مسئله مجموع مربعات طبق قضیه ۱ در قسمت ۰ و به کمک جعبه ابزار SOSTOOLS [۲۳]

نتیجه زیر را می‌دهد

$$k_p = -30.9242, k_i = -29.9239 \quad (۳۸)$$

نتایج شبیه‌سازی در شکل‌های ۱ الی ۳ آمده است.

شکل ۱، پاسخ حلقه بسته سیستم با شرایط اولیه $[-0.1, 0.1]^T$ و اغتشاش وارد شده در لحظه بین 2π و 3π را نشان می‌دهد. جزئیات اثر

۵- مثال‌ها

در این قسمت به ارائه مثال‌هایی از مدل‌سازی عدم قطعیت در قالب چندجمله‌ای و طراحی کنترلگر PI از روش ارائه شده می‌پردازیم به طور خاص، مثال ۱ به نحوه بیان عدم قطعیت جعبه‌ای^۱ یا مجموعه محدوده نامعینی تعریف شده به کمک نرم می‌پردازد. مثال ۲ به مدل‌سازی عدم قطعیت بیضوی^۲ پرداخته، مثال ۳ کاربرد روش طراحی را در یک سیستم نامی نشان داده است. مثال ۴، کاربرد روش طراحی مقاوم ارائه شده را در اعمال به یک سیستم واقعی، یعنی سیستم لورنزنامعین^۳، نشان می‌دهد.

۱-۵ مثال ۱ (عدم قطعیت جعبه‌ای).

یکی از شکل‌های مجموعه محدوده نامعینی که در انواع عدم قطعیت‌های پارامتری در سیستم‌های کنترل دیده می‌شود، موسوم به عدم قطعیت جعبه‌ای بوده و بیان شده به صورت نرم می‌باشد [۸]:

$$\begin{aligned} Q = & \left\{ \mathbf{q} W \cdot (\mathbf{q} - \mathbf{q}^*)_{\infty} \leq 1 \right\}, \\ \mathbf{q}^* = & (q_1^*, \dots, q_k^*), \\ W = & \text{diag}(w_1, \dots, w_k) \end{aligned} \quad (۳۹)$$

در این مثال می‌خواهیم نشان دهیم اگر سیستم مورد نظر دارای عدم قطعیت جعبه‌ای باشد، برای استفاده از روش ارائه شده در این مقاله چگونه می‌توان آن را تغییر داد. مجموعه ذکر شده به صورت زیر به صورت زیر تبدیل می‌شود

$$\begin{aligned} \max |w_i (q_i - q_i^*)| \leq 1 \\ \Rightarrow -1 \leq w_i (q_i - q_i^*) \leq 1 \end{aligned} \quad (۳۰)$$

بنابراین

$$q_i - q_i^* - \frac{1}{w_i} \leq 0, \quad q_i - q_i^* + \frac{1}{w_i} \geq 0 \quad (۳۱)$$

پس مدل چندجمله‌ای مجموعه محدوده نامعینی به صورت زیر می‌شود

$$Q = \left\{ \mathbf{q} \left(q_i - q_i^* \right)^2 - \frac{1}{w_i^2} \leq 0, \quad i = 1, \dots, k \right\} \quad (۳۲)$$

۲-۵ مثال ۲ (عدم قطعیت بیضوی).

به دلیل وجود نویزهای اندازه گیری، روش‌های متداول شناسایی سیستم (شناختی) بر پایه پیش‌بینی خطأ یک مدل نامی از سیستم به همراه یک مجموعه نامعینی پارامتری بیضوی شکل را نتیجه می‌دهند. در این مثال می‌خواهیم نشان دهیم که عدم قطعیت بیضوی ناشی از شناسایی یک

¹ Box

² Ellipsoidal

³ Uncertain Lorenz system

⁴ Least squares identification

۴-۵ مثال ۴ (طراحی مقاوم برای سیستم واقعی).

در این مثال به طراحی کنترل کننده تناوبی-انگرالی برای سیستم لورنزو نامعین با هدف رد اغتشاش می‌پردازیم. معادلات سیستم به شرح زیر است

$$\begin{bmatrix} \dot{x} \\ \dot{y} \\ \dot{z} \end{bmatrix} = \begin{bmatrix} \sigma(y-x) \\ x(\rho-z)-y \\ xy-\beta z \end{bmatrix} + \begin{bmatrix} 0 \\ 0 \\ 1 \end{bmatrix} u \quad (39)$$

$$h = x(t)$$

که در آن σ ، ρ و β پارامترهای نامعلوم و محدود به یک بازه شناخته شده هستند. فرض می‌شود که سیستم در حال سکون و در موقعیت نقطه تعادل ناپایدار مبدأ قرار داشته باشد. هدف، پایدار نگاه داشتن سیستم با وجود اعمال اغتشاش است.

شبیه‌سازی با در نظر گرفتن پارامترها در محدوده‌های زیر انجام می‌شود

$$\begin{aligned} 9 < \sigma < 11 \\ 2.5 < \beta < 3 \\ 25 < \rho < 31 \end{aligned} \quad (40)$$

در این محدوده سیستم هم رفتار آشوب‌گونه و هم نوسانات تناوبی از خود نشان می‌دهد. نتیجه طراحی از قضیه ۳ مقادیر زیر را به عنوان پارامترهای کنترل کننده و به کمک جعبه ابزار SOSTOOLS [۲۳] ارائه می‌دهد

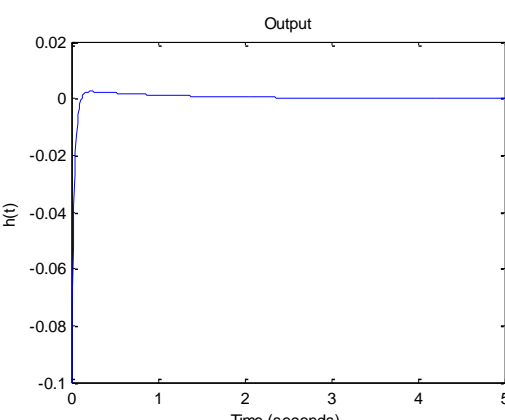
$$k_p = -1.5054, k_i = -49.6842 \quad (41)$$

شکل ۴، شبیه‌سازی پاسخ حلقه باز سیستم به یک سیگنال اغتشاش پله‌ای با دامنه واحد که در دقایق ۱ تا ۲ به سیستم وارد شده است را نشان می‌دهد. ۳ دسته پارامتر برای شبیه‌سازی سیستم در نظر گرفته شده است که ۲ تای آن‌ها به طور تصادفی از بین مجموعه مجاز پارامترها انتخاب شده و دسته سوم، پارامترهایی است که سیستم به ازای آن رفتار آشوب‌گونه از خود نشان می‌دهد. چنانچه در شکل ۴ مشخص است، سیستم حلقه‌باز با اعمال اغتشاش از حال سکون خارج شده و رفتار نوسانی و یا آشوب‌ناک از خود نشان می‌دهد. در شکل ۵، رفتار سیستم حلقه‌بازه با همان پارامترها در حضور سیگنال اغتشاش نمایش داده شده است. چنانچه مشاهده می‌شود، سیستم موقعیت خوبی در رد اغتشاش با بهره حدود 10^{-3} داشته است.

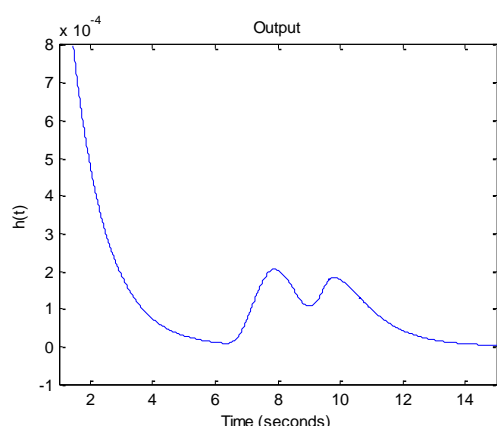
۵- نتیجه‌گیری

در این مقاله به ارائه یک روش الگوریتمی برای طراحی کنترلگر PI مقاوم برای سیستم‌های غیرخطی پرداخته شده است. طراحی به کمک روش مجموع مربیات انجام شده و پایداری از طریق دوگان قضیه لیپانوف به اثبات رسیده است. تحلیل‌ها همگی با استفاده از مدل غیرخطی انجام شده و برخلاف روش‌های کلاسیک، هیچ‌گونه محافظه

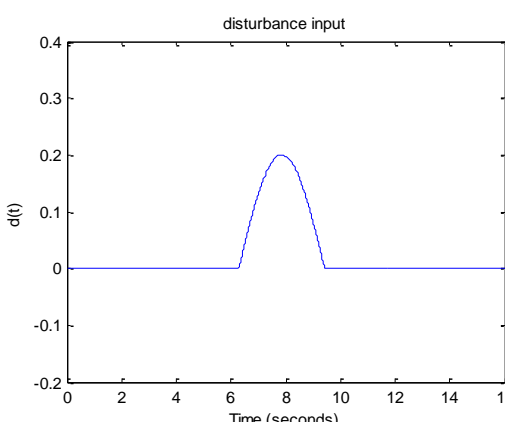
اغتشاش در شکل ۲ وارد شده است. شکل ۳ سیگنال ورودی اغتشاش را نشان می‌دهد که یک سیگنال سینوسی با دامنه ۰.۲ و فرکانس ۱ واحد می‌باشد که از لحظه 2π تا 3π اعمال شده است. همانطور که از شکل‌ها مشخص است، سیستم در رد اغتشاش و همچنین پاسخ گذرا عملکرد بسیار مطلوبی از خود نشان داده است؛ به طوری که اغتشاش با بهره 10^{-3} ضعیف شده است.



شکل ۱: پاسخ سیستم حلقه باز



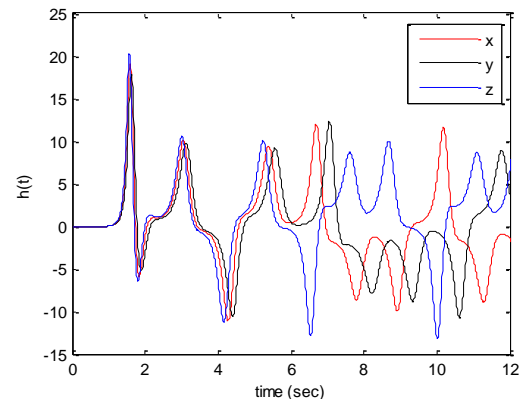
شکل ۲: بزرگنمایی اثر اغتشاش



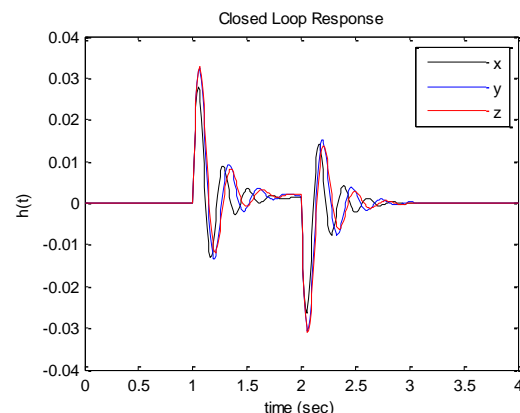
شکل ۳: سیگنال اغتشاش

- [4] Q. G. Wang, Z. Ye, and W. J. Cai, *PID Control for Multivariable Processes*: Springer, 2008.
- [5] H. Panagopoulos and K. J. Åström, "PID control design and \mathcal{H}_∞ loop shaping," *International Journal of Robust and Nonlinear Control*, vol. 10, pp. 1249-1261, 2000.
- [6] C.-M. A Fransson, B. A Lennartson, T. A Wik, and P.-O. A Gutman, "On optimizing PID controllers for uncertain plants using Horowitz bounds," in *IFAC Workshop on digital control: Past, present, and future of PID control, Terassa, Spain*, Terassa, Spain, 2000.
- [7] B. Labibi, H. J. Marquez, and T. Chen, "LMI optimization approach to robust decentralized controller design," *International Journal of Robust and Nonlinear Control*, vol. 21, pp. 904-924, 2011.
- [8] B. R. Barmish, *New tools for robustness of linear systems*: Macmillan, 1994.
- [9] S. P. Bhattacharyya, H. Chapellat, and L. H. Keel, *Robust control :the parametric approach*: Prentice Hall PTR, 1995.
- [10] I. Horowitz, "Quantitative feedback theory," *Control Theory and Applications, IEE Proceedings D*, vol. 129, pp. 215-226, 1982.
- [11] P. A. Parrilo, "Structured Semidefinite Programs and Semialgebraic Geometry Methods in Robustness and Optimization," PhD, California Institute of Technology, Pasadena, California, 2000.
- [12] D. Henrion and A. Garulli, *Positive Polynomials In Control*: Springer, 2005.
- [13] Z. Jarvis-Wloszek, R. Feeley, T. Weehong, S. Kunpeng, and A. Packard, "Some controls applications of sum of squares programming," in *Decision and Control, 2003. Proceedings. 42nd IEEE Conference on*, 2003, pp. 4676-4681.
- [14] A. Papachristodoulou and S. Prajna, "A tutorial on sum of squares techniques for systems analysis," in *American Control Conference*, 2005, pp. 2686-2700 vol. 4.
- [15] A. Papachristodoulou and S. Prajna, "On the construction of Lyapunov functions using the sum of squares decomposition," in *Decision and Control, 2002, Proceedings of the 41st IEEE Conference on*, 2002, pp. 3482-3487 vol.3.
- [16] S. Prajna, A. Papachristodoulou, and W. Fen, "Nonlinear control synthesis by sum of squares optimization: a Lyapunov-based approach," in *Control Conference, 2004. 5th Asian*, 2004, pp. 157-165 Vol.1.
- [17] Y. Zhi, G. Zhao, and J. Yu, "Robust static output feedback for a class of nonlinear uncertain systems," in *Proceedings of the 2011 International Conference on Computational and Information Sciences, ICCIS 2011*, 2011, pp. 1163-1166.
- [18] H. Zakeri and S. Ozgoli, "A Polynomial Modeling and State Feedback Control of Blood Glucose

کاری ناشی از خطی سازی در طراحی وجود ندارد. روش ارائه شده همچنین عدم قطعیت موجود در سیستم غیرخطی را به شکل عدم قطعیت پارامتری در نظر گرفته است و بنابراین آزادی عمل بیشتری به طراحی می‌دهد. اثبات پایداری در حضور عدم قطعیت به کمک قصبه S-Procedure تعیین یافته انجام شده است. مثال‌های عددی، کارایی کنترلگر ارائه شده در رد اغتشاش وارد شده به سیستم غیرخطی را با شبیه‌سازی عددی نشان داده اند.



شکل ۴- پاسخ حلقه باز سیستم به سیگنال اغتشاش



شکل ۵ پاسخ سیستم حلقه بسته به سیگنال اغتشاش

مراجع

- [1] S. Bennett, "Nicholas Minorsky and the automatic steering of ships," *Control Systems Magazine, IEEE*, vol. 4, pp. 10-15, 1984.
- [2] N. Minorsky, "Directional Stability of Automatically Steered Bodies," *Journal of the American Society for Naval Engineers*, vol. 34, pp. 280-309, 1922.
- [3] K. J. Åström and T. Häggblund, *Advanced PID control*: ISA-The Instrumentation, Systems, and Automation Society, 2006.

- [23] S. Prajna, A. Papachristodoulou, and P. A. Parrilo, "Introducing SOSTOOLS: a general purpose sum of squares programming solver," in *Decision and Control, 2002, Proceedings of the 41st IEEE Conference on*, 2002, pp. 741-746 vol.1.
 - [24] J. Löfberg, "YALMIP : a toolbox for modeling and optimization in MATLAB," in *Computer Aided Control Systems Design, 2004 IEEE International Symposium on*, 2004, pp. 284-289.
 - [25] J. Löfberg, "Pre- and Post-Processing Sum-of-Squares Programs in Practice," *Automatic Control, IEEE Transactions on*, vol. 54 ,pp. 1007-1011, 2009.
 - [26] H. Didier, "LMIs for Robust Stabilization of Systems with Ellipsoidal Uncertainty," presented at the Process Control Conference, Slovakia, 2001.
 - [27] O. D. Crisalle, H. M. Mahon, and D. Bonvin, "Study of robust control designs using the critical-direction method for ellipsoidal uncertainties," in *Southcon/94. Conference Record*, 1994, pp. 173-180.
 - [28] S. Prajna, A. Papachristodoulou, and P. A. Parrilo, "Regulatory in Diabetic Patients," in *4th International Conference on Intelligent and Advanced Systems (ICIAS2012)*, Kuala Lumpur, Malaysia, 2012, pp. 647-651.
 - [29] M. Krug, S. Saat, and S. K. Nguang, "Nonlinear robust H_∞ static output feedback controller design for parameter dependent polynomial systems: An iterative sum of squares approach," in *50th IEEE Conference on Decision and Control and European Control Conference*, 2011 ,pp. 3502-3507.
 - [30] A. Rantzer, "A dual to Lyapunov's stability theorem," *Systems & Control Letters*, vol. 42, pp. 161-168, 2001.
 - [31] S. Prajna, P. A. Parrilo, and A. Rantzer, "Nonlinear control synthesis by convex optimization," *Automatic Control, IEEE Transactions on*, vol. 49, pp. 310-314, 2004.
 - [32] W. Tan, "Nonlinear Control Analysis and Synthesis using Sum-of-Squares Programming," PhD dissertation, Mechanical Engineering, University of California, Berkeley, USA, 2006.

حل عددی معادلات دیفرانسیلی- جبری به شکل هزنبرگ با استفاده از کنترل مدل غزشی

علی خالقی کارسالاری^۱، مسعود شفیعی^۲

^۱ فارغ‌التحصیل کارشناسی ارشد مهندسی برق، گروه کنترل، دانشگاه صنعتی امیرکبیر، alikhaleghi@aut.ac.ir

^۲ استاد، دانشکده مهندسی برق، گروه کنترل، دانشگاه صنعتی امیرکبیر، mshafiee@aut.ac.ir

(تاریخ دریافت مقاله ۱۳۹۱/۵/۲۴، تاریخ پذیرش مقاله ۱۳۹۱/۸/۲۰)

چکیده: در این مقاله روشی برای حل عددی معادلات دیفرانسیلی- جبری به شکل هزنبرگ ارائه شده است. در روش ارائه شده یک سطح لغزشی متناسب با ایندکس سیستم تعریف شده است که معادله‌ی کاملی برای محاسبه‌ی متغیر جبری در اختیار قرار می‌دهد. همچنین به دلیل پایداری سطح لغزشی، همگرایی خطای دوری از خمینه‌ی قید در معادله‌ی دیفرانسیلی- جبری تضمین شده است. در انتها، روش روی چند مثال خطی ایندکس و غیر خطی اعمال شده و نتایج آورده شده است.

کلمات کلیدی: معادلات دیفرانسیلی- جبری، شکل هزنبرگ، حل عددی، کنترل مدل غزشی، ردیابی خمینه‌ی قید.

Solution of Differential-Algebraic Equations in Hessenberg Form Using Sliding Mode Control

Ali Khaleghi Karsalari, Masoud Shafiee

Abstract: In this paper, a method for numerical solution of differential-algebraic equations (DAEs) in Hessenberg form is presented. In this method, a sliding surface proportional to systems index is defined that generates a complete equation to calculate algebraic variables. Since the sliding surface is stable, convergence of the distance from manifold constraint in DAE is satisfied. Finally, the proposed method is applied for some linear and nonlinear index-3 systems. Numerical solutions confirm the accuracy of the proposed technique.

Keywords: differential-algebraic equations, Hessenberg form, sliding mode control, constraint manifold tracking.

^۱ تقریب پاده^۱ [۵]، تجزیه‌ی آدمین^۲ [۶] روش اختلال هموتوپی^۳

[۷] و تقریب‌های چند مرتبه^۴ [۸] اشاره کرد.
به دلیل تنوع بسیار زیاد روش‌های حل عددی موجود، دسته‌بندی آنها اندکی دشوار است. یک دسته‌بندی می‌تواند بر اساس نحوه ساخت پاسخ باشد. دو رویکرد اصلی، حل ترتیبی و ساخت سراسری پاسخ است.

۱- مقدمه

رویکردهای مختلفی برای به دست آوردن تقریب عددی پاسخ معادله‌ی دیفرانسیلی- جبری وجود دارد. از جمله‌ی روش‌های ارائه شده، می‌توان به استفاده از فرمول تفاضل وارون [۲، ۱]، رانگ-کوتای ضمنی

^۱ Pade Approximation

^۲ Adomian decomposition

^۳ Homotopy Perturbation Method (HPM)

^۴ Multiquadratic approximation

۲- معادلات دیفرانسیلی- جبری

کلی ترین شکل معادله دیفرانسیلی - جبری به صورت زیر است:

$$\begin{aligned} \mathbf{f}(t, \mathbf{x}(t), \dot{\mathbf{x}}(t)) &= \mathbf{0}, \\ t \in [0, T], \quad \mathbf{x} \in \mathbb{R}^m, \quad \mathbf{f}: \mathbb{R}^{2m+1} &\rightarrow \mathbb{R}^m, \end{aligned} \quad (1)$$

که در آن ماتریس ژاکوبین $\partial \mathbf{f} / \partial \mathbf{x}$ تکین است. بسیاری از معادلات دیفرانسیلی- جبری که در مسائل عملی ظهور می‌یابند، دارای شکل ساده‌تری هستند که از جمله‌ی آن‌ها شکل هزنبیرگ است اما پیش از معرفی شکل هزنبیرگ لازم است خاصیت مهمی در معادلات دیفرانسیلی جبری به نام ایندکس^۴ معرفی شود.

تعريف ۱ [۲]: معادله دیفرانسیلی- جبری غیر خطی (۱) دارای ایندکس ۷ است اگر ۷ کوچک‌ترین تعداد مشتقان به صورت

$$\begin{aligned} \mathbf{f}(t, \mathbf{x}, \dot{\mathbf{x}}) &= \mathbf{0}, \\ \frac{d\mathbf{f}(t, \mathbf{x}, \dot{\mathbf{x}}, \ddot{\mathbf{x}})}{dt} &= \mathbf{0}, \\ &\vdots \\ \frac{d^{\mu}\mathbf{f}(t, \mathbf{x}, \dot{\mathbf{x}}, \dots, \mathbf{x}^{(\mu+1)})}{dt^{\mu}} &= \mathbf{0} \end{aligned} \quad (2)$$

باشد به طوری که (۲) امکان استخراج سیستم $\dot{\mathbf{x}}(t) = \phi(\mathbf{x}, t)$ را تنها با محاسبات جبری بدهد.

حال با در نظر گیری تعريف ایندکس، شکل کلی معادله دیفرانسیلی- جبری هزنبیرگ با ایندکس ۷ قابل تعريف است [۲]:

$$\begin{aligned} \mathbf{0} &= \mathbf{f}_0(\mathbf{x}_1(t), t) \\ \dot{\mathbf{x}}_1(t) &= \mathbf{f}_1(\mathbf{x}_1(t), \mathbf{x}_2(t), t) \\ \dot{\mathbf{x}}_2(t) &= \mathbf{f}_2(\mathbf{x}_1(t), \mathbf{x}_2(t), \mathbf{x}_3(t), t) \\ &\vdots \\ \dot{\mathbf{x}}_{v-1}(t) &= \mathbf{f}_{v-1}(\mathbf{x}_1(t), \mathbf{x}_2(t), \dots, \mathbf{x}_v(t), t) \end{aligned} \quad (3)$$

که در آن $\frac{\partial \mathbf{f}_0}{\partial \mathbf{x}_1}, \frac{\partial \mathbf{f}_1}{\partial \mathbf{x}_2}, \dots, \frac{\partial \mathbf{f}_{v-1}}{\partial \mathbf{x}_v}$ دارای رتبه‌ی کامل است. در (۳)،

معادله نخست یعنی $\mathbf{f}_0(\mathbf{x}_1(t), t) = \mathbf{0}$ معادله جبری و متغیر (t)_v متغیر جبری خوانده می‌شود. معادلات هزنبیرگ با ایندکس بیشتر از یک نقشی محوری در تئوری معادلات دیفرانسیلی- جبری ایفا می‌کنند و معادلات دیفرانسیلی- جبری عمومی‌تر قابل بازنویسی به شکل هزنبیرگ با همان ایندکس هستند [۱۱]. معادلات هزنبیرگ به صورت خاص در سیستم‌های مکانیکی قابل توجه هستند. از جمله بسیاری از معادلات سیستم‌های دینامیکی محدود مثل سیستم‌های چند جسمی یا ربات‌های غیرهولونومیک به صورت هزنبیرگ به دست می‌آیند [۱۲، ۱۳].

در رویکرد ساخت سراسری پاسخ، که در برخی متون روش‌های طبیعی^۱ نیز نامیده می‌شوند، سعی می‌شود با استفاده از یک مجموعه از توابع پایه، پاسخ در بازه‌ی حل، تقریب زده شود. لذا هدف به دست آوردن ضرایب توابع پایه به صورتی است که خطای به حد مطلوب برسد. در مقالات از است که از یک چندجمله‌ای درجه‌ی دلخواه k برای تقریب پاسخ استفاده می‌کند. از چندجمله‌ای‌ها لزاندر^۲ و چیشف^۳ نیز به عنوان چندجمله‌ای‌های متعامد در تقریب عددی مسائل بسیاری استفاده شده است [۱۰].

در رویکرد ترتیبی، با توجه به معین بودن شرایط اولیه، با استفاده از یک روش گسسته‌سازی، پاسخ برای گام بعدی به دست می‌آید. به طور کلی روش‌های مبتنی بر فرمول تفاضل وارون یا رانگ-کوتای ضمنی جزء این دسته هستند.

در این مقاله روشی با رویکرد ترتیبی برای حل معادلات دیفرانسیلی- جبری که به شکل هزنبیرگ داده شده باشند، ارائه شده است. این روش به روش‌های حل معادلات دیفرانسیلی معمولی همراه با قید بسیار نزدیک است. در معادلات دیفرانسیلی معمولی با قید، معادله‌ی اطلاعات اضافه‌ای محسوب می‌شود که بدون آن نیز معادله‌ی دیفرانسیلی معمولی قابل حل است و اگر هیچ خطای در حل عددی وجود نداشته باشد، معادله‌ی قید باید در پاسخ، برقرار باشد. اما به دلیل وجود خطاهای مختلف در حل عددی، ممکن است این اتفاق صورت نگیرد. لذا از معادله‌ی قید برای اصلاح پاسخ عددی در هر گام استفاده می‌شود. برای این کار سعی می‌شود معادله‌ی پایداری برای همگرا ماندن حل عددی به معادله‌ی قید تشکیل گردد و با استفاده از آن معادله، در هر گام مقدار حالت‌ها اصلاح شود. در روشی که در این مقاله بدان خواهیم پرداخت رویکرد مشابهی استفاده شده است. اما برخلاف معادلات دیفرانسیلی معمولی همراه قید، در معادلات دیفرانسیلی- جبری، قید اطلاعات اضافه محسوب نمی‌شود و بدون آن معادله قابل حل نیست. در روش ارائه شده در این مقاله، معادله‌ی قید به عنوان خطای در نظر گرفته می‌شود و با تشکیل یک معادله دیفرانسیلی پایدار روی آن، که متناسب با ایندکس سیستم تشکیل می‌شود، حالت‌های جبری دستگاه دیفرانسیلی- جبری محاسبه می‌شود.

ادامه این مقاله به شرح زیر است: در بخش دوم معادلات دیفرانسیلی- جبری تعريف شده‌اند. در بخش سوم روش حل عدد معادلات دیفرانسیلی- جبری شکل هزنبیرگ ارائه شده است. در بخش چهارم در مورد انتخاب ضرایب مناسب مربوط به روش ارائه شده توضیحاتی آورده شده است. مثال‌های عددی حل شده با روش ارائه شده و مقایسه با نرم‌افزارهای موجود نیز در بخش پنجم ارائه شده‌اند.

¹ Spectral methods

² Legendre

³ Chebychev

$$\begin{aligned}\mathbf{e}(t) &= \mathbf{f}_0(\mathbf{x}_1(t), t) \\ \dot{\mathbf{x}}_1(t) &= \mathbf{f}_1(\mathbf{x}_1(t), \mathbf{x}_2(t), t)\end{aligned}\quad (6)$$

با نگاه به (۶) دیده می‌شود که اگر در این معادله $\mathbf{x}_2(t)$ را به عنوان متغیر کنترلی ورودی در نظر بگیریم، آنگاه $\mathbf{e}(t) = \mathbf{f}_0(\mathbf{x}_1(t), t)$ را نیز می‌توان به عنوان خروجی در نظر گرفت و هدف تعیین $\mathbf{x}_2(t)$ به گونه‌ای است که $\mathbf{e}(t)$ به سمت صفر میل نماید. لذا از این دیدگاه معادله دیفرانسیلی- جبری ایندکس دو بسیار نزدیک به مسئله‌ی تنظیم در مهندسی کنترل است.

سطح لغزش، سطحی پایدار و معمولاً به صورت زیر در نظر گرفته می‌شود:

$$\begin{aligned}\mathbf{s} &\triangleq \left(\frac{d}{dt} + \lambda \right)^k \mathbf{e} \\ &= \left(\frac{d^k}{dt^k} + \alpha_{k-1} \frac{d^{k-1}}{dt^{k-1}} + \dots + \alpha_1 \frac{d}{dt} + \alpha_0 \right) \mathbf{e} \\ &= \sum_{i=0}^k \alpha_i \mathbf{e}^{(i)} = \mathbf{0}.\end{aligned}\quad (7)$$

که در آن $\lambda > 0$ و $\alpha_i = \binom{k}{i} \lambda^i$ است. البته در حالت کلی، ضرایب α_i می‌توانند از این قاعده پیروی نکنند بلکه تنها کافی است طوری انتخاب شوند که معادله سطح لغزش، پایدار باشد. این انتخاب پایداری را تضمین می‌کند. برای سیستم هزنبیرگ با ایندکس V ، سطح لغزشی (۷) را برای $k = V - 1$ در نظر می‌گیریم. از طرفی داریم:

$$\begin{aligned}\frac{d}{dt} \mathbf{f}_0 &= \frac{\partial \mathbf{f}_0}{\partial \mathbf{x}_1} \mathbf{f}_1 + \frac{\partial \mathbf{f}_0}{\partial t} = \frac{\partial \mathbf{f}_0}{\partial \mathbf{x}_1} \mathbf{f}_1 + \Delta_1 \\ \frac{d^2}{dt^2} \mathbf{f}_0 &= \frac{\partial \mathbf{f}_0}{\partial \mathbf{x}_1} \left(\frac{\partial \mathbf{f}_1}{\partial \mathbf{x}_1} \mathbf{f}_1 + \frac{\partial \mathbf{f}_1}{\partial \mathbf{x}_2} \mathbf{f}_2 \right) \\ &\quad + \frac{d}{dt} \left(\frac{\partial \mathbf{f}_0}{\partial \mathbf{x}_1} \right) \mathbf{f}_1(t) + \frac{d}{dt} \frac{\partial \mathbf{f}_0}{\partial t} \\ &= \frac{\partial \mathbf{f}_0}{\partial \mathbf{x}_1} \frac{\partial \mathbf{f}_1}{\partial \mathbf{x}_2} \mathbf{f}_2 + \Delta_2 \\ &\vdots \\ \frac{d^{V-1}}{dt^{V-1}} \mathbf{f}_0 &= \frac{\partial \mathbf{f}_0}{\partial \mathbf{x}_1} \frac{\partial \mathbf{f}_1}{\partial \mathbf{x}_2} \dots \frac{\partial \mathbf{f}_{V-2}}{\partial \mathbf{x}_{V-1}} \mathbf{f}_{V-1} + \Delta_{V-1}\end{aligned}$$

که در آن Δ_i -ها به صورت زیر هستند:

$$\begin{aligned}\Delta_1 &= \frac{\partial \mathbf{f}_0}{\partial t} \\ \Delta_{i+1} &= \frac{d}{dt} \Delta_i + \frac{d}{dt} \left(\prod_{j=1}^i \frac{\partial \mathbf{f}_{j-1}}{\partial \mathbf{x}_j} \right) \mathbf{f}_i \\ &\quad + \left(\prod_{j=1}^i \frac{\partial \mathbf{f}_{j-1}}{\partial \mathbf{x}_j} \right) \left(\prod_{j=1}^i \frac{\partial \mathbf{f}_i}{\partial \mathbf{x}_j} \mathbf{f}_j + \frac{\partial \mathbf{f}_i}{\partial t} \right)\end{aligned}$$

۳- حل عددی معادله هزنبیرگ

معادله دیفرانسیلی- جبری شکل هزنبیرگ را به صورت زیر بازنویسی می‌نماییم:

$$\begin{aligned}\mathbf{e}(t) &= \mathbf{f}_0(\mathbf{x}_1(t), t) \\ \dot{\mathbf{x}}_1(t) &= \mathbf{f}_1(\mathbf{x}_1(t), \mathbf{x}_2(t), t) \\ &\vdots \\ \dot{\mathbf{x}}_{V-1}(t) &= \mathbf{f}_{V-1}(\mathbf{x}_1(t), \mathbf{x}_2(t), \dots, \mathbf{x}_V(t), t)\end{aligned}\quad (4)$$

در معادله (۴) اگر پس از چند گام تضمین کنیم $\mathbf{e}(t) \rightarrow 0$ ، آنگاه می‌توان نتیجه گرفت حل عددی به سمت خمینه‌ی قید همگرا می‌شود. برای تضمین $\mathbf{e}(t) \rightarrow 0$ روش‌های مختلفی وجود دارد. اولین روش حل معادله $\mathbf{e}(t) = 0$ براساس متغیر جبری است. همان‌طور که می‌دانیم این کار برای معادلات دیفرانسیلی- جبری ایندکس یک انجام می‌شود و پاسخ مناسبی هم تولید می‌کند. اما برای ایندکس‌های بالاتر چون $\frac{\partial \mathbf{e}}{\partial \mathbf{x}_V}$ تکین است، امکان یافتن پاسخ وجود ندارد.

برای سیستم با ایندکس V ، با V بار مشتق‌گیری، معادله دیفرانسیلی معمولی برای کل سیستم به دست می‌آید. یعنی داریم:

$$\det \left(\frac{\partial}{\partial \mathbf{x}_V} \frac{d^\mu \mathbf{g}}{dt^\mu} \right) \neq 0$$

و لذا با تشکیل این معادله دیفرانسیلی معمولی، می‌توان با استفاده از روش‌های ضمنی، سیستم را حل کرد. این روش در واقع تشکیل و حل معادله زیر است:

$$\frac{d^\mu \mathbf{e}}{dt^\mu} = \mathbf{e}^{(\mu)} = \mathbf{0}. \quad (5)$$

مشکل روش، این است که با حل معادله (۵) برای متغیر جبری، دیگر دلیلی وجود ندارد که قید در پاسخ به دست آمده برقرار بماند و در واقع نمی‌توان تضمین نمود که $\mathbf{e}(t)$ نیز به صفر میل کند. دو اصلاح روی معادله (۵) به صورت زیر اعمال می‌شود:

(۱) نیازی نیست مشتق‌گیری، V بار انجام شود. در واقع همان‌طور که در مسئله‌ی ایندکس یک، بدون مشتق‌گیری (صفر بار مشتق‌گیری) با استفاده از روش ضمنی، معادله حل می‌شود، برای ایندکس V نیز می‌توان $V - 1$ بار مشتق‌گرفته و معادله را به صورت ضمنی حل نمود.

(۲) برای آنکه تضمین نماییم قید در پاسخ برقرار می‌ماند، باید تضمین نماییم که $\mathbf{e}(t)$ و مشتقات آن، همگی به صفر میل می‌کنند. در روش کنترل با استفاده از سطح لغزشی^۱، مسئله‌ای مشابه با آنچه هدف ماست، بررسی شده است. معادله سطح لغزش به گونه‌ای است که خطای و مشتقات آن همگی صفر می‌شوند. سپس از روی آن، ورودی کنترلی محاسبه می‌شود. برای توضیح بیشتر، معادله هزنبیرگ ایندکس دو را در نظر می‌گیریم:

¹ Sliding Mode Control

در انتها، معادله‌ی سطح لغزش را به صورت زیر تشکیل می‌دهیم:

$$\begin{aligned} s &= (z-a)^{\nu-1} \mathbf{e}_n \\ &= \mathbf{e}_{n+\nu-1} + \alpha_{\nu-2} \mathbf{e}_{n+\nu-2} + \dots + \alpha_0 \mathbf{e}_n \end{aligned} \quad (10)$$

که در آن داریم:

$$\alpha_i = \binom{\nu-1}{i} (-a)^i \quad (11)$$

همچنین \mathbf{z} عملگری است که به صورت زیر تعریف می‌شود
(تبديل \mathbf{z}):

$$\mathbf{z}\mathbf{e}_n = \mathbf{e}_{n+1}$$

برای پایداری کافی است a عددی بین صفر و یک انتخاب گردد.
لذا دستگاهی به شکل زیر به دست می‌آید:

$$\begin{aligned} \tilde{\mathbf{f}}_0(\tilde{\mathbf{f}}_1(\tilde{\mathbf{f}}_1(\mathbf{x}_1^n, \mathbf{x}_2^n, t_n), \tilde{\mathbf{f}}_2(\mathbf{x}_1^n, \mathbf{x}_2^n, \mathbf{x}_3^n, t_n), t_{n+1}), t_{n+2}) \\ + \alpha_1 \tilde{\mathbf{f}}_1(\tilde{\mathbf{f}}_1(\mathbf{x}_1^n, \mathbf{x}_2^n), t_{n+1}) + \alpha_0 \tilde{\mathbf{f}}_0(\mathbf{x}_1^n, t_n) = \mathbf{0} \end{aligned} \quad (12)$$

که در آن تنها \mathbf{x}_3^n مجھول است و طبق (۹)، معادله‌ی (۱۲) همواره برای \mathbf{x}_3^n دارای پاسخ است. برای ایندکس‌های بالاتر نیز به راحتی می‌توان معادله‌ی مشابه را تشکیل داد.

لذا الگوریتم حل به این صورت خواهد بود:

- در لحظه‌ی صفر، مقادیر حالت معلوم هستند. با در نظر گرفتن $n=0$ معادله‌ی (۱۲) را تشکیل داده و مقدار \mathbf{x}_1^0 اصلاح می‌شود.
- از روی مقادیر به دست آمده در لحظه‌ی n ، مقادیر حالت‌ها در $n+1$ را محاسبه می‌کیم. توجه شود که تابع از همگرایی به خمینه‌ی قید، این مقادیر با مقادیر به دست آمده در تشکیل معادله‌ی (۲) در مرحله‌ی پیش، ممکن است متفاوت باشند و باید دوباره محاسبه شوند. اما پس از همگرایی به قید، نیاز به محاسبه‌ی مجدد نیست.
- با در نظر گرفتن $n+1$ به عنوان مقدار جدید برای n ، محاسبه‌ی \mathbf{x}_1^n از روی مقادیر جدید به دست آمده و معادله‌ی (۱۲) تکرار می‌شود.
- در صورتی که به پایان شیوه‌سازی رسیدیم، خارج شده و در غیر این صورت به مرحله‌ی ۲ بازگشت می‌کیم.

۴- انتخاب ضرایب سطح لغزش

همان طور که گفته شد، برای همگرایی، در حالت پیوسته کافی است λ بزرگ‌تر از صفر و در حالت گسته a بین صفر و یک انتخاب گردد. این دو عدد، سرعت همگرایی را تعیین می‌کنند. هرچه مقدار λ بزرگ‌تر انتخاب شود، سرعت همگرایی بیشتر می‌شود. از طرف دیگر مقادیر خیلی بزرگ، دستگاه را خیلی ناهموار خواهند کرد که مطلوب نیست. در یک روش گام متغیر، دستگاه نیاز به گام‌های خیلی کوچکی برای حل دارد و در روش‌های گام ثابت، موجب ناپایداری حل خواهد شد. در حالت کلی مقدار λ باید تابعی از خطای حل و سرعت

همان‌طور که دیده می‌شود، در Δ_{i-1} ، متغیر \mathbf{x}_i و مشتقات آن،

$$\text{وجود ندارد و لذا } \frac{\partial \Delta_{i-1}}{\partial \mathbf{x}_i} = \mathbf{0} \text{ است. همچنین برای } i = \nu \text{ داریم:}$$

$$\begin{aligned} \frac{\partial}{\partial \mathbf{x}_\nu} \left(\frac{d^{\nu-1}}{dt^{\nu-1}} \mathbf{f}_0 \right) \\ = \frac{\partial}{\partial \mathbf{x}_\nu} \left(\frac{\partial \mathbf{f}_0}{\partial \mathbf{x}_1} \frac{\partial \mathbf{f}_1}{\partial \mathbf{x}_2} \dots \frac{\partial \mathbf{f}_{\nu-2}}{\partial \mathbf{x}_{\nu-1}} \mathbf{f}_{\nu-1} + \Delta_{\nu-1} \right) \\ = \frac{\partial}{\partial \mathbf{x}_\nu} \left(\frac{\partial \mathbf{f}_0}{\partial \mathbf{x}_1} \frac{\partial \mathbf{f}_1}{\partial \mathbf{x}_2} \dots \frac{\partial \mathbf{f}_{\nu-2}}{\partial \mathbf{x}_{\nu-1}} \mathbf{f}_{\nu-1} \right) + \frac{\partial \Delta_{\nu-1}}{\partial \mathbf{x}_\nu} \\ = 0 \\ = \frac{\partial}{\partial \mathbf{x}_\nu} \left(\frac{\partial \mathbf{f}_0}{\partial \mathbf{x}_1} \frac{\partial \mathbf{f}_1}{\partial \mathbf{x}_2} \dots \frac{\partial \mathbf{f}_{\nu-2}}{\partial \mathbf{x}_{\nu-1}} \mathbf{f}_{\nu-1} \right) \neq 0 \end{aligned}$$

لذا طبق قضیه‌یتابع ضمنی، حل معادله‌ی ضمنی (۷) برای \mathbf{x}_ν دارای جواب است. البته استفاده از این معادله، تنها در صورتی که مشتق‌گیری تحلیلی امکان‌پذیر باشد، مناسب است. می‌توان با روش‌های عددی نیز، مشتقات را تقریب زد ولی به جای این کار، اگر از معادله‌ی گسسته‌سازی شده استفاده کنیم، راحت‌تر است. در ادامه روابط برای شکل گسسته‌سازی شده، آورده شده است.

به راحتی می‌توان نشان داد که معادله‌ی دیفرانسیلی- جبری هزبیرگ با ایندکس ν ، پس از گسسته‌سازی به کمک یکی از روش‌های صریح، به صورت زیر قابل نمایش است:

$$\begin{aligned} \mathbf{0} &= \tilde{\mathbf{f}}_0(\mathbf{x}_1^n, t_n) \\ \mathbf{x}_1^{n+1} &= \tilde{\mathbf{f}}_1(\mathbf{x}_1^n, \mathbf{x}_2^n, t_n) \\ &\vdots \\ \mathbf{x}_{\nu-1}^{n+1} &= \tilde{\mathbf{f}}_{\nu-1}(\mathbf{x}_1^n, \mathbf{x}_2^n, \dots, \mathbf{x}_{\nu-1}^n, t_n) \end{aligned} \quad (8)$$

که در آن $\mathbf{x}_i^n = \mathbf{x}_i(t_n)$ معادله‌ی $\mathbf{0} = \tilde{\mathbf{f}}_0(\mathbf{x}_1^{n+\nu-1}, t_{n+\nu-1})$ را می‌توان به صورت ترکیبی از توابع تنها بر اساس مقادیر x_i^n (مقادیر فعلی حالت) نوشت. در ادامه برای سادگی، معادلات را برای سیستم هزبیرگ به شکل (۸) با $\nu = 3$ به دست می‌آوریم. ولی تعمیم آن به ایندکس‌های بالاتر، ساده است. داریم:

$$\begin{aligned} \mathbf{0} &= \tilde{\mathbf{f}}_0(\mathbf{x}_1^{n+\nu-1}, t_{n+\nu-1}) \\ &= \tilde{\mathbf{f}}_0(\mathbf{x}_1^{n+2}, t_{n+2}) \\ &= \tilde{\mathbf{f}}_0(\tilde{\mathbf{f}}_1(x_1^{n+1}, x_2^{n+1}, t_{n+1}), t_{n+2}) \\ &= \tilde{\mathbf{f}}_0(\tilde{\mathbf{f}}_1(\tilde{\mathbf{f}}_1(x_1^n, x_2^n, t_n), \\ &\quad \tilde{\mathbf{f}}_2(x_1^n, x_2^n, x_3^n, t_n), t_{n+1}), t_{n+2}) \\ &\triangleq \mathbf{e}_{n+2} \end{aligned}$$

در هر لحظه، مقادیر \mathbf{x}_1^n و \mathbf{x}_2^n در اختیار هستند و لذا در معادله‌ی به دست آمده، تنها \mathbf{x}_1^n نامعلوم است. از طرفی معادله‌ی به دست آمده برای \mathbf{x}_1^n دارای جواب است زیرا برای آن داریم:

$$\det \frac{\partial \mathbf{e}_{n+2}}{\partial \mathbf{x}_3^n} = \det \frac{\partial \tilde{\mathbf{f}}_0}{\partial \mathbf{x}_1^n} \frac{\partial \tilde{\mathbf{f}}_1}{\partial \mathbf{x}_2^n} \frac{\partial \tilde{\mathbf{f}}_2}{\partial \mathbf{x}_3^n} \neq 0 \quad (9)$$

با هر ایندکسی را داراست. همچنین بسته‌های نرم‌افزاری مختلفی نیز در زمینه حل عددی معادلات دیفرانسیلی موجود هستند که کتابخانه‌هایی برای حل عددی معادلات دیفرانسیلی- جبری دارند. از آن جمله GAMD و RADAU، DASSAL/LAPACK به زبان فورترن پیاده‌سازی شده‌اند. از بین آنها DASSAL/LAPACK مخصوص حل معادلات دیفرانسیلی- جبری ایندکس بک است ولی دو مورد دیگر عمومی هستند.

مثال‌هایی که در این بخش ارائه شده‌اند همگی ایندکس بالاتر از یک دارند و لذا نمی‌توانیم از MATLAB برای مقایسه‌ی پاسخ‌ها استفاده کنیم. در مثال اول و دوم پاسخ دقیق سیستم در اختیار است و لذا برای آنها پاسخ روش عددی با پاسخ دقیق سیستم مقایسه شده است. در مثال دوم از نرم‌افزار APMonitor نیز برای مقایسه‌ی پاسخ استفاده شده است. برای مثال آخر نیز هیچ یک از نرم‌افزارها، پاسخ همگرا تولید نکردن و لی با استفاده از بسته‌های نرم‌افزاری پاسخ آنها محاسبه شد. میزان خطای دوری از قیدها نیز به عنوان یکی از معیار بررسی پاسخ ارائه شده است.

مثال ۱: سیستم خطی ایندکس ۲- زیر را در نظر بگیرید [16]:

$$\begin{cases} \dot{\mathbf{x}} = \mathbf{Ax} + \mathbf{Bz} + \mathbf{g}(t) & 0 \leq t \leq 10, \\ \mathbf{0} = \mathbf{Cx} + r(t), \end{cases}$$

که در آن

$$\mathbf{A} = \begin{bmatrix} -1 & 1 \\ 0 & 0 \end{bmatrix}, \quad \mathbf{B} = \begin{bmatrix} 0 \\ 1+2t \end{bmatrix}, \quad \mathbf{C}^T = \begin{bmatrix} 1 \\ 1 \end{bmatrix},$$

$$\mathbf{g}(t) = \begin{bmatrix} -\sin(t) \\ 0 \end{bmatrix}, \quad r(t) = -e^{-t} - \sin(t)$$

با شرایط اولیه $x_1(0) = 0$ و $x_2(0) = 0$. جواب دقیق این

معادله به صورت زیر است:

$$x_1(t) = e^{-t}, \quad x_2(t) = \sin(t), \quad z(t) = \frac{\cos(t)}{1+2t}.$$

استفاده از روش ارائه شده، این مسئله حل شده است. معادله سطح

لغزش را به صورت زیر تعریف می‌کنیم:

$$\begin{aligned} e &= \mathbf{Cx} + r \Rightarrow s = \left(\frac{d}{dt} + \lambda \right) e \\ &= \mathbf{C}\dot{\mathbf{x}} + \dot{r} + \lambda \mathbf{Cx} + \lambda r \\ &= \mathbf{CAx} + \mathbf{CBz} + \mathbf{Cg} + \dot{r} + \lambda \mathbf{Cx} + \lambda r \end{aligned}$$

و در نتیجه

$$\begin{aligned} z &= -(\mathbf{CB})^{-1} \\ &= (\mathbf{CAx} + \mathbf{Cg} + \dot{r} + \lambda \mathbf{Cx} + \lambda r) \end{aligned}$$

پاسخ این مسئله با استفاده از پیاده‌سازی روش ارائه شده در نرم‌افزار MATLAB به دست آورده شد. برای این مسئله طول گام حل را برابر $h = 10^{-2}$ و ضریب همگرایی $\lambda = (200h(\nu-1))^{-1} = 0.5$ در نظر گرفتیم. پاسخ دقیق و پاسخ عددی در شکل ۱ رسم شده است. برای نمایش بهتر، از هر ۲۰ نقطه تنها یک نقطه رسم شده است.

همگرایی مورد نیاز باشد. روند نزول خطای فاصله از منحنی قید، در حالت پیوسته به صورت زیر است:

$$\mathbf{e}(t) \approx \mathbf{e}_0 t^{\nu-1} e^{\lambda t} \quad (13)$$

در صورتی که بخواهیم پس از N گام، خطای زیر مقدار مطلوب بررسد، باید داشته باشیم:

$$\begin{aligned} \mathbf{e}_0 (Nh)^{\nu-1} e^{-\lambda(Nh)} &\leq \text{tol} \\ \Rightarrow \lambda &\geq \max_i \left\{ \frac{1}{Nh} \ln \frac{e_{i0} (Nh)^{\nu-1}}{\text{tol}_i} \right\} \end{aligned} \quad (14)$$

البته معمولاً کاربران چنین نیازهایی ندارند و این اطلاعات را نیز وارد نمی‌کنند. برای به دست آوردن یک مقدار پیش‌فرض برای λ ، می‌توان گفت همگرایی پس از ده تا صد گام، انتخاب مناسبی است. همچنین اگر زمان تقریبی نشست را $(4\lambda(\nu-1))^{-1}$ در نظر بگیریم بازه‌ی تقریبی زیر برای λ به دست می‌آید:

$$\frac{1}{400h(\nu-1)} < \lambda < \frac{1}{40h(\nu-1)} \quad (15)$$

در حل‌های ارائه شده در بخش پنجم، مقدار $\lambda = \frac{1}{200h(\nu-1)}$ در نظر گرفته شده است. در روش‌های گام متغیر نیز باید از h_{\max} . در معادلات بالا استفاده شود. به همین ترتیب می‌توان a را در حالت گسته به دست آورد. داریم:

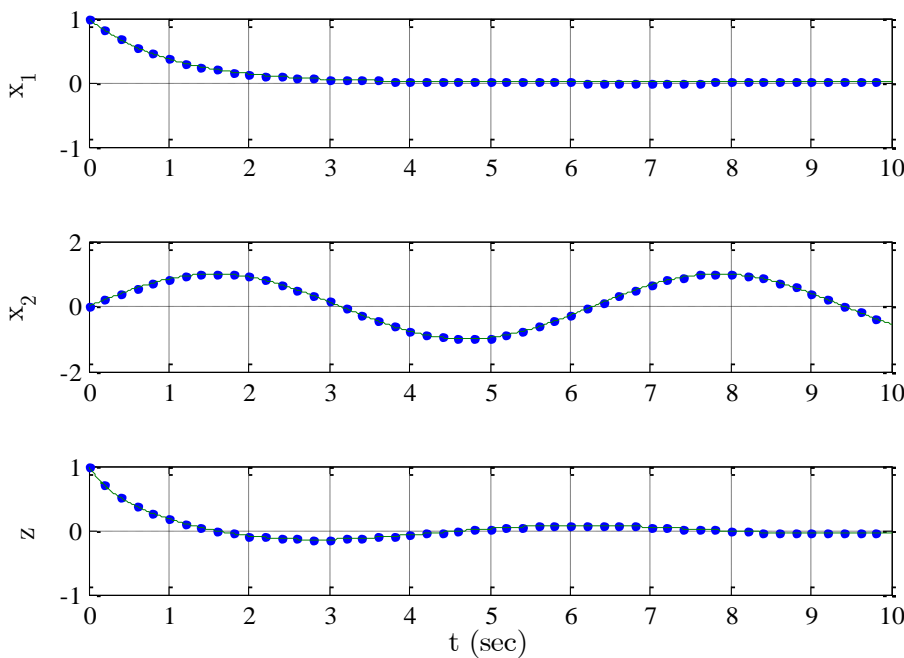
$$e(n) \approx \mathbf{e}_0 n^{\nu-1} a^n \quad (16)$$

و لذا با فرضیات قبلی نتیجه می‌شود:

$$\mathbf{e}_0 N^{\nu-1} a^N \leq \text{tol} \Rightarrow a \leq \min_i \left\{ \sqrt[N]{\frac{\text{tol}_i}{\mathbf{e}_{0i} N^{\nu-1}}} \right\} \quad (17)$$

۵- حل مسائل نمونه با استفاده از روش ارائه شده

نرم‌افزارهای مختلفی برای حل عددی معادلات دیفرانسیلی- جبری ارائه شده‌اند. در نرم‌افزار MATLAB با استفاده از تابع `ode15s` امکان حل معادلات دیفرانسیلی- جبری به شکل $\mathbf{M}(t, \mathbf{x})\dot{\mathbf{x}} = \mathbf{f}(t, \mathbf{x})$ تکین باشد، سیستم $\mathbf{M}(t, \mathbf{x})$ ایندکس ۱- است. در صورتی که ماتریس $\mathbf{M}(t, \mathbf{x})$ دیفرانسیلی- جبری خواهد بود. اما این تابع تنها قادر به حل مسائل ایندکس یک است و برای ایندکس‌های بالاتر قابل استفاده نیست [۱۶]. در نرم‌افزار Wolfram Mathematica می‌توان از تابع `NDSolve` برای حل معادلات دیفرانسیلی- جبری کمک گرفت و لی برای معادلات با ایندکس بالاتر از یک تضمین همگرایی وجود ندارد [۱۵]. دیگر نرم‌افزار `APMonitor` است که توانایی حل معادلات دیفرانسیلی- جبری



شکل ۱: پاسخ دقیق (منحنی پیوسته) و پاسخ عددی با استفاده از روش ارائه شده (نقطه‌چین)

$$T(\dot{x}, \dot{y}) = \frac{1}{2}m(\dot{x}^2 + \dot{y}^2) \quad (19)$$

عبارت $\dot{x}^2 + \dot{y}^2$ سرعت آونگ را مشخص می‌کند. همان‌طور که می‌دانیم جرم m آزادانه نمی‌تواند در هر نقطه‌ی دلخواه (x, y) باشد بلکه می‌تواند تنها روی دایره‌ای به شعاع l قرار گیرد. لذا طبق معادله دایره، قیدی به صورت زیر روی حالت‌های x و y خواهیم داشت:

$$0 = g(x, y) = x^2 + y^2 - l^2 \quad (20)$$

با استفاده از (۱۸) تا (۲۰) تابع لاگرانژی را تشکیل می‌دهیم:

$$L(q, \dot{q}) = T(\dot{x}, \dot{y}) - U(x, y) - \lambda g(x, y) \quad (21)$$

که در آن $\mathbf{q} = [x, y, \lambda]^T$ تعریف شده است. معادلات حرکت حال می‌توانند با استفاده از معادله‌ی اویلر به دست آیند:

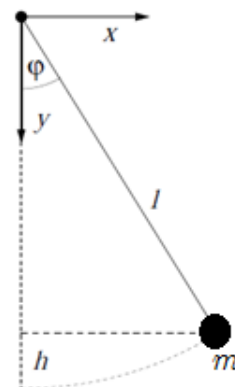
$$\frac{d}{dt} \left(\frac{\partial L}{\partial \dot{q}_k} \right) - \frac{\partial L}{\partial q_k} = 0, \quad k = 1, 2, 3. \quad (22)$$

که به رابطه‌ی زیر می‌رسیم:

$$\begin{aligned} m\ddot{x} + 2\lambda x &= 0, \\ m\ddot{y} - mg + 2\lambda y &= 0, \\ g(x, y) &= 0. \end{aligned} \quad (23)$$

با تعریف بردار $\mathbf{x} = [x, y, \dot{x}, \dot{y}, \lambda]^T$ معادلات را به صورت مرتبه‌ی اول می‌نویسیم:

مثال ۲: آونگ نشان داده شده در شکل ۲ را در نظر می‌گیریم [۱۷]. فرض شده است جرم m به یک میله به طول l متصل است.



شکل ۲- آونگ

برای به دست آوردن معادلات آونگ در فضای کارتزین، انرژی پتانسیل را برای آن می‌نویسیم:

$$U(x, y) = mgh = mgl - mg y \quad (18)$$

که در آن $(x(t), y(t))$ مکان جرم m در لحظه‌ی t است. شتاب گرانش با g و ارتفاع آونگ با h نشان داده شده است. انرژی جنبشی نیز به صورت زیر به دست می‌آید:

جنبشی نیز به صورت زیر به دست می‌آید:

$$m=1\text{kg}, \quad l=1\text{m}, \quad g=9.81 \text{ m/s}^2$$

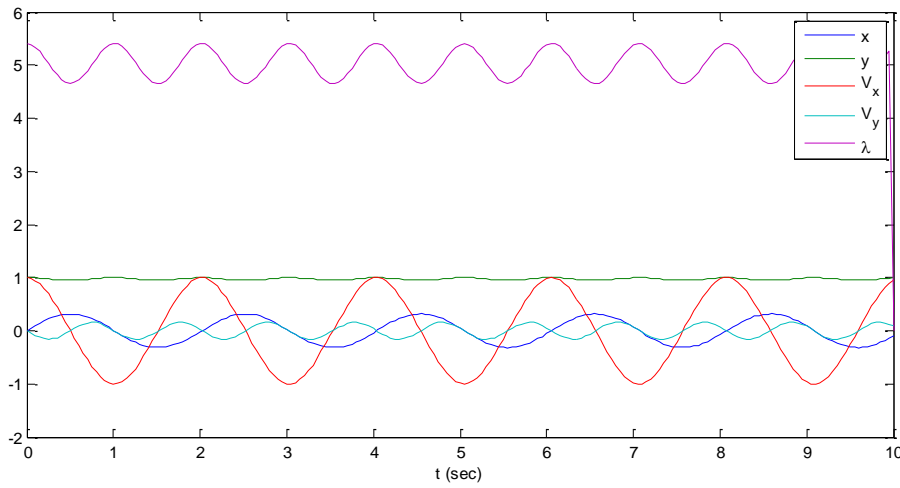
همچنین فرض می‌کنیم آونگ از حالت عمودی، با سرعت اولیه یک متر بر ثانیه پرتاب شود. لذا شرایط اولیه به صورت زیر به دست می‌آید:

$$x_0=0, \quad y_0=l, \quad \dot{x}_0=1, \quad \dot{y}_0=0$$

در شکل زیر حل آن با استفاده از روش ردیاب خمینه‌ی قید آورده شده است:

$$\begin{aligned}\dot{x}_1 &= x_3 \\ \dot{x}_2 &= x_4 \\ \dot{x}_3 &= -\frac{2}{m} x_1 x_5 \\ \dot{x}_4 &= g - \frac{2}{m} x_2 x_5 \\ 0 &= x_1^2 + x_2^2 - l^2\end{aligned}\tag{۲۴}$$

قابل ذکر است که سیستم (۲۴) به شکل هزینبرگ ایندکس سه است. برای شبیه‌سازی و حل عددی، پارامترها به صورت زیر در نظر گرفته شده است:

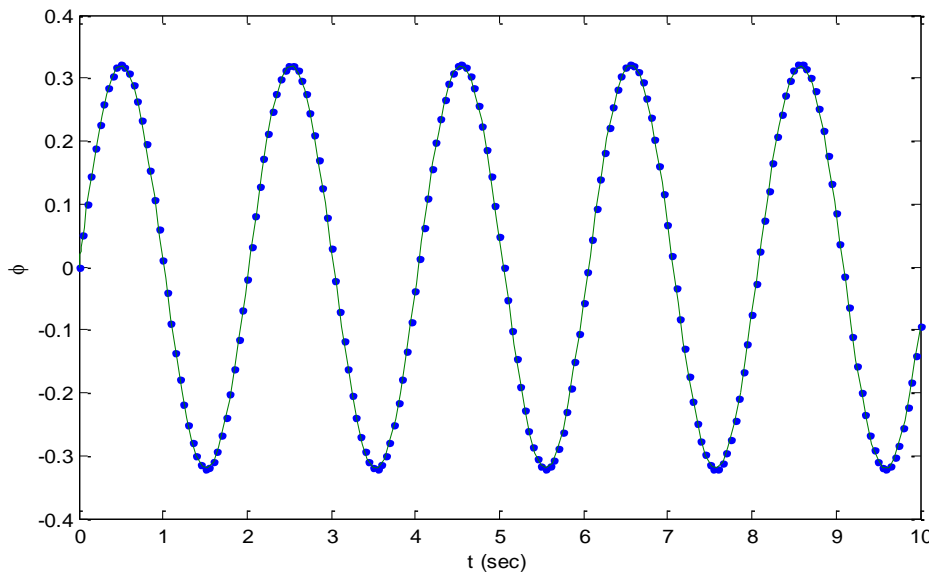


شکل ۳: حل عددی معادله‌ی آونگ با استفاده از روش ردیاب خمینه‌ی قید

$$\phi = \text{atan} 2(x, y)$$

در شکل ۴ حل معادله‌ی دیفرانسیلی- جبری با روش ردیاب خمینه‌ی قید و حل معادله‌ی دیفرانسیلی معمولی آونگ رسم شده‌اند:

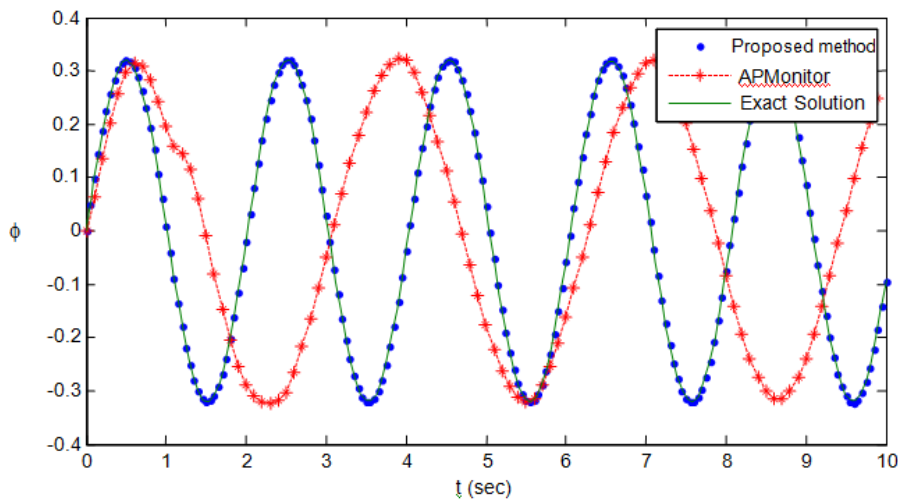
برای بررسی درستی و دقت پاسخ، آن را با حل حاصل از مدل دیفرانسیلی معمولی آن مقایسه می‌کنیم. آونگ را می‌توان به صورت معادله‌ی دیفرانسیلی معمولی نیز مدل کرد. از روی پاسخ معادله‌ی دیفرانسیلی- جبری، می‌توان مقدار زاویه‌ی آونگ را محاسبه کرد:



شکل ۴: منحنی پیوسته از حل معادله‌ی دیفرانسیلی معمولی و نقاط از حل معادله‌ی دیفرانسیلی- جبری با استفاده از روش ارائه شده به دست آمده‌اند.

در بین نرم‌افزارهای ارائه شده تنها APMonitor قادر به حل معادله‌ی دیفرانسیلی- جبری ایندکس سه است. در شکل ۵ نتیجه‌ی شبیه‌سازی آونگ با نرم‌افزار APMonitor آورده شده است:

مقایسه با نرم‌افزارهای دیگر



شکل ۵: حل دقیق معادله‌ی آونگ (نمودار پیوسته) در کنار حل عددی آن به وسیله‌ی روش ارائه شده در این مقاله (نقاط توپر) و حل با استفاده از نرم‌افزار (ستاره‌ها) APMonitor

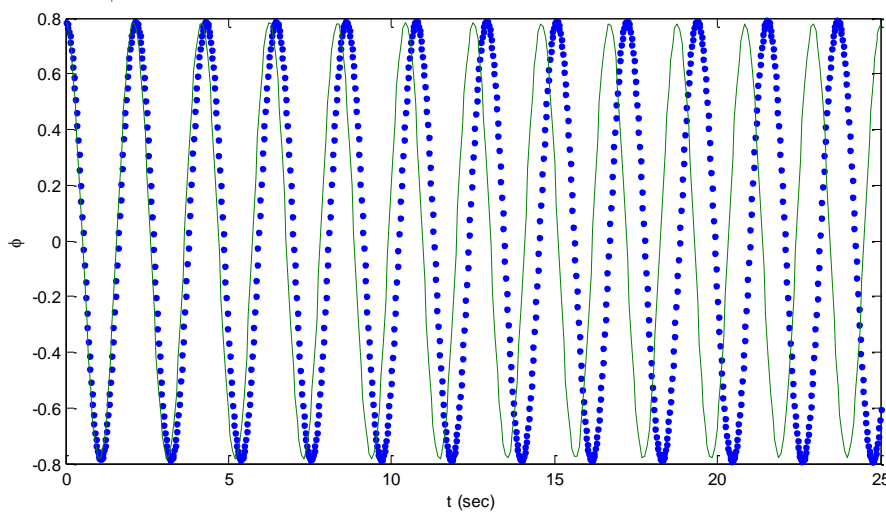
فرض می‌کیم آونگ در زاویه‌ی ۴۵ درجه و بدون سرعت اولیه رها شود.
شرط اولیه‌ی ناسازگار را به صورت زیر در نظر می‌گیریم:

$$x_0 = 0.75, y_0 = 0.75, \dot{x}_0 = 0, \dot{y}_0 = 0$$

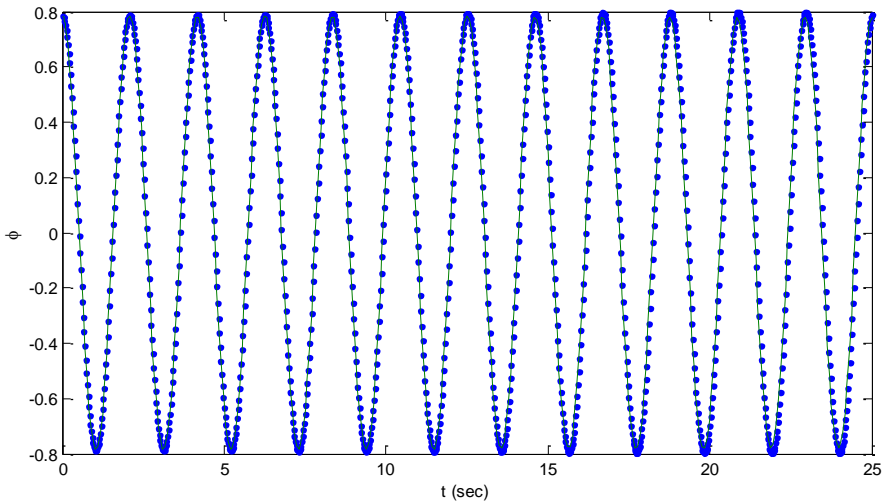
همچنین برای نمایش بهتر، مدت زمان شبیه‌سازی طولانی‌تر شده است. شکل ۶، پاسخ روش، بدون استفاده از کنترل خیمنه‌ی قید است که از حل معادله‌ی دیفرانسیلی که به کمک مشتق‌گیری از معادله‌ی دیفرانسیلی- جبری به دست آمده، رسم شده است.

همان‌طور که در شکل ۵ دیده می‌شود، علاوه بر وجود اختلالاتی در زمان یک تا دو ثانیه، پاسخ عددی APMonitor به تدریج از پاسخ اصلی فاصله گرفته و نمی‌تواند قید را ارضاء نماید.

یکی از ویژگی‌های مهم روش ارائه شده، مقاوم بودن آن در مقابل شرایط اولیه‌ی ناسازگار است. برای بررسی این موضوع، در مثال قبل شرایط اولیه را در جهت عمود بر خمینه‌ی قید، دچار اختلال می‌کنیم.



شکل ۶: حل معادله‌ی دیفرانسیلی- جبری آونگ با شرایط اولیه‌ی ناسازگار بدون استفاده از روش ارائه شده



شکل ۷: حل معادله دیفرانسیلی- جبری آونگرگ با شرایط اولیه ناسازگار با استفاده از روش ارائه شده

$$f(t, p, \lambda) = \begin{cases} (L_0 - L_l) \frac{x_l}{L_l} + \lambda_l x_b + 2\lambda_2 (x_l - x_r) \\ (L_0 - L_l) \frac{y_l}{L_l} + \lambda_l y_b + 2\lambda_2 (y_l - y_r) - \varepsilon^2 \frac{M}{2} \\ (L_0 - L_r) \frac{x_r - x_b}{L_r} - 2\lambda_2 (x_l - x_r) \\ (L_0 - L_r) \frac{y_r - y_b}{L_r} - 2\lambda_2 (y_l - y_r) - \varepsilon^2 \frac{M}{2} \end{cases} \quad (26)$$

همچنین داریم:

$$\begin{aligned} p &= [x_l, y_l, x_r, y_r], \\ L_l &= \sqrt{x_l^2 + y_l^2}, \\ L_r &= \sqrt{(x_r - x_b)^2 + (y_r - y_b)^2} \end{aligned}$$

تابع $\phi: \mathbb{R}^5 \rightarrow \mathbb{R}^2$ به صورت زیر است:

$$\phi(t, p) = \begin{pmatrix} x_l x_b + y_l y_b \\ (x_l - x_r)^2 + (y_l - y_r)^2 - L^2 \end{pmatrix}. \quad (27)$$

x_b و y_b نیز ورودی‌های تحریک سیستم هستند. این سیستم دارای ایندکس سه و به شکل هزینگرگ است. شکل معرفی شده (۲۵) یک شکل عمومی است که معمولاً در سیستم‌های چند جسمی به وجود می‌آید.

تابع تحریک سیستم را به صورت زیر در نظر می‌گیریم:

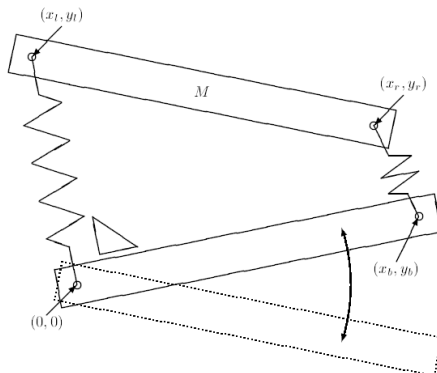
$$\begin{aligned} x_b(t) &= \sqrt{L^2 - y_b^2(t)}, \\ y_b(t) &= h \sin(\omega t). \end{aligned} \quad (28)$$

مقادیر ثابت نیز در زیر آورده شده‌اند:

$$\begin{aligned} L &= 1 & \varepsilon &= 10^{-2} & h &= 10^{-1} \\ L_0 &= 1/2 & M &= 10 & \tau &= \pi/5 \\ \omega &= 10 \end{aligned}$$

همان‌طور که دیده می‌شود، در شبیه‌سازی‌های طولانی نیز، روش ارائه شده، به صورت مناسبی روی خیمنه‌ی قید باقی می‌ماند.

مثال ۳: مسئله‌ی محور ماشین [18]- در شکل ۸ مدل آن آورده شده است:



شکل ۸: مدل محور ماشین

شکل ۸ دو کارت را نشان می‌دهد که با دو فن در انتهای به یکدیگر متصل هستند. نقطه‌ای که با $(0, 0)$ نشان داده شده است ثابت است و کارت پایینی می‌تواند حول آن بچرخد. نقطه‌ای (x_b, y_b) نیز به صورت کنترل شده حرکتی نوسانی دارد. وضعیت نقاط (x_l, y_l) و (x_r, y_r) خروجی مطلوب سیستم هستند. از آوردن نحوی محاسبه‌ی معادلات سیستم خودداری می‌شود و تنها معادله‌ی نهایی آورده شده است. مسئله به فرم زیر به دست می‌آید:

$$\begin{aligned} \dot{p} &= q, \\ K\ddot{q} &= f(t, p, \lambda), \\ 0 &= \phi(t, p), \end{aligned} \quad (25)$$

که در آن $0 \leq t \leq 3$ ، $\lambda \in \mathbb{R}^2$ ، $p, q \in \mathbb{R}^4$ و تابع $f: \mathbb{R}^7 \rightarrow \mathbb{R}^4$ به صورت زیر است:

$$\begin{aligned}
 e_2(t) &= (x_l - x_r)^2 + (y_l - y_r)^2 - L^2 \\
 &= (p_1 - p_3)^2 + (p_2 - p_4)^2 - L^2 \\
 \dot{e}_2(t) &= 2(p_1 - p_3)(q_1 - q_3) \\
 &\quad + 2(p_2 - p_4)(q_2 - q_4) \\
 \ddot{e}_2(t) &= 2(q_1 - q_3)^2 + 2(q_2 - q_4)^2 \\
 \text{lذا با تشکیل} &\quad (p_1 - p_3)(A_1\lambda + B_1 - A_3\lambda - B_3) + \\
 &\quad (p_2 - p_4)(A_2\lambda + B_2 - A_4\lambda - B_4) \\
 &= \left(\begin{array}{l} (p_1 - p_3)(A_1 - A_3) \\ (p_2 - p_4)(A_2 - A_4) \end{array} \right) \lambda + \\
 &\quad (p_1 - p_3)(B_1 - B_3) + \\
 &\quad (p_2 - p_4)(B_2 - B_4) + \\
 &\quad 2(q_1 - q_3)^2 + 2(q_2 - q_4)^2 \\
 \text{معادله‌ی سطح لغزش خواهیم داشت:}
 \end{aligned}$$

$$\frac{d}{dt}(\lambda)^2 = \ddot{e}(t) + \alpha_1 \dot{e}(t) + \alpha_0 e(t) = 0.$$

و در نتیجه:

$$\begin{aligned}
 0 &= \left(\begin{array}{l} A_1 x_b + A_2 y_b \\ (p_1 - p_3)(A_1 - A_3) \\ + (p_2 - p_4)(A_2 - A_4) \end{array} \right) \lambda \\
 &+ \left(\begin{array}{l} B_1 x_b + B_2 y_b + 2q_1 \dot{x}_b \\ + 2q_2 \dot{y}_b + p_1 \ddot{x}_b + p_2 \ddot{y}_b \\ (p_1 - p_3)(B_1 - B_3) \\ + (p_2 - p_4)(B_2 - B_4) \\ 2(q_1 - q_3)^2 + 2(q_2 - q_4)^2 \end{array} \right) \\
 &+ \alpha_1 \left(\begin{array}{l} q_1 x_b + p_1 \dot{x}_b + q_2 y_b + p_2 \dot{y}_b \\ 2(p_1 - p_3)(q_1 - q_3) \\ 2(p_2 - p_4)(q_2 - q_4) \end{array} \right) \\
 &+ \alpha_0 \left(\begin{array}{l} x_l x_b + y_l y_b \\ (p_1 - p_3)^2 + (p_2 - p_4)^2 - L^2 \end{array} \right)
 \end{aligned}$$

که به راحتی در هر لحظه، برای λ قابل حل است.

حل این سیستم بسیار دشوار است و اغلب نرم‌افزارهای موجود نتوانسته‌اند آن را حل کنند [۱۸]. اما این سیستم به کمک روش ارائه شده در این مقاله حل شده است. در شکل زیر نمودار (x_l, y_l) و (x_r, y_r) به عنوان خروجی‌های این سیستم رسم شده است:

شرایط اولیه‌ی سازگار هم به صورت زیر داده شده است:

$$\begin{aligned}
 p_0 &= \begin{pmatrix} 0 \\ 1/2 \\ 1 \\ 1/2 \end{pmatrix}, q_0 = \begin{pmatrix} -1/2 \\ 0 \\ -1/2 \\ 0 \end{pmatrix}, \\
 \dot{q}_0 &= \frac{2}{M\varepsilon^2} f(0, p_0, \lambda_0), \\
 \dot{p}_0 &= q_0, \lambda_0 = \dot{\lambda}_0 = \begin{pmatrix} 0 \\ 0 \end{pmatrix}.
 \end{aligned}$$

قبل از شروع تابع f را به صورت زیر تعریف می‌کنیم:

$$\frac{1}{K} f(t, p, \lambda) = A(t, p)\lambda + B(t, p)$$

که در آن داریم:

$$A(t, p) = \frac{2}{M\varepsilon^2} \begin{bmatrix} x_b & 2(x_l - x_r) \\ y_b & 2(y_l - y_r) \\ 0 & -2(x_l - x_r) \\ 0 & -2(y_l - y_r) \end{bmatrix},$$

$$B(t, p) = \frac{2}{M\varepsilon^2} \begin{bmatrix} (L_0 - L_l) \frac{x_l}{L_l} \\ (L_0 - L_l) \frac{y_l}{L_l} - \varepsilon^2 \frac{M}{2} \\ (L_0 - L_r) \frac{x_r - x_b}{L_r} \\ (L_0 - L_r) \frac{y_r - y_b}{L_r} - \varepsilon^2 \frac{M}{2} \end{bmatrix}$$

همچنین در ادامه منظور از A_i یا B_i سطر i ام این ماتریس‌ها هستند.

برای قید نخست (عمود بودن فتر سمت چپ) داریم:

$$e_1(t) = x_l x_b + y_l y_b = p_1 x_b + p_2 y_b$$

$$\dot{e}_1(t) = q_1 x_b + p_1 \dot{x}_b + q_2 y_b + p_2 \dot{y}_b$$

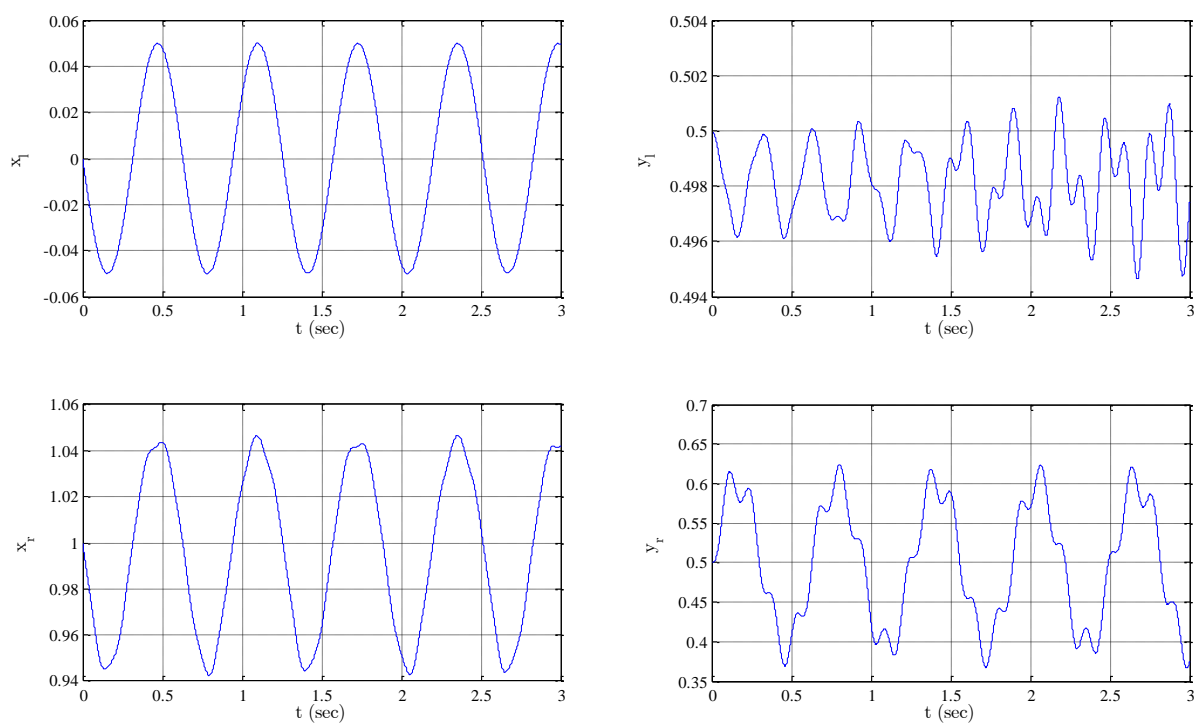
$$\ddot{e}_1(t) = \dot{q}_1 x_b + q_1 \dot{x}_b + q_1 \dot{x}_b + p_1 \ddot{x}_b$$

$$+ \dot{q}_2 y_b + q_2 \dot{y}_b + q_2 \dot{y}_b + p_2 \ddot{y}_b$$

$$= (A_1 x_b + A_2 y_b) \lambda + B_1 x_b + B_2 y_b$$

$$+ 2q_1 \dot{x}_b + 2q_2 \dot{y}_b + p_1 \ddot{x}_b + p_2 \ddot{y}_b$$

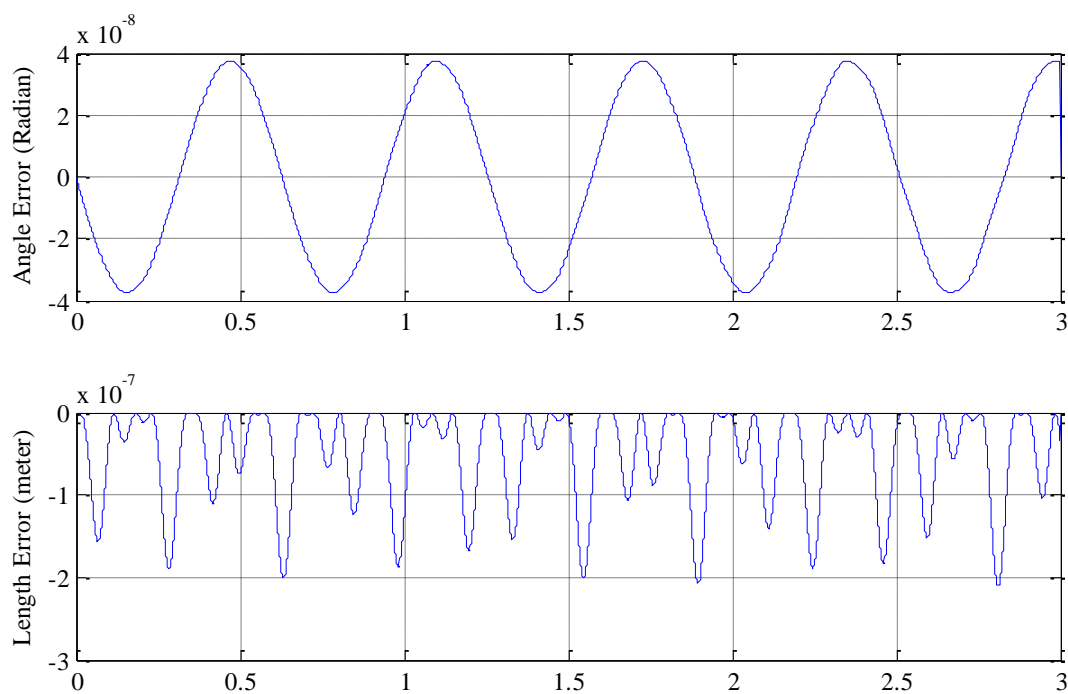
برای قید دوم (ثابت بودن طول کارت بالایی) داریم:



شکل ۹- حل سیستم محور ماشین

نقطه‌ی (x_l, y_l) از نقطه‌ی (x_r, y_r) باید برابر طول کارت بالایی یعنی یک متر باشد. در شکل ۱۰ خطای این قیدها در حین شبیه‌سازی رسم شده است.

برای بررسی درستی در شکل زیر وضعیت قیدهای سیستم تیز رسم شده است. سیستم دارای دو قید است. فنر سمت چپ عمود بر کارت پایینی نصب شده است لذا در حین شبیه‌سازی همواره زاویه‌ی بردار (x_b, y_b) با بردار (x_l, y_l) باید برابر 90° درجه باشد. همچنین فاصله‌ی



شکل ۱۰- خطای فاصله از قیدها در شبیه‌سازی سیستم محور ماشین

فراخوانی تابع حالت در این روش، پنج برابر تعداد گام‌ها است که ممکن است در اثر ناموفق بودن طول گام انتخاب شده تکرار شود. در حالت کلی توانایی در دستیابی به دقت مورد نظر کاربر، در کنار سرعت حل، می‌توانند معیارهای کارایی روش حل باشند. همان‌طور که پیش‌تر بیان شد بسیاری از روش‌ها قادر به حل معادلات ایندکس بالا نیستند ولی هر سه بسته نرم‌افزاری ارائه شده در جدول ۲ موفق به حل این مسئله شده‌اند. اما بررسی آن‌ها از نظر سرعت حل، تابعی از پارامترهای مختلف است که به دست آوردن یک معیار سراسرترا برای مقایسه را دشوار می‌کند. حل معادله حالت، ریشه‌یابی تابع ضمنی یا محاسبه‌ی ماتریس ژاکوبین می‌توانند منابع اصلی هزینه محاسباتی و زمانی در مسائل مختلف باشند. لذا در نتیجه‌گیری عام‌تر، بسته به نوع مسئله روش‌های ارائه شده در جدول ۲ می‌توانند بر یکدیگر ارجحیت داشته باشند.

- نتیجه‌گیری

در این مقاله روشی برای حل معادلات دیفرانسیلی- جبری شکل هزینبرگ ارائه شد. ایده‌ی اصلی این روش براساس روش‌های حل معادلات دیفرانسیلی معمولی همراه با قید است. برای محاسبه و تضمین همگرایی پاسخ، یک سطح لغزشی پایدار تعريف شد و نشان داده شد که تشکیل سطح لغزشی متناسب با ایندکس سیستم، برای معادلاتی که به شکل هزینبرگ نوشته شده باشند، یک معادله‌ی پایدار برای محاسبه‌ی متغیر جبری در اختیار قرار می‌دهد. سپس برای مسائلی که امکان محاسبه‌ی مشتق تحلیلی امکان‌پذیر نیست، روش حل اصلاح شد و با گسته‌سازی مستقیم معادله‌ی دیفرانسیلی، بدون نیاز به محاسبه‌ی مشتقات تحلیلی، مسئله حل شد. از این روش می‌توان برای حل معادلات هزینبرگ با ایندکس دلخواه استفاده نمود. در انتها حل عددی مثال‌های خطی و غیرخطی براساس این روش به دست آورده شد.

مراجع

- [1] C. W. Gear and L. R. Petzold, "ODE methods for the solution of differential/algebraic systems," *SIAM Journal on Numerical Analysis*, vol. 21, no. 4, pp. 716–728, 1984.
- [2] K. E. Brenan, S. L. Campbell, and L. R. Petzold, *Numerical solution of initial-value problems in differential-algebraic equations*. Elsevier Science Publishing, 1989.
- [3] U. M. Ascher and L. R. Petzold, *Computer methods for ordinary differential equations and differential-algebraic equations*. 1997.
- [4] U. M. Ascher and L. R. Petzold, "Projected implicit Runge-Kutta methods for differential-

همان‌طور که در شکل دیده می‌شود خطای زاویه از مرتبه 10^{-8} رادیان و خطای طول از مرتبه 10^{-7} متر است و نشان می‌دهد به شکل مناسبی قیود در حل عددی معادله‌ی دیفرانسیلی- جبری ارضاء شده‌اند. مقادیر مرجع پاسخ در انتهای بازه‌ی انگرال‌گیری ($t = 3\text{sec}$) به صورت زیر داده شده‌اند [۱۹]:

جدول ۱- پاسخ مرجع در پایان بازه‌ی انگرال‌گیری

$x_l = 0.493455784275402809122 \times 10^{-1}$
$y_l = 0.496989460230171153861$
$x_r = 0.104174252488542151681 \times 10$
$y_r = 0.373911027265361256927$
$\dot{x}_l = -0.770583684040972357970 \times 10^{-1}$
$\dot{y}_l = 0.7446866587237785533466 \times 10^{-2}$
$\dot{x}_r = 0.17556815753723222276 \times 10^{-1}$
$\dot{y}_r = 0.770341043779251976443$
$\lambda_1 = -0.473688659084893324729 \times 10^{-2}$
$\lambda_2 = -0.110468033125734368808 \times 10^{-2}$

در جدول ۲ وضعیت جواب حاصل از روش ارائه شده و نیز پاسخ بسته‌های GAMD و RADAU آورده شده است.

جدول ۲- مشخصات اجرا

روش پیشنهادی	GAMD	RADAU	روش حل
10^{-7}	10^{-7}	10^{-7}	خطای نسبی
10^{-7}	10^{-7}	10^{-7}	خطای مطلق
10^{-7}	10^{-7}	10^{-7}	طول گام اولیه در نظر گرفته شده
1905	7167	2559	دفعات فراخوانی معادله حالت سیستم
335	98	289	تعداد گام‌ها

از آن‌جا که پیاده‌سازی این دو نرم‌افزار به زبان فرترن بوده است به صورت کلی از پیاده‌سازی روش ارائه شده در این پروژه که به زبان MATLAB بوده است، سریع‌تر است. لذا برای مقایسه‌ی بهتر، تعداد دفعات فراخوانی تابع f (معادله‌ی حالت سیستم) و تعداد گام‌ها به عنوان معیارهای کارایی روش در نظر گرفته شده است. قابل ذکر است که در هر سه مورد، طول گام حل طوری تنظیم شده است که به دقت نسبی و مطلق 10^{-7} دست یابیم. همان‌طور که دیده می‌شود روش جدید به تعداد گام‌های بیشتری برای حل نیاز داشته است ولی تعداد دفعات فراخوانی معادله‌ی حالت سیستم (که همان تابع f است) کمتر است. در این پیاده‌سازی از رانگ-کوتای گام متغیر مراتب چهار و پنج برای انگرال‌گیری ODE داخلی استفاده شده است. تعداد دفعات ایده‌آل

-
- [11] R. Riaza, “Double SIB points in differential-algebraic systems,” *IEEE Transaction on automatic control*, vol. 48, no. 9, pp. 1625–1629, 2003.
- [12] P. Kunkel and V. Mehrmann, *Differential-algebraic equations analysis and numerical solution*. European Mathematical Society, 2006.
- [13] P. Wijckmans, “Conditioning of differential algebraic equations and numerical solution pf multibody dynamics,” 1996.
- [14] “Solve stiff differential equations and DAEs; variable order method - MATLAB,” 2012. [Online]. Available: <http://www.mathworks.com/help/matlab/ref/ode15s.html>.
- [15] “Numerical Solution of Differential-Algebraic Equations,” 2012. [Online]. Available: <http://reference.wolfram.com/mathematica/tutorial/NDsolveIntroductoryTutorialDAEs.html>.
- [16] F. Soltanian, S. M. Karbassi, and M. M. Hosseini, “Application of He’s variational iteration method for solution of differential-algebraic equations,” *Chaos, Solitons Fractals*, vol. 41, pp. 436–445, 2009.
- [17] S. Schulz, “Four lectures on differential-algebraic equations,” 2003.
- [18] “Test set for IVP solvers.” [Online]. Available: <http://www.dm.uniba.it/~testset/problems/caraxis.php>.
- [19] F. Mazzia and C. Magherini, “Test set for initial value problem solvers, release 2.4,” 2008.
- [5] E. Çelik and M. Bayram, “On the numerical solution of differential-algebraic equations by Padé series,” *Applied Mathematics and Computation*, vol. 137, pp. 151–160, 2003.
- [6] M. M. Hosseini, “Adomian decomposition method for solution of differential algebraic equations,” *Journal of Computational and Applied Mathematics*, vol. 197, pp. 495–501, 2006.
- [7] F. Soltanian, M. Dehghan, and S. M. Karbassi, “Solution of the differential algebraic equations via homotopy perturbation method and their engineering applications,” *International Journal of Computer Mathematics*, vol. 87, no. 9, pp. 1950–1974, Jul. 2010.
- [8] S. Karimi Vanani and A. Aminataei, “Numerical solution of differential algebraic equations using a multiquadric approximation scheme,” *Mathematical and Computer Modelling*, vol. 53, pp. 659–666, Mar. 2011.
- [9] H. Pasic, “An algorithm for a numerical solution of differential-algebraic equations,” in *Proceedings of the 36th IEEE Conference on Decision & Control*, pp. 4912–4917.
- [10] M. A. El-Khatib and H. S. Hussien, “An optimization method for solving some differential algebraic equations,” *Communications in Nonlinear Science and Numerical Simulation*, vol. 14, pp. 1970–1977, May 2009.

روشی جدید برای استحصال توان بهینه از توربین های بادی: مدل زمانی - مکانی برای مزرعه بادی با استراتژی نروفازی

سید وهاب شجاع الدینی^۱، آرمین پارسیان نژاد^۲، مجتبی فرزانه^۳

^۱ استادیار مهندسی برق، پژوهشکده برق و کامپیوتر، سازمان پژوهش های علمی و صنعتی ایران

^۲ دانشجوی کارشناسی ارشد مهندسی مکانیک- تبدیل انرژی، دانشگاه حکیم سبزواری

^۳ دانشجوی کارشناسی ارشد الکترونیک، دانشگاه حکیم سبزواری

(تاریخ دریافت مقاله ۱۳۹۱/۸/۲۰، تاریخ پذیرش مقاله ۱۳۹۱/۹/۲۰)

چکیده: در این مقاله روشی جدید برای حصول بهینه برق از توربین های مزارع برق بادی ارایه می شود. در روش پیشنهادی با استفاده از تلفیق سایقه زمانی پارامترهای باد با اطلاعات مکانی آن، مدلی مبتنی بر استنتاج فازی برای مزرعه بادی تشکیل شده و به روز می شود. با استفاده از مدل فوق، می توان پارامترهای باد دریافت شده توسط هر توربین در مزرعه بادی را به دست آورد. برای ارزیابی عملکرد روش پیشنهادی، دو نوع متدالو از شرایط وزشی باد با تغییرات کند و تند شیوه اسازی می شود. نتایج حاکی از آن هستند که روش پیشنهادی می تواند در حالت وزش باد با تغییرات کند خطای تخمین باد و میزان یکنواختی برق حاصله را به ترتیب $5/3$ درصد و $52/0$ ولت نسبت به روش های موجود بهبود بخشد. این بهبودها در شرایط وزش باد تند به ترتیب $17/1$ درصد و $12/7$ ولت به دست می آیند. بر این اساس ملاحظه می شود که مدل پیشنهادی این مقاله خصوصاً در شرایط وزش بادهای با توربولانس بالا می تواند پارامترهای تنظیم دقیق تری برای توربین ها به دست آورده و در نتیجه برق یکنواخت تری را به شبکه تزریق نماید.

کلمات کلیدی: مزرعه برق بادی، تخمین، توان بهینه، مدلسازی فازی، آنتروپی.

A Novel Method for Optimum Electrical Energy Harvesting from Wind Turbines: A Space-Time Model for Wind Farm by Neuro-Fuzzy Strategy

Seyed Vahab Shojaedini, Armin Parsian'nejad, Mojtaba Farzaneh

Abstract - In this paper, a novel method is introduced for optimum energy harvest from wind farms. In the proposed method, wind farm is modeled by fuzzy-logic and the model is updated using a combination of wind parameters history and wind's spatial information. Utilizing this model, the parameters for the wind blowing through each turbine in the wind farm is estimated. To evaluate the performance of the proposed method two practical wind types are simulated. In the first scenario, the wind maintains low turbulence and its parameters change slowly while in the second scenario the wind demonstrates high turbulences and its parameters undergo sudden shifts. Simulation results for the proposed method are obtained in both scenarios. For the first scenario, the comparison reveals that the proposed method improves the accuracy of wind speed estimation and the monotonousness of the obtained electrical voltage by 5.3% and 0.52 volts respectively compared to existing methods. These improvements reach 17.1% and 12.7 volts in the presence of high turbulence winds in the second scenario. Based on these corroborating simulations, it is concluded that the proposed method provides a more accurate estimate of wind parameters for the wind blowing through the wind farm.

Keywords: Wind Farm, Estimation of Wind Parameters, Optimum Electrical Energy, Fuzzy Modeling, Entropy.

-۱- مقدمه

در دسته ای از روش ها، از فیلترینگ کالمن به منظور تخمين سرعت و جهت وزش باد دریافتي توربین ها استفاده می شود. در اين روش ها ابتدا دادگان مربوط به سرعت و جهت وزش باد دریافتي توسط هر توربین در مجموعه ای از لحظات متولي جمع آوري شده و سپس به عنوان ورودي يك فیلتر کالمن استفاده می شود. فیلتر مزبور سرعت و جهت وزش باد دریافتي توسط توربین ها در لحظات آتی پيش بیني می نماید [۱۵]. محدوديت اصلی اين دسته از روش ها آن است که به دليل غیرخطي و غير گوسی بودن نحوه تغييرات وزش باد، عمدتاً فیلتر کالمن در بسياري از لحظات نمي تواند پيش بیني دقيقی از سرعت و جهت باد دریافتي هر توربین ارياه دهد و بدین ترتيب اهداف سه گانه ای که پيشتر ذکر شدند، در اين روش ها به شكل مطلوبی حاصل نمي شوند [۱۶].

در برخی از تحقیقات از روش هایی مانند داده کاوی و شبکه های عصی مصنوعی نيز به منظور تخمين پارامترهای مزبور استفاده شده است که با محدودیت هایی نظیر حجم بالای دادگان آموزشی، حساسیت شدید به ساختار شبکه عصی و همچنین مشکلات همگرایی روپرتو بوده اند [۱۷]. علاوه بر محدودیت هایی که به طور جداگانه برای هر دسته از روش های تخمين پارامترهای باد دریافتي توسط هر توربین بر شمرديم، باید توجه داشت که در اين روش ها تخمين پارامترهای باد دریافتي توسط يك توربین، فقط بر اساس سابقه زمانی اندازه گيري هست. همچنان که مذکور شد، معمولاً مطالعه های مولده برق با خطا در این روش های تخمین زننده بود. همچنان که در اين روش های تخمین پارامترهای مولده برق، باعث می شوند که عملاً پارامترهای ژنراتورهای مولده برق در هر لحظه نسبت به سرعت و جهت وزش باد همان لحظه دارای خطای قابل توجهی باشند. اين خطا خصوصاً در شرایط وزش بادهای با توربولانس بالا که در آنها پارامترهای باد تغييرات پيشتري دارند، شدیداً افزایش می یابد. بدین ترتيب تحقیقات متعددی نشان داده اند که در بسياري از موارد استفاده از روش های تخمين پارامترهای باد مبنی بر سابقه زمانی اندازه گيري ها، پارامترهای بهينه را برای ژنراتورهای مولده برق را به دست نداده و لذا در حصول سه هدفي که در ابتدا ذکر شدند، دارای محدودیت هستند [۱۸].

در اين مقاله يك روش جدید به منظور تخمين پارامترهای باد دریافتي توسط هر توربین و تهيئه بهينه توربین بر اساس اين پارامترها در مزارع توليد برق بادي ارائه می شود که بر تلفيق رشته مشاهدات زمانی با اندازه گيري مکاني سرعت و جهت باد استوار است. در روش پيشنهادی برای كل مزرعه يك مدل مبنی بر متنقق فازی تشکيل داده می شود. در اين مدل علاوه بر سرعت و جهت باد دریافتي توسط توربین ها در لحظات متولي، سرعت و جهت باد دریافتي توسط حسگرهایی که در اطراف مزرعه و قبل از توربین ها به موازات مسیر آنها قرار داده شده اند، نيز دخالت داده می شوند. برای تشکيل مدل فوق از خوش بندی توربین

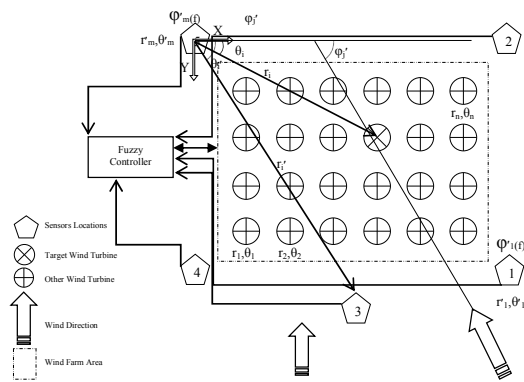
در دو دهه اخیر، توجه کشورهای صنعتی و در چند سال گذشته، کشورهای توسعه یافته به انرژی های نو پيش از پيش از مرکز شده است [۱]. يكی از منابع انرژی در طبیعت، باد است که انرژی نهفته در آن، حدوداً ۱۵ برابر کل انرژی فسیلی موجود در دنيا است [۲]. امروزه برای دریافت انرژی باد و تبدیل آن به برق، از مزارع بزرگ شامل توربین های بادی متعدد استفاده می شود [۳]. يكی از ویژگی های مهم اين شبيه از توليد برق، وابستگی شدید آن به سرعت و جهت وزش باد به عنوان عامل توليد انرژی می باشد [۴].

توربین های بادی بخاطر رفتار هیجانی باد (شامل تغیير مدام سرعت و جهت وزش باد و وجود کريبدوهای بادی مختلف در يك مزرعه بادی)، ولتاژ ثابتی را در طی مدت عملکرد خود به دست نمي دهن. اين مشکل زمانی تشدید می شود که باد و زشی به مزرعه از نوع باد با توربولانس بالا باشد. در چنین شرایطی نیروگاه های بادی كيفيت شبکه توزيع را دچار افت کرده و مشکلات متعددی برای واحدهای ديسپچينگ بوجود می آورند [۵-۶].

داشتن يك تخمين درست از سرعت و جهت وزش باد برای توربین های مزرعه بادی اولاً باعث می شود که پارامترهای ژنراتورهای مولده برق چنان متناسب با سرعت و جهت وزش باد تنظيم شوند که همواره برق يکنواختی را به شبکه مصرف تزوييق نمایند [۷]. ثانیاً باعث استحصال برق با خداگذشت توان ممکن از باد و زيده شده می گردد [۸-۹] و ثالثاً با اصلاح زاويه آنروديناميکي پره ها و زاويه ناسل باعث ايجاد كمترین تنش مکانیکي بر روی ناسل، برج، جعبه دنده و پره ها شده و بدین ترتيب باعث افزایش عمر مفید توربین می گردد [۱۰-۱۱]. در سالیان اخير برای داشتن چنین تخمین نتاسي تحقیقات بسياري انجام و روش های مختلفی ارایه شده اند.

روش های پيش بیني باد و زشی با استفاده از اجرای تکنيک های مختلف آماری از قبيل حداقل سازی ميانگين مذجور خطا بر روی دادگان مربوط به سرعت و جهت وزش باد در بازه های زمانی طولاني تلاش می کنند تا تخمیني از اين پارامترها را برای هر لحظه از زمان ارایه دهن. متساقنه به دليل آن که پارامترهای باد را معمولاً نمي توان در بازه زمانی بزرگ يکنواخت فرض نمود، روش های مزبور در عمل تواناني پيش بیني دقيق پارامترهای فوق را از خود نشان نداده اند [۱۲]. در گونه پيشرفتري از روش ها، از برازش مدل های تصادفي مانند فیلتر ميان گير خود بازگشتي بر روی دادگان سرعت و جهت وزش باد دریافتي توسط هر توربین استفاده می شود [۱۳]. علاوه بر تعين درجه فیلتر که يكی از مسائل چالش برانگيز در اين روش ها می باشد، ماهيت غير ايستان پارامترهای باد عامل ديگري است که باعث عدم حصول فیلتر مناسب برای مدل سازی سرعت و جهت وزش باد دریافتي توسط هر توربین می گردد [۱۴].

که اعضای $(t')_j \omega_j$ سرعت و جهت باد اندازه گیری شده توسط حسگر جانبی j در زمان t' هستند.



شکل ۱: جانمایی توربین ها و حسگرهای مزرعه بادی

میزان انرژی بادی که در هر مقطع زمانی به یک توربین می رسد تابعی است از جهت و سرعت باد رسیده به آن توربین در مقطع مزبور. با در نظر گرفتن (t) به عنوان اختلاف سمت توربین i ام و جهت و وزش باد دریافتی توسط هر یک از حسگرهای مکانی پیشگفته و $\Delta v_{ij}'(t)$ به عنوان اختلاف سرعت آنها، بردار L بعدی $f_i(t)$ برای این توربین به صورت رابطه (۴) تعریف می گردد:

$$f_i(t) = [r_i, \Delta\phi_{i1}'(t) \dots \Delta\phi_{ij}'(t) \dots \Delta\phi_{iM}'(t), \Delta v_{i1}'(t) \dots \Delta v_{ij}'(t) \dots \Delta v_{iM}'(t)] \quad (4)$$

$$i = 1, 2, \dots, N, \quad j = 1, 2, \dots, M, \quad 0 \leq t \leq T_0$$

بدین ترتیب در مقطع زمانی t یک فضای برداری $F(t)$ به صورت رابطه (۵) خواهیم داشت:

$$F(t) = \{f_1(t), f_2(t), \dots, f_k(t), \dots, f_N(t) \mid f_k(t) \in R^L\} \quad (5)$$

با توجه به امکان تغییر پارامترهای باد در فواصل زمانی مختلف، فضای برداری $F(t)$ این بازه های زمانی، به خوش هایی افزای می شود که ویژگی های باد دریافتی توربین های هر خوش شیوه به هم بوده و با سایر خوش ها دارای پیشنه تفاوت باشند. بر این اساس در یک مقطع زمانی مانند t ، توربین ها براساس ویژگی های موثر در دریافت آنها که فضای $F(t)$ را تشکیل می دهند با منطق فازی خوش بندی می شوند. اگر خوش ها را مجموعه های فازی در نظر بگیریم، تابع آنتروپی $E(t)$ را می توان برای کل مزرعه بادی به فرم رابطه (۶) تعریف فازی $E(t)$ کرد. این تابع عدم قطعیت در این موضوع که آیا توربین k که با بردار $f_k(t)$ در فضای $F(t)$ معروفی می شود، به یک خوش خاص تعلق دارد یا خیر را بیان کرده و می تواند مقادیری بین صفر تا $\frac{1}{N}$ را اختیار کند [۱۹].

های مزرعه با استفاده از تابع آنتروپی فازی استفاده می شود که علاوه بر روز شدن در بازه های زمانی متولی، با تغییرات پارامترهای باد نیز سازگاری بیشتری داشته باشد. بدین ترتیب تخمینی که این مدل برای هر توربین به دست می دهد، علاوه بر ساقیه زمانی مشاهدات توربین مزبور، بر سرعت و جهت بادی که به زودی به آن خواهد رسید نیز متکی می باشد. بر اساس چنین تلفیق فازی از ویژگی های زمانی - مکانی باد و زیده شده می توان پارامترهای تنظیم دقیق تری برای هر توربین نسبت به روش های موجود خصوصاً در شرایط وزش بادهای با توربولانس بالا که پارامترهای باد وضعیت متغیرتری دارند، به دست آوردند. بدین ترتیب ولتاژ خروجی با استفاده از تخمینی از توربین بادی به دست می آید که نسبت به باد و زیده شده به آن دارای تطبیق بیشتری هستند. بدین ترتیب خروجی های واقعی کاملاً متأثر از این پیش بینی بوده و برق با کیفیت تری از مزرعه بادی به دست می آید.

ساختمار مقاله به صورت زیر است. در بخش ۲، اصول ریاضی و روش تشکیل مدل زمانی - مکانی مزرعه بادی مبتنی بر منطق فازی به منظور تخمین پارامترهای باد و زیده شده به توربین ها شرح داده می شود. در بخش ۳، عملکرد روش پیشنهادی این مقاله آزموده می شود. برای این کار شبیه سازی در شرایط مختلف وزش باد انجام شده و نتایج عملکرد روش پیشنهادی در تخمین پارامترهای باد رسیده به هر توربین و کیفیت برق استحصالی از آن به دست می آید. در بخش ۴ نتایج به دست آمده از شبیه سازی ها مورد بررسی قرار گرفته و کارایی روش پیشنهادی با کارایی روش های موجود از جهات مختلف مقایسه می شود. بخش پایانی مقاله نیز به نتیجه گیری اختصاص دارد.

۲- روش پیشنهادی

فرض کنید که مطابق آنچه در شکل (۱) نشان داده شده است، در مزرعه بادی N توربین بادی هم سطح، فعال هستند که موقعیت های آنها در مخصوصات قطعی با رابطه (۱) توصیف می گردد:

$$X_i = [r_i, \theta_i]^T, \quad i = 1, 2, \dots, N \quad (1)$$

در رابطه فوق X_i نشان دهنده بردار موقعیت توربین i می باشد. مطابق همین شکل تعداد M حسگر مکانی نیز در موقعیت های بیان شده با رابطه (۲) مستقر هستند.

$$X'_i = [r'_i, \theta'_i]^T, \quad i = 1, 2, \dots, M \quad (2)$$

این حسگرهای در هر لحظه یک بردار اندازه گیری $(t')_j \omega_j$ را به صورت رابطه (۳) به دست می دهند.

$$\omega_j(t') = [v_j(t'), \phi_j(t')]^T \quad (3)$$

$$j = 1, 2, \dots, M, \quad 0 \leq t' \leq t$$

$$\sigma_{\mu_q}^l(t) = \frac{1}{N} \sum_{k=1}^N p_{qk} (f_k^l(t) - \mu_q^l(t))^2 \quad (11)$$

که در آن $\mu_q^l(t)$ عبارتست از l امین عضو بردار میانگین خوشه q در مقطع زمانی t و $1 < l < L$ که:

$$L = \text{length}(f_k(t)) , k = 1, 2, \dots, N \quad (12)$$

همچنین پارامتر $\sigma_F(t)$ و رایانس فضای $F(t)$ بوده و به صورت رابطه (۱۳) به دست می آید:

$$\|\sigma_F(t)\| = (\sigma_F^T(t) \cdot \sigma_F(t))^{1/2} \quad (13)$$

اکنون برای فضای برداری $F(t)$ که به خوشه های $1 < q < Q(t)$ افزار شده است، تابع فاصله را به صورت حاصل می کیم:

$$D(Q(t)) = \frac{D_{\max}(t)}{D_{\min}(t)} \sum_{q=1}^{Q(t)} \left(\sum_{q'=1}^{Q(t)} \|\mu_q(t) - \mu_{q'}(t)\| \right)^{-1} \quad (14)$$

که (۱۴) با (۱۵) به دست می آید:

$$D_{\max}(t) = \max(\|\mu_q(t) - \mu_{q'}(t)\|)$$

$$D_{\min}(t) = \min(\|\mu_q(t) - \mu_{q'}(t)\|) \quad (15)$$

$$\forall q, q' \in \{1, 2, 3, \dots, Q(t)\}$$

برای تشکیل یا حفظ بهترین خوشه های توربینی در هر مقطع زمانی به گونه ای که دارای بیشینه فشردگی^۱ در هر خوشه و بیشینه جدایی^۲ بین خوشه ها باشد، از ترکیب دو معیار معروفی شده در روابط (۱۰) و (۱۶) استفاده شده و تابع تصمیم ($\Lambda(Q(t))$) مطابق رابطه (۱۶) به دست می آید:

$$\Lambda(Q(t)) = \beta \cdot S(Q(t)) + D(Q(t)) \quad (16)$$

در رابطه فوق β ضریب تنظیمی است که می تواند وزن هر یک معیارهای فشردگی و جدایی را در تابع تصمیم مشخص نماید. بر این اساس ($\Lambda(Q(t))$ مطابق رابطه (۱۷) مشخص می شود:

$$\xi(t) = [\Lambda(Q_{\min}(t)), \dots, \Lambda(Q'(t)), \dots, \Lambda(Q_{\max}(t))] \quad (17)$$

$$Q(t) = Q'(t) | \Lambda(Q'(t)) = \min(\xi(t))$$

بنابر محاسبات فوق، توربین های مزرعه بادی در مقطع زمانی t خوشه فازی افزار می شوند که به صورت مجموعه ($Q(t)$) نشان داده می شوند:

$$E(t) = \sum_{q=1}^{Q(t)} \sum_{k=1}^N p_{qk}(t) \cdot \log p_{qk}(t) \quad (18)$$

در رابطه فوق ($Q(t)$ تعداد خوشه های مزرعه بادی در مقطع زمانی t است و امکان تعلق هر عضو فضای $F(t)$ به خوشه ها نیز به صورت $p_{qk}(t)$ نشان داده شده که مطابق رابطه (۷) عضوی از ماتریس احتمال تعلق $P(t)$ است:

$$P(t) = \begin{bmatrix} p_{11}(t) & p_{12}(t) & \dots & p_{1k}(t) & \dots & p_{1N}(t) \\ p_{21}(t) & p_{22}(t) & \dots & p_{2k}(t) & \dots & p_{2N}(t) \\ \vdots & & & & & \\ p_{q1}(t) & p_{q2}(t) & \dots & p_{qk}(t) & \dots & p_{qN}(t) \\ \vdots & & & & & \\ p_{Q(t)1}(t) & p_{Q(t)2}(t) & \dots & p_{Q(t)k}(t) & \dots & p_{Q(t)N}(t) \end{bmatrix} \quad (19)$$

که (۱۹) $1 < q < Q(t)$ و $1 < k < N$ هستند. اکنون تابع هدف فازی مبتنی بر ترکیب فاصله یابی و آنتروپی فازی به فرم رابطه (۲۰) تعریف می شود:

$$G(P(t), \mu(t), F(t)) = \sum_{q=1}^{Q(t)} \sum_{k=1}^N p_{qk}(t) \cdot \|f_k(t) - \mu_q(t)\|^2 + N \cdot \sum_{q=1}^{Q(t)} \sum_{k=1}^N p_{qk}(t) \cdot \log p_{qk}(t) \quad (20)$$

که ($\mu_q(t)$ مرکز خوشه q و $\mu(t)$ بردار شامل مراکز خوشه ها در مقطع زمانی t هستند. جمله اول رابطه فوق، میانگین فواصل وزنده فازی بوده و جمله دوم نیز ضریب N از تابع آنتروپی فازی ($E(t)$) است.

با می نیم کردن تابع هدف تعیین شده برای این روش خواهیم داشت [۲۰]:

$$p_{qk}(t) = \left(\sum_{q'=1}^{Q(t)} \left[\frac{e^{\|f_k(t) - \mu_{q'}(t)\|}}{e^{\|f_k(t) - \mu_{q'}(t)\|}} \right]^{1/Q(t)} \right)^{-1} \quad (21)$$

اکنون می توان متوسط پراکندگی خوشه ها را به صورت رابطه (۲۱) بیان نمود:

$$S(Q(t)) = \frac{\sum_{q=1}^{Q(t)} \|\sigma_{\mu_q}(t)\|}{Q(t) \|\sigma_F(t)\|} \quad (22)$$

که در رابطه اخیر، اعضای $\sigma_{\mu_q}(t)$ مطابق رابطه (۱۱) به دست می آیند:

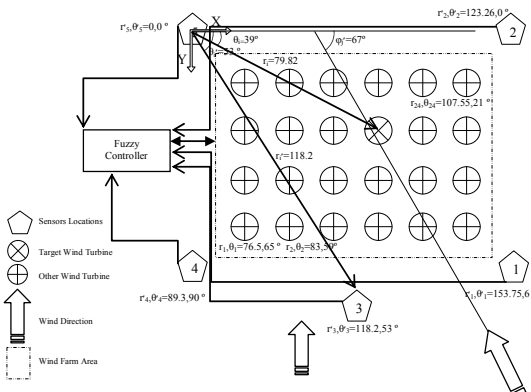
¹Compactness

²Separation

پارامترهای O_1 با استفاده از روش کمینه مربعات خطأ و پارامترهای O_2
نیز توسط روش تندترین شب تخمین زده می شوند.

۳-آزمون

به منظور آزمودن کارایی روش پیشنهادی، شبیه سازی برای یک مزرعه بادی شامل ۲۴ عدد توربین (N) انجام پذیرفت. در این شبیه سازی جانمایی حسگرهای مزرعه را با فواصل و ترتیب مساوی حسگرها در نظر گرفتیم (کلی ترین حالت ممکن) که با این توپولوژی تعدادی مختلفی از سنسورهای متساوی الفاصله آزموده شدن که عدد ۵ (۵) به عنوان تعداد بهینه حاصل و اعمال شد. جانمایی مزرعه بادی به همراه حسگرها و توربین های شبیه سازی شده در شکل (۳) نشان داده شده است. در ادامه، سناریوهای مختلفی از وزش باد تولید گردیدند. شبیه سازی این سناریوها به کمک نرم افزار استاندارد Wind-Pro انجام شد که در سیاری از تحقیقات متبر مریوط به توربین های بادی به نتایج این نرم افزار استناد گردیده است [۲۴]. برای تطبیق شبیه سازی ها با آنچه در عمل رخ می دهد، دادگان در دو سناریوی مختلف تولید گردیدند. اوپلین سناریو، به شرایطی متعلق داشت که سرعت باد در ای تغییرات کمتری است (باد نجیب با سرعت بین ۳ تا ۲۵ متر بر ثانیه و توربولانس پایین٪/۲۰) و نوع دوم آزمون ها به شرایطی می پرداخت که سرعت باد در آن دارای تغییرات شدیدی محاسبه می شود (باد مغثتش با سرعت بین ۰ تا ۴۰ متر بر ثانیه و توربولانس بالای٪/۷۰). جدول (۱) مشخصات توربین ها و ژنراتورها را در فرآیند آزمون این تحقیق نشان می دهد.



شکل ۳: ساختار مکانی مزرعه بادی در شبیه سازی ها

پس از شبیه سازی مزرعه بادی در سناریوهای فوق، روش پیشنهادی این مقاله با استفاده از بسته نرم افزاری Matlab2009 پیاده سازی و آزموده شد. به منظور ارزیابی بهتر روش پیشنهادی این مقاله، یکی از روش های جدید که بر اساس کنترل توربین بادی برای حصول بیشترین انرژی برپایه شبکه های عصبی [۲۵] عمل می کند نیز پیاده سازی شد.

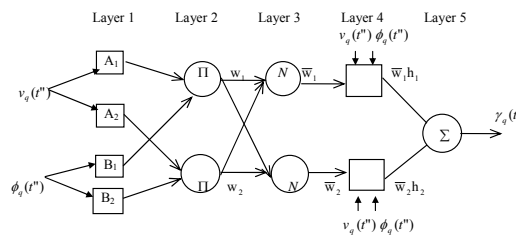
$$C(t) = \{c_1(t), c_2(t), \dots, c_q(t), \dots, c_{Q(t)}(t)\} \quad (18)$$

که $c_q(t)$ عبارتست از q امین خوش توربینی دارای $I_q(t)$ توربین عضو آن که در این مقطع زمانی حاصل شده است. اعضای این افزار از $F(t)$ با رابطه (۱۹) نشان داده می شوند:

$$\begin{aligned} F'_q(t) &= \{f'_{q1}(t), \dots, f'_{qi}(t), \dots, f'_{qL}(t)\} \\ f'_{qi}(t) &= f_k(t) \in F(t) \mid f_k(t) \in c_q(t) \end{aligned} \quad (19)$$

اکنون می توان مدل نروفازی مربوط به $C_q(t)$ را به ترتیبی که در ادامه می آید، به گونه ای به روز نمود تا بهترین تخمین از زاویه ناسل $\gamma_q(t)$ (عمود بر جهت تخمین زده شده برای باد) به دست آید. بر اساس مدل تاکاگی - سوگنو [۲۱] که در شکل (۲) نشان داده شده است، با داشتن رشته مشاهدات سرعت و جهت باد در زمانهای متوالی t'' قوانین حاکم بر ساختار فرق عبارتند از:

$$\begin{aligned} \text{If } v_q(t'') \text{ is } A_1 \text{ and } \phi_q(t'') \text{ is } B_1 \Rightarrow h_1 &= \lambda_1 x + \psi_1 y + \tau_1 \\ \text{If } v_q(t'') \text{ is } A_2 \text{ and } \phi_q(t'') \text{ is } B_2 \Rightarrow h_2 &= \lambda_2 x + \psi_2 y + \tau_2 \end{aligned} \quad (20)$$



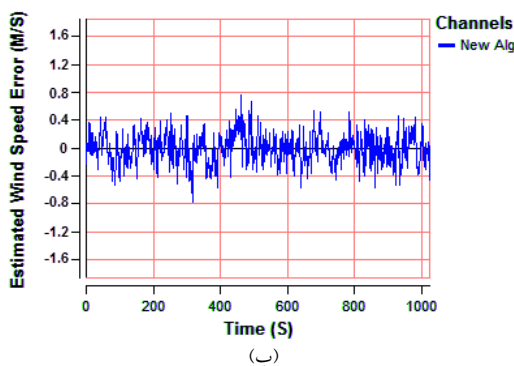
شکل ۲: مدل نروفازی هر خوش از مزرعه بادی

که A_1, A_2, B_1 و B_2 قواعد فازی حاکم بر مدل فازی فوق هستند. ژانگ نشان داد [۲۲] که در ساختار نروفازی فوق می توان با به دست آوردن خروجی هر لایه و ارایه آن به لایه مابعد، خروجی نهایی را برای لحظه آتی t از روی رشته مشاهدات لحظات متوالی t'' به فرم رابطه (۲۱) حاصل نمود:

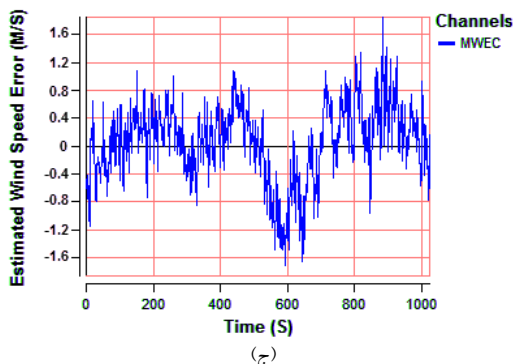
$$\begin{aligned} \gamma_q(t) &= \bar{w}_1 v_q(t'') \lambda_1 + \bar{w}_1 \phi_q(t'') \psi_1 + \bar{w}_1 \tau_1 + \\ &\quad \bar{w}_2 v_q(t'') \lambda_2 + \bar{w}_2 \phi_q(t'') \psi_2 + \bar{w}_2 \tau_2 \end{aligned} \quad (21)$$

در رابطه اخیر، پارامترهای نروفازی به دو دسته پیش فرض و پارامترهای مربوط به توابع عضویت فازی تقسیم می شوند که دسته اول شامل $(\lambda_1, \lambda_2, \psi_1, \psi_2, \tau_1, \tau_2)$ بوده و ماهیت خطی دارند و دسته دوم (\bar{w}_1, \bar{w}_2) پارامترهای فازی بوده و دارای ماهیت غیرخطی هستند. برای تخمین این پارامترها مطابق الگوریتم یادگیری هایبریدی ارایه شده توسط سان و همکارانش [۲۳]

^۳. Maximum Wind Energy Capture



(ب)

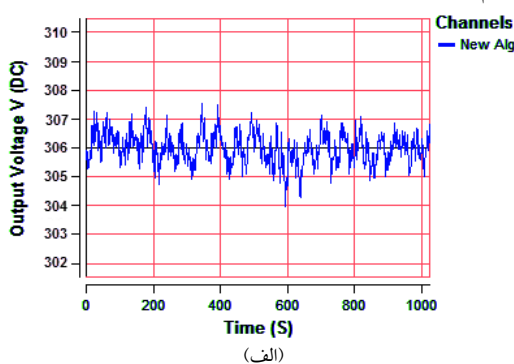


(ج)

شکل ۴: نتایج یکی از شبیه‌سازی‌های سناریوی اول:

الف-باد شبیه‌سازی شده، ب-خطای تخمین روش پیشنهادی و ج-خطای تخمین روش MWEC

در شکل (۵-الف) ولتاژ به دست آمده با اعمال روش پیشنهادی و منتظر با آن در (۵-ب)، همین خروجی در شرایط اعمال MWEC در سناریوی اول ملاحظه می‌شوند. اگر بیشینه ترانس برق استحصالی در هر روش را به عنوان نمایه ای از میزان یکنواختی برق تولید شده از آن روش در نظر بگیریم، اندازه این پارامتر برای خروجی روش پیشنهادی (شکل ۵-الف) برابر با 204~V ولت و برای خروجی روش MWEC (شکل ۵-ب) برابر با 22~V ولت به دست آمده اند که حاکی از آن است که روش پیشنهادی این مقاله ولتاژ یکنواخت تری را از مزرعه بادی استحصال می‌نماید. این بهبود با نتیجه‌ای که در مجموعه شکل‌های (۴) از تخمین بهتر پارامترهای باد توسط روش پیشنهادی دیدیم، توجیه پذیر می‌باشد.



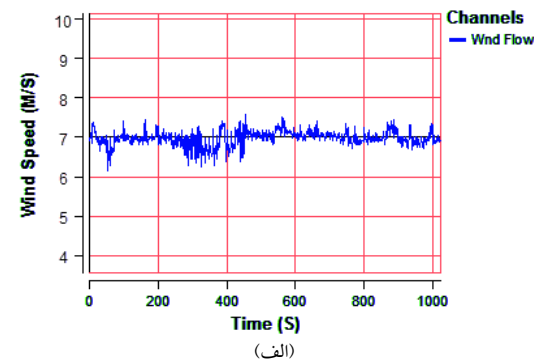
(الف)

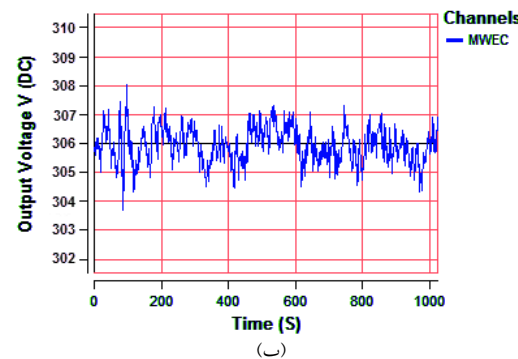
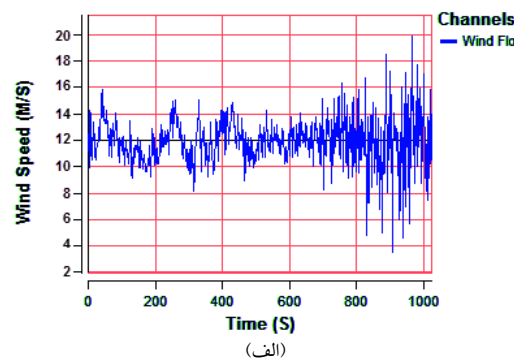
در ادامه این مقاله روش فوق را به اختصار MWEC می‌نامیم. در تمام آزمون‌های این مقاله، روش فوق به موازات روش پیشنهادی بر روی نتایج شبیه‌سازی Wind-Pro آزمایش شد. سرانجام نتایج هر دو روش با سناریوی اصلی شبیه‌سازی مقایسه و شاخص‌های عملکرد هر یک حاصل گردید.

جدول ۱: مشخصات شبیه‌سازی شامل مشخصات مزرعه بادی، توربین‌ها، باد و پارامترهای ژنراتور

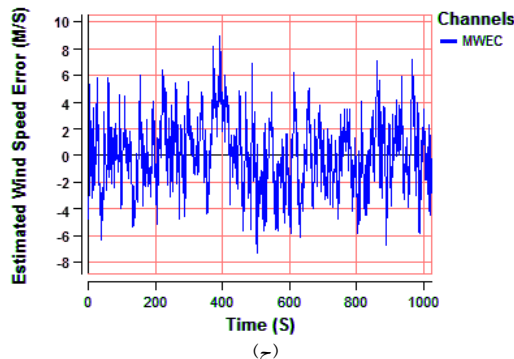
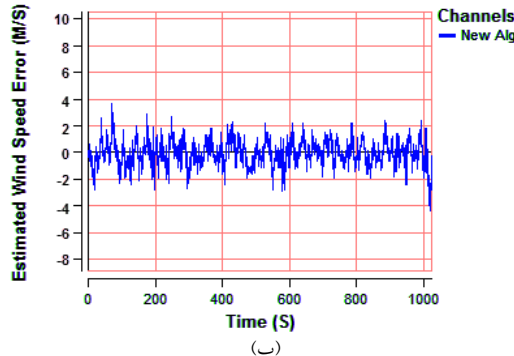
ردیف	ویژگی	مقدار
۱	تعداد توربین	۲۴
۲	نوع ژنراتور	DFIG
۳	تغییرات سرعت باد (m/s)	-۰.۴۰، ۰-۲۵
۴	مقاومت استاتور(P.u)	۰.۰۱
۵	ثابت اینرسی روتور(P.u)	۳
۶	میزان تغییرزاویه گام (درجه)	۲-۵
۷	اندوکتانس استاتور(P.u)	۰/۱
۸	مقاومت روتور(P.u)	۰/۰۱
۹	اندوکتانس روتور(P.u)	۰/۰۸
۱۰	اندوکتانس معناطیس کنندگی	۳
۱۱	شعاع روتور(m)	۳۵
۱۲	محدوده زاویه گام(درجه)	-۰-۵۰

در شکل (۴) نتایج یکی از شبیه‌سازی‌های سناریوی اول آمده است. در این شکل منحنی سرعت باد شبیه‌سازی شده در یکی از آزمایش‌ها (شکل ۴-الف) به همراه نتایج روش پیشنهادی و MWEC (شکل‌های ۴-ب و ۴-ج) نشان داده شده‌اند. چنان که ملاحظه می‌شود، قدر مطلق خطای تخمین روش پیشنهادی و روش MWEC نسبت به منحنی سرعت باد در شبیه‌سازی اصلی تا حدکثر $1/8$ متر بر ثانیه و $1/7$ متر بر ثانیه بالغ می‌شود که حاکی از تطبیق بیشتر نتایج حاصل از روش این مقاله با شبیه‌سازی اصلی است.





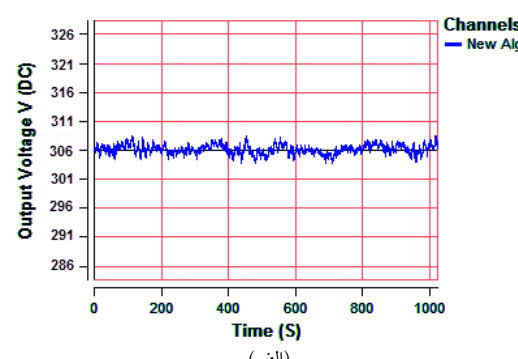
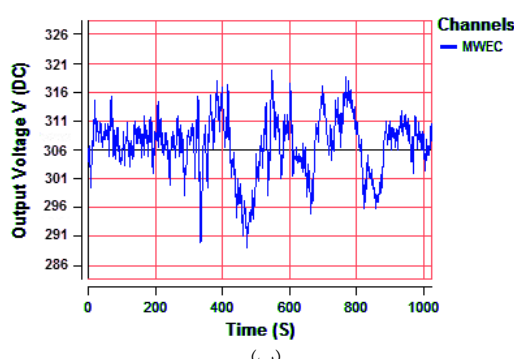
شکل ۵: ولتاژ استحصالی در سناریوی اول با اعمال
الف-روش پیشنهادی و ب-روش MWEC



شکل ۶: نتایج یکی از شبیه‌سازی‌های سناریوی دوم:
الف-باد شبیه‌سازی شده، ب-خطای تخمین روش پیشنهادی و ج-خطای
تخمین روش MWEC

شکل (۶) نتیجه آزمون روی یکی از نمونه‌های آزمایشی در سناریوی دوم را نشان می‌دهد. در این شکل، (۶-الف) سرعت باد شبیه‌سازی شده، (۶-ب) خطای تخمین حاصل از الگوریتم این مقاله و (۶-ج) خطای تخمین حاصل از MWEC را نشان می‌دهند. این شکل‌ها نشان می‌دهند که قدر مطلق خطای تخمین روش پیشنهادی و روش MWEC نسبت به شبیه‌سازی اصلی در این سناریو حداقل به ۴ و ۹ متر بر ثانیه می‌رسند.

این مقادیر کماکان حاکمی از برتری روش پیشنهادی نسبت به MWEC در تخمین سرعت باد وزشی می‌باشند. به همین ترتیب شکل (۷-الف) ولتاژ به دست آمده با اعمال روش پیشنهادی این مقاله و شکل (۷-ب) همین خروجی را در شرایط اعمال MWEC در سناریوی دوم نشان می‌دهند. مقایسه این شکل‌ها نیز با استفاده از معیار بیشینه ترانس بر قدر استحصال شده نشان می‌دهد که اندازه معیار فوق برای روش پیشنهادی ۳ ولت و برای خروجی روش MWEC مقدار ۱۶/۰۷ ولت به دست آمده اند که از عملکرد بهتر روش پیشنهادی حکایت دارند.



شکل ۷: ولتاژ استحصالی در سناریوی دوم با اعمال
الف-روش پیشنهادی و ب-روش MWEC

دست آمده اند. این مقادیر نشان می دهند که اثر بهبود دهنده روش این مقاله به هنگام بروز تغییرات شدیدتر در وزش باد موثرتر از شرایطی است که باد و وزشی تغییرات اندکی دارد.

۴- تفسیر

دو گونه از شرایط وزشی باد در مزرعه بادی با تغییرات کند (باد نجیب) و تند (باد نانجیب) طی دو سناریوی متفاوت شبیه سازی شدند. همچنین الگوریتم های پیشنهادی این مقاله و MWEC نیز در هر دو شبیه سازی آزموده شده و مقایسه گردیدند. نتایج به دست آمده نشان دادند که روش پیشنهادی این مقاله و الگوریتم MWEC در دو وضعیت فوق، عملکردهای کاملاً متفاوتی از خود نشان می دهند. مقایسه عملکرد این دو روش با استفاده از دو معیار عملی انجام گذیرفت. اولین معیار، خطای تخمین پارامترهای باد توسط هر الگوریتم نسبت به شبیه سازی اصلی و معیار دوم نیز یکنواختی برق تولیدی در مزرعه بادی با به کار گیری هر یک از الگوریتم ها بودند. نتایج نشان داده شده در شکل (۸) که با گام زمانی ۲۰ ثانیه ای نشان داده شده اند، از برتری روش پیشنهادی این مقاله نسبت به روش MWEC در شرایط وزش باد نجیب و با هردو معیار مقایسه فوق، حکایت دارند. در این شکل ابتدا مشخصات باد دریافتی توسط حسگرهای اطراف نیروگاه نشان داده شده و سپس خطای تخمین سرعت باد توسط الگوریتم های مورد بررسی ارایه گردیده اند. سرانجام میزان یکنواختی برق خروجی نیز برای دو الگوریتم به دست آمده اند. در این سناریو متوسط خطای روش پیشنهادی در تخمین سرعت باد ۱/۵ درصد بوده است. به

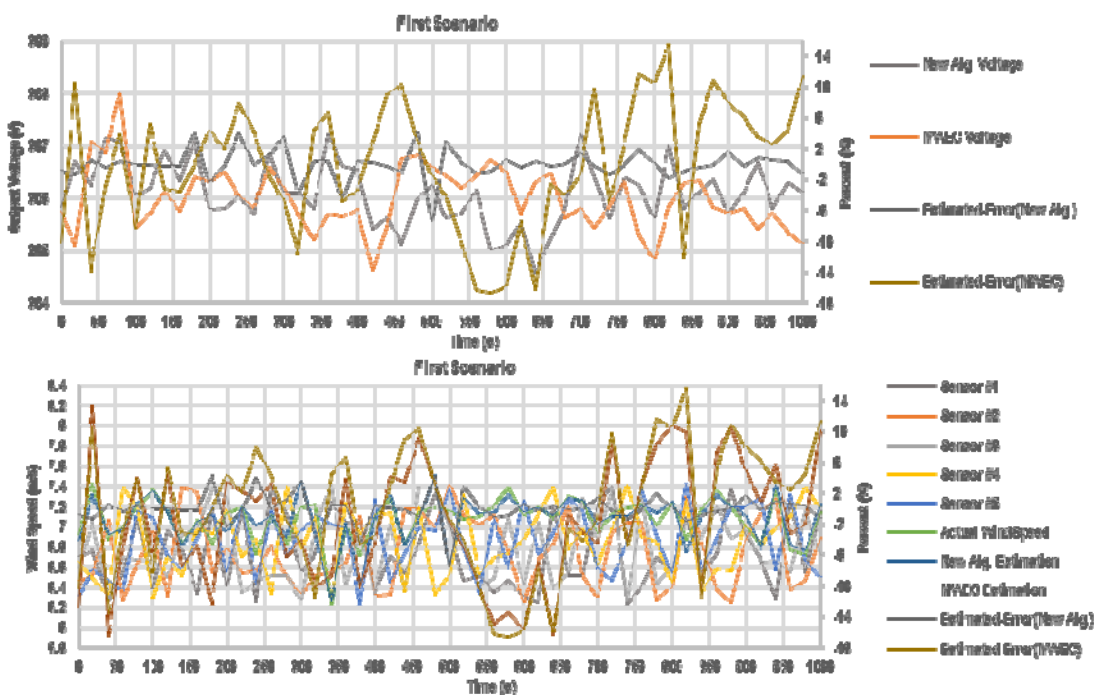
همین ترتیب متوسط خطای روش MWEC نیز مقداری معادل ۶/۸ درصد را نشان داده است. مقادیر فوق به طور معنی داری حاکی از تخمین دقیق تر روش این مقاله می باشد. معیار ترانس بر قدر استحصالی نیز برای روش پیشنهادی ۱/۴۹ ولت و برای روش MWEC نیز ۲/۰۱ ولت به دست آمدند. این مقادیر نیز نشان می دهند که در سناریوی فوق، روش پیشنهادی برق یکنواخت تری را به شbekه تزریق نموده است. شکل (۹) نیز نتایج را با گام زمانی ۲۰ ثانیه نشان می دهد و حاکی از آن است که روش پیشنهادی این مقاله در سناریوی دوم شبیه سازی با هردو معیار فوق، برتر از MWEC عمل نموده است. نتایج نشان می دهند در این سناریو، متوسط خطای روش پیشنهادی در تخمین سرعت باد ۵/۳ درصد بوده است در حالی که همین پارامتر برای روش MWEC برابر با ۲۲/۴ درصد به دست آمده است. معیار یکنواختی برق تولیدی نیز برای روش فوق به ترتیب ۲/۳ ولت و ۱۵/۰۳ ولت به دست آمده اند که کماکان استحصال برق یکنواخت تر با استفاده از روش این مقاله را تایید می نمایند. سرانجام مقایسه دو شکل اخیر نشان می دهند که اگرچه روش پیشنهادی این مقاله در هر دو شرایط وزش باد های نجیب و ناجیب توانسته است نتایج بهتری را نسبت به MWEC به دست دهد و لیکن بهبود ایجاد شده توسط روش پیشنهادی در سناریوی دوم چشمگیرتر بوده است. به گونه ای که برتری روش پیشنهادی نسبت به MWEC با معیارهای خطای تخمین باد و یکنواختی برق استحصالی در سناریوی اول به ترتیب ۵/۳ درصد و ۵/۲ Volts بوده است در حالی که این مقادیر در سناریوی دوم به ترتیب ۱۷/۱ درصد و ۱۲/۷ Volts به

۵- نتیجه گیری

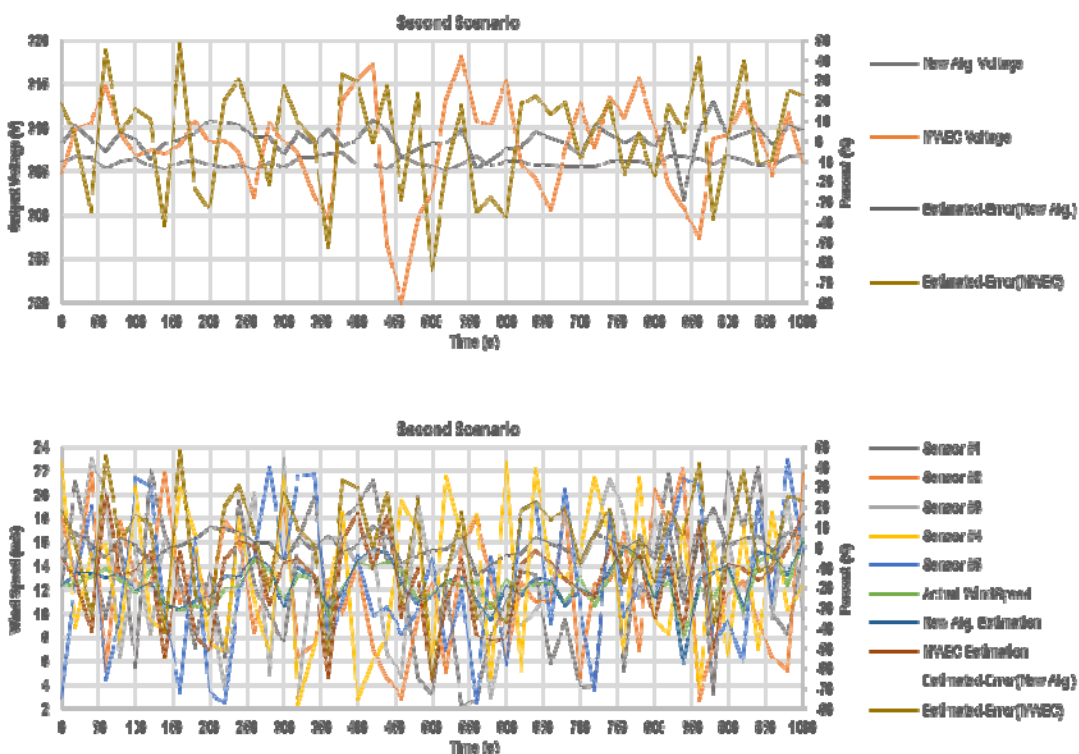
در این مقاله روشی نوین به منظور استحصال بهینه برق از توربین های واقع در مزارع برق بادی مبتنی بر مدل سازی مزرعه و توربین های آن با استفاده از توری فازی ارائه شد. برای تشکیل مدل فوق علاوه بر سابقه زمانی پارامترهای باد از اطلاعات مکانی آن نیز استفاده می شود. برای ارزیابی عملکرد روش پیشنهادی دو نوع متداول از شرایط وزشی باد در مزارع با تغییرات کند و تند شبیه سازی شدند. به منظور مقایسه نیز الگوریتم پیشنهادی این مقاله و یکی از جدیدترین روش های موجود موسوم به MWEC در هر دو سناریو آزموده شدند.

سرانجام مقایسه عملکرد روش های فوق نیز با استفاده از پارامتر خطای تخمین باد و یکنواختی برق تولیدی در مزرعه بادی انجام گذیرفت. نتایج حاکی از برتری روش پیشنهادی بودند به گونه ای که در سناریوی اول روش پیشنهادی این مقاله توانست خطای تخمین باد را ۵/۳ درصد و یکنواختی برق حاصله را ۰/۵۲ ولت نسبت به روش MWEC بهبود بخشید. اگرچه در نوع دوم وزش باد توربولانس بالای وزش موجب می شود تا تخمین پارامترها با ازدده کمتری نسبت به سناریوی قبلی انجام شود، اما ملاحظه شد که در این گونه از وزش باد عملکرد الگوریتم پیشنهادی این مقاله نسبت به MWEC برتری قابل ملاحظه تری یافته است.

این بهبود به گونه ای است که نتایج حاصل از الگوریتم پیشنهادی با دو معیار خطای تخمین باد و یکنواختی برق تولیدی به ترتیب ۱۷/۱ درصد و ۱۲/۷ ولت بهبود را نسبت به MWEC نشان داده است که ۱۱/۸ درصد و ۱۲/۱۸ ولت برتری را نسبت به بهبودهای حاصل در مقایسات سناریوی اول را نشان می دهند. بر این اساس نتایج فوق، حاکی از آن هستند که مدل پیشنهادی این مقاله مبتنی بر مدل سازی فازی مزرعه بادی با استفاده از تلفیق زمانی-مکانی می تواند پارامترهای تنظیم دقیق تری برای توربین ها نسبت به روش های موجود خصوصاً در شرایط وزش بادهای با توربولانس بالا که پارامترهای بادی متغیرتری دارند، به دست آورد.



شکل ۸: مقایسه تفصیلی عملکرد روش‌های پیشنهادی و MHEC در سناریوی اول



شکل ۹: مقایسه تفصیلی عملکرد روش‌های پیشنهادی و MHEC در سناریوی دوم

- [14] L.Soder, "Simulation of wind speed forecast errors for operation planning of multi-area power systems," Proceedings of 8th International conference on probabilistic methods applied to power systems, Iowa., USA, pp. 723-728, 2004.
- [15] P.Louka, G.Galanis, and N.Siebert, "Improvements in wind speed forecasts for wind power prediction purposes using kalman filtering," Journal of Wind Engineering and Industrial Aerodynamics, vol. 96, no. 12, pp. 2348-62, 2008.
- [16] P.Zhao, J.Wang, J.Xia, Y.Dai, Y.Sheng, and J.Yue, "Performance evaluation and accuracy enhancement of a day-ahead wind power forecasting system in China," Journal of Renewable Energy, vol. 43, pp. 234-241, 2012.
- [17] J.S.Thongam, P.Bouchard, H.Ezzaidi, and M.Ouhrouche, "Artificial neural network-based maximum power point tracking control for variable speed wind energy conversion systems," 18th IEEE International Conference on Control Applications, Saint Petersburg., Russia, pp. 1667-71, 2009.
- [18] G.Guangdian, and D.Zhijie, "Wind pattern recognition in neural fuzzy wind turbine control system," The Industrial Fuzzy and Intelligent Systems Conference and the NASA Joint Technology, San Antonio., USA, pp. 381-385, 1994.
- [19] S.Al-Sharhan, "Fuzzy entropy: a brief survey," 10th IEEE International Conference on Fuzzy Systems, Melbourne., Australia, pp. 1135-39, 2001.
- [20] S.Xuan, W.Xiaoye, W.Zhou, W., and X.Ying, "A new fuzzy clustering algorithm based on entropy weighting," Journal of Computational Information Systems, vol. 6, no. 10, pp. 3319-26, 2010.
- [21] M.Brown, and C.Harris, Neuro-Fuzzy Adaptive Modeling and Control, Prentice Hall, New York, 1994.
- [22] J.Jang, "ANFIS: Adaptive-Network-based fuzzy inference system," IEEE Transactions on systems, Manufacturing and Cybernetics, vol. 23, no. 3, pp. 665-685, 1993.
- [23] C.Sun, and J.Jang, "Neuro-Fuzzy modeling and control," Proceedings of IEEE, vol. 83, no. 2, pp.378-406, 1995.
- [24] M.Lackner, and C.Elkinton, "An Analytical Framework for Offshore Wind Farm Layout Optimization," Wind Engineering, vol. 31, no. 1, pp.17-31, 2007.
- [25] Y.Ren, and G.Bao, "Control strategy of maximum wind energy capture of direct-drive wind turbine generator based on neural-network," Proceedings of Power and Energy Engineering Conference, Chengdu., China, pp. 28-31, 2010.

مراجع

- [1] R.Everett, R.Boyle, S.Peake, and J.Ramage, Energy Systems and Sustainability: Power for a Sustainable Future, Oxford University Press, 2012.
- [2] Small Wind World Report, World Wind Energy Association. Available: <http://www.wwindea.org>, March 2012.
- [3] G.Slootweg, H.Polinder, and W.Kling, "Dynamic modeling of a wind turbine with doubly fed induction generator," Proceedings IEEE Power Engineering Society Summer Meeting, Vancouver., Canada, pp. 1-6, 2001.
- [4] G.Wilkins, Technology Transfer for Renewable Energy, CRC Press, 2012.
- [5] E.Muljadi, C.Butterfield, B.Parsons, and A.Ellis, "Effect of variable speed wind turbine generator on stability of a weak grid," IEEE Transactions on Energy Conversion, vol. 22, no. 1, pp. 29-36, 2007
- [6] J.Carrasco, L.Franquelo, J.Bialasiewicz, E.Galván, R.Guisado, M.Prats, J.León, and N.Moreno-Alfonso, "Power-electronic systems for the grid integration of renewable energy sources: A survey," IEEE Transactions on Industrial Electronics, vol. 53, no. 4, pp. 1002-16.
- [7] M.Hand, and J.Balas, "Systematic approach for PID controller design for pitch-regulated, variable- speed Wind Turbines," 17thASME Wind Energy Symposium Proceedings, Nevada., USA, pp. 89-94, 1998.
- [8] B.Beltran, T.Ahmed-Ali, and M.Benbouzid, "Sliding mode power control of variable-speed wind energy conversion systems," IEEE Transaction on Energy Conversion, vol. 23, no. 2, pp. 551-558, 2008.
- [9] G.Tapia, and P.Flores, "Application of a control algorithm for wind speed prediction and active power generation," Renewable Energy, vol. 30, pp. 523-536, 2005.
- [10] M.Hansen, Aerodynamics of Wind Turbines, Earthscan, 2012.
- [11] R.Mayes, D.Rixen, D. Griffith, D.De Klerk, S.Chauhan, N.Voormeeren, and M.Allen, Topics in Experimental Dynamics Sub-structuring and Wind Turbine Dynamics, Springer, 2012.
- [12] S.Watson, L.Landberg, and J.Halliday, "Application of wind speed forecasting to the integration of wind energy in to a large scale power system," IEE Proceedings of Generation, Transmission and Distribution, vol. 141, no. 4, pp. 357-362, 1994.
- [13] J.Torres, A.Garcia, M.Blas, and A.Francisco, "Forecast of hourly average wind speed with ARMA models in Navarre," Solar Energy, vol. 79, no. 1, pp. 65-77, 2005.



کنترل مود لغزشی سیستم‌های پرش مارکوف همراه با تأخیر متغیر با زمان با ماتریس نرخ احتمال انتقال نیمه معلوم

نسیبه ظهرابی^۱، حمیدرضا مومنی^۲، امیرحسین ابوالمعصومی^۳

^۱ فارغ‌التحصیل کارشناسی ارشد مهندسی برق، گروه کنترل، دانشگاه تربیت مدرس، n_zohrabii@yahoo.com

^۲ دانشیار، دانشکده مهندسی برق و کامپیوتر، گروه کنترل، دانشگاه تربیت مدرس، momeni_h@modares.ac.ir

^۳ دانشیار، دانشکده مهندسی برق و کامپیوتر، گروه برق، دانشگاه اراک، a_abolmasoumi@araku.ac.ir

(تاریخ دریافت مقاله ۱۳۹۱/۷/۲۰، تاریخ پذیرش مقاله ۱۳۹۱/۹/۲۳)

چکیده: در این مقاله طراحی کنترل کننده مود لغزشی برای سیستم‌های پرش مارکوف همراه با تأخیر زمانی با ماتریس نرخ احتمال انتقال نیمه‌علوم در حضور اغتشاش صورت گرفته است. روش ارائه شده کاملاً کلی می‌باشد و سیستم‌های پرش مارکوف با احتمال‌های انتقال کاملاً ناعلوم یا کاملاً معلوم را در بر می‌گیرد. در ابتدا شرایط کافی برای وجود سطح لغزش خطی و پایداری تصادفی دینامیک مود لغزشی بر پایه ناتساوی‌های ماتریسی خطی ارائه گردیده است. در ادامه یک کنترل کننده مود لغزشی چنان طراحی شده است که مسیرهای حالت سیستم حلقه‌بسته در زمان محدود به سطح لغزشی مورد نظر برسند و برای تمام زمان‌های بعدی در آن باقی بمانند. در نتیجه با اعمال قانون کنترل بدست آمده سیستم حلقه‌بسته پایدار تصادفی خواهد شد و طراحی کنترل کننده به پایان می‌رسد. تمام شرایط بدست آمده بر پایه ناتساوی‌های ماتریسی خطی می‌باشند که به وسیله نرم‌افزار روش‌های عددی به آسانی قابل حل هستند. در آخر یک مثال عددی برای تضمین کارایی و معتبر بودن روش پیشنهاد شده آورده شده است.

کلمات کلیدی: سیستم‌های پرش مارکوف؛ پایداری تصادفی؛ کنترل مود لغزشی؛ تأخیر زمانی؛ احتمال‌های انتقال نیمه‌علوم؛ ناتساوی‌های ماتریسی خطی.

Sliding Mode Control of Time-Delay Markovian Jump Systems with Partly Known Transition Probabilities

Nasibeh Zohrabi, Hamid Reza Momeni, Amir Hossein Abolmasoumi

Abstract: In this paper, a sliding mode controller for time-delay Markovian jump systems with partly unknown transition probability matrix in presence of disturbance is designed. The proposed method is quite general and includes both systems with completely known and completely unknown transition probability rates. At first, sufficient conditions for existence of linear switching surface are obtained in terms of linear matrix inequalities (LMIs) that guarantee the stochastic stability of sliding mode dynamics. Then, a sliding mode controller is designed such that the closed-loop system's state trajectories reach the desired sliding surface in a finite time and maintain there for all subsequent times. As a result, the stochastic stability of closed-loop system is guaranteed by applying a specifically designed control law. All of the conditions are presented in terms of linear matrix inequalities and can be simply solved by means of numerical software tools. Finally, a numerical example is given to demonstrate the validity and effectiveness of the proposed method.

Keywords: Markovian Jump Systems (MJSs); Stochastic Stability; Sliding Mode Control (SMC); Time-Delay; Partly Unknown Transition Probabilities; Linear Matrix Inequalities (LMIs).

۱- مقدمه

بدیهی است که وجود تأخیر یک دلیل مهم برای ناپایداری در عملکرد سیستم‌هاست. همچنین تجزیه و کنترل چنین سیستم‌هایی از مسائل دشوار کنترل می‌باشد. چگونگی اثر تأخیر بر روی پایداری سیستم‌های تأخیردار، در طول سالیان، علاوه و توجه وسیعی را در میان دانشمندان و محققین برانگیخته است. در دهه‌های اخیر نتایج بسیاری از جمله پایداری و پایدارسازی سیستم‌های پرش مارکوف تأخیردار بدست آمده است، به عنوان مثال می‌توان برای اطلاعات بیشتر به [۲۱، ۱۰، ۹، ۲۲، ۲۳، ۲۴، ۲۵، ۲۶] مراجع کرد. این نتایج به دو صورت وابسته به تأخیر و مستقل از تأخیر می‌باشد. لازم به ذکر است در این مقاله سیستم مورد مطالعه سیستم پرش مارکوف با تأخیر زمانی است که در آن تأخیر متغیر با زمان و کران دار است. همچنین شرایط بدست آمده برای پایداری تصادفی مستقل از تأخیر می‌باشد.

از طرف دیگر، یکی از روش‌های کنترلی مقاوم مناسب برای کنترل سیستم در حضور عدم قطعیت‌ها، اختشاشات داخلی و خارجی و همچنین سیستم‌های غیرخطی، روش کنترل مود لغزشی می‌باشد. در این روش بر اساس قضیه کنترل مود لغزشی [۲۷] تمامی حالت‌های سیستم حلقه بسته به سوی یک سطح لغزش معین در فضای هدایت می‌شوند. این کار با اعمال یک نیروی کنترلی ناپیوسته به سیستم دینامیکی حلقه بسته صورت می‌گیرد. پس از برخورد با سطح لغزشی، رفتار سیستم توسط معادله سطح مذکور تعیین می‌شود. بدین معنی که بر روی سطح لغزش مورد نظر، مشخصه‌های مطلوب مانند پایداری، قابلیت رد اغتشاش، ردیابی و غیره تضمین می‌شود. اخیراً موضوع طراحی کنترل کننده مود لغزشی سیستم‌های پرش مارکوف توجه محققین رو به خود جلب کرده است، به عنوان مثال برای اطلاعات بیشتر به [۲۸، ۳۰، ۲۹، ۳۱] مراجعه شود. شایان ذکر است که در تمام کارهای فوق، بررسی کنترل مود لغزشی سیستم‌های پرش مارکوف با فرض دسترسی کامل به عناصر ماتریس نرخ احتمال انتقال صورت گرفته است. در حقیقت در آن‌ها در نظر گرفته دسترسی به احتمال‌های انتقال و فرض نامعلوم بودن آن‌ها در نظر گرفته نشده و به سادگی طراحی کنترل کننده مود لغزشی انجام شده است. در نتیجه ما در ابتدا مسئله کنترل مود لغزشی سیستم‌های پرش مارکوف با ماتریس نرخ احتمال انتقال نیمه معلوم را در [۳۲] بررسی کردیم. سیستم مورد مطالعه در [۳۲] بدون تأخیر بوده و در نتیجه بدست آوردن شرایط LMI برای پایداری تصادفی آن به مراتب ساده تر بود. با توجه به تأثیر قابل توجه تأخیر بر عملکرد سیستم‌ها، پایداری و کنترل این سیستم‌ها همراه با تأخیر امری مهم و ضروری است. اگرچه تا به امروز مسئله کنترل مود لغزشی این سیستم‌ها با تأخیر متغیر با زمان مورد بررسی و مطالعه قرار نگرفته است. در نتیجه در این نوشتار هدف حصول پایداری و کنترل مود لغزشی سیستم‌های پرش مارکوف همراه با تأخیر زمانی با ماتریس نرخ احتمال انتقال نیمه معلوم می‌باشد. روش ارائه شده کاملاً کلی می‌باشد و سیستم‌های پرش مارکوف با احتمال‌های انتقال کاملاً نامعلوم یا کاملاً معلوم را شامل می‌شود. به عبارت دیگر، اصطلاح به کار برده شده

در عمل رفتار معادله حالت بعضی از سیستم‌های صنعتی تصادفی می‌باشد به همین دلیل نمی‌توان آن‌ها را به وسیله نمایش فضای حالت LTI مدل کرد. این طبقه از سیستم‌های دینامیکی به دلیل تغییرات ناگهانی در عناصر خود، در طبقه‌ای از سیستم‌های سویچ شده اتفاقی به نام سیستم‌های تکه‌ای معین^۱ یا سیستم‌های پرش مارکوف^۲ قرار می‌گیرند. سیستم‌های سویچ شده اتفاقی پرش مارکوف اولین بار در [۱] معرفی شدند و دارای دو جزء در بردار حالت خود هستند. جزء اول این بردار حالت، مقادیری در R^n می‌گیرد و دارای تغییرات پیوسته در زمان است. جزء دوم مقادیری در یک مجموعه محدود می‌گیرد و به طور تصادفی بین مقدادر محدود حالت سویچ می‌کند. این جزء با یک فرآیند مارکوف زمان پیوسته نمایش داده می‌شود. این طبقه از سیستم‌ها به طور قابل قبولی برای مدل کردن سیستم‌های عملی مختلف استفاده می‌شوند. از جمله این سیستم‌ها می‌توان به سیستم‌های تولید [۲]، سیستم‌های هوافضا [۳] و سیستم‌های مخابراتی [۴، ۵] اشاره کرد. در دهه‌های اخیر سیستم‌های پرش مارکوف به دلیل کاربردهای گسترده عملی توجه بسیاری از محققین و مهندسان کنترل را به خود جلب کرده و نتایج بسیاری نیز در این زمینه بدست آمده است. از جمله نتایج بدست آمده می‌توان به مسئله پایداری [۶]، پایدارسازی [۷]، کنترل H_{∞} [۱۰، ۹، ۸] و مسئله فیلترینگ [۱۱] اشاره کرد. اطلاعات بیشتر در این زمینه در [۱۲] و مراجع درون آن یافت می‌شود.

یکی از مشخصه‌های سیستم‌های پرش مارکوف، ماتریس نرخ احتمال انتقال می‌باشد. ماتریس نرخ احتمال انتقال به صورت آماری رفتار پرش سیستم از یک مود به مود دیگر را مشخص می‌کند. دسترسی کامل به ماتریس نرخ احتمال انتقال، تجزیه و تحلیل و کنترل سیستم‌های پرش مارکوف را به مقدار زیادی ساده و راحت می‌کند. شایان ذکر است که در بیشتر مطالعات انجام شده، دسترسی کامل به اطلاعات ماتریس نرخ احتمال انتقال یک فرض عمومی برای تجزیه و کنترل سیستم‌های پرش مارکوف است. در حالی که در بیشتر کاربردهای عملی، بدست آوردن کامل احتمال‌های انتقال مورد بحث می‌باشد و یا تخمین تمامی عناصر ماتریس نرخ احتمال پیچیده، زمان بر و گران می‌باشد [۱۳، ۱۴]. بنابراین با توجه به مطالب گفته شده، مطالعه و بررسی حالت کلی تر این سیستم‌ها یعنی سیستم‌های پرش مارکوف با ماتریس نرخ احتمال انتقال نیمه معلوم نسبت به تخمین آن‌ها امر مقرر به صرفه و بهتری می‌باشد. در سال‌های اخیر توجه محققان به این سیستم‌ها جلب شده است و نتایجی نیز در زمینه پایداری و پایدارسازی [۱۳، ۱۴، ۱۵، ۱۶]، کنترل H_{∞} [۱۷، ۱۸] و مسئله فیلترینگ [۲۰] با ماتریس نرخ احتمال انتقال نیمه معلوم بدست آمده است.

¹ Piecewise deterministic systems

² Markovian jump systems

$$0 \leq \tau(t) \leq \bar{\tau}, \quad |\dot{\tau}(t)| \leq \mu < 1 \quad (2)$$

که در آن $\bar{\tau}$ حد بالای تأخیر زمانی می باشد. همچنین داریم:

$$x(s) = \varphi(s), \quad \forall s \in [-\bar{\tau}, 0] \quad (3)$$

$$x_s(t) = x(s+t), \quad -\bar{\tau} \leq s \leq 0$$

$\{r_t, t \geq 0\}$ فرآیند مارکوف زمان پیوسته گسته مقدار همگن و محدود می باشد که مقادیری در فضای حالت محدود $\{1, 2, \dots, N\}$ می گیرد. این فرآیند تصادفی دارای نرخ های احتمال انتقال λ_{ij} می باشد و داریم:

$$\begin{cases} \Pr(r_{t+h} = j | r_t = i) = \begin{cases} \lambda_{ij} h + o(h), & \text{if } j \neq i \\ 1 + \lambda_{ii} h + o(h), & \text{if } j = i \end{cases} \\ \lim_{h \rightarrow 0} \left(\frac{o(h)}{h} \right) = 0, \quad h > 0 \end{cases} \quad (4)$$

که در آن $\lambda_{ij} \geq 0 (i, j \in \ell, j \neq i)$ نشان دهنده نرخ انتقال از مود

$$\lambda_{ii} = -\sum_{j=1, j \neq i}^N \lambda_{ij} \quad t \in \mathbb{R}$$

برای هر $i \in \ell$ می باشد. ماتریس نرخ احتمال انتقال به صورت زیر

تعریف می شود:

$$\Lambda = \begin{bmatrix} \lambda_{11} & \lambda_{12} & \dots & \lambda_{1N} \\ \lambda_{21} & \lambda_{22} & \dots & \lambda_{2N} \\ \vdots & \vdots & \ddots & \vdots \\ \lambda_{N1} & \lambda_{N2} & \dots & \lambda_{NN} \end{bmatrix} \quad (5)$$

در ادامه برای راحتی فرایند مارکوف \dot{x}_i به صورت اندیس i به کار برده می شود. بنابراین سیستم (1) می تواند به صورت زیر دوباره نوشته شود:

$$\begin{aligned} \dot{x}(t) &= A_i x(t) + A_{di} x(t - \tau(t)) \\ &\quad + B_i [u(t) + F_i w(t)] \end{aligned} \quad (6)$$

به طوری که A_i, A_{di} و F_i ماتریس های ثابت معلوم با ابعاد مناسب هستند. همچنین فرض شده است که:

$$\|F_i w(t)\| \leq f_i, \quad f_i > 0, \quad i \in \ell \quad (7)$$

در اینجا نرخ های احتمال انتقال به صورت نیمه معلوم در نظر گرفته شده اند؛ بدین معنی که بعضی از عناصر در ماتریس نرخ احتمال انتقال Λ نامعلوم هستند. برای جداسازی علائم، فضای حالت ℓ را به صورت زیر افزایش می کنیم:

$$\begin{cases} \ell = \ell_k^i \cup \ell_{uk}^i \\ \ell_k^i \triangleq \{j : \lambda_{ij} \text{ is known}\} \\ \ell_{uk}^i \triangleq \{j : \lambda_{ij} \text{ is unknown}\} \end{cases} \quad (8)$$

اگر داشته باشیم $\ell_k^i \neq \emptyset$ ، می توان ℓ_k^i را به صورت زیر توصیف کرد:

$$\ell_k^i = (K_1^i, \dots, K_q^i), \quad 1 \leq q \leq N \quad (9)$$

که در آن $K_q^i \in \mathbb{N}^+$ نماینده q امین عنصر معلوم در سطر i ماتریس Λ است. با توجه به مطلب گفته شده، سیستم پرش مارکوف همراه با

"ماتریس نرخ احتمال انتقال نیمه معلوم" به این معنی است که می تواند تمام عناصر ماتریس نرخ احتمال انتقال معلوم باشد و یا تعدادی از عناصر ماتریس نامعلوم باشند و یا حتی تمام عناصر ماتریس نامعلوم باشند. یعنی طراحی در این مقاله، سه حالت فوق را پوشش می دهد. تمام نتایج بدست آمده بر پایه ناتساوی های ماتریسی خطی بوده و به وسیله نرم افزار روش های عددی به آسانی قابل حل هستند که این یکی از مزایای روش ارائه شده می باشد. در حقیقت در این مقاله بدست آوردن شرایط پایداری تصادفی برای سیستم پرش مارکوف تأخیر دار بر پایه ناتساوی های ماتریسی خطی یکی از مسائل دشوار عددی بوده که در نهایت با استفاده از روش های خاصی که در ادامه آمده است، امکان پذیر شده است.

در این مقاله در ابتدا با ارائه تابع لیاپانوف مناسب و استفاده از ماتریس های وزنی آزاد، ضریب سطح لغزش خطی برای پایداری تصادفی دینامیک مود لغزشی بر پایه ناتساوی های ماتریسی خطی بدست آورده شده است. شرایط بدست آمده مستقل از تأخیر بوده و فقط وابسته به کران بالای مشتق تأخیر هستند. سپس با طراحی کنترل کننده، بر اساس قضیه کنترل مود لغزشی، مسیرهای حالت سیستم حلقه بسته به سطح لغزشی مطلوب رسیده و برای تمام زمان های بعدی در آن جا باقی میمانند، یعنی $u(t) = 0$ و $s(t) = 0$ هستند. در نتیجه با اعمال قانون کنترل سیستم حلقه بسته پایدار تصادفی خواهد شد و طراحی کنترل کننده به پایان می رسد.

در ادامه این نوشتار، ابتدا در قسمت ۲، به معرفی سیستم تحت کنترل و ارائه مبانی ریاضی مورد استفاده در این مقاله می پردازیم. در این قسمت تعاریف و لم های مورد نیاز و همچنین فرم رگولار سیستم بدست آورده شده است. قسمت ۳ به طراحی کنترل کننده مود لغزشی برای سیستم پرش مارکوف با تأخیر زمانی می پردازد. در این بخش در ابتدا انتخاب سطح لغزش خطی، با ارائه قضیه ۱ پایداری تصادفی دینامیک مود لغزشی بر پایه ناتساوی های ماتریسی خطی مورد بررسی قرار می گیرد، سپس در قضیه ۲ طراحی کنترل کننده مود لغزشی برای تضمین پایداری سیستم حلقه بسته صورت می گیرد. ارائه مثال عددی و نتایج شیوه سازی در قسمت ۴ آورده شده است و نتیجه گیری، قسمت نهایی مقاله را تشکیل می دهد.

۲- معرفی سیستم تحت کنترل و تعاریف لازم

این بخش به معرفی سیستم تحت کنترل و ارائه تعاریف و لم های مورد استفاده در این مقاله می پردازد. در ابتدا سیستم پرش مارکوف پیوسته در زمان همراه با تأخیر متغیر با زمان $\tau(t)$ تعریف شده در فضای احتمال (Ω, F, P) زیر را در نظر می گیریم:

$$\begin{aligned} \dot{x}(t) &= A(r_t)x(t) + A_d(r_t)x(t - \tau(t)) \\ &\quad + B(r_t)[u(t) + F(r_t)w(t)] \end{aligned} \quad (1)$$

که در آن $x(t) \in \mathbb{R}^n$ بردار حالت، $u(t) \in \mathbb{R}^m$ ورودی کنترل کننده و $w(t) \in \mathbb{R}^l$ اختشاش می باشد. $\tau(t)$ تأخیر متغیر با زمان است که در شرایط زیر صدق کند:

$$\dot{z}(t) = \bar{A}_i z(t) + \bar{A}_{di} z(t - \tau(t)) \\ + \begin{bmatrix} 0_{(n-m) \times m} \\ B_{2i} \end{bmatrix} [u(t) + F_i w(t)] \quad (16)$$

در حالی که $\bar{A}_{di} = T_i A_{di} T_i^{-1}$ و $\bar{A}_i = T_i A_i T_i^{-1}$ هستند. با در نظر گرفتن $[z] = [z_1^T \ z_2^T]^T$ ، می‌توان سیستم (۱۶) را به شکل زیر بازنویسی کرد:

$$\dot{z}_1(t) = \bar{A}_{11i} z_1(t) + \bar{A}_{12i} z_2(t) \\ + A_{d11i} z_1(t - \tau(t)) + A_{d12i} z_2(t - \tau(t)) \quad (17)$$

$$\dot{z}_2(t) = \bar{A}_{21i} z_1(t) + \bar{A}_{22i} z_2(t) \\ + A_{d21i} z_1(t - \tau(t)) + A_{d22i} z_2(t - \tau(t)) \\ + B_{2i} [u(t) + F_i w(t)] \quad (18)$$

که در آن $z_2(t) \in \mathbb{R}^m$ ، $z_1(t) \in \mathbb{R}^{n-m}$ هستند و پارامترهای دیگر به صورت زیر محاسبه می‌شوند:

$$\begin{aligned} \bar{A}_{11i} &= U_{2i}^T A_i U_{2i}, & \bar{A}_{12i} &= U_{2i}^T A_{di} U_{1i}, \\ \bar{A}_{d11i} &= U_{2i}^T A_{di} U_{2i}, & \bar{A}_{d12i} &= U_{2i}^T A_{di} U_{1i}, \\ \bar{A}_{21i} &= U_{1i}^T A_i U_{2i}, & \bar{A}_{22i} &= U_{1i}^T A_{di} U_{1i}, \\ \bar{A}_{d21i} &= U_{1i}^T A_{di} U_{2i}, & \bar{A}_{d22i} &= U_{1i}^T A_{di} U_{1i}, \\ B_{2i} &= \Sigma_i V_i^T. \end{aligned}$$

۳- کنترل مود لغزشی سیستم تحت کنترل

۱-۱- پایداری تصادفی دینامیک مود لغزشی

در این قسمت پایداری تصادفی مستقل از تأخیر دینامیک مود لغزشی بر پایه ناساواهای ماتریسی خطی مورد بررسی قرار می‌گیرد. بر طبق قضیه کنترل مود لغزشی [۳۵] معادله (۱۷) به عنوان دینامیک مود لغزشی شناخته شده است. در ابتدا سطح لغزشی خطی به صورت زیر انتخاب می‌شود:

$$s(t) = [C_{1i} \ C_{2i}] z(t) \quad (19)$$

در حالی که C_{2i} برای هر $i \in \ell$ معکوس پذیر است. با تعریف $z_2(t) = -C_i z_1(t)$ و جایگذاری $C_i = C_{2i}^{-1} C_{1i} \in \mathbb{R}^{m \times (n-m)}$ و $z_2(t - \tau(t)) = -C_i z_1(t - \tau(t))$ در (۱۷)، دینامیک مود لغزشی به صورت زیر بازنویسی می‌شود:

$$\dot{z}_1(t) = \tilde{A}_i z_1(t) + \tilde{A}_{di} z_1(t - \tau(t)), \quad (20) \\ \tilde{A}_i = \bar{A}_{11i} - \bar{A}_{12i} C_i, \quad \tilde{A}_{di} = \bar{A}_{d11i} - \bar{A}_{d12i} C_i$$

در ادامه، در قضیه ۱، طراحی پارامتر سطح لغزش خطی C_i برای پایداری تصادفی دینامیک مود لغزشی (۲۰) صورت گرفته است.

قضیه ۱- دینامیک مود لغزشی (۲۰) همراه با تأخیر متغیر با زمان ($\tau(t)$) با احتمالهای انتقال نیمه معلوم (۸) پایدار تصادفی است اگر دسته ماتریس‌های $Y_i = W_i^T$ ، $R > 0$ ، $X_i > 0$ و $W_i = W_i^T$ به نحوی وجود داشته باشد که مجموعه ناساواهای ماتریس خطی (LMIs) زیر برای هر $i \in \ell$ برقرار باشد:

تأخر متغیر با زمان با ماتریس نرخ احتمال انتقال کاملاً نامعلوم با کاملاً معلوم مورد بررسی قرار گرفته است و روش ارائه شده کاملاً کلی می‌باشد. در ادامه تعاریف و لم‌های مورد نیاز برای استفاده در اثبات قضیه‌های ارائه شده در این مقاله آمده است.

تعریف ۱- سیستم پرش مارکوف $(\dot{x}(t) = A(r_t)x(t))$ پایدار تصادفی^۱ (SS) است اگر یک مقدار ثابت محدود $T(x_0, r_0)$ وجود داشته باشد به طوری که رابطه زیر

$$E \left\{ \int_0^\infty \|x(t)\|^2 dt \mid x_0, r_0 \right\} < T(x_0, r_0) \quad (10)$$

برای هر شرایط اولیه (x_0, r_0) برقرار باشد [۱۲].

لم ۱- سیستم پرش مارکوف $(\dot{x}(t) = A(r_t)x(t))$ پایدار تصادفی (SS) است اگر و تنها اگر مجموعه‌ای از ماتریس‌های متقارن و مثبت معین $P_i > 0$ وجود داشته باشد به طوری که ناساوای ماتریسی خطی Z زیر برای هر $i \in \ell$ برقرار باشد [۱۲].

$$A_i^T P_i + P_i A_i + \sum_{j \in \ell} \lambda_{ij} P_j < 0 \quad (11)$$

لم ۲- فرض کنید $N \in \mathbb{R}^{n \times m}$ ، $y(t) \in \mathbb{R}^m$ ، $x(t) \in \mathbb{R}^n$ ، $N^T N \leq \hat{N}$ و $\alpha > 0$ باشد. در آن صورت اگر $\hat{N} \in \mathbb{R}^{n \times m}$ آنگاه رابطه زیر برقرار است [۳۳].

$$2x^T Ny \leq \alpha |x|^2 + \frac{1}{\alpha} y^T \hat{N} y \quad (12)$$

۱-۲- فرم رگولار^۲ سیستم تحت کنترل

در این قسمت، در ابتدا یک ماتریس ناویژه^۳ T_i برای بدست آوردن فرم رگولار سیستم (۶) به طوری انتخاب می‌شود که دارای خاصیت زیر باشد [۲۸]:

$$T_i B_i = \begin{bmatrix} 0_{(n-m) \times m} \\ B_{2i} \end{bmatrix} \quad (13)$$

که در آن $B_{2i} \in \mathbb{R}^{m \times m}$ یک ماتریس ناویژه است. برای راحتی، به صورت زیر تفکیک می‌شود:

$$T_i = \begin{bmatrix} U_{2i}^T \\ U_{1i}^T \end{bmatrix} \quad (14)$$

که در آن $U_{2i} \in \mathbb{R}^{n \times (n-m)}$ و $U_{1i} \in \mathbb{R}^{n \times m}$ دو زیربلوک از ماتریس یکانی^۴ حاصل از تعزیزه مقدار استشایی^۵ B_i هستند، یعنی:

$$B_i = [U_{1i} \ U_{2i}] \begin{bmatrix} \sum_i \\ 0_{(n-m) \times m} \end{bmatrix} V_i^T \quad (15)$$

$\Sigma_i \in \mathbb{R}^{m \times m}$ یک ماتریس قطری مثبت معین و ماتریس یکانی [۳۴] می‌باشد. در ادامه با اعمال تبدیل حالت $z(t) = T_i x(t)$ به سیستم (۶)، فرم رگولار زیر بدست می‌آید:

¹ Stochastically stable

² Regular form

³ Nonsingular

⁴ Unitary matrix

⁵ Singular value decomposition

$$\Im V(z_1(t), i) \leq z_1^T(t) \left(P_i \tilde{A}_i + \tilde{A}_i^T P_i + \sum_{j \in \ell} \lambda_{ij} P_j + Q - (1-\mu) z_1^T(t - \tau(t)) Q z_1(t - \tau(t)) \right) \quad (31)$$

$$+ z_1^T(t - \tau(t)) \tilde{A}_{di}^T P_i z_1(t) \\ + z_1^T(t) P_i \tilde{A}_{di} z_1(t - \tau(t))$$

برای دو جمله آخر (۳۱) با استفاده از ناتساوی (۲۲) موجود در لم ۲ و تعريف $\tilde{Q} = (1-\mu)Q$ ناتساوی زیر برقرار است:

$$2z_1^T(t) P_i \tilde{A}_{di} z_1(t - \tau(t)) \leq z_1^T(t) P_i \tilde{A}_{di} \tilde{Q}^{-1} \tilde{A}_{di}^T P_i z_1(t) \\ + z_1^T(t - \tau(t)) \tilde{Q} z_1(t - \tau(t)) \quad (32)$$

با استفاده از (۳۲) برای $\Im V(z_1(t), i)$ داریم:

$$\Im V(z_1(t), i) \leq z_1^T(t) \left(P_i \tilde{A}_i + \tilde{A}_i^T P_i + \sum_{j \in \ell} \lambda_{ij} P_j + Q + P_i \tilde{A}_{di} \tilde{Q}^{-1} \tilde{A}_{di}^T P_i \right) z_1(t) \quad (33)$$

در نتیجه در (۳۳)، برای این که $\Im V(z_1(t), i) < 0$ باشد، باید ناتساوی زیر برقرار باشد:

$$P_i \tilde{A}_i + \tilde{A}_i^T P_i + \sum_{j \in \ell} \lambda_{ij} P_j + Q + P_i \tilde{A}_{di} \tilde{Q}^{-1} \tilde{A}_{di}^T P_i < 0 \quad (34)$$

با اعمال مکمل شور در (۳۴) ناتساوی زیر بدست می آید:

$$\begin{bmatrix} P_i \tilde{A}_i + \tilde{A}_i^T P_i + \sum_{j \in \ell} \lambda_{ij} P_j + Q & P_i \tilde{A}_{di} \\ * & -\tilde{Q} \end{bmatrix} < 0 \quad (35)$$

با جایگذاری \tilde{A}_{di} و \tilde{A}_i از (۲۰) در (۳۵) داریم:

(۳۶)

$$\begin{bmatrix} P_i (\bar{A}_{11i} - \bar{A}_{12i} C_i) + (\bar{A}_{11i} - \bar{A}_{12i} C_i)^T P_i + \sum_{j \in \ell} \lambda_{ij} P_j + Q & P_i (\bar{A}_{d11i} - \bar{A}_{d12i} C_i) \\ * & -\tilde{Q} \end{bmatrix} < 0$$

سپس با ضرب $X_i = P_i^{-1}$ در دو طرف ناتساوی (۳۶) و تعريف $Y_i = C_i X_i$ ناتساوی زیر بدست می آید:

(۳۷)

$$\begin{bmatrix} J_i + X_i \sum_{j \in \ell} \lambda_{ij} X_j^{-1} X_i + X_i Q X_i & \bar{A}_{d11i} X_i - \bar{A}_{d12i} Y_i \\ * & -X_i \tilde{Q} X_i \end{bmatrix} < 0$$

$J_i = \bar{A}_{11i} X_i - \bar{A}_{12i} Y_i + X_i \bar{A}_{11i}^T - Y_i^T \bar{A}_{12i}^T$
با استفاده از مکمل شور ناتساوی (۳۷) به صورت زیر بازنویسی می شود:

(۳۸)

$$-X_i \tilde{Q} X_i - (\bar{A}_{d11i} X_i - \bar{A}_{d12i} Y_i)^T \\ \left(J_i + X_i \sum_{j \in \ell} \lambda_{ij} X_j^{-1} X_i + X_i Q X_i \right)^{-1} (\bar{A}_{d11i} X_i - \bar{A}_{d12i} Y_i) < 0$$

$$\begin{bmatrix} \zeta_i + \lambda_{ii} X_i & X_i & \Gamma_i & (\bar{A}_{d11i} X_i - \bar{A}_{d12i} Y_i) \\ X_i & -R & 0 & 0 \\ * & 0 & -\Xi_i & 0 \\ * & 0 & 0 & -2X_i + (1-\mu)^{-1} R \end{bmatrix} < 0, i \in \ell_{u\kappa}^i \quad (21)$$

$$\begin{bmatrix} \zeta_i & X_i & \Gamma_i & (\bar{A}_{d11i} X_i - \bar{A}_{d12i} Y_i) \\ X_i & -R & 0 & 0 \\ * & 0 & -\Xi_i & 0 \\ * & 0 & 0 & -2X_i + (1-\mu)^{-1} R \end{bmatrix} < 0, i \in \ell_{u\kappa}^i \quad (22)$$

$$\begin{bmatrix} -W_i & X_i \\ X_i & -X_j \end{bmatrix} \leq 0, \quad j \in \ell_{u\kappa}^i, j \neq i \quad (23)$$

$$X_j - W_i \geq 0, \quad j \in \ell_{u\kappa}^i, j = i \quad (24)$$

که در آن

$$\Gamma_i = \left[\sqrt{\lambda_{ik_1^i}} X_i, \dots, \sqrt{\lambda_{ik_{i-1}^i}} X_i, \sqrt{\lambda_{ik_{i+1}^i}} X_i, \dots, \sqrt{\lambda_{ik_q^i}} X_i \right] \quad (25)$$

$$\Xi_i = \text{diag} \left\{ X_{k_1^i}, \dots, X_{k_{i-1}^i}, X_{k_{i+1}^i}, \dots, X_{k_q^i} \right\} \quad (26)$$

$$\zeta_i = \bar{A}_{11i} X_i - \bar{A}_{12i} Y_i + X_i \bar{A}_{11i}^T - Y_i^T \bar{A}_{12i}^T - \sum_{j \in \ell_{u\kappa}^i} \lambda_{ij} W_i$$

می باشدند و $\kappa_1^i, \dots, \kappa_q^i$ در (۹) تعریف شده اند. علاوه بر این اگر X_i مجموعه LMI های (۲۱) تا (۲۴) دارای یک جواب ممکن بر پایه Y_i و باشند، در آن صورت C_i به صورت زیر محاسبه می شود:

$$C_i = Y_i X_i^{-1} \quad (27)$$

اثبات قضیه ۱ - در ابتدا تابع لیاپانوف را به صورت زیر انتخاب می شود:

$$V(z_1(t), i) = z_1^T(t) P_i z_1(t) + \int_{-\tau(t)}^0 z_1^T(t+\theta) Q z_1(t+\theta) d\theta \quad (28)$$

که در آن Q یک ماتریس مثبت معین است.

سپس با استفاده از مفهوم عملگر مشتق متوسط^۱ [۳۶] برای سیستم های تصادفی پرش مارکوف، مشتق تابع لیاپانوف (۲۸) به صورت زیر بدست می آید:

$$\Im V(z_1(t), i) = \frac{d}{dt} \left[z_1^T(t) P_i z_1(t) \right] + \frac{d}{dt} \left[\int_{-\tau(t)}^0 z_1^T(t+\theta) Q z_1(t+\theta) d\theta \right] \quad (29)$$

در نتیجه

$$\begin{aligned} \Im V(z_1(t), i) = & z_1^T(t) \left(P_i \tilde{A}_i + \tilde{A}_i^T P_i + \sum_{j \in \ell} \lambda_{ij} P_j \right) z_1(t) \\ & + z_1^T(t - \tau(t)) \tilde{A}_{di}^T P_i z_1(t) \\ & + z_1^T(t) P_i \tilde{A}_{di} z_1(t - \tau(t)) + z_1^T(t) Q z_1(t) \\ & - (1 - \dot{\tau}(t)) z_1^T(t - \tau(t)) Q z_1(t - \tau(t)) \end{aligned} \quad (30)$$

با توجه به این که $|\dot{\tau}(t)| \leq \mu$ است، بدست می آید:

^۱ Weak infinitesimal operator

$$\begin{aligned} \text{با توجه به این که } \lambda_{ij} < 0 \quad (i, j \in \ell, j \neq i) \quad \text{و} \quad \lambda_{ii} \geq 0 \\ \lambda_{ii} = -\sum_{j=1, j \neq i}^N \lambda_{ij} \quad \text{می‌باشد، واضح است که برای هر} \\ \text{LMI} \Psi_i < 0, \quad i \in \ell_k^i \quad \text{می‌شود اگر مجموعه LMI} \text{ های زیر برقرار باشند:} \\ \zeta_i + \lambda_{ii} X_i + \sum_{j \in \ell_k^i, j \neq i} \lambda_{ij} (X_i X_j^{-1} X_i) \\ + X_i Q X_i - (\bar{A}_{d11i} X_i - \bar{A}_{d12i} Y_i) \quad (45) \\ (-2X_i + \tilde{Q}^{-1})^{-1} (\bar{A}_{d11i} X_i - \bar{A}_{d12i} Y_i)^T < 0, \quad i \in \ell_k^i \\ \sum_{j \in \ell_{uk}^i} \lambda_{ij} (X_i X_j^{-1} X_i - W_i) < 0, \quad i \in \ell_{uk}^i \quad (46) \end{aligned}$$

از طرف دیگر، واضح است که برای هر $\Psi_i < 0, i \in \ell_{uk}^i$ می‌شود اگر مجموعه LMI های زیر برقرار باشند:

$$\begin{aligned} \zeta_i + \sum_{j \in \ell_k^i, j \neq i} \lambda_{ij} (X_i X_j^{-1} X_i) + X_i Q X_i \\ - (\bar{A}_{d11i} X_i - \bar{A}_{d12i} Y_i) (-2X_i + \tilde{Q}^{-1})^{-1} \\ (\bar{A}_{d11i} X_i - \bar{A}_{d12i} Y_i)^T < 0, \quad i \in \ell_{uk}^i \quad (47) \end{aligned}$$

$$\lambda_{ii} (X_j - W_i) + \sum_{j \in \ell_{uk}^i, j \neq i} \lambda_{ij} (X_i X_j^{-1} X_i - W_i) < 0, \quad i \in \ell_{uk}^i \quad (48)$$

که ζ_i در قضیه ۱ تعریف شده است.
بنابراین اگر مجموعه ناتساوی های ماتریسی خطی (۴۵) تا (۴۸) برقرار باشند، پایداری تصادفی دینامیک مود لغزشی (۲۰) تا (۲۴) تضمین می‌شود. با تعريف $R = \tilde{Q}^{-1}$ و در نظر گرفتن (۲۵) و (۲۶) و اعمال مکمل شور، ناتساوی های (۲۱) و (۲۲) به ترتیب برای $i \in \ell_k^i$ معادل ناتساوی های (۴۵) و (۴۷) هستند. به طور مشابه، ناتساوی های (۲۳) و (۲۴) به ترتیب از ناتساوی های (۴۶) و (۴۸) بدست می‌آیند. در نتیجه اگر مجموعه LMI های (۲۱) تا (۲۴) برقرار شوند، در آن صورت می‌شود و این اثبات را کامل می‌کند. ■

۲-۳ طراحی کنترل کننده مود لغزشی و بدست آوردن قانون کنترل

در این قسمت به طراحی قانون کنترل ($u(t)$) برای تضمین رسیدن مسیرهای حالت سیستم حلقه بسته به سطح لغزشی $s(t, i) = 0$ برای سیستم پرش مارکوف همراه با تأخیر زمانی با احتمال های انتقال نیمه معلوم می‌پردازیم. در حقیقت، بدون دسترسی به عناصر ماتریس نرخ احتمال انتقال Λ ، کنترل کننده مود لغزشی وابسته به مود برای پایداری تصادفی سیستم را کامل می‌کند.

قضیه ۲- سیستم پرش مارکوف (۱۶) همراه با تأخیر متغیر با زمان (t) و احتمال های انتقال نیمه معلوم (۸) را در نظر بگیرید. فرض کنید سطح لغزش به صورت (۱۹) انتخاب شده باشد و C_i از قضیه ۱ بدست آمده باشد. اگر ماتریس های $\theta_i > 0$ و $V_i = V_i^T$ به نحوی وجود داشته باشند که مجموعه LMI های زیر برای هر $i \in \ell$ برقرار باشند:

در ادامه برای برخورد با جمله غیرخطی $X_i \tilde{Q} X_i$ در (۳۸) از نکته ۱ استفاده کردہ ایم.

$$\begin{aligned} \text{نکته ۱: با توجه به این که رابطه زیر} \\ (X_i - \tilde{Q}^{-1}) \tilde{Q} (X_i - \tilde{Q}^{-1}) = X_i \tilde{Q} X_i - 2X_i + \tilde{Q}^{-1} \geq 0 \\ \text{همیشه برقرار است، خواهیم داشت:} \end{aligned}$$

$$\begin{aligned} -X_i \tilde{Q} X_i \leq -2X_i + \tilde{Q}^{-1} \quad (39) \\ \text{در نتیجه با در نظر گرفتن ناتساوی (۳۹) در نکته ۱ و به کار بردن آن در} \\ \text{(۳۸) خواهیم داشت:} \end{aligned}$$

$$\begin{aligned} -2X_i + \tilde{Q}^{-1} - (\bar{A}_{d11i} X_i - \bar{A}_{d12i} Y_i)^T \\ \left(J_i + X_i \sum_{j \in \ell} \lambda_{ij} X_j^{-1} X_i + X_i Q X_i \right)^{-1} (\bar{A}_{d11i} X_i - \bar{A}_{d12i} Y_i) < 0 \\ \text{با اعمال دوباره مکمل شور به (۴۰) ناتساوی ماتریسی زیر بدست می‌آید:} \end{aligned}$$

$$\begin{bmatrix} J_i + X_i \sum_{j \in \ell} \lambda_{ij} X_j^{-1} X_i + X_i Q X_i & \bar{A}_{d11i} X_i - \bar{A}_{d12i} Y_i \\ * & -2X_i + \tilde{Q}^{-1} \end{bmatrix} < 0$$

در این مرحله برای بررسی احتمال های انتقال نیمه معلوم ناتساوی ماتریسی (۴۱) با استفاده از مکمل شور به صورت زیر نوشته می‌شود:

$$\begin{aligned} J_i + X_i \sum_{j \in \ell} \lambda_{ij} X_j^{-1} X_i + X_i Q X_i \\ - (\bar{A}_{d11i} X_i - \bar{A}_{d12i} Y_i) (-2X_i + \tilde{Q}^{-1})^{-1} \\ (\bar{A}_{d11i} X_i - \bar{A}_{d12i} Y_i)^T < 0 \quad (42) \end{aligned}$$

با توجه به این نکته که $\sum_{j \in \ell} \lambda_{ij} = 0$ است، رابطه زیر همیشه برقرار است:

$$\sum_{j \in \ell} \lambda_{ij} W_i = 0 \quad (43)$$

که در آن $W_i = W_i^T$ ماتریس های وزنی آزاد هستند. در حقیقت ماتریس های W_i ، ماتریس های انتخابی هستند. برای حل مسئله عدم دسترسی کامل به عناصر ماتریس نرخ احتمال انتقال، عناصر معلوم و نامعلوم ماتریس احتمال انتقال را به وسیله (۸) به صورت زیر تفکیک می‌کنیم:

$$\begin{aligned} \Psi_i = J_i + \sum_{j \in \ell_k^i} \lambda_{ij} (X_i X_j^{-1} X_i - W_i) \\ + \sum_{j \in \ell_{uk}^i} \lambda_{ij} (X_i X_j^{-1} X_i - W_i) + X_i Q X_i \\ - (\bar{A}_{d11i} X_i - \bar{A}_{d12i} Y_i) (-2X_i + \tilde{Q}^{-1})^{-1} \\ (\bar{A}_{d11i} X_i - \bar{A}_{d12i} Y_i)^T < 0 \quad (44) \end{aligned}$$

^۱ Free weighting matrices

با جایگذاری قانون کنترل $u(t)$ در (۵۱) بدست می آید:

(۵۷)

$$\Im V(z, t, i) = s^T(t) \theta_i C_{2i} B_{2i} \left(-(\varepsilon_i + f_i) \operatorname{sign}(B_{2i}^T C_{2i}^T \theta_i s(t)) \right. \\ \left. + F_i w(t) \right) + \frac{1}{2} \sum_{j \in \ell_{uk}^i} \lambda_{ij} \left(s^T(t) (\theta_j - V_i) s(t) \right)$$

توجه داشته باشید که ناتساوی های (۴۹) و (۵۰) به ترتیب برای $i \in \ell_k^i$ و معادل ناتساوی زیر هستند:

$$\frac{1}{2} \sum_{j \in \ell_{uk}^i} \lambda_{ij} \left(s^T(t) (\theta_j - V_i) s(t) \right) < 0 \quad (58)$$

بنابراین با توجه به ناتساوی های (۴۹)، (۵۰) و همچنین رابطه (۷) خواهیم داشت:

$$\Im V(z, t, i) \leq -(\varepsilon_i + f_i) \|B_{2i}^T C_{2i}^T \theta_i s(t)\| \\ + f_i \|B_{2i}^T C_{2i}^T \theta_i s(t)\| \\ \leq -\varepsilon_i \|B_{2i}^T C_{2i}^T \theta_i s(t)\| < 0 \quad (59)$$

توجه داشته باشید که

$$\|\theta_i s(t)\|^2 = \left(\theta_i^2 s^T(t) \right)^T \theta_i \left(\theta_i^2 s^T(t) \right) \\ \geq \lambda_{\min}(\theta_i) \left\| \theta_i^{\frac{1}{2}} s^T(t) \right\|^2 \quad (60)$$

و

$$V(z, t, i) = \frac{1}{2} s^T(t) \theta_i s(t) = \frac{1}{2} \left\| \theta_i^{\frac{1}{2}} s^T(t) \right\|^2 \quad (61)$$

در نتیجه خواهیم داشت:

$$\Im V(z, t, i) \leq -\phi_i V^{\frac{1}{2}}(z, t, i) \quad (62)$$

$$\phi_i = \sqrt{2\varepsilon_i} \min_{i \in \ell} \left(\lambda_{\min}(\theta_i) \right)^{\frac{1}{2}} \min_{i \in \ell} \left\{ \left(\lambda_{\min} \left(C_{2i} B_{2i} B_{2i}^T C_{2i}^T \right) \right)^{\frac{1}{2}} \right\}$$

که در آن $\phi_i > 0$ است. با استفاده از رابطه دینکین^۱ [۳۶] در ناتساوی (۶۲)، داریم:

$$2E[V(z(t), r(t))]^{\frac{1}{2}} \leq -\phi_i t + 2V^{\frac{1}{2}}(z(0), r(0)) \quad (63)$$

در نتیجه می توان گفت یک زمان رسیدن t^* به صورت زیر

$$t^* = \frac{2V^{\frac{1}{2}}(z_0, r_0)}{\phi_i} \quad (64)$$

وجود دارد به طوری که $V(z, t, i) = 0$ و به دنبال آن $s(t, i) = 0$ برقرار است. بنابراین با اعمال قانون کنترل مطلوب، مسیرهای حالت سیستم حلقه بسته در زمان محدود به سطح لغزشی تعیین شده (۱۹) می رسد و این اثبات را کامل می کند. ■

$$\theta_j - V_i \leq 0, \quad j \in \ell_{uk}^i, j \neq i \quad (49)$$

$$\theta_j - V_i \geq 0, \quad j \in \ell_{uk}^i, j = i \quad (50)$$

در آن صورت مسیرهای حالت سیستم (۱۶) با استفاده از قانون کنترل زیر

می تواند در زمان محدود به سطح لغزشی $s(t, i) = 0$ وارد شوند:

$$u(t) = -(C_{2i} B_{2i})^{-1} \left[\begin{bmatrix} C_{1i} & C_{2i} \end{bmatrix} \left(\bar{A}_i z(t) + \bar{A}_{di} z(t - \tau(t)) \right) \right. \\ \left. - (\varepsilon_i + f_i) \operatorname{sign}(B_{2i}^T C_{2i}^T \theta_i s(t)) \right] \quad (51)$$

$$-\frac{1}{2} (\theta_i C_{2i} B_{2i})^{-1} \sum_{j \in \ell_k^i} \lambda_{ij} (\theta_j - V_i) s(t)$$

که در آن $\varepsilon_i > 0$ یک مقدار ثابت کوچک معلوم است.

اثبات قضیه ۲ - در ابتدا تابع لیاپانوف را به صورت زیر انتخاب می کنیم:

$$V(z, t, i) = \frac{1}{2} s^T(t) \theta_i s(t) \quad (52)$$

برطبق معادله های (۱۶) و (۱۹)، $\dot{s}(t)$ به صورت زیر بدست می آید:

$$\dot{s}(t) = \left[\begin{bmatrix} C_{1i} & C_{2i} \end{bmatrix} \right] \dot{z}(t) \\ = \left[\begin{bmatrix} C_{1i} & C_{2i} \end{bmatrix} \right] \left(\bar{A}_i z(t) + \bar{A}_{di} z(t - \tau(t)) \right) \\ + \left[\begin{bmatrix} 0_{(n-m) \times m} \\ B_{2i} \end{bmatrix} \right] [u(t) + F_i w(t)] \quad (53)$$

با استفاده از عملگر مشتق متوسط و در نظر گرفتن (۵۳)، مشتق تابع لیاپانوف (۵۲) به صورت زیر می باشد:

(۵۴)

$$\Im V(z, t, i) = s^T(t) \theta_i \left(\left[\begin{bmatrix} C_{1i} & C_{2i} \end{bmatrix} \right] \left(\bar{A}_i z(t) + \bar{A}_{di} z(t - \tau(t)) \right) \right) \\ + s^T(t) \theta_i C_{2i} B_{2i} \left[u(t) + F_i w(t) \right] \\ + \frac{1}{2} \sum_{j \in \ell} \lambda_{ij} s^T(t) \theta_j s(t)$$

با توجه به این که $\sum_{j \in \ell} \lambda_{ij} = 0$ ، معادله زیر برای ماتریس های اختیاری برقرار است: $V_i = V_i^T$

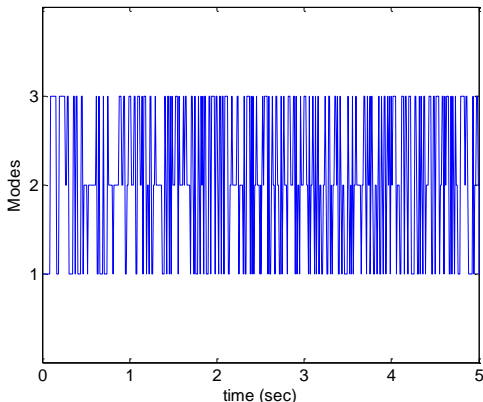
$$-\frac{1}{2} \sum_{j \in \ell} \lambda_{ij} s^T(t) V_i s(t) = 0, \quad i \in \ell \quad (55)$$

$V_i = V_i^T$ ماتریس های وزنی آزاد می باشند. با اضافه کردن سمت چپ معادله (۵۵) به (۵۴) و تفکیک عناصر معلوم و نامعلوم ماتریس نرخ احتمال انتقال به وسیله (۸) خواهیم داشت:

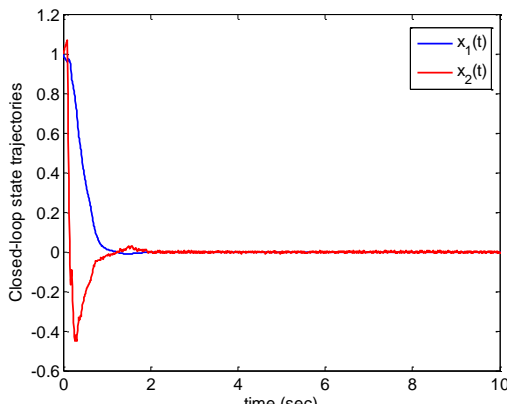
$$\Im V(z, t, i) = s^T(t) \theta_i \left[\begin{bmatrix} C_{1i} & C_{2i} \end{bmatrix} \right] \left(\bar{A}_i z(t) + \bar{A}_{di} z(t - \tau(t)) \right) \\ + s^T(t) \theta_i C_{2i} B_{2i} \left[u(t) + F_i w(t) \right] \\ + \frac{1}{2} \sum_{j \in \ell} \lambda_{ij} s^T(t) \theta_j s(t) - \frac{1}{2} \sum_{j \in \ell} \lambda_{ij} s^T(t) V_i s(t) \\ = s^T(t) \theta_i \left[\begin{bmatrix} C_{1i} & C_{2i} \end{bmatrix} \right] \left(\bar{A}_i z(t) + \bar{A}_{di} z(t - \tau(t)) \right) \\ + s^T(t) \theta_i C_{2i} B_{2i} \left[u(t) + F_i w(t) \right] \\ + \frac{1}{2} \sum_{j \in \ell_k^i} \lambda_{ij} \left(s^T(t) (\theta_j - V_i) s(t) \right) \\ + \frac{1}{2} \sum_{j \in \ell_{uk}^i} \lambda_{ij} \left(s^T(t) (\theta_j - V_i) s(t) \right) \quad (56)$$

^۱ Dynkin's formula

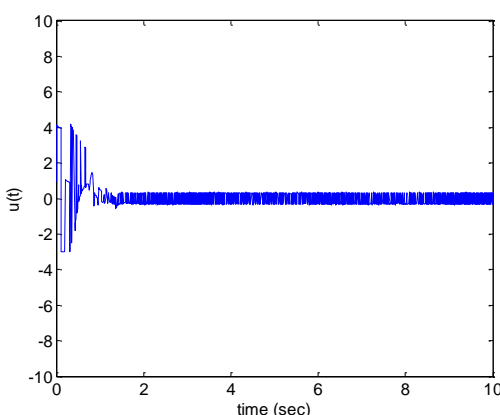
دیگر می‌باشد. لازم به ذکر است که می‌توان با قرار دادن $\frac{s}{|s|+0.01}$ به جای (s) در رابطه قانون کنترل (t) , سیگنال کنترلی با وزوز^۱ کمتر را بدست آورد که در شکل ۴ نشان داده شده است.



شکل ۱: تغییرات زمانی مود سیستم $r(t)$



شکل ۲: مسیرهای حالت $x_1(t)$ و $x_2(t)$ سیستم حلقه بسته



شکل ۳: قانون کنترل $u(t)$

۴- مثال عددی و شبیه سازی

در این قسمت به بیان یک مثال عددی برای نشان دادن اعتبار و درستی روش ارائه شده در این مقاله می‌پردازیم. سیستم پرش مارکوف تأخیردار (۶) با احتمال‌های انتقال نیمه معلوم (۸) با سه مود عملیاتی $N = 3$ و ماتریس‌ها و پارامترهای زیر را در نظر می‌گیریم:

$$\begin{aligned} A_1 &= \begin{bmatrix} -1 & 0 \\ 2 & -2 \end{bmatrix}, & A_{d1} &= \begin{bmatrix} -2 & 0.1 \\ 0.5 & -1 \end{bmatrix}, \\ A_2 &= \begin{bmatrix} -0.15 & -0.49 \\ 1.5 & -2.1 \end{bmatrix}, & A_{d2} &= \begin{bmatrix} 0 & -3 \\ 0.1 & 0.5 \end{bmatrix}, \\ A_3 &= \begin{bmatrix} -0.3 & -0.15 \\ 1.5 & -1.8 \end{bmatrix}, & A_{d3} &= \begin{bmatrix} -0.5 & 0.2 \\ 0.1 & -0.3 \end{bmatrix}, \\ B_1 &= \begin{bmatrix} 1 \\ 0 \end{bmatrix}, & B_2 &= \begin{bmatrix} 2 \\ -1 \end{bmatrix}, & B_3 &= \begin{bmatrix} 1 \\ -1 \end{bmatrix}, \\ F_1 &= F_2 = F_3 = 1, \\ w(t) &= 0.1\sin(t), & \mu &= 0.92 \end{aligned}$$

ماتریس نرخ احتمال انتقال به صورت زیر داده شده است:

$$\Lambda = \begin{bmatrix} ? & ? & 1.1 \\ 0.2 & ? & ? \\ 0.9 & 0.2 & -1.1 \end{bmatrix}$$

در ابتدا با حل مجموعه ناتساوی‌های ماتریسی خطی (۲۱)-(۲۴) در قضیه

۱ توسط جعبه ابزار LMI در نرم‌افزار MATLAB داریم:

$$X_1 = 0.1840, X_2 = 0.2116, X_3 = 0.3003,$$

$$Y_1 = 1.1626, Y_2 = 1.2732, Y_3 = 2.4042,$$

$$W_1 = 0.1754, W_2 = 0.1828, R = 0.0139.$$

در نتیجه پارامتر سطح لغزشی خطی C_i با استفاده از (۲۷) به صورت زیر بدست می‌آید:

$$C_1 = 6.3181, C_2 = 6.0184, C_3 = 8.0050$$

که در نتیجه منجر به پایداری تصادفی دینامیک مود لغزشی (۲۰) می‌شود.

در مرحله بعد برای طراحی کنترل کننده مود لغزشی به شکل (۵۱) حل

ناتساوی‌های ماتریسی خطی (۴۹) و (۵۰) در قضیه ۲ صورت می‌گیرد و

نتایج زیر را به همراه دارد:

$$\theta_1 = 2.7392, \quad \theta_2 = 1.4755, \quad \theta_3 = 0.4918,$$

$$V_1 = 2.1074, \quad V_2 = 0.9837, \quad V_3 = 1$$

با انتخاب $\varepsilon_1 = \varepsilon_2 = \varepsilon_3 = 0.2$ و $f_1 = f_2 = f_3 = 0.1$ و در نظر

گرفتن $\tau(t) = 0.45 + 0.25\sin(5t)$ و $\dot{\tau}(t) < 0.92$ نتایج

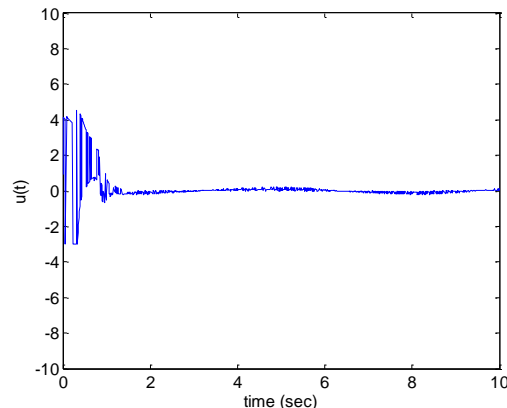
شبیه‌سازی به صورت زیر بدست می‌آید. شکل ۱ فرآیند مارکوف

شکل ۳ آورده شده است. ناپیوستگی‌های موجود در ابتدای شکل سیگنال

کنترلی به دلیل پرش سیستم پرش مارکوف از یک مود عملیاتی به مود

^۱ Chattering

- [3] K. S. Narendra and S. S. Tripathi, "Identification and optimization of aircraft dynamics," *J. Aircraft*, vol. 10, no. 4, pp. 193–199, 1973.
- [4] Z. Mao, B. Jiang, and P. Shi, " H_∞ fault detection filter design for networked control systems modelled by discrete Markovian jump systems," *IET Control Theory & Applications*, 1(5), 1336–1343, 2007.
- [5] A. H. Abolmasoumi and H. R. Momeni, "TCP Congestion Control for the Networks with Markovian Jump Parameters," *Advances in Electrical and Computer Engineering*, 2011.
- [6] X. Feng, K.A. Loparo, Y. Ji and H. J. Chizeck, "Stochastic Stability properties of jump linear systems," *IEEE Transactions on Automatic Control*, vol. 37, no. 1, pp. 38-53, 1992.
- [7] Y. Ji and H. J. Chizeck, "Controllability, stabilizability, and continuous-time Markovian jump linear quadratic control," *IEEE Transaction on Automatic Control*, vol. 35, no. 7, pp 777-788, 1990.
- [8] C. E. de Souza and M. D. Fragoso, " H_∞ control for linear systems with Markovian jumping parameters," *Control Theory and advanced Technology*, vol. 9, no. 2, pp. 457-466, 1993.
- [9] M. Mohammadian, A. H. Abolmasoumi, and H. R. Momeni, " H_∞ mode-independent filter design for Markovian jump genetic regulatory networks with time-varying delays," *Neurocomputing*, p 10–18, 2012.
- [10] A. H. Abolmasoumi and H. R. Momeni, "Robust Observer-based H_∞ Control of a Markovian Jump System with Different Delay and System Modes," *International Journal of Control, Automation, and Systems* 9(4):768-776, 2011.
- [11] P. Shi, E. K. Boukas and R. K. Agarwal, "Kalman filtering for continuous time uncertain systems with Markovian jumping parameters," *IEEE Transactions on Automatic Control*, vol. 44, no. 8, pp. 1592-1597, 1999.
- [12] E. K. Boukas, *Stochastic Switching Systems: Analysis and Design*. Birkhauser, New York, NY, 2006.
- [13] L.X. Zhang, and E.K. Boukas, "Stability and stabilization of Markovian jump linear systems with partly unknown transition probabilities," *Automatica*, 45(2), 436–468, 2009.
- [14] L. Zhang and J. Lam, "Necessary and sufficient conditions for analysis and synthesis of Markov jump linear systems with incomplete transition



شکل ۴: قانون کنترل ($u(t)$) با وزوز کمتر

با توجه به نتایج شبیه‌سازی، مسیرهای حالت سیستم حلقه‌بسته در زمان محدود به سطح لغزشی مطلوب می‌رسند و صحت روش پیشنهاد شده را تأیید می‌کنند.

۸- نتیجه‌گیری

در این مقاله مسئله طراحی کنترل کننده مود لغزشی برای سیستم‌های پرش مارکوف با تأخیر زمانی با ماتریس نرخ احتمال انتقال نیمه معلوم در حضور اغتشاش مورد مطالعه قرار گرفت. در حقیقت برای حل مسئله نیمه معلوم بودن عناصر ماتریس نرخ احتمال انتقال، فضای احتمال محدود را به دو فضای با عناصر معلوم و نامعلوم افزایش کردیم. همچنین سطح لغزش مورد نظر را خطی در نظر گرفته‌ایم. در این طراحی، در ابتدا با استفاده از ماتریس‌های وزنی آزاد و تفکیک عناصر معلوم و نامعلوم ماتریس نرخ احتمال انتقال، شرایط مستقل از تأخیر برای تضمین پایداری تصادفی دینامیک مود لغزشی بر پایه ناتساوی‌های ماتریسی خطی ارائه شد و بر اساس آن ضریب سطح لغزش مورد نظر بدست آمد. سپس با انتخاب تابع لیپانوف وابسته به مود و استفاده از ماتریس وزنی آزاد، طراحی قانون کنترل مود لغزشی ($u(t)$) برای تضمین رسیدن مسیرهای حالت سیستم حلقه‌بسته به سطح لغزشی مطلوب صورت گرفته و در نتیجه پایداری تصادفی سیستم حلقه‌بسته حاصل شد. در آخر با ارائه یک مثال عددی، کارایی و درستی روش پیشنهاد شده نشان داده شد.

مراجع

- [1] N. Krasovskii and E. A. Lidskii, "Analytical design of controllers in systems with random attributes. I. Statement of the problem, method of solving," *Autom. Remote Control*, vol. 22, pt. Part 1–3, pp. 1021–1294, 1961.
- [2] G. L. Olsder and R. Suri, "Time optimal control of parts-routing in a manufacturing system with failure prone machines," in *Proceedings of 19th IEEE Conference on Decision and Control*, pp. 722–727, 1980.

- [26] G. Wang, Q. Zhang, and V. Sreeram, "Robust delay-range-dependent stabilization of Markovian jump systems with mode-dependent time-delays and nonlinearities," *Optimal Control Applications and Methods*, 31 (3), 249–264, 2010.
- [27] Y. Xia, and Y. Jia, "Robust sliding-mode control for uncertain time-delay systems: An LMI approach," *IEEE Transaction on Automatic Control*, 48,1086_1092, 2003.
- [28] P. Shi, Y. Xia, G. P. Liu, and D. Rees, "On designing of sliding-mode control for stochastic jump systems," *IEEE Transactions on Automatic Control*, vol.51, no. 1, pp. 97–103, Jan. 2006.
- [29] Y. Niu, D. W. C. Ho, and X. Wang, "Sliding mode control for Itô stochastic systems with Markovian switching," *Automatica*, vol. 43, pp.1784–1790, 2007.
- [30] L. Wu, P. Shi, and H. Gao, "State estimation and sliding-mode control of Markovian jump singular systems," *IEEE Transactions on Automatic Control*, vol. 55, no. 5, 2010.
- [31] Y. Zhang, S. Xu, and Y. Chu, "Sliding mode observer-controller design for uncertain Markovian jump systems with time delays," *International Journal of Robust and Nonlinear Control*, 2012.
- [32] N. Zohrabi, H. R. Momeni, and A. H. Abolmasoumi, "Sliding Mode Control of Markovian Jump Systems with Partly Unknown Transition Probabilities," *IFAC Joint conference*, Grenoble, France, February 2013.
- [33] X. Mao, and C. Yuan. Stochastic differential equations with Markovian switching. Imperial College Press, 2006.
- [34] K. S. Kim, Y. Park, and S. H. Oh, "Designing of robust sliding surfaces for parametric uncertain systems: A Riccati approach," *Automatica*, vol. 36, pp. 1041-1048, 2000.
- [35] J. Hung, W. Gao, and J. C. Hung, "variable structure control: A survey." *IEEE Transaction on Industrial Electronics*, 40(1), 2-22, 1993.
- [36] H. J. Kushner, *Stochastic Stability and Control*. New York: Academic, 1967.
- [37] descriptions," *IEEE Transactions on Automatic Control*, VOL. 55, NO. 7, 2010.
- [38] Y. Zhang, Y. He, M. Wu and J. Zhang, "Stabilization for Markovian jump systems with partial information on transition probability based on free-connection weighting matrices," *Automatica* 47, 79–84, 2011.
- [39] Y. Wang, Z. Zuo, and Y. Cui, "Stochastic stabilization of Markovian jump systems with partial unknown transition probabilities and actuator saturation," *Circuits System Signal Process*, 31:371–383, 2012.
- [40] J. Feng, J. Lam, and Z. Shu, "Stabilization of Markovian systems via probability rate synthesis and output feedback," *IEEE Transactions on Automatic Control*, vol. 55, no. 3, 2010.
- [41] L.X. Zhang, and E. K. Boukas, "H_∞ control for discrete-time Markovian jump linear systems with partly unknown transition probabilities," *International Journal of Robust and Nonlinear Control*, 19(8), 868–883, 2009.
- [42] L.X. Zhang, and E. K. Boukas, "Mode-dependent H_∞ filtering for discrete-time Markovian jump linear systems with partly unknown transition probabilities," *Automatica*, 45(6), 1462–1467, 2009.
- [43] X. Luan, F. Liu and P. Shi, "Finite-time filtering for non-linear stochastic systems with partially known transition jump rates," *IET Control Theory and Applications*, 2010.
- [44] K. Benjelloun, E. K. Boukas and H. Yang, "Robust stabilizability of uncertain linear time-delay systems with Markovian jumping parameters," *Journal of Dynamic Systems, Measurements and Control*, vol.118, pp. 776-783, 1996.
- [45] E. K. Boukas, Z. K. Liu and P. Shi, "Delay-dependent stability and output feedback stabilization of Markovian jump systems with time delay," *International Journal of Control*, vol. 74, no. 4, pp. 329-331, 2001.
- [46] Y. Cao and J. Lam, "Robust H_∞ control of uncertain Markovian jump systems with time delay," *IEEE Transactions on Automatic Control*, vol. 45, pp. 77–82, 2000.
- [47] E.K. Boukas and Z.K. Liu *Deterministic and Stochastic Time Delay Systems*. Birkhauser, Boston, 2002.
- [48] M. Wu, Y. He, J. She, and G. Liu. Delay-dependent Criteria for Robust Stability of Time-Varying Delay systems. *Automatica*, 40:1435-1439, 2004.



مدل سازی دینامیکی ترکیبی یک ربات دوپا راه رونده چرخه حدی ناقص عملگر و کنترل آن در برابر اختشاش خارجی ضربه‌ای

بهنام میری‌پور فرد^۱، احمد باقری^۲، نادر نریمان زاده^۳

^۱ دانشجوی دکتری مهندسی مکانیک، دانشکده فنی، دانشگاه گیلان، miripour@guilan.ac.ir

^۲ دانشیار گروه مهندسی مکانیک، دانشکده فنی، دانشگاه گیلان، bagheri@guilan.ac.ir

^۳ استاد گروه مهندسی مکانیک، دانشکده فنی، دانشگاه گیلان، nnzadeh@guilan.ac.ir

(تاریخ دریافت مقاله ۱۳۹۱/۸/۱۶، تاریخ پذیرش مقاله ۱۳۹۱/۹/۲۷)

چکیده: رباتهای دوپا راه رونده چرخه حدی از نظر مصرف انرژی بسیار کارآمد هستند و حرکات آنها طبیعی و مشابه انسان است، اما قابلیت آنها در دفع اختشاش خارجی در مقایسه با رباتهایی که بر اساس نقطه ممان صفر راه می‌روند، به خوبی بررسی نشده است. در این مقاله یک مدل هفت درجه آزادی صفحه‌ای ترکیبی (گستته-پیوسته) و ناقص عملگر (چهار عملگر) برای ربات راه رونده چرخه حدی در نظر گرفته شده است. فرض می‌شود که ربات به هنگام راه رفتن تحت یک اختشاش ضربه‌ای خارجی قرار می‌گیرد. ابتدا نگاشتهایی جهت ارتباط دادن حالت‌های قبل و پس از برخورد پاها با زمین و همچنین اختشاش ضربه‌ای به دست آمده است و سپس به کنترل ربات پرداخته شده است. کنترل بر اساس تعیین قیود مجازی هولونومیک برای کنترل کننده پسخورد بر پایه پیشامد انجام می‌پذیرد تا چرخه حدی پایدار برای ربات پس از اعمال اختشاش تولید کند. شبیه‌سازی‌های متعددی با در نظر گرفتن اختشاش در هنگام راه رفتن انجام شده است. نتایج، عملکرد روش در بازیابی تعادل در برابر اختشاشاتی که در صفحه ساجیتال به سمت جلو و عقب به هنگام فاز تک تکیه‌گاهی و دو تکیه‌گاهی وارد می‌شوند را نشان می‌دهد. علاوه بر آن، نتایج نشان داد که حرکات شبیه‌سازی شده مشابه عکس‌العمل‌های مشاهده شده در انسان برای بازیابی تعادل در برابر اختشاشات است.

کلمات کلیدی: ربات راه رونده چرخه حدی، اختشاش خارجی، مدل ترکیبی و گستته پیشامد، کنترل پسخورد.

Hybrid Dynamical Modeling and Control of an Under-Actuated Limit Cycle Walker Subjected to Impulsive External Disturbances

Behnam Miripour Fard, Ahmad Bagheri, Nader Nariman-zadeh

Abstract: The motions which are achievable by Limit Cycle Walkers are energetically efficient and natural looking. But their capability in external disturbance rejection is still an unexplored field of study in comparison with ZMP based walkers. In this paper a planar, under-actuated and hybrid Limit Cycle Walker with seven degrees of freedom (DOF) is considered. During walking, it is assumed that the robot is subjected to an impulsive external disturbance. First, some maps have been obtained to relate the states of the system just before and just after the impact events. Then, the control is done based on the determination of holonomic constraints for the event-based feedback controller. Several simulations have been done considering disturbances exerted during walking. The results showed the performance of the method in recovery of disturbances occurring in the sagittal plane in both anterior and posterior directions. Moreover, the results showed that the simulated motions can be characterized in terms of strategies observed in human for balance recovery against perturbations during walking.

Keywords: Limit Cycle Walker, External Disturbance, Hybrid Event Based Model, Feedback Control.

۱- مقدمه

کار پیشگامانه مک گیر، راه رونده‌های چرخه حدی گوناگونی در سراسر دنیا ساخته شده است [۷-۹]. اما اگر چه رباتهای چرخه حدی از نظر مصرف انرژی عالی هستند اما توانایی‌های اندکی در دفع اغتشاش دارند [۸]. یکی از کارهای اولیه در زمینه بازیابی تعادل رباتهای چرخه حدی در [۳] گزارش شده است که در آن پژوهشگران توانایی ربات مورد مطالعه-شان را در دفع اغتشاش ارزیابی کردند. این کار با اندازه گیری محدوده ضربه معنی که می‌تواند در کم وارد شود و ربات بدون اینکه بیافتد به حرکت ادامه دهد، انجام شد. در [۹] پژوهشگران به بررسی پایداری ربات راه رونده چرخه حدی سه لینکی با استفاده از روش کنترل پیش‌بین پرداختند. آنها ربات را در معرض اغتشاشات ضربه‌ای وارد شونده بر بالاتنه در فازهای مختلف راه رفتن قرار داده و مسیرهای مرجع جهت بازیابی تعادل را به کمک روش کنترل پیش‌بین محاسبه کردند. حجم محاسبات بالای روش کنترل پیش‌بین مانع از توسعه این روش برای مدل‌های پیچیده‌تر می‌گردد.

اگر چه رباتهای چرخه حدی پتانسیل چشمگیری دارند اما توانایی آنها در دفع اغتشاشات هنوز به خوبی بررسی نشده است. به عنوان مثال توانایی آنها در کارهای پایه‌ای مانند چرخیدن (دور زدن)، سرعت گرفتن، سرعت کم کردن و بازیابی تعادل پس از اغتشاش به اندازه‌ای که برای رباتهای بر پایه ZMP توسعه داده شده است، توسعه پیدا نکرده است.

ربات دوپا یک سیستم غیر خطی ترکیبی است و حالت این سیستم در اثر برخورد پاها به زمین دچار پرش می‌شود. در متابعی که برای سیستمهای ترکیبی وجود دارد به اینکه پرشها "پرشهای خودمنختار"^۵ می‌گویند. این پرشها با پرشهای کنترل شده که می‌توان آنها را به وسیله متغیرهای کنترل گستته اعمال کرد، متفاوت است [۱۰]. کنترل کردن پرشهای خودمنختار کار سیار سختی است زیرا روش‌های استاندارد کنترل نمی‌توانند رفتار غیر منظم سیستم را دنبال کنند [۱۱]. در مدل ربات مورد بررسی در این پژوهش هم با پرشهای خودمنختار ناشی از برخورد پاها با زمین و همچنین ناشی از اغتشاشات روبرو هستیم.

در این مقاله یک مدل راه رونده چرخه حدی صفحه‌ای با هفت درجه آزادی و چهار عملگر در نظر گرفته شده است. به هنگام راه رفتن یک اغتشاش ضربه‌ای بر بالاتنه مدل وارد می‌شود. ابتدا نگاشتی جهت ارتباط حالت ربات در لحظات قبل و بعد از برخورد به دست آمده و سپس روش کنترلی بر اساس تعیین قیود هولونومیک برای کنترل کننده پسخورد بر پایه پیشامد برای بازیابی پایداری ربات استفاده شده است. نوآوری مقاله در این است که با نوشتن زیر برنامه‌های مناسب روش به گونه‌ای توسعه داده شده است که شامل ناپیوستگی‌های متعدد ناشی از پرش حالت‌های سیستم شود که در اثر ضربه خارجی و برخورد پاها به زمین به وجود می‌آیند. همچنین نتایج به دست آمده به صورت کیفی با عکس‌العمل‌های انسان در برابر اغتشاش مقایسه شده است.

رباتهای دوپا ساخته می‌شوند تا در محیط‌هایی که برای انسان طراحی شده‌اند، کار کنند. به هنگام راه رفتن اغتشاشات متنوعی (مانند لغزیدن، سکندری خوردن، هل داده شدن و ...) ممکن است رخ دهد. رباتهای دوپا باید واکنشهای مناسبی در برابر این اغتشاشات انجام دهند تا از افتدان جلوگیری کنند. توانایی بازیابی تعادل در برابر اغتشاش ضربه‌ای خارجی یکی از زمینه‌های مورد علاقه در بحث پایداری رباتهای دوپا است زیرا به کمک آن می‌توان محدوده‌های عملکردی ربات را بیشتر بررسی کرد [۱].

مطالعات پیشین در مورد مدل‌سازی و کنترل تعادل در برابر اغتشاش ضربه‌ای را می‌توان با در نظر گرفتن دو رده کلی از رباتهای دوپا مرور کرده:

- رباتهای راه رونده بر اساس معیار نقطه ممان صفر (ZMP)
- رباتهای راه رونده غیرفعال و رباتهای راه رونده چرخه حدی (LCW)

ذکر این نکته ضروری است که منظور از رباتهای راه رونده بر اساس ZMP، تمام رباتهایی هستند که از معیارهایی استفاده می‌کنند که بر اساس نقطه‌ای در زمین تعریف می‌شوند. معیارهای دیگری نظیر ^۶CMP و ^۷FRI و غیره هم وجود دارند که بر اساس نقاطی در زمین تعریف می‌شوند. علت این نام گذاری مقبولیت عمومی معیار ZMP و موقوفت بیشتر آن نسبت به بقیه معیارها است. رده اول از رباتهای دوپا موضوع بحث این مقاله نیست و مطالعات پیشین در مورد رباتهای چرخه حدی و ناقص عملگر در ادامه مرور می‌شوند.

رباتهای راه رونده چرخه حدی نسبت به رباتهای راه رونده بر اساس معیار نقطه ممان صفر قدمت کمتری دارند. در مرجع [۲] راه رفتن چرخه حدی به این صورت تعریف شده است: "راه رفتن چرخه حدی به طور نامی عبارت است از توالی گام‌های متواب، به گونه‌ای که این گامها در هر لحظه از زمان به طور کلی و نه محلی پایدارند". در این رباتها، با الهام از راه روندهای کاملاً غیرفعال مک گیر^۸ [۳]، از فال بودن همه عملگرها چشمپوشی می‌شود و سعی می‌شود از دینامیک طبیعی و گرانش در تولید حرکت استفاده زیادی می‌شود. رباتهای راه رونده چرخه حدی ممکن است کاملاً ناقص عملگر و یا دارای تعداد محدودی عملگر باشند. حتی در حالتی که عملگرهای کمی استفاده می‌شود، حرکاتی که این رباتها از خود نشان می‌دهند واقع نما بوده و از نظر مصرف انرژی کارآمد هستند [۴]. استفاده از کنترل با بهره بالا در روش‌های مبتنی بر روش ZMP به صورت فعال دینامیک طبیعی سیستم را از بین می‌برد و انرژی بیشتری مصرف می‌کند. در مقابل، رباتهای چرخه حدی از دینامیک طبیعی سیستم برای اطمینان از همگرایی به حرکات دلخواه بهره می‌برند. پس از

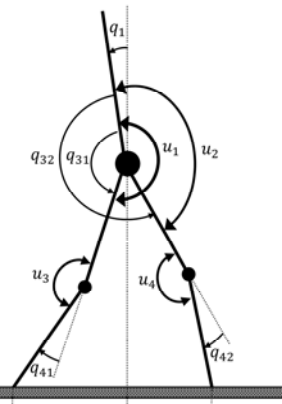
¹ Limit Cycle Walkers

² Centroidal Moment Pivot

³ Foot Rotation Indicator

⁴ McGeer

⁵ Autonomous Jumps



شکل ۲: مختصات تعیین یافته و گشتاورهای مفاصل

۱-۲- مدل دینامیکی در فاز تک تک تکیه گاهی

پای تکیه گاه در فاز تک تک تکیه گاهی به زمین متصل است و به عنوان یک محور عمل می‌کند بنابراین در این فاز تنها پنج درجه آزادی دورانی وجود دارد. با استفاده از روش لاغرانژ [۱۲] مدل ریاضی ربات که حرکت در فاز تک تک تکیه گاهی در صفحه ساجیتال را نشان می‌دهد به صورت زیر خواهد بود:

$$M(q)\ddot{q} + N(q,\dot{q})\dot{q} + G(q) = Su + F_{ext} \quad (1)$$

که در آن q بردار مختصات تعیین یافته نشان داده شده در شکل (۲) و u تعريف شده به صورت $[q_{31}, q_{32}, q_{41}, q_{42}, q_1] = [q_1, q_{31}, q_{32}, q_{41}, q_{42}]$ است. بردار $M(q)$ ماتریس جرم و اینرسی [۱] حالت ربات را نشان می‌دهد، $N(q, \dot{q})$ نیروهای گریز از مرکز و کوریولیس را در بر دارد و بردار $G(q)$ شامل نیروهای گرانی است. S بردار گشتاورهای وارد است و ماتریس D توزیع گشتاور را نشان می‌دهد. F_{ext} نمایشگر نیروهای (گشتاورهای) ایجاد شده در اثر برهم کنش با محیط و یا اغتشاش است که در فاز تک تکیه گاهی و در عدم حضور اغتشاش به صورت زیر است:

$$F_{ext} = J_1^T(q)\lambda \quad (2)$$

$J_1^T(q)$ و λ به ترتیب ماتریس جاکوبین قیود هولونومیک تماس با زمین و ضرایب لاغرانژ نیروهای تماس هستند. اگر مختصات پای تکیه گاه را با (x_1, z_1) نمایش دهیم، قیود تماس را می‌توان به صورت زیر نشان داد:

$$\begin{aligned} x_1 &= \dot{x}_1 = \ddot{x}_1 \\ z_1 &= \dot{z}_1 = \ddot{z}_1 \end{aligned} \quad (3)$$

(x_1, z_1) به صورت زیر به دست می‌آید:

$$\begin{cases} x_1 = x_H + l_2 \sin(q_1 + q_{31}) + l_1 \sin(q_1 + q_{31} - q_{41}) \\ z_1 = z_H - l_2 \cos(q_1 + q_{31}) - l_1 \cos(q_1 + q_{31} - q_{41}) \end{cases} \quad (4)$$

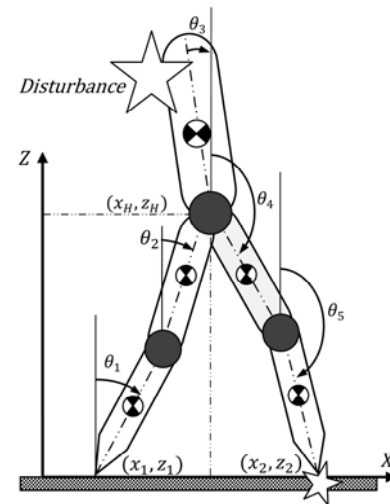
با استفاده از معادلات (۳) و (۴) می‌توان نوشت:

$$J_1(q)\ddot{q} + \Pi_2(q, \dot{q}) = 0 \quad (5)$$

که در آن:

۲- مدل سازی دینامیکی

مدل پنج لینکی مطالعه شده در این مقاله هفت درجه آزادی دارد (شکل ۱). مدل دو ساق پای تلسکوپی دارد که توسط دو مفصل چرخشی بدون اصطکاک زانو به دو ران وصل شده‌اند. دو عضو ران هم در مفصل کمر با دو مفصل چرخشی بدون اصطکاک به هم متصل شده‌اند و بالاتنه را حمل می‌کنند. گشتاورهای وارد شونده در شکل (۱) نشان داده شده است. تماس پا با زمین در یک نقطه است و هیچ گشتاوری بین نقطه تماس و زمین عمل نمی‌کند.



شکل ۱: مدل پنج لینکی مطالعه شده در این مقاله

چرخه راه رفتن شامل فاز تک تک تکیه گاهی (یک پا بر روی زمین) و دو تکیه گاهی است. در اینجا فرض می‌شود انتقال از فاز تک تکیه گاهی به دو تکیه گاهی در زمان بینهایت کوچک انجام می‌شود. با فرض های بالا لازم است که برخورد پاها با زمین و همچنین اغتشاش خارجی ضربهای مدل شود. بنابراین مدل دینامیکی ربات شامل دو بخش می‌شود:

- مدل دینامیکی در فاز تک تکیه گاهی
- مدل دینامیکی در برخوردها (برخورد پا با زمین و اغتشاش ضربه در بالاتنه).

در ادامه به استخراج معادلات برای هر دو بخش پرداخته می‌شود.

تغییر نمی‌کند، داریم: $q^- = q^+$. در معادله (۹)، $J_2(q)$ ، ماتریس جاکوبین مختصات پای آویزان است و به صورت زیر به دست می‌آید:

$$J_2(q) = \begin{bmatrix} x_H + l_4 \sin(q_1 + q_{32}) + l_5 \sin(q_1 + q_{32} - q_{42}) \\ z_H - l_4 \cos(q_1 + q_{32}) - l_5 \cos(q_1 + q_{32} - q_{42}) \end{bmatrix} \quad (10)$$

رابطه (۹) شامل هفت معادله و نه مجهول است. دو معادله دیگر را می‌توان با استفاده از شرایط هندسی در محل برخورد را به دست آورد. بر اساس فرضیات برخورد، چون پای تکیه گاه به محض برخورد از زمین جدا می‌شود، نیروی خارجی وارد بر آن برابر صفر است. بنابراین تنها لازم است که نیروهای خارجی را در انتهای پای آویزان (x_2, z_2) در نظر بگیریم. دو معادله مورد نیاز را می‌توان بر اساس فرض عدم لغزش و بازگشت پای برخورد کننده، به صورت زیر نوشت:

$$z_2 = \dot{z}_2^+ = 0; \quad x_2 = \dot{x}_2^+ = 0 \quad (11)$$

با استفاده از رابطه (۱۰) خواهیم داشت:

$$J_2^T(q)\dot{q}^+ = 0 \quad (12)$$

معادلات (۹) و (۱۲) نسبت به مجهولات خطی هستند و اگر برای \dot{q}^+ حل شوند، خواهیم داشت:

$$\begin{cases} \dot{q}^+ = [I - M_e^{-1} J_2^T (J_2 M_e^{-1} J_2^T)^{-1} J_2] \dot{q}^- = D(q) \dot{q}^- \\ \lambda = -[(J_2 M_e^{-1} J_2^T)^{-1} J_2] \dot{q}^- \end{cases} \quad (13)$$

+ با استفاده از معادله (۱۳) بر حسب \dot{q}^- به دست می‌آید و سپس باید به عنوان شرایط اولیه در معادله (۱) به کار برد شود. پس از برخورد پا به زمین، لازم است تغییر مختصات داده شود چراکه پای آویزان قبلی، پس از برخورد، پای تکیه گاه می‌شود و بر عکس. تبدیل مختصات را می‌توان به صورت زیر نشان داد:

$$\begin{pmatrix} q^+ \\ \dot{q}^+ \end{pmatrix} = R(q) \begin{pmatrix} q^- \\ \dot{q}^- \end{pmatrix} \quad (14)$$

$R(q)$ ماتریسی است که تبدیل زیر را نشان می‌دهد:

$[q_{31}, q_{32}, q_{41}, q_{42}, q_1] \rightarrow [q_{32}, q_{31}, q_{42}, q_{41}, q_1]$
مدل کامل برخورد که شامل پرش در سرعهای و همچنین تغییر مختصات است را می‌توان به طور خلاصه به صورت زیر نشان داد:

$$\begin{pmatrix} q^+ \\ \dot{q}^+ \end{pmatrix} = \Delta_1(q) \begin{pmatrix} q^- \\ \dot{q}^- \end{pmatrix} \quad (15)$$

که در آن:

$$\Delta_1(q) = \begin{pmatrix} R(q) & 0 \\ 0 & R(q)D(q) \end{pmatrix} \quad (16)$$

۲-۲-۲- معادلات اغتشاش ضربه‌ای

معادلات برخورد اغتشاش ضربه‌ای به بالاترین رتبه ربات با استفاده از روش نیوتون اویلر و همچنین اصل ضربه و مومنتوم خطی و زاویه‌ای استخراج شده است. فرضیات در نظر گرفته شده در مورد برخورد (بخش ۱-۲-۲) به قوت خود باقی است با این تفاوت که در اینجا فرض می‌شود برخورد به صورت انتگرال گیری می‌شود.

$$\Pi_2(q, \dot{q}) = \begin{pmatrix} d(x_l - x_H) / dt \\ d(z_l - z_H) / dt \end{pmatrix} \quad (6)$$

به طور خلاصه، مدل دینامیکی مقید مدل در فاز تک تکیه‌گاهی به صورت زیر است:

$$\begin{cases} M(q)\ddot{q} + N(q, \dot{q})\dot{q} + G(q) = Su + J_1^T(q)\lambda \\ J_1(q)\dot{q} + \Pi_2(q, \dot{q}) = 0 \end{cases} \quad (7)$$

۲-۲-۲- مدل دینامیکی برخورد

۱-۲-۲- برخورد با زمین

در انتهای فاز تک تکیه‌گاهی پای آویزان با زمین برخورد می‌کند. این برخورد به صورت برخورد بین دو جسم صلب مدل می‌شود. در مراجع، مدل‌های متنوعی برای برخورد وجود دارد [۱۳]. با فرضیات مناسب، اغلب این مدل‌ها را می‌توان استفاده نمود تا سرعت مختصات تعیین یافته در لحظه بعد از برخورد پای آویزان با زمین را برحسب موقعیت و سرعت آن قبل از برخورد به دست آورد. برای به دست آوردن مدل ریاضی برخورد همه درجات آزادی مدل در نظر گرفته می‌شود. بنابراین یکبار دیگر می‌توان نوشت:

$$M_e(q)\ddot{q} + N_e(q, \dot{q}) + G_e(q) = Su + \delta F_{ext} \quad (8)$$

فرض می‌شود که در اثر برخورد پا با زمین لغزش و برگشت صورت نمی‌گیرد و هم‌زمان پای تکیه گاه از روی زمین بدون هیچ برهمن کشی بلند می‌شود. در اینجا مدل مرجع [۱۳] برای برخورد استفاده شده است

که در آن فرضیات به قرار زیرند:

- برخورد در زمان بسیار کوچکی انجام می‌پذیرد
- نیروی خارجی وارد بر مدل در هنگام برخورد به صورت ضربه ۱ نشان داده می‌شود
- نیروهای ضربه‌ای باعث جهش ناگهانی در سرعت‌های تعیین یافته می‌شوند، در حالیکه موقعیت‌ها تغییری نمی‌کند و پیوسته می‌مانند
- گشتاورهای اعمال شونده در مقاطع ربات به صورت ضربه-ای نیستند

برخورد کاملاً پلاستیک است. با در نظر گرفتن فرضیات بالا، معادله (۸) در زمان بسیار ناچیز برخورد انتگرال گیری می‌شود:

$$M_e(q)(\dot{q}^+ - \dot{q}^-) = impulse = J_2^T(q)\lambda \quad (9)$$

که در آن $\int_{t_-}^{t_+} \delta F_{ext}(\tau) d\tau$ impulse انتگرال نیروهای برخورد، \dot{q}^+ سرعت درست پس از لحظه برخورد و \dot{q}^- سرعت در لحظه قبل از برخورد است. از آنجا که موقعیت اعضا درست پس از لحظه برخورد

¹ Impulse

بار دیگر تأکید می‌شود که فرض شده است اغتشاش ضربه‌ای تنها باعث پرش در سرعت‌ها می‌شود و موقعیتها ثابت باقی می‌مانند. بنابراین در معادله (۱۸) داریم:

$$\Delta_2(q) = \begin{pmatrix} I_{5 \times 5} & 0 \\ 0 & D_2(q) \end{pmatrix} \quad (19)$$

که در آن $D_2(q)$ با حل کردن معادله (۱۷) برای همه اعضاء دست می‌آید.

۳-۲- مدل کلی: سیستم ترکیبی تحت ضربه

اکنون می‌توان مدل کامل ربات را به صورت سیستمی ترکیبی بیان کرد. با درنظر گرفتن حالت سیستم به صورت $x = [q \quad \dot{q}]^T$ می‌توان نوشت:

(1) continuous : $\dot{x} = f(x) + g(x)u$, $x^- \notin S_i, i=1,2$.

(2) impact model $\left\{ \begin{array}{l} \text{with ground : } x^+ = \Delta_1 x^-, x^- \in S_1 \\ \text{disturbance : } x^+ = \Delta_2 x^-, x^- \in S_2 \end{array} \right.$ (۲۰)

در رابطه بالا S_1 و S_2 نشان دهنده صفحات تعویض مدل هستند که با رسیدن حالت به این صفحات، مدل تغییر می‌کند. برخورد با زمین زمانی رخ می‌دهد که ارتفاع نوک پای آویزان به صفر برسد. بنابراین صفحه تعویض مدل به صورت زیر خواهد بود:

$$S_1 = \{(q, \dot{q}) \mid z_2(q) = 0\} \quad (21)$$

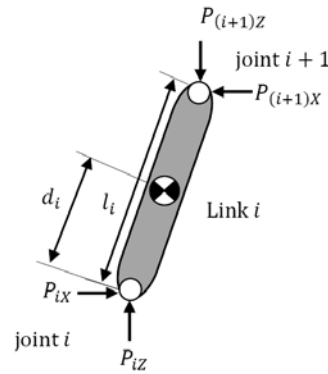
اغتشاش ضربه‌ای را می‌توان به صورت ناگهانی و یا قابل پیش‌بینی در نظر گرفت. فرض می‌شود مدل توانایی در ک لحظه ورود اغتشاش را دارد. در شیوه سازی‌های عددی لحظه ورود اغتشاش (صفحه S_2) به صورت دستی وارد می‌شود.

به عنوان جمع‌بندی، می‌توان گفت که حالت ربات با انتگرال‌گیری از رابطه پیوسته (۱) مشخص می‌شود تا زمانی که پیشامدی اتفاق بیافتد. مثلاً برخورد با زمین که در آن حالت ربات به سطح S_1 می‌رسد. یا اغتشاش ضربه‌ای که زمان وقوع آن با رسیدن حالت به صفحه S_2 مشخص می‌شود. نتیجه نهایی این پیشامدتها تغییر سریع در حالت سیستم است. سپس بار دیگر این حالت‌های جدید به عنوان شرایط اولیه در انتگرال‌گیری از رابطه (۱) استفاده می‌شوند.

۳- کنترل

در این بخش روش کنترل تشریح می‌شود. ایده اصلی در کنترل شامل تعیین قیدهای هولونومیک بر روی متغیرهای حرکتی ربات می‌شود. سپس این قیدها به عنوان خروجی سیستم در نظر گرفته می‌شوند و به کمک کنترل کننده پسخورد به مدل اعمال می‌شوند. با نگاهی به راه رفتن انسان به آسانی می‌توان مشاهده کرد که؛ انسان بالاتنه خود را تقریباً به حالت عمود نگه می‌دارد، کمر همواره در ارتفاع ثابت و موقعیت افقی آن تقریباً همواره بین دو پا قرار می‌گیرد، و نوک پای آویزان تقریباً یک

توب بسکتبال به بالاتنه وارد می‌شود و به طور آنی جدا می‌شود). دیاگرام آزاد عضو i ام در شکل (۳) نشان داده شد است. فرض می‌شود که اغتشاش ضربه‌ای (p_{ex}, p_{ey}) در انتهای عضو بالاتنه وارد می‌شود.



شکل ۳: دیاگرام آزاد عضو i

با توجه به شکل (۳) و با استفاده از روش مرجع [۱۴] معادلات ضربه برای عضو i ام به صورت زیر نوشته می‌شوند:

$$\begin{aligned} m_i \Delta \dot{x}_{ci} &= m_i [\Delta \dot{x}_1 + \sum_{j=1}^{i-1} a_j l_j \cos(\theta_j) \Delta \dot{\theta}_j + \\ &\quad d_i \cos(\theta_i) \Delta \dot{\theta}_i] = p_{ix} - p_{(i+1)x} + p_{iex}. \\ m_i \Delta \dot{z}_{ci} &= m_i [\Delta \dot{z}_1 + \sum_{j=1}^{i-1} a_j l_j \sin(\theta_j) \Delta \dot{\theta}_j - \\ &\quad d_i \sin(\theta_i) \Delta \dot{\theta}_i] = p_{iz} - p_{(i+1)z} + p_{iez}. \end{aligned} \quad (17)$$

$I_i \Delta \dot{\theta}_i = p_{(i+1)x} (a_i l_i - d_i) \cos(\theta_i) + p_{ix} d_i \cos(\theta_i) - p_{(i+1)z} (a_i l_i - d_i) \sin(\theta_i) + p_{iz} d_i \sin(\theta_i)$. که در آن m_i ، l_i و d_i به ترتیب جرم، طول و مرکز جرم عضو را نشان می‌دهند. $\Delta \dot{x}_{ci}$ ، $\Delta \dot{z}_{ci}$ ، $\Delta \dot{x}_1$ ، $\Delta \dot{z}_1$ به ترتیب تغییرات سرعت افقی و عمودی مرکز جرم عضو i ام و نقطه تماس پای تکیه گاه را نشان می‌دهند. دو عبارت پایانی در اینجا برابر صفر است. a_i پارامتر ثابت است که برای همه عضوها برابر یک است غیر از بالاتنه که برای آن a_3 برابر صفر است. p_{iez} و p_{iex} ضربه ناشی از اغتشاش خارجی است که برای همه اعضاء به جز بالاتنه برابر صفر است. با نوشتن معادلات بالا برای هر پنج عضو، یک دستگاه پانزده معادله‌ای غیر خطی به دست می‌آید که با حل آنها (با فرض اینکه اغتشاش مشخص است) می‌توان

جهولات $\Delta \dot{\theta}_i$ را به دست آورد. با استفاده از تبدیل ساده‌ای می‌توان مختصات مطلق بر حسب θ را بر حسب مختصات تعیین یافته نوشت. به طور خلاصه، مدل برخورد برای اغتشاش ضربه که سرعت‌های درست بعد از لحظه برخورد را به سرعت‌های قبل از لحظه برخورد ارتباط می‌دهد، را می‌توان بر اساس مختصات تعیین یافته به صورت زیر نمایش داد:

$$\begin{pmatrix} q^+ \\ \dot{q}^+ \end{pmatrix} = \Delta_2(q) \begin{pmatrix} q^- \\ \dot{q}^- \end{pmatrix} \quad (18)$$

$$v = \Psi(y, \dot{y}) = \frac{1}{\varepsilon^2} \begin{bmatrix} \Psi_1(y_1, \varepsilon\dot{y}_1) \\ \Psi_2(y_2, \varepsilon\dot{y}_2) \\ \Psi_3(y_3, \varepsilon\dot{y}_3) \\ \Psi_4(y_4, \varepsilon\dot{y}_4) \end{bmatrix} \quad (28)$$

هر کدام از Ψ_i ها به صورت زیر تعریف می‌شوند:

$$\Psi_i(y_i, \varepsilon\dot{y}_i) = -\text{sign}(\varepsilon\dot{y}_i)|\varepsilon\dot{y}_i|^\alpha - \text{sign}(\Phi_i(y_i, \varepsilon\dot{y}_i))|\Phi_i(y_i, \varepsilon\dot{y}_i)|^{2-\alpha}, \quad i=1,2,3,4. \quad (29)$$

که در آن $1 < \alpha < 0$ و:

$$\Phi_i(y_i, \varepsilon\dot{y}_i) = y_i + \frac{1}{2-\alpha} \text{sign}(y_i, \varepsilon\dot{y}_i)|\varepsilon\dot{y}_i|^{2-\alpha} \quad (30)$$

پارامتر حقیقی $\varepsilon < 0$ برای تنظیم زمان نشست کنترل کننده به کار می‌رود. قانون پسخورد نهایی که به سیستم (۲۰) اعمال می‌شود به صورت زیر است:

$$u = (L_g L_f h(x))^{-1} (\Psi(h(x), L_f h(x)) - L_f^2 h(x)) \quad (31)$$

روش فوق در واقع روش گشتاور محاسبه شده با کنترل پایدار کننده زمان نهایی برای هر انگرال گیر مرتبه دو است. لازم به توضیح است که برای اثبات پایداری تابعی راه رفتن از روش مقاطع پوانکاره استفاده می‌شود اما در این مقاله پایداری سیستم با شبیه‌سازی ها نشان داده شده است.

برای حل معادلات دیفرانسیل از نرم افزار MATLAB و حلگر آن به همراه گزینه Event استفاده شده است تا در لحظات وقوع اغتشاش ضربه و یا برخورد پا با زمین، انگرال گیری متوقف شود و پس از انجام محاسبات لازم و به دست آوردن شرایط اولیه، انگرال گیری دوباره از سر گرفته شود.

۴- نتایج شبیه‌سازی

در این بخش هدف این است که عملکرد روش کنترل توضیح داده شده در بخش قبل در کنترل پایداری راه رفتن تحت اغتشاش ضربه‌ای خارجی محکم زده شود. مدل شکل (۱) را در نظر بگیرید که پارامترهای فیزیکی اش دارای مقادیر زیر است:

جدول ۱: پارامترهای فیزیکی مدل ربات دوپا شبیه‌سازی شده

Segment	Tibia	Femur	Torso
Length (m)	0.400	0.400	0.625
Mass (kg)	3.2	6.8	20
Center of mass (m)	0.128	0.163	0.2

مقادیر جدول (۱) مشابه با مرجع [۱۶] انتخاب شده است که در آن پایداری مجانبی به هنگام راه رفتن به کمک روش نگاشت برگشتی پوانکاره اثبات شده است. پارامترهای شبیه‌سازی به صورت زیر مقدار دهی شده اند:

جدول ۲: مقادیر پارامترهای استفاده شده در شبیه‌سازی ها

مسیر سهموی را طی می‌کند. با استفاده از این مشاهدات می‌توان یک سری اهداف کنترل با استفاده از توابع خروجی زیر تعیین کرد:

$$y_1 = h_1(q) = k_1(q_1 - q_{1d}) \quad (22)$$

$$y_2 = h_2(q) = k_2(d_1 + d_2) \quad (22)$$

$$y_3 = h_3(q) = k_3(z_H - z_{Hd}(d_1)) \quad (22)$$

$$y_4 = h_4(q) = k_4(z_2 - z_{2d}(d_1)) \quad (22)$$

در معادلات بالا، z_H و z_2 به ترتیب برابر ارتفاع مفصل کمر و نوک

پای آویزان هستند. d_1 و d_2 در شکل (۲) مشخص شده‌اند و مقادیر

k_i بهره‌های کنترل هستند. اگر خروجی y_1 صفر شود باعث میل کردن

زاویه بالاتنه به مقدار مطلوب q_{1d} می‌شود. صفر شدن خروجی y_2

باعث به جلو راندن مفصل کمر و همین طور نوک پای آویزان از پشت

به جلو می‌شود. خروجی‌های y_3 و y_4 هم به ترتیب ارتفاع مفصل کمر

و نوک پای آویزان را کنترل می‌کنند. مسیر مطلوب مفصل کمر

$(z_{Hd}(d_1))$ به صورت چند جمله‌ای درجه دوم بر حسب d_1 تعریف

می‌شود. d_1 در بازه $[-sld/2, sld/2]$ به صورت اکیدا افزایشی

تغییر می‌کند. sld برابر طول گام مطلوب است. شرایط اولیه، میانی و

نهایی برای z به صورت زیر است:

$$z_{Hd}(-sld/2) = z_{H \min} \quad (23)$$

$$z_{Hd}(0) = z_{H \max} \quad (23)$$

$$z_{Hd}(sld/2) = z_{H \min} \quad (23)$$

که در آن $z_{H \max}$ و $z_{H \min}$ مقادیر ماکریم و مینیمم مطلوب برای

ارتفاع مفصل کمر هستند. به همین ترتیب یک چند جمله‌ای درجه دو

برای مسیر مطلوب نوک پای آویزان طراحی می‌شود که دارای شرایط

زیر است:

$$z_{2d}(-sld/2) = 0 \quad (24)$$

$$z_{2d}(0) = z_{2 \max} \quad (24)$$

$$z_{2d}(sld/2) = 0 \quad (24)$$

هدف کنترل کننده این است که خروجی‌های تعریف شده در رابطه

(۲۲) را صفر کند. از آنجاکه این خروجی‌ها تنها به مختصات تعیین یافته

ربات مرتبط‌اند و دینامیک سیستم هم مرتبه دو است، بنابراین درجه نسبی

هر یک از خروجی‌ها برابر دو است. با استفاده از نوشتار لی^۱ با مشتق

گیری از خروجی‌ها ($y = h(q)$) خواهیم داشت:

$$\ddot{y} = L_f^2 h(x) + L_g L_f h(x) u \quad (25)$$

با فرض معکوس پذیری ماتریس $L_g L_f h(x)$ در محدوده مورد نظر و

بر اساس روش گشتاور محاسبه شده می‌توان نوشت:

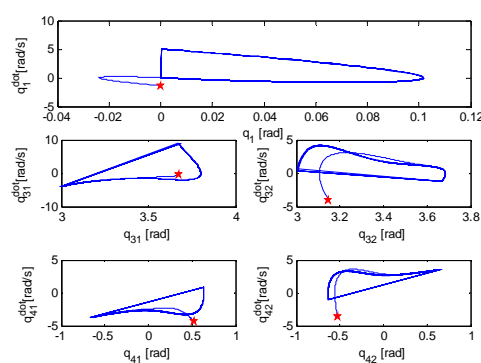
$$v = L_f^2 h(x) + L_g L_f h(x) u \quad (26)$$

که منجر به چهار معادله دیفرانسیل مرتبه دو زیر می‌شود:

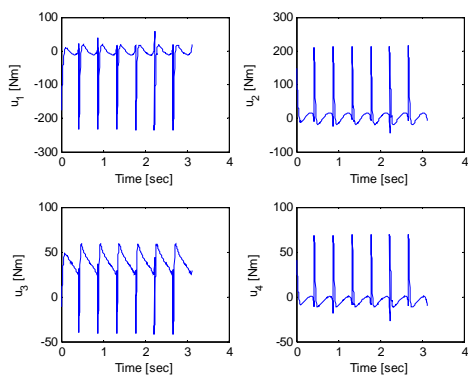
$$\ddot{y} = v_i, \quad i = 1, 2, 3, 4. \quad (27)$$

برای طراحی کنترل پسخورد بر اساس روش مرجع [۱۵] توابع پسخورد

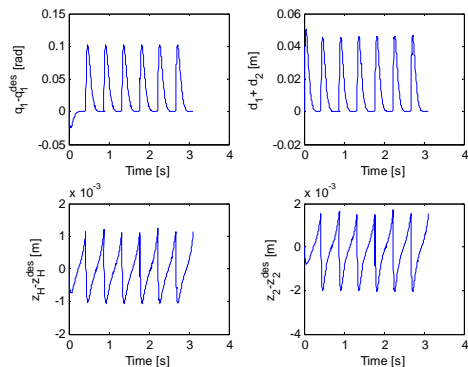
به صورت زیر در نظر گرفته می‌شوند:



شکل ۶: نمودار صفحه فازی برای هفت گام از راه رفتن عادی. نقطه مشخص شده با ستاره شرایط اولیه را نشان می‌دهد.



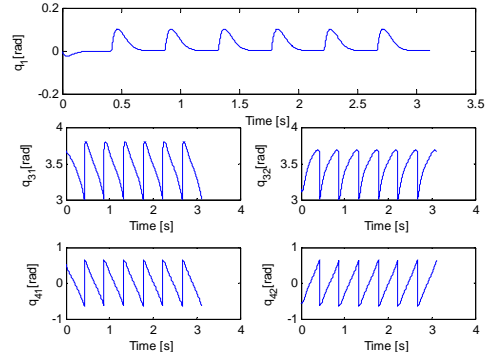
شکل ۷: گشتاورهای اعمال شده به مفاصل در هفت گام از راه رفتن عادی



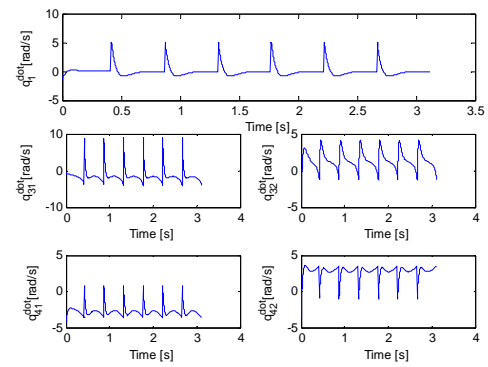
شکل ۸: خروجی‌های سیستم

g	9.806 m/s^2	q_{1d}	0
sld	0.4m	$z_{2\max}$	0.02 m
$z_H \min$	0.745m	$z_H \max$	0.746m
α	0.9	ε	0.05

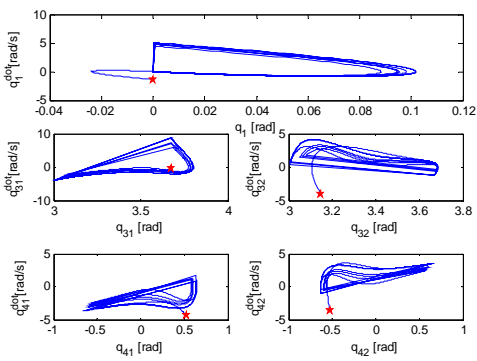
ابتدا نتایج شبیه سازی برای راه رفتن عادی (بدون اغتشاش) را بررسی می‌کنیم. شکل (۴) و (۵) سیمیر حرکت مفاصل و سرعتهای آنها برای هفت گام از راه رفتن را نشان می‌دهند. همچنین شکل (۶) رفتار سیستم را در صفحه فازی نشان می‌دهد. خطوط راست در این شکلها نشان دهنده پرش در حالت سیستم به علت برخورد پا با زمین است. همان گونه که مشاهده می‌شود همه مسیرها به یک چرخه حدی منتهی می‌شوند و این نشان دهنده پایداری راه رفتن تناوبی است. در شکل (۷) و شکل (۸) به ترتیب گشتاورهای کنترلی مفاصل و خروجی‌های سیستم نشان داده شده است. برای مشاهده بهتر راه رفتن ربات نمودار چسبی اعضا ربات در شکل (۹) آورده شده است.



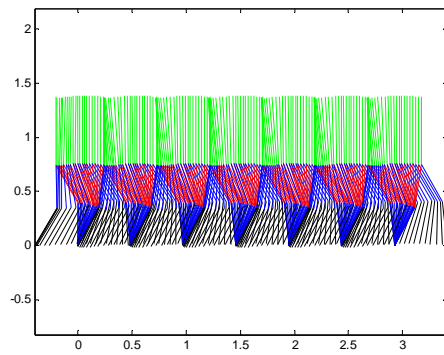
شکل ۹: مسیرهای حرکت مفاصل ربات برای هفت گام از راه رفتن عادی



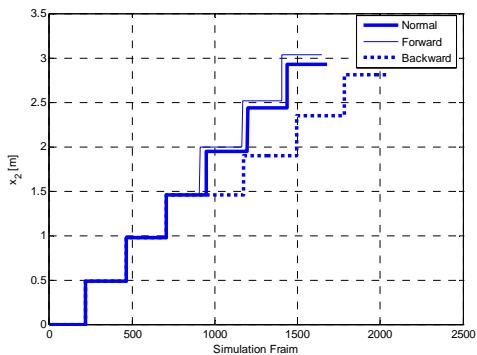
شکل ۱۰: سرعتهای زاویه‌ای مفاصل ربات در هفت گام از راه رفتن عادی



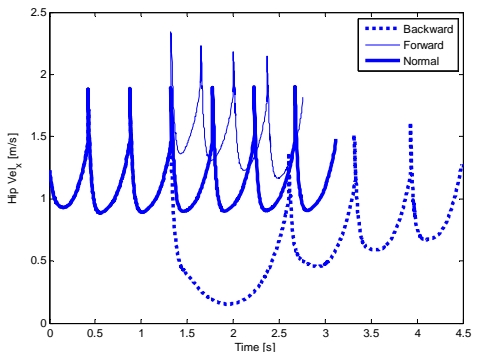
شکل ۱۱: نمودار صفحه فازی برای هفت گام از راه رفتن در برابر اغتشاش ضربه‌ای رو به عقب در فاز دو تکیه‌گاهی. نقطه مشخص شده با ستاره شرایط اولیه را نشان می‌دهد.



شکل ۹: نمودار چسبی اعضا ربات برای هفت گام از راه رفتن عادی

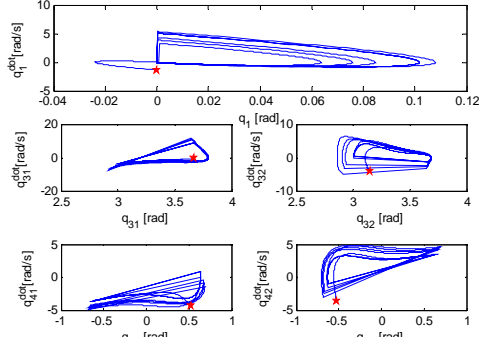


شکل ۱۲: اندازه طول گام برای راه رفتن عادی، اغتشاش رو به جلو و رو به عقب در فاز دو تکیه‌گاهی

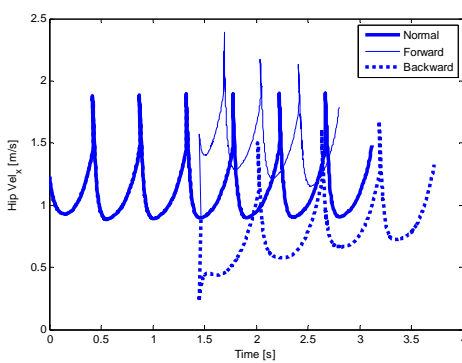


شکل ۱۳: سرعت افقی مفصل کمر برای راه رفتن عادی، اغتشاش رو به جلو و رو به عقب در فاز دو تکیه‌گاهی

اکنون فرض کنید ضربه‌ای رو به جلو (هل دادن به جلو) با اندازه ($p_{ez} = 0, p_{ex} = 2Ns$) در گام سوم از راه رفتن و در لحظه‌ای که ربات در فاز دو تکیه‌گاهی قرار دارد وارد شود. در شکل (۱۰) رفتار مدل در صفحه فازی نشان داده شده است. در این شکل مشاهده می‌شود که مسیرها بعد از یک انحراف در اثر اغتشاش دوباره به یک چرخه حدی همگرا می‌شوند. در شکل (۱۱) نتایج برای اغتشاش مشابه حالت قبل اما در راستای رو به عقب نشان داده است. شکل (۱۱) هم همگرایی به چرخه حدی را نشان می‌دهد. مقایسه بین دو شکل حاکی از اختلاف اندازه تغییرات مسیرها به ویژه برای q_{31} و q_{32} است. برای مقایسه بهتر عکس العمل ربات به دو اغتشاش هم اندازه رو به جلو و رو به عقب، نمودارهای اندازه گام و همچنین سرعت افقی مفصل کمر در شکل (۱۲) و (۱۳) آورده شده است. از شکل (۱۲) و (۱۳) واضح است که بعد از اغتشاش ضربه‌ای رو به عقب، طول گام برداری و سرعت راه رفتن کاهش می‌یابد در حالیکه برای اغتشاش رو به جلو عکس این روند اتفاق می‌افتد. همچنین از شکل (۱۳) واضح است که پس از اعمال اغتشاش، هم به جلو و هم به عقب، با برداشتن گامهای بیشتر، راه رفتن ربات به راه رفتن عادی قبل از وقوع اغتشاش همگرا می‌شود.



شکل ۱۰: نمودار صفحه فازی برای هفت گام از راه رفتن در برابر اغتشاش ضربه‌ای رو به جلو در فاز دو تکیه‌گاهی. نقطه مشخص شده با ستاره شرایط اولیه را نشان می‌دهد.



شکل ۱۷: سرعت افقی مفصل کمر برای راه رفتن عادی، اغتشاش رو به جلو

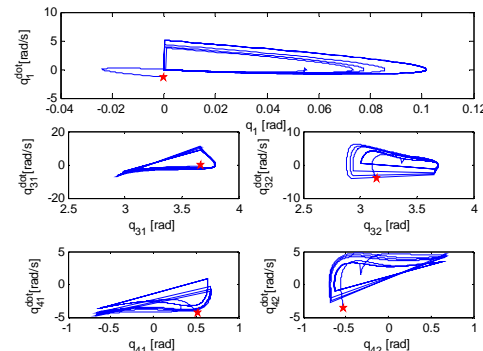
و رو به عقب در فاز تک تکیه‌گاهی

مقایسه تابع به دست آمده با عکس العمل های یک انسان در برابر اغتشاش ممکن است جالب باشد. متناسبانه در منابع داده‌های سینماتیکی و دینامیکی دقیقی در مورد عکس العمل های انسان در برابر اغتشاش ضربه‌ای به هنگام راه رفتن (نه در حالت ایستاده) وجود ندارد اما آزمایش‌های تجربی بر روی راه رفتن در برابر اغتشاشات دیگری نظری سکندری خوردن وجود دارد. بر اساس مرجع [۱۷]، استراتژی هایی که انسان در برای راه رفتن مشوش شده در فاز تک تکیه‌گاهی از خود نشان می‌دهد عبارتند از: افزایش طول گام^۱، کوتاه کردن طول گام^۲، و کوتاه کردن با تاخیر طول گام.^۳ در استراتژی سوم ابتدا انسان سعی می‌کند طول گام را افزایش دهد اما به سرعت تصمیم خود را عوض می‌کند و آن را کاهش می‌دهد. واکنش‌های انسان متأثر از عوامل روانی (مانند ترس از افتادن)، عصبی (مانند تاخیر در پاسخ عضلات) و محدودیت‌های مکانیکی (مانند محدوده حرکت مفاصل) است. برای ربات فقط محدودیت‌های مکانیکی معنا و مفهوم دارد. نتایج پژوهش حاضر به وضوح نشان داد که روش کنترل به کار برده شده می‌تواند استراتژی افزایش طول گام در برابر اغتشاش رو به جلو و استراتژی کوتاه کردن طول گام در اغتشاش رو به عقب را هم در فاز تک تکیه‌گاهی و هم دو تکیه‌گاهی برای مدل تولید کند. این روش به شکل فعلی خود از تولید استراتژی کوتاه کردن با تاخیر طول گام عاجز است. همچنین از تابع مشاهده شد که مشابه انسان، چندین گام برای بازیابی تعادل در برابر اغتشاش لازم است.

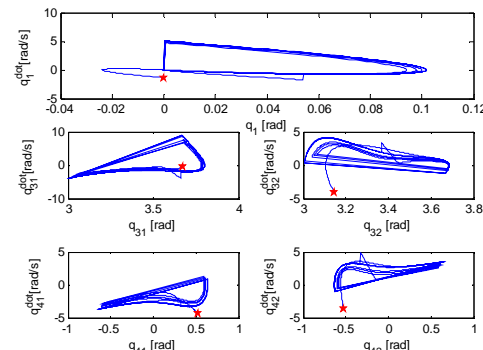
۵- نتیجه‌گیری

در این مقاله تلاش شد یک روش کنترل برای بازیابی تعادل ربات راه رونده ناقص عملگر بعد از اغتشاش ضربه‌ای به کار برده شود. این روش مبتنی بر تعیین قیود هولونومیک برای سیستم است که یک کنترل کننده پسخورد بر پایه پیشامد این قیدهای حرکتی را برآورده می‌سازد. مدل ربات ترکیبی (گستته-پیوسته) در نظر گرفته شده است که با وقوع

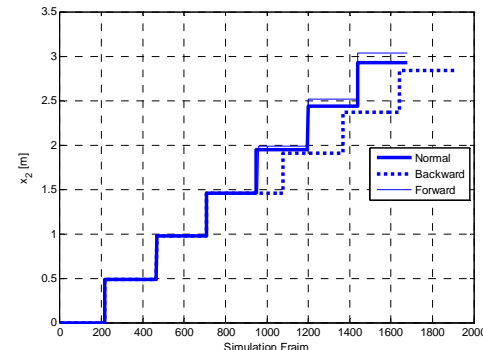
بیشتر دو الگوی متفاوت عکس العمل نمودارهای اندازه طول گام و سرعت افقی کمر در شکل‌های (۱۶) و (۱۷) آورده شده است.



شکل ۱۴: نمودار صفحه فازی برای هفت گام از راه رفتن در برابر اغتشاش ضربه‌ای رو به جلو در فاز تک تکیه‌گاهی. نقطه مشخص شده با ستاره شرایط اولیه را نشان می‌دهد.



شکل ۱۵: نمودار صفحه فازی برای هفت گام از راه رفتن در برابر اغتشاش ضربه‌ای رو به جلو در فاز تک تکیه‌گاهی. نقطه مشخص شده با ستاره شرایط اولیه را نشان می‌دهد.



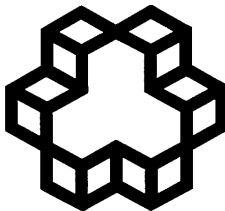
شکل ۱۶: طول گام برداری برای راه رفتن عادی، اغتشاش رو به جلو و رو به عقب در فاز تک تکیه‌گاهی

¹ Elevating strategy² Lowering Strategy³ Delayed Lowering Strategy

- [8] D. E. Hobbelen and M. Wisse, "A Disturbance rejection measure for limit cycle walkers: The gait sensitivity norm," *IEEE Transactions on Robotics*, vol. 23, no. 6, pp. 1213-1224, 2007.
- [9] B. Miripour Fard, A. Bagheri and N. Nariman-zadeh, "Limit cycle walker push recovery based on a receding horizon control scheme," *Proc IMechE Part I: J Systems and Control Engineering*, vol. 226, no. 7, pp. 914-926, 2012.
- [10] M. S. Branicky, V. S. Borkar and S. M. Mitter, "A unified framework for hybrid control: Model and optimal theory," *IEEE Transactions on Automatic control*, vol. 43, no. 1, pp. 31-45, 1998.
- [11] M. Alamir, *Stabilization of nonlinear systems using receding-horizon control schemes: a parameterized approach for fast systems*, London: Springer-Verlag, 2006.
- [12] M. W. Spong, S. Hutchinson and M. Vidyasagar, *Robot Modeling and Control*, New York: John Wiley and Sons, 2006.
- [13] Y. Hurmuzlu and D. B. Marghitu, "Rigid body collisions of planar kinematic chains with multiple contact points," *Int. J. Rob. Research*, vol. 13, no. 1, p. 82-92, 1994.
- [14] X. Mu and Q. Wu, "On impact dynamics and contact events for biped robots via impact effects," *IEEE Transactions on Systems, Man, and Cybernetics-Part B: Cybernetics*, vol. 36, no. 6, pp. 1364-1372, 2006.
- [15] S. P. Bhat and D. S. Bernstein, "Continuous finite-time stabilization of the translational and rotational double integrators," *IEEE Trans. Autom. Control*, vol. 43, no. 5, pp. 678-682., 1998.
- [16] J. W. Grizzle, E. R. Westervelt and G. Abba, "Stable walking of a 7-DOF biped robot," *IEEE Transactions on Robotics and Automation*, vol. 19, no. 4, pp. 653-668, 2003.
- [17] A. F. Cordero, H. J. Koopman and F. C. Helm, "Mechanical model of the recovery from stumbling," *Biological Cybernetics*, vol. 91, pp. 212-220, 2004.
- پیشامدها این مدلها تعویض می‌شوند. پس از وقوع پیشامد (برخورد پاها با زمین و یا اغتشاش ضربه‌ای) با استفاده از نگاشتهای به دست آمده، حالتهای قبل و پس از پیشامد به هم ارتباط داده می‌شود. با انجام شیوه‌سازی‌های متعدد توانایی روش در بازیابی تعادل در برابر اغتشاشات ضربه‌ای نشان داده شده است. نتایج همچنین نشان داد که توانایی مدل در بازیابی اغتشاشات بزرگتر در فاز تک تکیه‌گاهی بیشتر از فاز دو تکیه‌گاهی است. مقایسه کینئی نتایج به دست آمده با عکس‌الملهای انسان، بیانگر این حقیقت است که این مدل از رباتها در اجرای حرکاتی مشابه انسان کارآمد هستند. روشن است که افزودن توانایی‌هایی نظری شبکه‌های عصبی (یادگیری) به روش کنترل بررسی شده در این پژوهش می‌تواند کمک کند تا رباتهای توسعه یابند که توانایی‌هایی نظری انسان در حس کردن، فکر کردن و عمل کردن برای دفع اغتشاش دارند.

مراجع

- [1] B. Stephens, *Push Recovery control for force-controlled humanoid robots*, PhD thesis, Carnegie Mellon University, USA, 2011.
- [2] D. E. Hobbelen and M. Wisse, "Limit Cycle Walking," in *Humanoid Robots, Human-like Machines*, In-Tech Education and Publishing, 2007, pp. 277-294.
- [3] T. McGeer, "Passive dynamic walking," *Int. J. Robot. Res*, vol. 9, no. 2, pp. 62-82, 1990.
- [4] S. H. Collins, A. Ruina, R. Tedrake and e. al., "Efficient bipedal robots based on passive-dynamic walkers," *Science*, vol. 307, no. 5712, pp. 1082-1085, 2005.
- [5] T. Takuma, K. Hosoda and M. Asada, "Walking stabilization of biped with pneumatic actuators against terrain changes," in *Proc. Int. Conf. Intell. Rob. Syst*, 2005.
- [6] R. Q. Linde, "Passive bipedal walking with phasic muscle contraction," *Biol. Cybern*, vol. 81, pp. 227-237, 1999.
- [7] M. Wisse and J. V. Frankenhuizen, "Design and construction of Mike: A 2D autonomous biped based on passive dynamic walking," in *Proc. 2nd Int. Symp. Adapt. Motion Animals Mach*, Kyoto, Japan, 2003.



Industrial Control Center of Excellence
K.N. Toosi University of Technology

Journal of Control

(ISSN 2008-8345)



A Joint Publication of the Iranian Society of Instrument and Control Engineers and the Industrial Control Center of Excellence of K.N. Toosi University of Technology, Vol. 6, No. 3, Fall 2012.

Publisher: **Iranian Society of Instrumentation and Control Engineers**

Managing Director: Prof. Iraj Goodarznia

Editor-in-Chief: Prof. Ali Khaki-Sedigh

Tel: 84062317

Email: sedigh@kntu.ac.ir

Assistant Editor: Prof. Hamid Khaloozadeh, Dr. Alireza Fatehi

Executive Director: Prof. Hamid Khaloozadeh

Editorial Board:

Prof. A. Khaki-Sedigh, Prof. I. Goodarznia, Prof. H. Khaloozadeh, Prof. P. Jabedar-Maralani, Prof. A. Ghafari, Dr. H.R. Momeni (Associate Prof), Prof. S.K. Nikravesh, Prof. M. Shafiee, Prof. B. Moshiri.

Advisory Board:

Dr. H.R. Momeni, Prof. B. Moshiri, Prof. M. Shafiee, Prof. A. Khaki-Sedigh, Prof. P. Jabedar-Maralani, Prof. A. Ghaffari, Prof. H. Khaloozadeh, Prof. H.R. Taghirad, Dr. K. Masroori, Dr. M.T. Bathaei, Dr. M.T. Hamidi-Beheshti, Dr. F. Jafarkazemi, Dr. R. Amjadifard, Prof. S.A. Mousavian, Prof. M. Teshnelab, Prof. M. Haeri, Prof. S.A. Safavi, Prof. H. Seifi, Dr. A. Kazemi, Dr. A. Fatehi, Prof. M.R. Akbarzadeh-Toutounchi, Prof. M. Golkar, Dr. N. Pariz, Dr. M. Javadi, Dr. J. Heirani-Nobari, Prof. F. Hossein-Babaei, Dr. B. Moaveni, Dr. M. Aliari-Shourehdeli, Dr. M. Arvan , Prof. M. Tavakoli-Bina.

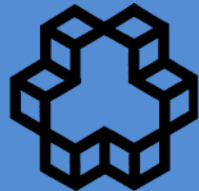
The ISICE Board of Director:

Prof. Masoud Shafiee., Dr. Mohammad Reza Jahed Motagh, Prof. Iraj Goodarznia, Prof. Behzad Moshiri, Prof. Ali Akbar Safavi, Dr. Mehrdad Javadi, Dr. Iman Mohammadzaman, Dr. Ali Ashrafmodarres, Ali Kiani.

P.O. Box 15815-3595, Tehran – IRAN
Tel : (+9821) 81032231
Fax: (+9821) 81032200

<http://www.isice.ir>

control@isice.ir



**A Joint Publication of the Iranian Society of Instrument and Control
Engineers and the Industrial Control Center of Excellence of
K.N. Toosi University of Technology**

Vol. 6, No. 3, Fall 2012

Contents

A Novel Supervised Fuzzy Reinforcement Learning for Robot Navigation	1
Fateme Fathinezhad, Vali Derhami	
Modeling and Analysis of the Hydraulic Antilock Brake System of Vehicle	11
Sayad Nasiri, Bijan Moaveni, Golamhassan Payganeh, Mohammad Arefiyan	
A Robust PI Control Design for a Class of Nonlinear Systems with Uncertainty Using Sum of Squares Decomposition	27
Hasan Zakeri, Sadjaad Ozgoli	
Solution of Differential-Algebraic Equations in Hessenberg Form Using Sliding Mode Control	37
Ali Khaleghi Karsalari, Masoud Shafiee	
A Novel Method for Optimum Electrical Energy Harvesting from Wind Turbines: A Space-Time Model for Wind Farm by Neuro-Fuzzy Strategy	51
Seyed Vahab Shojaedini, Armin Parsian'nejad, Mojtaba Farzaneh	
Sliding Mode Control of Time-Delay Markovian Jump Systems with Partly Known Transition Probabilities	61
Nasibeh Zohrabi, Hamid Reza Momeni, Amir Hossein Abolmasoumi	
Hybrid Dynamical Modeling and Control of an Under-Actuated Limit Cycle Walker Subjected to Impulsive External Disturbances	71
Behnam Miripour Fard, Ahmad Bagheri, Nader Nariman-zadeh	